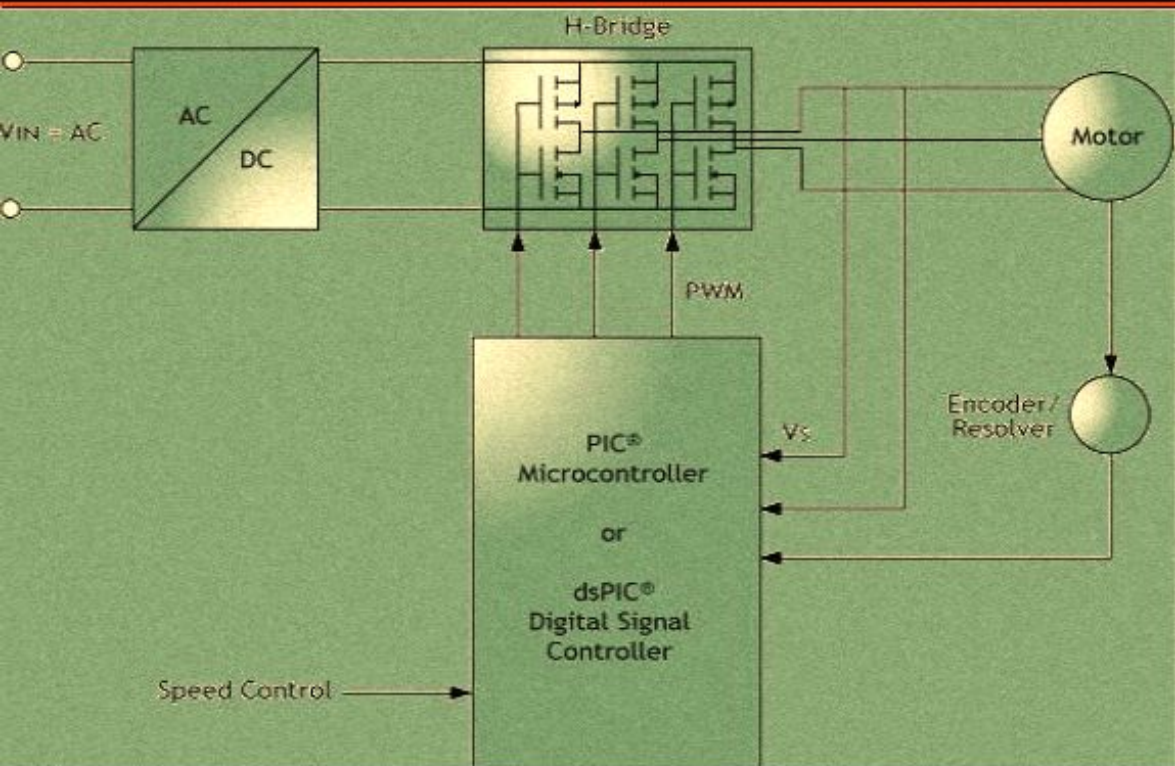


Valentin NAVRAPESCU

Mircea POPESCU

Vasile NICOLAE



ACȚIONĂRI ELECTRICE DE CURENT CONTINUU

Editura ICPE 1999

Valentin NAVRAPESCU

Mircea POPESCU

Vasile NICOLAE

ACTIONARI ELECTRICE DE CURENT CONTINUU

Editura ICPE

1999

PREFATA

Actionarile electrice actuale ofera solutii deosebit de convenabile de control si reglare a diferitelor echipamente utilizate în industrie. Fiabilitatea ridicata si marea versatilitate a acestora, în special a celor bazate pe utilizarea dispozitivelor semiconductoare de putere performante si nu numai, au facut ca numarul lor sa creasca spectaculos.

De fapt, cresterea si dezvoltarea domeniului actionarilor electrice a fost si este în continuare în strânsa legatura cu automatizarile din industrie si cu realizarea unor circuite din ce în ce mai performante la un pret foarte competitiv.

Acestea sunt doar câteva aspecte care au condus la necesitatea elaborarii unei lucrari pe aceasta tema.

Datorita multiplelor probleme pe care le abordeaza, precum si datorita diversitatii acestora s-a impus structurarea pe mai multe volume.

Volumul de fata ACTIONARI ELECTRICE DE CURENT CONTINUU” reprezinta prima parte din aceasta ampla lucrare si cuprinde câteva generalitati privind sistemele de actionari electrice, notiuni legate de utilizarea masinilor de curent continuu în cadrul acestor sisteme, actionari electrice cu masini de curent continuu alimentate de la convertoare statice de putere cu stingere fortata, sisteme de actionari electrice cu masini de curent continuu alimentate de la convertoare cu stingere naturala, precum si rezultatele

obținute în urma simulării funcționării mașinii de curent continuu.

Autorii își propun să continue în anul următor cu volumele:

„ACTIONARI ELECTRICE CU MASINI DE CURENT ALTERNATIV”. Volumul cuprinde notiuni legate de sistemele de actionari electrice cu masini asincrone si sincrone. Sunt analizate cele mai moderne solutii de comanda a acestor masini;

„COMANDA SISTEMELOR DE ACTIONARI ELECTRICE”. In volum sunt prezentate aspecte legate de functionarea sistemelor de actionari electrice în bucla închisa, precum si cele legate de comanda numerica a actionarilor electrice. Tot aici sunt analizate problemele ce trebuie rezolvate în momentul implementarii comenzii numerice cu ajutorul automatelor programabile, a controlerelor industriale sau a procesoarelor numerice de semnal (*Digital Signal Processors*).

Autorii multumesc pe aceasta cale Editurii ICPE pentru disponibilitatea deosebita de care a dat dovada la realizarea acestei lucrari, precum si tuturor celor care i-au ajutat si sprijinit sub diferite forme în elaborarea si redactarea acetei lucrari.

Bucuresti, 1999

Autorii

CUPRINS

PREFATA	1
CUPRINS	3
CAPITOLUL 1	9
GENERALITATI PRIVIND ELEMENTELE	
SISTEMELOR DE ACTIONARI ELECTRICE	9
.....	
1.1. SCURT ISTORIC AL ACTIONARILOR	
ELECTRICE	9
1.2. STRUCTURA GENERALA A UNUI SAE	10
1.3. MECANICA SISTEMULUI DE ACTIONARE	
ELECTRICA	17
1.3.1. Ecuatia generala de miscare	18
.....	
1.3.2. Componentele cuplului de sarcina	21
1.3.3. Exemple de cupluri de sarcina	23
1.3.4. Clasificarea cuplului de sarcina	25
1.3.5. Stabilitatea statica de functionare	26
1.4. SISTEMUL CONVERTOR - MASINA	28
1.5. REGLAREA VITEZEI UNUI SISTEM DE	
ACTIONARE ELECTRICA	30
1.6. SPECIFICATIILE NECESARE UNUI SISTEM DE	
ACTIONARE ELECTRICA	33
1.7. ELEMENTE DE MECANICA ACTIONARII ...	33
1.7.1. Legile corpului solid	33
1.7.2. Raportarea cuplurilor si fortelor la acelasi	
arbore	37
1.7.3. Raportarea momentelor de inertie si a	
masei la acelasi arbore	40
.....	
1.8. EFECTE TERMICE ÎN MASINILE ELECTRICE	
.....	41

1.8.1.	Pierderile de putere si restrictiile de temperatura	41
1.8.2.	Încalzirea masinilor electrice	42
1.8.3.	Servicii de functionare	45
1.9.	DISPOZITIVE SEMICONDUCTOARE DE PUTERE FOLOSITE ÎN SISTEMELE DE ACTIONARI ELECTRICE	49
1.10.	PROBLEME	53
1.10.1.	Probleme rezolvate	53
1.10.2.	Probleme propuse	58
1.11.	BIBLIOGRAFIE	59
CAPITOLUL 2	61
MASINI DE CURENT CONTINUU FOLOSITE ÎN SAE	61
2.1.	RELATIILE REGIMULUI STATIC DE FUNCTIONARE	61
2.1.1.	Masini de curent continuu cu excitatie separata si derivatie	61
2.1.2.	Masini de curent continuu cu excitatie serie si mixta	67
2.2.	METODE DE PORNIRE A MASINII DE CURENT CONTINUU	69
2.2.1.	Masini de curent continuu cu excitatie separata sau derivatie	69
2.2.1.1.	Pornire prin conectare directa la retea	70
2.2.1.2.	Pornirea reostatica	72
2.2.1.3.	Pornirea prin variatia tensiunii de alimentare	81
2.2.2.	Masini de curent continuu cu excitatie serie	81
2.3.	METODE DE FRÂNARE A MASINII DE CURENT CONTINUU	83
2.3.1.	Masini de curent continuu cu excitatie separata sau derivatie	83
2.3.1.1.	Frânarea propriu-zisa prin inversarea sensului de rotatie	83

2.3.1.2.	Frânarea prin contraconectare	85
2.3.1.3.	Frânarea dinamică recuperativă	86
2.3.1.4.	Frânarea dinamică nerecuperativă	87
2.3.2.	Masini de curent continuu cu excitație serie	89
2.3.2.1.	Frânarea propriu-zisă prin inversarea sensului de rotație	89
2.3.2.2.	Frânarea prin contraconectare	90
2.3.2.3.	Frânarea dinamică recuperativă	90
2.3.2.4.	Frânarea dinamică nerecuperativă	90
2.4.	METODE DE REGLARE A VITEZEI MASINII DE CURENT CONTINUU	91
2.4.1.	Reglajul reostatic	91
2.4.2.	Reglarea tensiunii de alimentare	92
2.4.3.	Reglarea câmpului de excitație	94
2.4.4.	Reglarea vitezei prin combinarea metodelor 2 și 3	95
2.5.	FUNCTIA DE TRANSFER A UNEI MASINI DE CURENT CONTINUU	96
2.5.1.	Masina de curent continuu cu excitație separată	96
2.5.1.1.	Reglarea tensiunii de alimentare	97
2.5.1.2.	Reglarea câmpului de excitație	100
2.5.2.	Masina de curent continuu cu excitație serie	102
2.6.	PROBLEME	104
2.6.1.	Probleme rezolvate	104
2.6.2.	Probleme propuse	107
2.7.	BIBLIOGRAFIE	109

CAPITOLUL 3	110
SISTEME DE ACTIONARE ELECTRICA	
MASINA DE CURENT CONTINUU - CHOPPER	110
.....	
3.1. PRINCIPII DE FUNCTIONARE; TEHNICI DE REGLARE	110
3.2. SISTEM DE ACTIONARE ELECTRICA MOTOR DE CURENT CONTINUU -CHOPPER	116
3.3. ECUATIILE STATICE DE FUNCTIONARE PENTRU REGIM DE FUNCTIONARE STABIL	118
3.4. PRINCIPIUL DE FUNTIONARE AL UNUI CHOPPER	123
3.5. MASINI DE CURENT CONTINUU ALIMENTATE DE LA CHOPPERE	136
3.5.1. Analiza functionarii masinilor de curent continuu alimentate de la choppere	137
3.5.2. Caracteristica mecanica	143
3.6. FRÂNAREA MASINILOR DE CURENT CONTINUU ALIMENTATE DE LA CHOPPERE	145
3.6.1. Frânarea dinamica nerecuperativa	145
3.6.2. Frânarea dinamica recuperativa	146
3.7. FUNCTIONAREA ÎN DOUA CADRANE A MASINII DE CURENT CONTINUU ALIMENTATE DE LA UN CHOPPER	152
3.8. FUNCTIONAREA ÎN PATRU CADRANE A SISTEMELOR DE ACTIONARE ELECTRICA MASINA DE CURENT CONTINUU - CHOPPER	157
3.9. FILTRE DE INTRARE PENTRU SISTEMELE DE ACTIONARE CU CHOPPER	162
3.10. CHOPPER MULTIFAZA	167
3.11. PROBLEME	168

3.11.1. Probleme rezolvate	168
3.11.2. Probleme propuse	171
3.12. BIBLIOGRAFIE	172
CAPITOLUL 4	173
SISTEME DE ACTIONARE ELECTRICA	
MASINA DE CURENT CONTINUU -	
CONVERTOR STATIC.....	173
4.1. GENERALITATI	173
4.2. MASINA DE CURENT CONTINUU CU EXCITATIE SEPARATA ALIMENTATA DE LA UN CONVERTOR STATIC MONOFAZAT COMPLET COMANDAT	177
4.2.1. Ipoteze de lucru	178
4.2.2. Principiul de functionare	179
4.2.2.1. Regimul de functionare continua	179
4.2.2.2. Regimul de functionare discontinua	184
4.2.3. Analiza generala a functionarii actionarii ...	186
4.2.3.1. Metoda numerica	187
4.2.3.2. Metoda analitica	188
4.2.4. Evaluarea performantelor	191
4.3. ÎMBUNĂTĂȚIREA FACTORULUI DE PUTERE	193
4.3.1. Controlul unghiului de defazaj	195
4.3.1.1. Convertor complet comandat	195
4.3.1.2. Convertor semicomandat	198
4.3.2. Functionarea convertoarelor monofazate semicomandate în regim complet comandat	199
4.3.3. Comanda asimetrică a tiristoarelor	202
4.3.4. Comutația forțată	204
4.3.4.1. Extinderea unghiului de control	204
4.3.4.2. Unghi de control simetric	207
4.3.4.3. Modulația în lățime a pulsului (PWM)	208
4.4. SECVENȚA DE CONTROL A CONVERTOARELOR SERIE	210
4.4.1. Convertoare semicomandate cu faza	

controlata	211
4.4.2. Unghi de control simetric	213
4.4.3. Controlul secvențial al convertoarelor complet comandate	216
4.4.3.1. Regimul de redresor	216
4.4.3.1. Regimul de inverter	218
4.5. EVALUAREA COMPARATIVĂ A SCHEMELOR DE ÎMBUNĂTĂȚIRE A FACTORULUI DE PUTERE	219
4.6. PROBLEME	219
4.6.1. Probleme rezolvate	219
4.6.2. Probleme propuse	221
4.7. BIBLIOGRAFIE	223
CAPITOLUL 5	224
SIMULAREA FUNCȚIONĂRII MASINII DE CURENT CONTINUU.....	224
5.1. PORȚIUNEA REOSTATICĂ A UNEI MASINI DE CURENT CONTINUU CU EXCITAȚIE DERIVATIE	224
5.2. METODE DE FRÂNARE A MASINII DE CURENT CONTINUU	230
5.3. SIMULAREA FUNCȚIONĂRII MASINII DE CURENT CONTINUU LA SARCINĂ CONSTANTĂ	237
5.4. BIBLIOGRAFIE	242

CAPITOLUL 1

GENERALITATI PRIVIND ELEMENTELE SISTEMELOR DE ACTIONARI ELECTRICE

1.1. SCURT ISTORIC AL ACTIONARILOR ELECTRICE

Prima actionare electrica, o locomotiva, a fost realizata în anul **1832**; motorul ei a avut o constructie inspirata dupa motorul cu aburi. In anul urmator, *W. Ritchie* construiesc pentru prima data un motor de curent continuu având excitatia realizata cu ajutorul unor electromagneti. In **1834**, *M.H. Iakobi* construiesc un motor alimentat de la o baterie, cu care a reusit sa actioneze o barca pe *Neva*. Anul **1881** este un an de referinta în domeniul tractiunii electrice, deoarece au fost puse în functiune primele tramvaie electrice la *Paris* (cu fir de contact) si la *Berlin* (cu alimentare prin ambele sine), ca în **1882** sa fie experimentat primul troleibuz electric pe linia *Berlin-Halensee*. In **1897**, în *Olanda*, a fost construit primul submarin electric, pentru ca 2 ani mai târziu, în *SUA*, sa fie construit primul automobil electric ce putea rula cu o viteza maxima de circa $105 \text{ km} / \text{h}$, un record la acea vreme.

Sfârșitul secolului al nouasprezecelea a fost marcat si la noi în tara de câteva evenimente remarcabile în acest domeniu. Astfel, în **1897** s-a introdus actionarea cu motoare electrice a instalatiilor de foraj-extractie de pe Valea Prahovei,

iar în **1899** a fost realizată prima acționare electrică (*la masini de treierat*) din țară (*lângă Sibiu*).

În secolul al XX-lea, acționările electrice au avut o dinamică spectaculoasă și aceasta datorită realizărilor de prestigiu din domeniul electronicii de putere. Istoria acestui domeniu a început în **1900**, când au fost realizate primele redresoare cu tuburi de sticlă cu arc de mercur. În timpul celui de-al doilea război mondial, erau folosite cu succes amplificatoarele magnetice și redresoarele cu seleniu. Dacă, probabil, cea mai mare revoluție a ingineriei electrice a constituit-o inventarea tranzistorului în **1948** de către *Bardeen, Brattain* și *Shockley* de la *Bell Telephone Laboratory*, anul **1956**, odată cu inventarea tiristorului de către un colectiv de la același laborator, a reprezentat începutul erei moderne a electronicii de putere. În **1958** tiristorul sau *tranzistorul triggerabil PNP*, cum a fost numit inițial, a început să fie comercializat de *General Electric Company*. În prezent, apariția unor procesoare puternice (*în special a procesoarelor numerice de semnal*) a permis realizarea unor sisteme de acționare electrică deosebit de performante și fiabile.

Pentru acționările de viteză constantă, sunt folosite în special mașinile asincrone și cele sincrone. Cele mai numeroase sunt acționările electrice ce folosesc mașinile asincrone cu puteri între circa **0,1 kW** și **400 kW**. Ca pondere numerică, după unele statistici, mașinile asincrone reprezintă **90 %** din totalul mașinilor utilizate, dar numai **50 - 55 %** ca pondere în privința puterii instalate. Pentru sistemele de acționări electrice reglabile sunt folosite mașinile de curent continuu în proporție de **70 %**, mașinile asincrone și sincrone **15 %**, iar alte **15 %** sunt acționări ce presupun folosirea ambreiajelor electromagnetice. Dar această „*distributie*” a utilizării mașinilor electrice este într-o permanentă schimbare.

1.2. STRUCTURA GENERALA AL UNUI SAE

Un **Sistem de Acționare Electrică (SAE)** reprezintă un ansamblu de elemente conectate în vederea atât a realizării, cât și a comenzii și reglării conversiei electromecanice a energiei pentru un anumit proces tehnologic.

Elementele componente ale unui **sistem de acționare electrică** se pot grupa în două sisteme în funcție de rolul lor:

- **sistemul de forță (SF)** - care asigură conversia electromecanică a energiei;
- **sistemul de comandă și control (SCC)** - care are rolul de a asigura comanda și controlul sistemului de acționare electrică.

Elementele componente sunt interconectate și au legături cu sistemele sau elementele exterioare, care pot fi grupate în:

- **sistemul de conducere (SC)** - reprezentat de unitatea centrului de comandă a procesului tehnologic, care impune sistemului de acționare electrică prin mărimea de comandă x , tipul și limitele de variație a mărimii comandate y ; sistemul de acționare electrică trimite către sistemul de comandă informații prin intermediul marimilor de semnalizare y_e :

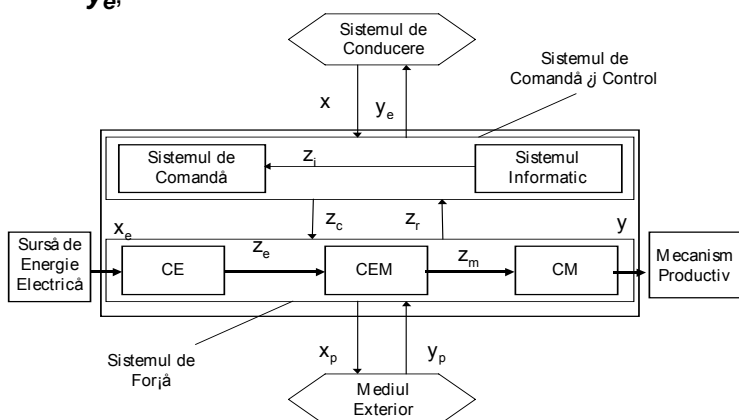


Fig. 1.1. Sistem de acționare electrică.

- **mecanismul productiv (MP)** - reprezentat de elementele mecanice care realizează procesul tehnologic; sistemul de acționare electrică este proiectat în vederea modificării corespunzătoare a mărimii comandate y a acestuia;
- **sursa de energie electrică (SEE)** - este reprezentată de rețeaua electrică de alimentare. Aceasta este caracterizată de mărimea x_e . Rețeaua poate fi de tensiune continuă sau rețea de tensiune alternativă de frecvență constantă;
- **mediul exterior (ME)** - poate influența funcționarea sistemului de acționare electrică prin introducerea unor mărimi perturbatoare x_p precum temperatura, umiditatea, radiațiile sau altele și care este influențat de către **SAE** prin intermediul mărimilor poluante y_p , cum ar fi zgomotele, vibrațiile, degajarea de căldură, noxele și altele.

Sistemul de forță (SF) asigură conversia energiei electrice primite de la sursa de energie (**SEE**) și caracterizată de mărimea de intrare x_e , în lucrul mecanic efectuat de către mecanismul productiv (**MP**) și caracterizat de mărimea de ieșire y . Sistemul este format din trei elemente înseriate din punct de vedere funcțional:

- **convertorul electric (CE)** - transformă energia electrică caracterizată de parametrii x_e și primită de la sursa **SEE**, în energie electrică caracterizată de parametrii z_e . Astfel, se obțin parametrii necesari ai energiei electrice utilizată de către convertorul electromecanic. Acest convertor poate fi un transformator electric, un redresor, un convertor de frecvență, etc;
- **convertorul electromecanic (CEM)** - transformă energia electrică caracterizată de parametrii z_e în lucru mecanic caracterizat de parametrii z_m (*turație, cuplu, etc.*). Pentru marea majoritate a sistemelor de

actionari electrice, convertorul electromecanic este o masina electrica;

- **convertorul mecanic (CM)** - realizeaza conversia lucrului mecanic, caracterizat de parametrii \mathbf{z}_m , în lucru mecanic caracterizat de parametrii \mathbf{y} , necesar mecanismului productiv **MP**. Câteva exemple de convertoare mecanice de energie sunt: transmisia mecanica; reductorul de viteza s.a. In unele cazuri acest convertor poate lipsi, daca parametrii \mathbf{z}_m se potrivesc cu parametrii \mathbf{y} .

Sistemul de comanda și control (SCC) este alcatuit din urmatoarele elemente:

- **sistemul de comanda (SCM)** - primeste informatii de la sistemul de conducere, exterior sistemului de actionare electrica si furnizeaza semnalele de comanda necesare sistemului de forta;
- **sistemul informatic (SCI)** - este format din senzori, traductoare si sisteme de transmisie a informatiei la distanta.

Sistemul de comanda si control asigura supravegherea, comanda si reglarea sistemului de forta pentru a putea face o concordanta între marimea de comanda \mathbf{x} si cea comandata \mathbf{y} . *Sistemul informatic* primeste informatii \mathbf{z}_r de la toate elementele componente ale sistemului de forta si le transmite apoi cu parametrii \mathbf{z}_i *sistemului de comanda*. Acesta prelucreaza informatiile primite si pe baza marimilor de intrare \mathbf{x} , transmite sistemului de forta comenzi, având parametrii \mathbf{z}_c . In cazul unor actionari foarte simple, existenta unui sistem de comanda **SC** nu este neaparat necesara, iar sistemul informatic va fi format doar dintr-un simplu sistem de semnalizare (**SS**).

Un sistem de actionare electrica se mai poate reprezenta si cu ajutorul schemei bloc prezentata în figura 1.2.

Convertorul de putere cu semiconductoare (convertorul de putere) are rolul de a adapta puterea transmisă motorului de către sursa de alimentare, în așa fel încât caracteristicile **turație - cuplu** și **turație - curent** ale motorului să devină compatibile cu cerințele sarcinii.

Unitatea de control a convertorului de putere este realizată adesea cu tranzistoare, circuite integrate lineare și digitale, iar atunci când complexitatea sistemului o cere, ea este realizată cu automate programabile, microprocesoare, microcalculatoare (*sistemele de acționare cu roboți industriali, mașini unelte*), microcontrolere industriale sau chiar cu procesoare numerice de semnal (**Digital Signal Processors**). Legătura dintre unitatea de control și convertorul de putere este făcută prin intermediul unui etaj de izolare electrică. Acest etaj este necesar din două considerente majore: **primul** - în cazul apariției unui defect și în absența izolației, tensiunile înalte ar putea ajunge la bornele unității de control, distrugându-o și **al doilea**, - în lipsa izolației, armonicile generate de către convertor ar interfera cu semnalele unității de control, perturbându-le.

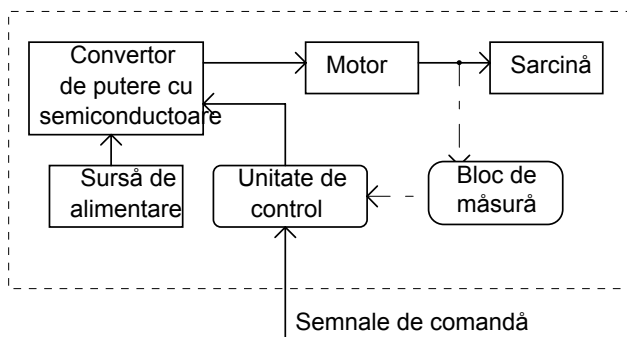


Fig. 1.2. Schema bloc simplificată a unui sistem de acționare electrică.

Blocul de masură are rolul de a achiziționa informațiile necesare din proces și de a le transmite unității de control. El este format din traductoarele utilizate și circuitele aferente acestora (*filtre, etaje de adaptare de nivel, etc.*).

Apariția procesoarelor specializate și în mod special a procesoarelor numerice de semnal (**DSP**) a dus la realizarea în condiții foarte avantajoase (*performanță-pref*) a comenzii numerice a unui sistem, făcându-l mult mai practic. Arhitectura specială și performanțele ridicate ale **DSP**-urilor au permis implementarea unei mari varietăți de algoritmi de comandă numerică, care până mai ieri erau rezervați doar activității de cercetare și studiilor de simulare din laboratoare. Un sistem de comandă și control are rolul de a procesa semnalele de intrare, astfel încât să se obțină la ieșire răspunsul dorit sau o cât mai bună aproximare a acestuia într-un timp minim. În aceste condiții, schema bloc a unui sistem de acționare electrică se poate reprezenta simplificat ca în figura 1.3.

Conform figurii, sistemul de acționare este format din patru părți componente: *controller*-ul, *elementul de execuție*, blocul format din *motor* plus *sarcina* și blocul reprezentat de *senzori* și *traductoare*.

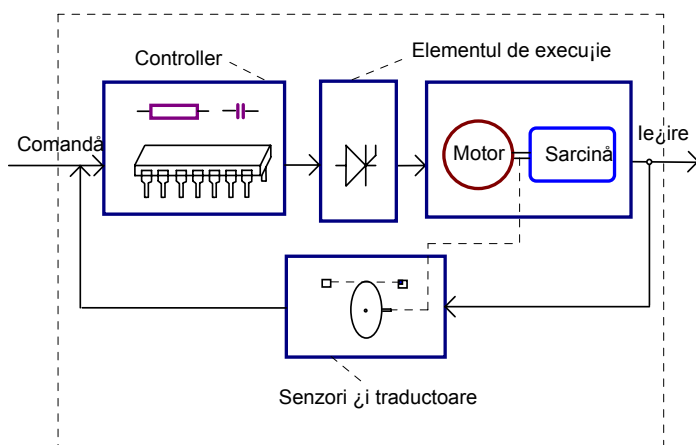


Fig. 1.3. Schema bloc simplificată a unui sistem de acționare electrică.

Senzorii au rolul de a măsura comportarea sistemului de acționare electrică a întregului proces, furnizând astfel un semnal de *feed-back* controller-ului. Dintre senzorii și traductoarele cele mai utilizate în sistemele de acționari electrice putem menționa: *tahogeneratoarele*, *traductoarele de poziție* și *cele de curent*. **Controller-ul**, realizat din elemente de calcul și decizie, furnizează blocului *motor - sarcină* semnalele necesare în conformitate cu informația primită de la senzori și traductoare, respectiv de la unitatea de comandă.

Sistemele de comandă numerice (*figura 1.4*) tind să înlocuiască tot mai des pe cele analogice și aceasta datorită avantajelor impuse de utilizarea **DSP**-urilor. Procesorul de semnal prelucrează cu ajutorul unor algoritmi specifici tratării numerice semnalele primite de la senzori în relație cu semnalul de referință primit de la unitatea de comandă ierarhic superioară.

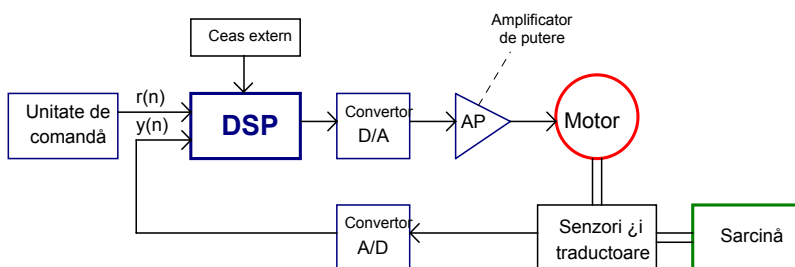


Fig. 1.4. Comanda numerică a unui sistem de acționare electrică.

Funcționarea corectă și optimă a sistemului de acționare electrică presupune cunoașterea foarte exactă a procesului tehnologic, în funcție de care se va proiecta, calcula și realiza toate elementele ansamblului. Două dintre elementele importante ale unei acționari electrice sunt: **1** - familia caracteristicilor mecanice ale acționării și **2**, - gama de viteze de lucru necesare procesului tehnologic.

Caracteristica mecanică a unei mașini electrice sau a unei mașini de lucru (*o sarcină oarecare*) este reprezentată de legătura dintre viteza unghiulară și cuplu, atunci când ceilalți parametri ce intervin sunt menținuți constanți.

Gama de viteze de lucru se definește ca raport între viteza unghiulară minimă și cea maximă.

$$\gamma = \frac{\Omega_{min}}{\Omega_{max}} \quad (1.1)$$

Câteva exemple de game de viteze de lucru sunt: **1:10.000** pentru mecanismele de avans ale mașinilor - unelte, **1:25** pentru laminoare și **1:2** în cazul cuptoarelor de ciment sau a morilor de minereuri.

1.3. MECANICA SISTEMULUI DE ACȚIONARE ELECTRICA

Din prezentarea făcută în capitolul 1.2 rezulta că numai trei sisteme din cadrul unui sistem de acționare electrică au elemente în mișcare: convertorul electromecanic (**CEM**), convertorul mecanic (**CM**) și mecanismul productiv (**MP**) (*figura 1.5.a*).

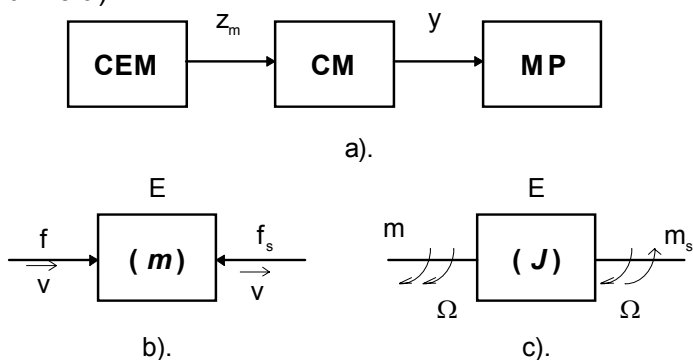


Fig. 1.5. Elementele în mișcare ale unui SAE.

Convertorul electromecanic și mecanismul productiv pot executa fiecare o mișcare de rotație sau o mișcare de translație; corelarea dintre aceste mișcări (*eventual transformarea unui tip de mișcare în celălalt*) este realizată de către convertorul mecanic. Rezultă ca ansamblul descris (**CME + CM + MP**) formează un agregat complex. Studiul mișcării acestui agregat complex constă în determinarea legilor de mișcare a elementelor sale cunoscând legile de variație ale forțelor, respectiv ale cuplurilor exterioare care se aplică agregatului.

1.3.1. Ecuația generală de mișcare

Mișcarea efectuată de convertorul electromecanic (**CEM**) este caracterizată de parametrii \mathbf{z}_m (figura 1.5.a) care pot fi: forța (**f**) și viteza (**v**) în cazul unei mișcări rectilinii, respectiv cuplu (**m**) și viteza unghiulară (Ω) în cazul unei mișcări circulare.

Analog, mișcarea mecanismului productiv (**MP**) este caracterizată de parametrii **y**, care sunt similari cu parametrii convertorului electromecanic atunci când se efectuează același tip de mișcare. Evident, elementul activ al agregatului (**CME+CM+MP**) este convertorul electromecanic - **CME** - care produce forța sau cuplu.

Metoda utilizată pentru studiul mișcării agregatelor este metoda reducerii tuturor forțelor (*cuplurilor*) aplicate agregatului și a tuturor maselor elementelor agregatului la un singur element, la *elementul redus*. Prin această metodă, problema dinamicii agregatului complex se înlocuiește cu problema mișcării unui singur element al său. În cazul concret al unui sistem de acționare electrică, elementul la care se face reducerea este convertorul electromecanic - **CEM**. Astfel, agregatul complex descris în figura 1.5.a se reduce la un simplu element echivalent redus (**E**), care primește forța activă (**f**), sau cuplul activ (**m**) de la **CEM** și asupra căruia acționează o forță rezistivă (**f_s**) - (figura 1.5.b) sau un cuplu rezistiv redus (**m_s**) - (figura 1.5.c) care modelează efectele

mecanice ale convertorului mecanic **CM** și ale mecanismului productiv **MP**. Elementul echivalent are masa redusă **m**, respectiv momentul de inerție redus **J**.

Ecuatia de echilibru dinamic a **elementului echivalent E** este:

$$\text{- pentru miscarea rectilinie} \quad f = f_s + m_r \cdot \frac{dv}{dt} \quad (1.1.a)$$

$$\text{- pentru miscarea de rotatie} \quad m = m_s + J \cdot \frac{d\Omega}{dt} \quad (1.1.b)$$

unde termenii:

$$m \cdot \frac{dv}{dt} = f_i \quad \text{- reprezinta forta de inerție} \quad (1.2.a)$$

$$J \cdot \frac{d\Omega}{dt} = m_d \quad \text{- reprezinta cuplul dinamic} \quad (1.2.b)$$

Toate marimile din ecuatiile 1.1 pot lua atât valori pozitive, cât și valori negative.

În funcționarea sistemelor de acționare electrică se disting două regimuri de funcționare: **regimul staționar** și **regimul nestaționar**. În cadrul regimului staționar, parametrii cinematici și dinamici ai agregatului sunt constanți sau variază după o lege periodică. Astfel, viteza elementului echivalent redus **E** este constantă sau variază după o lege periodică.

Condiția de echilibru pentru cazul regimului staționar de funcționare ($v=ct.$; $\Omega=ct.$) este:

$$\text{- pentru miscarea rectilinie} \quad F = F_s \quad (1.3.a)$$

$$\text{- pentru miscarea de rotatie} \quad M = M_s \quad (1.3.b)$$

Deoarece în marea majoritate a cazurilor practice, convertorul electromecanic (**CEM**) este o mașină electrică cu

miscare de rotație, în cele ce urmează, se va analiza numai cazul miscării circulare, cazul miscării rectilinii putând fi analizat într-un mod similar.

Pentru cazul miscării de rotație, convertorul electromecanic (**CEM**) și ansamblul (**CM + MP**) se pot defini prin caracteristicile mecanice, caracteristica mecanică a mașinii pentru **CEM** și caracteristica mecanică a sarcinii pentru ansamblul (**CM + MP**).

O caracteristică mecanică în regim static se definește ca dependența vitezei unghiulare de rotație de mărimea cuplului dezvoltat:

- caracteristica mecanică a mașinii $\Omega = \Omega(m)$
(1.4.a)

- caracteristica mecanică a sarcinii $\Omega = \Omega(m_s)$
(1.4.b)

Conform condiției (1.3), pentru un anumit sistem de acționare electrică, în regim static, **punctul de funcționare** se obține la intersecția dintre caracteristica mecanică a mașinii și caracteristica mecanică a sarcinii (*figura 1.6*), unde punctul de funcționare a fost notat cu **A**.

În *figura 1.6*, caracteristicile mecanice au fost considerate până la o valoare maximă acceptabilă pentru cuplu, numit *cuplu maxim* (M_m). Depășirea valorii M_m poate conduce în timp la o degradare rapidă a unor părți componente ale mașinii, datorate supraîncălzirilor cauzate de pierderile exagerate de energie.

Din motive mecanice, nu poate fi depășită o viteză unghiulară maximă Ω_m , impusă de convertorul electromecanic de către sarcină (*convertor mecanic plus mecanismul productiv*) sau de către procesul tehnologic. În consecință, în planul caracteristicilor mecanice (m, Ω), se delimitează un domeniu admisibil de funcționare - zonă hasurată din *figura 1.6*. Punctul de funcționare **A**, trebuie să fie inclus în acest domeniu admisibil de funcționare.

Caracteristicile mecanice se pot defini și în unități relative:

$$v = v(\mu) \quad v = \frac{\Omega}{\Omega_n} \quad (1.5.a)$$

$$v = v(\mu_s) \quad \mu = \frac{m}{M_n} \quad (1.5.b)$$

$$\mu_s = \frac{m_s}{M_{ns}} \quad (1.5.c)$$

unde: Ω_n este viteza unghiulară nominală, iar M_n și M_{ns} sunt cuplul nominal al mașinii și respectiv al sarcinii; v este viteza unghiulară în unități relative, μ cuplul relativ activ (*dezvoltat de mașina electrică*), respectiv μ_s este cuplul relativ de sarcină.

Pentru ca regimul static de funcționare, caracterizat de punctul **A**, să corespundă pentru toate elementele agregatului, este necesar ca punctul **A** să fie în interiorul domeniului admisibil de funcționare. Altfel, va trebui aleasă o altă mașină electrică de antrenare, dacă ansamblul **convector mecanic + mecanism productiv** se dorește a fi păstrat în structura sa inițială.

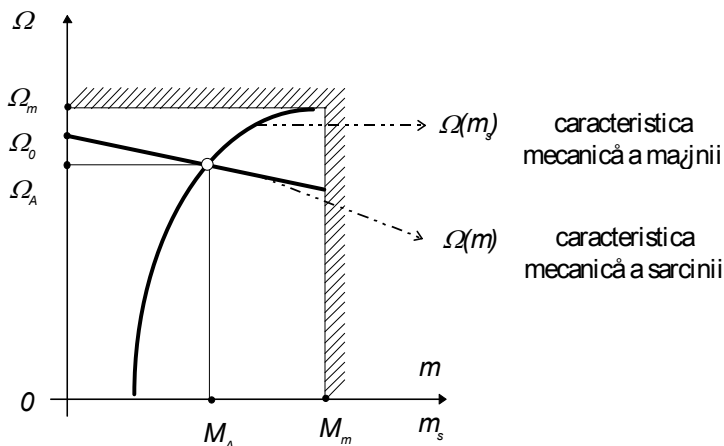


Fig. 1.6. Punctul de funcționare în regim static al unui SAE.

1.3.2. Componentele cuplului de sarcina

Cuplul de sarcina este format din următoarele componente:

1. **Cuplul datorat frecarilor** este prezent atât la arborele motorului, cât și la alte părți componente ale sistemului de acționare. Cu m_F se notează cuplul de frecare total, raportat la arborele motorului;
2. **Cuplul datorat rezistenței aerului** apare odată cu învârtirea motorului și este notat m_{ra} ;
3. **Cuplul de sarcina**, notat cu m_s , este cel cerut de către sarcină și poate fi constant (*sarcini potențiale*), proportional cu patratul vitezei (*ventilatoare*) sau poate varia odată cu schimbarea modului de operare al sarcinii.

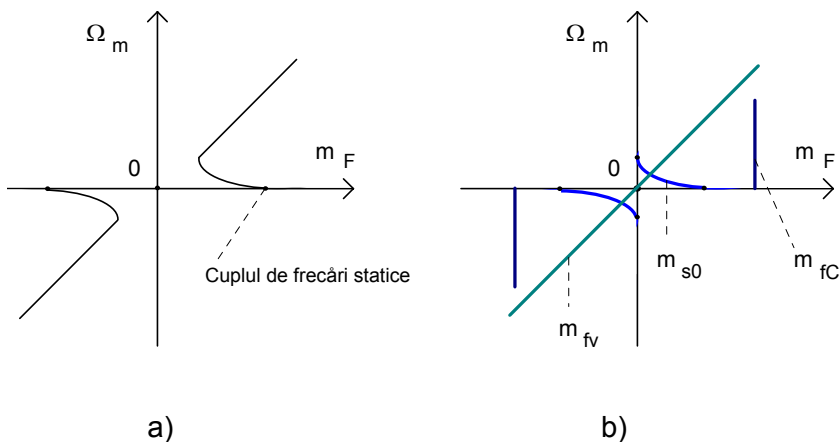


Fig. 1.7. Cuplul datorat frecarilor și componentele sale.

unde:

m_{fv} : cuplul de frecări vâscoase, proportional cu viteza;

m_{fC} : cuplul de frecare coulombiana, independent de viteză;

m_{s0} : cuplul de frecare aditional, care este prezent numai în starea de repaus (*sau viteze foarte mici*);

m_{ra} : cuplul datorat rezistenței aerului, proportional cu patratul vitezei.

Modul de variatie al cuplului de frecare este prezentat în figura 1.7.a. Valoarea sa la viteza zero, m_{s0} , este superioara valorii corespunzatoare la viteza puțin peste zero. Componentele acestui cuplu sunt prezentate în figura 1.7.b.

Pentru regimul static de functionare, cuplul total al sarcinii este m_{Stot} :

$$m_{Stot} = m_F + m_{ra} + m_s \quad (1.6.a)$$

$$\begin{aligned} m_{Stot} &= (m_{fV} + m_{fC}) + m_{ra} + m_s = \\ &= B \cdot \Omega_m + m_{fC} + m_{ra} + m_s = \\ &= B \cdot \Omega_m + m_{fC} + C \cdot \Omega_m^2 + m_s \end{aligned} \quad (1.6.b)$$

Dar, în cele mai multe cazuri, cuplul de frecari coulombiene si cel datorat rezistenței aerului sunt mult mai mici decât cuplul de frecari vâscoase si neglijabile fata de cel cerut de catre sarcina:

$$m_{fC} + C\Omega_m^2 \ll B\Omega_m \quad (1.7.a)$$

$$m - m_s = J \frac{d\Omega_m}{dt} \quad (1.7.b)$$

$$m = m_s + J \cdot \frac{d\Omega_m}{dt} + B \cdot \Omega_m \quad (1.8)$$

Daca cuplul dezvoltat de catre masina m si cel cerut de sarcina m_s , nu sunt constante în timp, atunci ecuatia 1.8 este o ecuatie diferentiala neliniara, ce poate fi rezolvata numai numeric. Expresia cea mai des utilizata pentru ecuatia cuplului este cea din relatia 1.9, în care este neglijat si cuplul de frecari vâscoase:

$$m = m_s + J \cdot \frac{d\Omega_m}{dt} \quad (1.9)$$

1.3.3. Exemple de cupluri de sarcina

Înainte de a analiza functionarea si stabilitatea în functionare a unui sistem de actionare electrica, este util a se cunoaste *caracteristica mecanica viteza - cuplu* a sarcinii. În figura 1.8 sunt prezentate câteva exemple de astfel de caracteristici.

Pentru pompe, suflante, ventilatoare si alte sarcini ce implica curgeri de fluide, cuplul variaza proportional cu patrutul vitezei (*figura 1.8.a*). În cazul sistemelor de tractiune, trenuri electrice si autovehicule, neglijând cuplul datorat fenomenului de gravitatie, variatia cuplului cu viteza este prezentata în figura 1.8.b.

Printr-o analiza atenta a caracteristicii sarcinii, coroborata cu programul de lucru al acesteia, se pot lua decizii importante privind îmbunatatirea parametrilor regimului tranzitoriu sau al celui permanent, obținând rezultatele dorite. Spre exemplu, în cazul trenurilor, care au o masa apreciabila, cuplul de accelerare reprezinta un procent important din cuplul total.

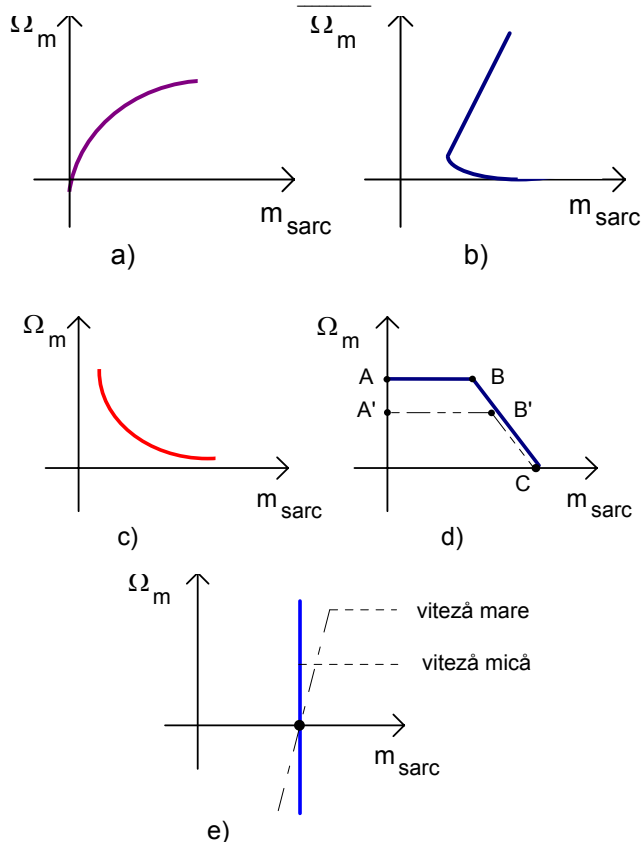


Fig. 1.8. Exemple de cupluri de sarcina.

Daca tinem cont de coeficientul de frecare care este definit ca raportul dintre forta de tractiune si masa rotilor motoare, se poate observa ca putem reduce timpul de accelerare printr-o crestere a masei acestora. Dar, nu trebuie uitat si faptul, ca acest coeficient mai depinde si de natura suprafetei de rulare si de alte conditii. Totusi, este de remarcat faptul ca o crestere a masei rotilor motoare poate duce la îmbunatatirea timpului de accelerare. La trenurile ce parcurg de regula distante mari între statii, valoarea maxima a

greutatei roților motoare se aproximează la jumătate din greutatea locomotivei. În cazul metroulor, acolo unde stațiile sunt dese și se dorește în același timp și obținerea unor viteze medii satisfăcătoare, se practică soluția cu vagoane motorizate. Astfel, greutatea totală a roților motoare a crescut foarte mult, putându-se obține accelerații net superioare cazului anterior. Practica a arătat că o soluție acceptabilă este folosirea unui număr de roți motrice egal cu jumătate din numărul total al roților unui metrou sau tramvai.

În figura 1.8.c este prezentată o caracteristică viteză - cuplu a unei acționări ce funcționează la putere constantă. Exemple de astfel de acționări se pot întâlni în fabricile de celuloză și hârtie sau de materiale plastice. Figura 1.8.d prezintă *caracteristica viteză - cuplu* pentru un excavator. Porțiunile AB , $A'B'$ ale caracteristicii depind de natura materialului de excavat, iar cele notate cu BC și respectiv $B'C'$ reprezintă limitările ce trebuie avute în vedere, pentru a preveni distrugerea mecanică a excavatorului, în cazul în care pe durata procesului de săpare este întâlnită o rocă dură.

Caracteristica mecanică pentru o macară este prezentată în figura 1.8.e. Aici se poate observa faptul că valoarea cuplului de sarcină nu depinde de viteză, el fiind constant și depinzând numai de accelerația gravitațională g . Doar la viteze mari de lucru componenta de frecare vâscoasă a cuplului își face simțita prezența.

1.3.4. Clasificarea cuplului de sarcină

Cuplurile de sarcină pot fi împărțite în două mari categorii:

- cupluri de sarcină active;
- cupluri de sarcină pasive.

Prima categorie se referă la acele sarcini care își pot menține semnul când direcția de rotație a motorului acționării se schimbă și care au capacitatea de a antrena motorul principal în anumite condiții de echilibru. Exemplu de sarcini

din aceasta categorie sunt: cuplul datorat forței gravitaționale (*cazul unei macarale sau a unei mașini care trebuie să urce un deal, iar apoi să îl coboare*) sau cuplurile datorate compresiei, respectiv torsiunii.

Cuplurile de sarcină pasive se opun mereu cuplului dezvoltat de către mașina de lucru. Este și cazul cuplului datorat frecărilor.

1.3.5. Stabilitatea statică de funcționare

Conform relației 1.9, viteza de regim staționar a unei acționări este atinsă atunci când cuplul dezvoltat de motor este egal cu cel cerut de către sarcină. Aceasta viteză, numită **viteză de echilibru**, este viteza corespunzătoare punctului de funcționare în care acționarea va reveni, după apariția unei mici perturbări externe (*variația tensiunii de alimentare, mici vibrații, etc.*). Analiza stabilității acționării într-un punct de funcționare se face pe baza conceptului de **stabilitate statică de funcționare**, cu folosirea caracteristicilor viteză - cuplu staționar atât pentru mașina, cât și pentru sarcină. Se presupune că îndepărtarea față de acest punct de echilibru se face de-a lungul caracteristicilor staționare. Dacă notăm cu indicele **e** variabilele la echilibru, atunci avem:

$$M_e = M_{s_e} \quad (1.10)$$

$$\left. \frac{d\Omega_m}{dt} \right|_{\text{echilibru}} = 0 \quad (1.11)$$

În cazul apariției unei perturbări, cuplul motorului, cel al sarcinii și respectiv viteza, vor fi perturbate de către marimile notate aici cu: Δm , Δm_S și $\Delta \Omega_m$. Relația 1.9 devine:

$$M_e + \Delta m = M_{s_e} + \Delta m_S + J \frac{d(\Omega_m + \Delta \Omega_m)}{dt} \quad (1.12)$$

iar din relațiile 1.10, 1.11 și 1.12 rezulta ecuația diferențială a unor mici perturbatii în jurul punctului static de funcționare (*a punctului de echilibru*):

$$J \frac{d(\Delta\Omega_m)}{dt} + \Delta m_s - \Delta m = 0 \quad (1.13)$$

Pentru variații foarte mici, caracteristicile motorului și ale sarcinii pot fi considerate lineare și atunci putem scrie:

$$\Delta m = \left(\frac{dm}{d\Omega_m} \right) \cdot \Delta\Omega_m \quad (1.14)$$

$$\Delta m_s = \left(\frac{dm_s}{d\Omega_m} \right) \cdot \Delta\Omega_m \quad (1.15)$$

Valorile din paranteze reprezintă tangentele la caracteristicile *viteza - cuplu*, pentru punctul considerat. Înlocuind ultimile două relații în ecuația 1.13 se obține:

$$J \frac{d(\Delta\Omega_m)}{dt} + \left(\frac{dm_s}{d\Omega_m} - \frac{dm}{d\Omega_m} \right) \cdot \Delta\Omega_m = 0 \quad (1.16)$$

Dacă pentru această ecuație diferențială punem condiția inițială ca la $t = 0$, $\Delta\Omega_m = 0$, se obține soluția:

$$\Delta\Omega_m = \Delta\Omega_{m0} \cdot e^{-\frac{1}{J} \left(\frac{dm_s}{d\Omega_m} - \frac{dm}{d\Omega_m} \right) \cdot t} \quad (1.17)$$

Punctul de echilibru se definește a fi **static stabil**, dacă $\Delta\Omega_m$ tinde către zero când timpul t tinde către infinit în relația 1.17. Acest lucru are loc atunci când paranteza din relația anterioară ia o valoare pozitivă:

$$\left(\frac{dm_s}{d\Omega_m} - \frac{dm}{d\Omega_m} \right) > 0 \quad (1.18)$$

Rezulta ca la o creștere a valorii vitezei acționării Ω_m , variația cuplului de sarcină **trebuie** să fie mai mare decât cea a motorului, facilitând revenirea în punctul de funcționare inițial. Ținând cont de aceste considerații, în figura 1.9 sunt exemplificate două puncte de funcționare stabile (A și C) și unul instabil (B).

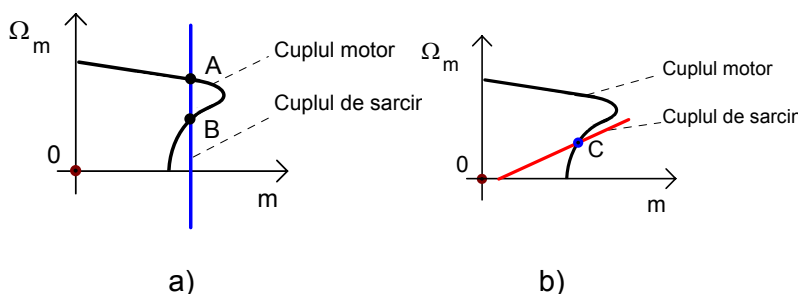


Fig. 1.9. Stabilitatea statică de funcționare.

1.4. SISTEMUL CONVERTOR - MAȘINA

Motoarele cele mai folosite în cadrul sistemelor de acționare electrică reglabile sunt mașinile asincrone, mașinile de curent continuu și mașinile sincrone. Pentru a realiza sisteme de acționare electrică reglabile, este nevoie fie de surse de tensiune continuă reglabile, fie de surse de tensiune alternativă reglabile sau/si frecvență reglabile. Sursa de tensiune disponibilă în majoritatea cazurilor este o sursă de tensiune alternativă de amplitudine și frecvență fixe. Totuși, uneori sunt disponibile și surse de tensiune continuă fixă. Acest aspect a făcut necesară realizarea a diferite tipuri de convertoare de putere. În tabelul 1.1, sunt prezentate

principalele tipuri de convertoare utilizate împreună cu funcțiunile acestora și cu domeniul de aplicatie.

Domeniul de funcționare al sistemului de acționare electrică este impus de regimul de lucru. Astfel, pe durata unor procese tranzitorii precum frânarea, accelerarea, reversarea sau schimbarea treptei de viteză, se poate permite creșterea curentului unei mașini de curent continuu, spre exemplu, de circa **2** până la **3,5 ori**, datorită capacității sale termice. Dacă nu este necesar un răspuns rapid al sistemului, atunci curentul se va limita la valoarea nominală a curentului mașinii. Pentru oricare dintre cazuri, valoarea de proiectare a convertorului corespunde valorii maxime a curentului din mașină, lucru care influențează pretul de cost al întregii acționari.

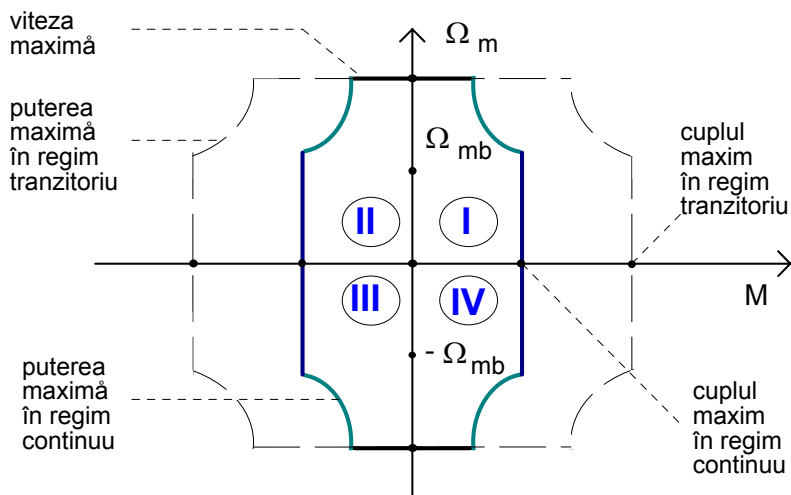


Fig. 1.10. Caracteristicile limita de viteză, cuplu și putere, în regim continuu și tranzitoriu.

În figura 1.10 este prezentat planul caracteristicilor mecanice împreună cu limitările de cuplu și putere pentru viteze mai mici și mai mari decât viteza de baza a motorului.

Prin **viteza de baza a masinii** se înțelege cea mai mare viteză în condiții de flux și tensiune nominale (*fără slabire de flux*). Deasupra acestei valori a vitezei, mașina este alimentată numai cu tensiunea nominală.

Viteza maximă este impusă de forța centrifugă ce acționează asupra înfășurărilor rotorice, a lamelor de colector și asupra tuturor pieselor aflate în mișcare de rotație. Caracteristica limită de putere constantă este datorată încălzirilor ce pot apărea la funcționarea cu sarcină constantă. În general, mașinile sunt proiectate să funcționeze în serviciul **S1**. Corespunzător caracteristicii limită de cuplu constant, se pune în evidență scăderea de putere ce apare la mașinile autoventilate și care funcționează la viteze mult mai mici decât viteza de baza. În plus față de aceste limitări, în unele cazuri există și o limitare datorată proastei comutații. Astfel, în zona delimitată de aceste caracteristici poate exista orice punct de funcționare al sistemului de acționare electrică (*prin punct de funcționare al unei acționări, se înțelege punctul de intersecție al caracteristicii mecanice a mașinii cu cea a sarcinii*).

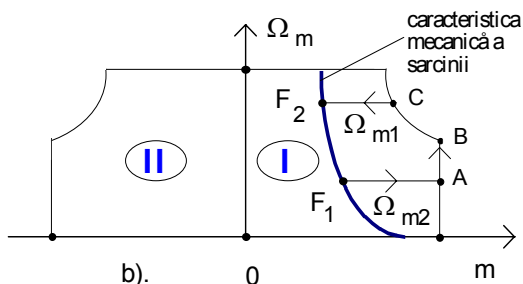
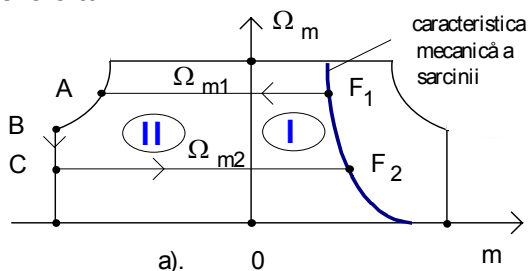
Utilizarea convertoarelor de putere bazate pe dispozitive semiconductoare în sistemele de acționare electrică prezintă atât avantaje, cât și dezavantaje. La ieșirea acestora, există armonici de curent, armonici care conduc la apariția unor fluctuații de tensiune și produc perturbatii în domeniul de radiofrecvență. Altele „sufără” de un factor de putere redus.

Dintre avantajele cele mai importante ale convertoarelor folosite în sistemele de acționare electrică, menționăm: randament și răspuns foarte bune, gabarit și greutate mică, întreținere ușoară, fiabilitate ridicată, zgomot redus, comandă flexibilă. Datorită acestor avantaje și în ciuda dezavantajelor, convertoarele semiconductoare de putere s-au impus și au înlocuit convertoarele de putere clasice, bazate în principal pe amplificatoarele magnetice.

1.5. REGLAREA VITEZEI UNUI SISTEM DE ACTIONARE ELECTRICA

În anumite sisteme nu este nevoie de reglare de viteză și atunci mașina funcționează la nominal, nemaifiind nevoie de conectarea unui convertor între sursa de alimentare și mașina. Convertorul ar putea fi totuși util doar pentru regimurile de pornire, frânare și oprire.

Un sistem de acționare electrică de viteză reglabilă se numește **de putere constantă**, dacă capacitatea de putere maximă a acționării nu se modifică de la funcționarea în gol, la funcționarea în sarcină. Termenul de putere constantă se referă la capacitatea maximă de putere și nu la puterea efectivă de la ieșire, care poate varia de la un regim de funcționare la altul.



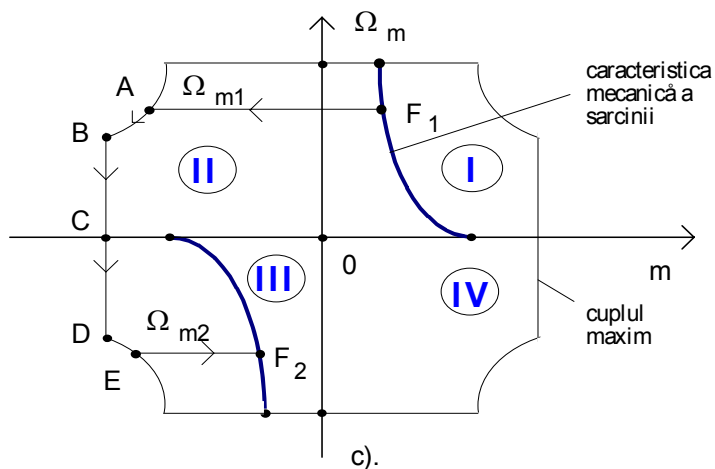


Fig. 1.11. Diferite posibilitati de variatie a vitezei
a) reducerea vitezei; b) cresterea vitezei; c) reversarea vitezei.

Gama de reglare a vitezei este definită de raportul dintre viteza minimă reglată și cea maximă și variază de la o aplicație la alta.

În figura 1.11 sunt reprezentate modalitățile de realizare a tranziției de la o viteză la alta. Aceste tranziții pot fi clasificate astfel:

- reducerea vitezei (*figura 1.11.a*);
- creșterea vitezei (*figura 1.11.b*);
- reversarea vitezei (*figura 1.11.c*);

Dacă aceste tranziții trebuie realizate într-un timp minim, atunci pe durata regimului pot fi atinse limitele trasate cu linie punctată din figura 1.10.

1.6. SPECIFICAȚIILE NECESARE UNUI SISTEM DE ACȚIONARE ELECTRICĂ

Scopul unei acționări este de a antrena sarcina de o asemenea manieră, încât să fie îndeplinite cerințele inițiale. Astfel, multe dintre specificațiile acționării sunt impuse de către ”**cerințele sarcinii**”, cerințe care sunt prezentate sintetic în tabelul 1.2.

1.7. ELEMENTE DE MECANICA ACȚIONĂRII

1.7.1. Legile mișcării corpului solid

În paragraful 1.3.1 a fost prezentată ecuația de mișcare, pornind de la legea fundamentală a dinamicii. Dacă formula 1.1.b. este pentru o mișcare de rotație, în cazul unei mișcări rectilinii, ecuația este (*relația 1.1.a*):

$$f - f_s = m \frac{dv}{dt} \quad (1.19)$$

Aceste ecuații sunt utile în studierea proceselor tranzitorii. Cuplul care acționează asupra unui corp este definit astfel:

$$\begin{aligned} M &= \int_V \left(\vec{r} \times d\vec{f} \right) = \int_V r \cdot ds \cdot \sin \left(\vec{r}, d\vec{s} \right) = \int_V r \cdot a_t \cdot dm = \\ &= \int_V r \cdot r \varepsilon \cdot dm = \int_V \varepsilon \cdot r^2 \cdot dm \end{aligned} \quad (1.20)$$

Conform acestei relații, se definește momentul de inerție axial al unui corp față de o axă de rotație ce trece prin centrul de greutate al sau și care în cazul nostru, este arborele mașinii:

$$J = \int_V r^2 \cdot dm \quad (1.21)$$

unde : ***dm*** este masa elementului de volum situat la distanța ***r*** de ax.

Dacă considerăm masa concentrată într-un punct la distanța ***r*** de ax, atunci pentru momentul de inerție se obține următoarea relație:

$$J = mr^2 = \frac{G}{g} \cdot \left(\frac{D}{2} \right)^2 = \frac{GD^2}{4g} \quad (1.22)$$

cu ***J*** în kgm^2 . Prin combinarea relațiilor 1.9, 1.22 și introducerea vitezei de rotație în rot/min, rezultă:

$$m - m_s = \frac{GD^2}{375} \cdot \frac{dn}{dt} \quad (1.23)$$

Aplicatie : Sa se gaseasca relatia momentului de inertie pentru un cilindru plin si unul gol.

1. Cilindru plin Daca raza cilindrului este **R**, atunci putem scrie relatiile:

$$\text{Aria cilindrului} \quad A = \pi \cdot R^2 \quad (1.24)$$

Tabelul 1.2.

$$\text{Volumul cilindrului} \quad V = \pi \cdot R^2 \cdot L \quad (1.25)$$

$$\text{Masa cilindrului} \quad m = \rho \cdot V \quad (1.26)$$

$$\begin{aligned} J &= \int_0^m r^2 dm = \int_0^{D/2} 2\pi r^3 L \rho dr = \frac{2\pi L \rho \cdot r^4}{4} \Big|_0^{D/2} = \frac{\pi L \rho D^4}{32} = \\ &= \frac{\pi L \rho R^4}{2} = \frac{1}{2} \cdot m R^2 \end{aligned} \quad (1.27)$$

Atunci când vorbim despre un punct material cu același moment de inertie cu cel al corpului, putem defini **raza de giratie**, care este:

$$R_G = \frac{R}{\sqrt{2}} \quad (1.28)$$

$$\text{și ecuația 1.27 devine: } J = \frac{G D_G^2}{4g} \quad (1.29)$$

cu GD_G^2 moment de giratie.

2. Cilindru gol

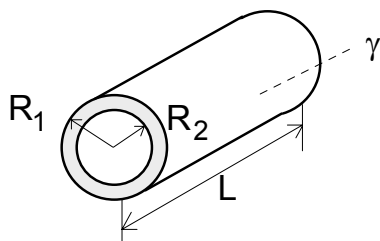


Fig. 1.12. Determinarea momentului de inerție al unui cilindru gol.

$$J = \int_0^m r^2 dm = \int_{R_1}^{R_2} r^2 \cdot 2\pi L r \cdot \frac{\gamma}{g} \cdot dr \quad (1.30)$$

$$J = 2\pi L \frac{\gamma}{g} \cdot \frac{R_2^4 - R_1^4}{4} \quad (1.31)$$

Dar:

$$G = \pi L \cdot (R_2^2 - R_1^2) \cdot \gamma \quad (1.32)$$

cu $\gamma = \rho \cdot g$, greutatea specifica a corpului. Rezulta aceeași formula pentru momentul de inerție:

$$J = \frac{GD_G^2}{4g} \quad (1.33)$$

cu raza de giratie definită:

$$R_G^2 = \frac{R_1^2 + R_2^2}{2} \quad (1.34)$$

Observatie: Dacă acest cilindru ar fi plin, atunci $R_1 = 0$ și se obține același rezultat ca și la punctul anterior.

1.7.2. Raportarea cuplurilor și forțelor la același arbore

Ecuatia 1.10 reprezintă ecuația de echilibru a cuplurilor raportate la același arbore. Acest lucru este necesar, datorită faptului că de cele mai multe ori, diferitele părți componente aflate în mișcare ale sistemului de acționare electrică, au viteze diferite. Pentru aceasta, se realizează o raportare a cuplurilor, forțelor, momentelor de inerție și a maselor, la același arbore (*arborele masinii principale a acționării*).

Pentru a deduce relațiile de raportare, vom considera schema din figura 1.14, un sistem de acționare cu transmisia realizată cu roți dintate. Problema se tratează asemănător chiar dacă este vorba de un alt tip de transmisie (*hidraulică, cu curele, pneumatică, etc.*).

Raportul de transmisie, i , reprezintă de câte ori este mai mare viteza unghiulară a arborelui motorului decât cea a arborelui condus al mașinii de lucru (*figura 1.13*).

$$i = \frac{\Omega_m}{\Omega_s} \quad (1.35)$$

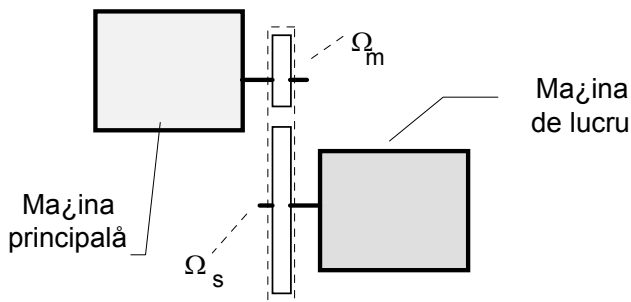


Fig. 1.13. Raportul de transmisie.

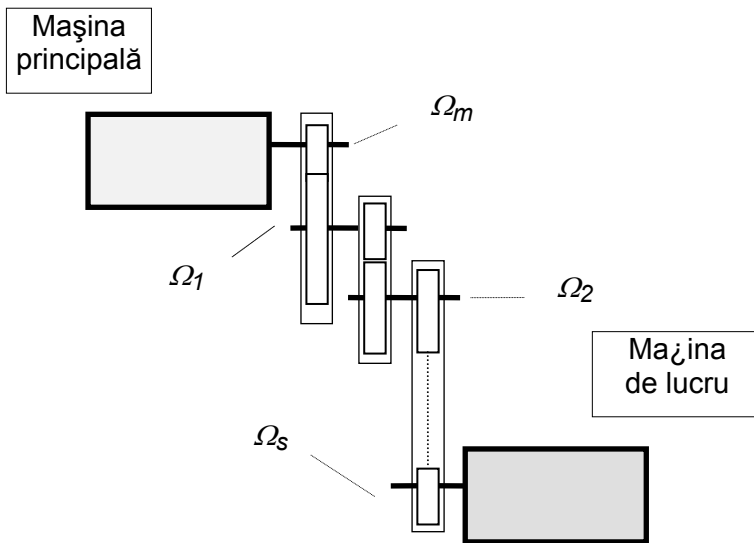


Fig. 1.14. Acționare electrică cu transmisie cu roți dintate.

Prin egalarea succesivă a puterilor la arbori (**Legea Conservării Puterii**) și considerând transmisia ideală (*pierderi neglijabile în transmisie*), se obține:

$$M \cdot \Omega_m = M_1 \cdot \Omega_1 = M_2 \cdot \Omega_2 = \dots = M_s \cdot \Omega_s \quad (1.36)$$

rezultând cuplul de sarcină raportat la arborele motorului:

$$M' = \frac{M_s}{i_1 \cdot i_2 \cdot \dots \cdot i_n} = \frac{M_s}{i_{total}} \quad (1.37)$$

iar dacă considerăm o transmisie cu pierderi, atunci se obține:

$$M' = \frac{M_s}{(i_1 \cdot i_2 \cdot \dots \cdot i_n) \cdot (\eta_1 \cdot \eta_2 \cdot \dots \cdot \eta_n)} = \frac{M_s}{i_{total} \cdot \eta_{total}} \quad (1.38)$$

În cazul transmisiilor elastice, apare o diferență între viteza reală a mașinii de lucru și cea ideală. Același fenomen

apare și în cazul transmisiilor cu curele, datorită efectului de patinare a curelei. De aceea este necesară introducerea noțiunii de alunecare, definită cu ajutorul relației următoare:

$$s = \frac{\Omega_{s \text{ ideală}} - \Omega_{s \text{ reală}}}{\Omega_{s \text{ ideală}}} \quad (1.39)$$

și care va modifica raportul de transmisie, astfel:

$$i = \frac{\Omega_m}{\Omega_{s \text{ ideală}} \cdot (1 - s)} \quad (1.40)$$

Unele sisteme de acționare realizează simultan cu transmisia de putere de la mașina principală la cea de lucru și o transformare a mișcării de rotație în mișcare rectilinie. Este cazul podurilor rulante, a macaralelor, etc.

Relația de raportare a cuplului cerut de către sarcină, în aceste condiții, este:

$$M' = F_s \cdot \frac{v_s}{\Omega_m} \quad (1.41)$$

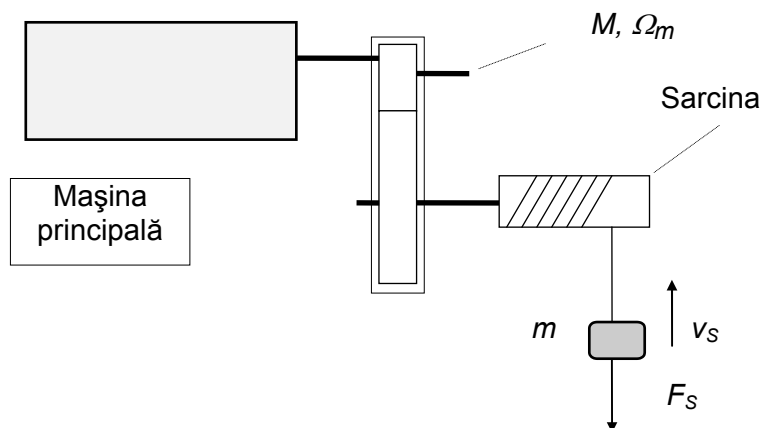


Fig. 1.15. Schema acționării unui mecanism de ridicare.

1.7.3. Raportarea momentelor de inerție și masei la același arbore

Pentru a deduce relația de raportare a momentelor de inerție la un singur arbore, facem apel la *Legea Conservării Energiei Cinetice*. Se obține astfel un moment de inerție echivalent:

$$J_e \cdot \frac{\Omega_m^2}{2} = J_m \cdot \frac{\Omega_m^2}{2} + J_1 \cdot \frac{\Omega_1^2}{2} + J_2 \cdot \frac{\Omega_2^2}{2} + \dots + J_n \cdot \frac{\Omega_n^2}{2} \quad (1.42)$$

$$J_e = J + J_1 \cdot \left(\frac{\Omega_1^2}{\Omega_m^2} \right) + J_2 \cdot \left(\frac{\Omega_2^2}{\Omega_m^2} \right) + \dots + J_n \cdot \left(\frac{\Omega_n^2}{\Omega_m^2} \right) \quad (1.43)$$

Dacă există instalații în care anumite componente execută o mișcare de translație, atunci se pune problema raportării masei la arborele mașinii principale de acționare:

$$\frac{1}{2} \cdot J_e \Omega_m^2 = \frac{1}{2} \cdot m v_s^2 \quad (1.44)$$

se obține:

$$J_e = m \frac{v_s^2}{\Omega_m^2} \quad (1.45)$$

iar dacă considerăm un cuplaj în trepte, o sarcină potențială și randamentul transmisiei, atunci relația globală a momentului de inerție total echivalent, raportat la arborele mașinii este:

$$J_e = J_m + \sum_{k=1}^n J_k \cdot \frac{1}{\prod_{j=1}^k i_j^2 \cdot \eta_j} + \frac{m}{\eta} \cdot \frac{v_s^2}{\Omega_m^2} \quad (1.46)$$

unde : J_m este momentul de inerție al motorului;
 v_S viteza sarcinii;
 η_j randamentul unui etaj al transmisiei.

1.8. EFECTE TERMICE ÎN MAȘINILE ELECTRICE

1.8.1. Pierderile de putere si restrictiile de temperatura

Un criteriu important în proiectarea unui sistem de actionare electrica pe lângă cele mecanice, sau cele legate de transferul de putere, este si criteriul termic.

Materialele utilizate au diferite limite din punct de vedere termic. Importante sunt mai ales materialele izolante, care determina clasa de izolatie a masinii. **Clasa de izolatie** reprezinta o categorie folosita pentru caracterizarea materialelor izolante, care au aceeasi temperatura maxim admisibila. Exista **7 (sapte)** clase de izolatie notate cu *Y, A, E, B, F, H* si *C*. Temperaturile si materialele corespunzatoare sunt prezentate în tabelul 3.

Cele mai întâlnite clase de izolatie sunt *A, E, B, F*, iar mai recent *H*. Principalele cauze ale pierderilor de putere ce apar în cazul masinilor electrice sunt:

- **pierderile Joule:** pierderile termice din înfasurari, cabluri, contacte;
- **pierderile la perii:** pierderi aproximativ constante, dar care depind de natura materialului din care sunt realizate periile si inelele colectoare;
- **pierderile de frecare si ventilatie:** sunt de natura mecanica;
- **pierderile în fier:** care sunt pierderi prin curenti turbionari si cele datorate fenomenului de histerezis. Ele sunt determinate de diferite proprietati de material si depind de amplitudinea si

frecvența câmpului magnetic ($P_{histerezis} \sim B^2, f$ și $P_{curenti Foucault} \sim B^2, f^2$);

- **pierderi suplimentare:** care reprezintă în general un procent de circa 0,5 - 1% din puterea nominală a mașinii și sunt considerate aproximativ constante, indiferent de regimul de lucru. Ele se datorează nesimetriilor electrice și constructive ale mașinii.

Principalele mărimi care influențează aceste pierderi sunt: viteza, cuplul de sarcină, precum și valorile efective ale curentului și tensiunii. Pentru țara noastră, temperatura de referință față de care se calculează temperatura de lucru a mașinii, numită **temperatura mediului ambiant**, notată și cu θ_{ma} , are valoarea de 40°C .

1.8.2. Incalzirea masinilor electrice

Pentru a analiza acest fenomen, se consideră ipoteza simplificatoare, conform căreia mașina electrică este asociată cu un corp termic omogen.

Conform figurii 1.16, considerăm un corp termic omogen cu suprafața A , capacitatea termică C , măsurată în Ws°C , temperatura medie la suprafața corpului θ și temperatura mediului ambiant $\theta_{ma} = 40^\circ\text{C}$. În timp ce corpul este încălzit cu puterea P_1 , el emite prin convecție puterea termică P_2 . Puterea termică, emisă prin fenomenul radiație, este neglijabilă deoarece se lucrează în general la temperaturi joase, iar aceasta conform **Legii Stefan - Boltzmann** este proporțională cu puterea a patra a temperaturii absolute. Coeficientul de transfer termic este notat cu α și se măsoară în $\text{W/m}^2\text{ }^\circ\text{C}$. Cu ajutorul **Legii lui Fourier** se poate descrie bilanțul de putere:

$$C \cdot \frac{d\theta}{dt} = p_1 - p_2 \quad (1.47)$$

Caldura transferata prin convecție este proporțională cu diferența de temperatură (*Legea lui Newton*):

$$p_2 = \alpha A \cdot (\Theta - \Theta_{ma}) \quad (1.48)$$

$$\begin{aligned} C \frac{d(\Theta - \Theta_{ma})}{dt} &= p_1 - \alpha A \cdot (\Theta - \Theta_{ma}) \\ C \frac{d(\Delta\Theta)}{dt} &= p_1 - \alpha A \cdot \Delta\Theta \\ C \frac{d(\Delta\Theta)}{dt} + \alpha A \cdot \Delta\Theta &= p_1 \\ \frac{C}{\alpha A} \cdot \frac{d(\Delta\Theta)}{dt} + (\Delta\Theta) &= p_1 / \alpha A \end{aligned} \quad (1.49 - 1.52)$$

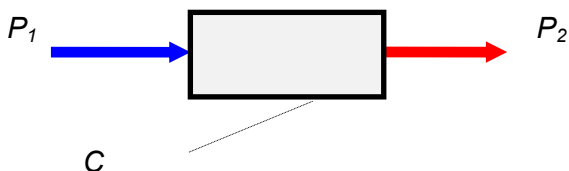


Fig. 1.16. Corp termic omogen.

Considerând condițiile inițiale: $p_1 = p_{10}$ și $\Delta\theta(0) = 0$, cu notația $T_\theta = C/\alpha A$, pentru constanta termică de timp, se obține soluția:

$$\Delta\theta(t) = \Delta\theta_{final} \cdot \left(1 - e^{-t/T_\theta}\right) \quad (1.53 - 1.54)$$

$$\Delta\theta_{final} = \frac{p_{10}}{\alpha A}$$

Schimbul de energie termică este prezentat în figura 1.17 sub forma ariei hasurate:

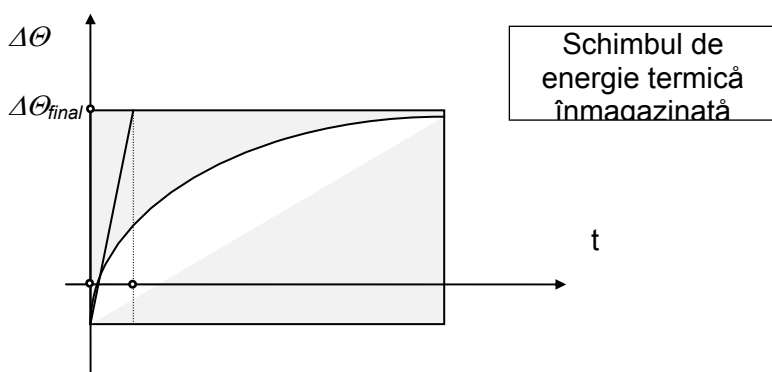


Fig. 1.17. Transferul termic.

1.8.3. Servicii de funcționare

Masinele electrice folosite în sistemele de acționare electrică, pot fi suprasolicitate pentru o durată de timp bine determinată, fără a depăși temperatura limită de lucru. Acest aspect este deosebit de util atunci când este aleasă mașina pentru o anumită aplicație, aplicație care presupune un anumit program de lucru.

Regimul de funcționare al mașinii reprezintă ansamblul tuturor valorilor numerice ale marimilor electrice și mecanice ce caracterizează funcționarea acesteia.

Serviciul de funcționare reprezintă o succesiune cu durate precizate a regimurilor de funcționare, iar **serviciul tip de funcționare** corespunde unei succesiuni normalizate, fiind un serviciu de funcționare convențională.

Pentru o alegere corectă a mașinii, este necesar să se cunoască diferitele servicii tip de funcționare, servicii care caracterizează majoritatea aplicațiilor. Conform STAS 1893-85, există opt servicii tip de funcționare.

• **Serviciul S1 - SERVICIUL CONTINUU**

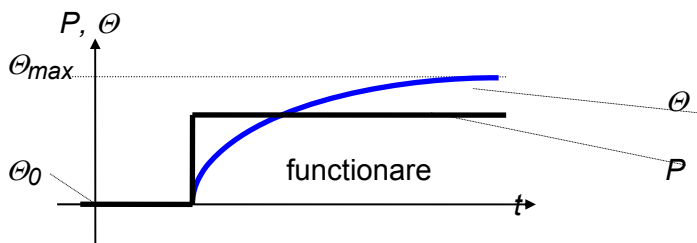


Fig. 1.18. Serviciul de funcționare **S1**.

Durata de funcționare este suficient de mare, astfel încât echilibrul termic este atins. $t_{funcționare} > (3 - 4)$ constante termice de timp.

• **Serviciul S2 - SERVICIUL DE SCURTA DURATA**

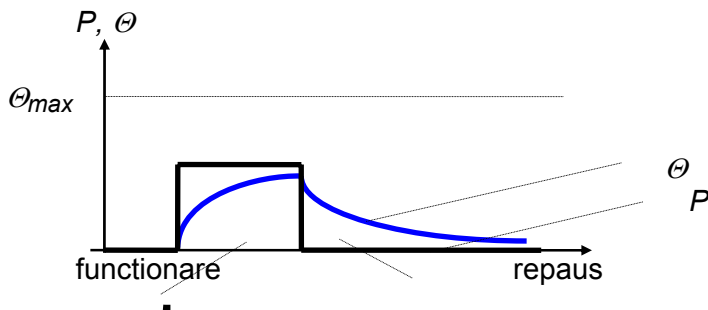


Fig. 1.19. Serviciul de funcționare **S2**.

Timpul de funcționare este mic, astfel încât nu se ajunge la un echilibru termic, dar urmează o pauză suficient de mare, permițându-i mașinii să se răcească complet. Timpul de funcționare este normat la 10, 30, 60 sau 90 minute. Acest serviciu tip de funcționare este întâlnit mai ales în cazul aplicațiilor electrocasnice.

- **Serviciul S3** - **SERVICIUL INTERMITENT PERIODIC**

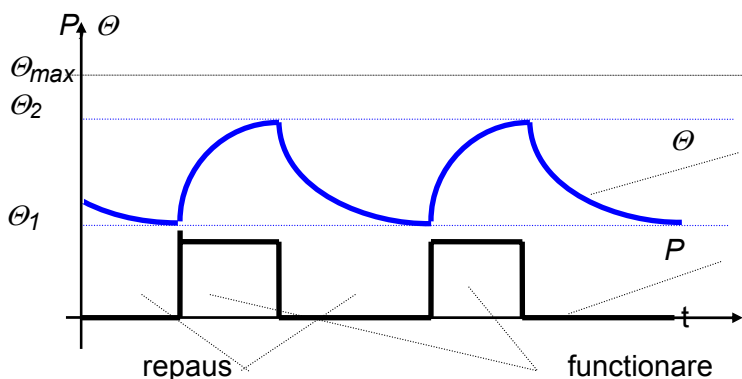


Fig. 1.20. Serviciul de funcționare **S3**.

Acest serviciu tip presupune existența unei succesiuni de cicluri identice. Curentul de pornire nu produce încălziri excesive. Căldura degajată la pornire este de aproximativ 10% din căldura degajată pe parcursul unui ciclu de funcționare. Perioada standardizată a ciclului este de 10 minute, iar durata de funcționare este de 15, 25, 40, sau 60% din aceasta.

- **Serviciul S4** - **SERVICIUL INTERMITENT PERIODIC CU DURATA DE PORNIRE**

Ciclul de functionare este compus dintr-un timp de pornire important, unul de functionare în regim constant si un timp de pauza. Cantitatea de caldura degajata în cursul pornirii depaseste 10% din cantitatea degajata pe durata unui ciclu complet. Perioada tipica a unui ciclu este de 10 minute, iar cea de functionare poate fi de 15, 25, 40 sau 60% din perioada ciclului.

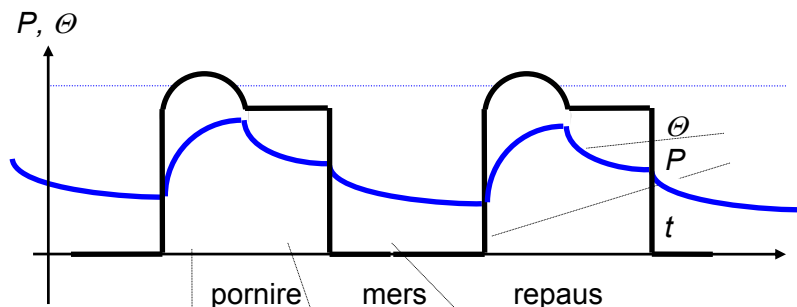


Fig. 1.21. Serviciul de functionare **S4**.

- **Serviciul S5** - **SERVICIUL INTERMITENT PERIODIC CU DURATA DE PORNIRE și FRÂNARE ELECTRICA**

Fata de serviciul tip **S4**, în acest caz, perioada de functionare se termina printr-un regim de frânare electrica, pe durata caruia apare o degajare suplimentara de caldura.

- **Serviciul S6** - **SERVICIUL NEINTRERUPT CU SARCINA INTERMITENTA PERIODICA**

Ciclul de lucru contine un timp de functionare în sarcina si un altul de mers în gol. Intre cele doua momente de lucru în sarcina, masina nu are timpul necesar de a se raci complet.

- **Serviciul S7** - **SERVICIUL NEINTRERUPT
CU DURATE DE PORNIRE
ȘI FRÂNARE ELECTRICA
PERIODICE**

Fata de serviciul tip S5, în acest caz nu exista perioade de repaus. Duratele de functionare sunt aceleasi ca la serviciul S4.

- **Serviciul S8** - **SERVICIUL NEINTRERUPT
CU MODIFICAREA
PERIODICA A VITEZEI**

Trecerea la functionare de la o viteza, la o alta viteza, se face trecând printr-un regim de frânare electrica sau de ambalare.

1.9. DISPOZITIVE SEMICONDUCTOARE DE PUTERE FOLOSITE ÎN SAE

Dispozitivele semiconductoare de putere au cunoscut o evolutie deosebit de dinamica în ultimii ani. Aceste dispozitive reprezinta de fapt "inima" convertoarelor de putere folosite în sistemele de actionare electrica. Ele reprezinta, desigur, elementul cel mai delicat si mai fragil al convertorului. Pentru a realiza un convetor fiabil, rentabil din punct de vedere al pretului de cost si sigur în functionare, inginerul proiectant trebuie sa cunosca aceste elemente foarte bine si profund.

Aparitia în 1956 a tiristorului a dus la realizarea unei serii de dispozitive semiconductoare noi precum: tiristorul cu stingere pe poarta (*Gate Turn-Off thyristor - GTO*), tranzistorul bipolar de putere (*BJT*), tranzistorul bipolar cu poarta izolata (*Insulated Gate Bipolar Transistor - IGBT*), tranzistorul de putere si frecventa ridicata (*Static Iduction Transistor - SIT*), tiristorul cu autocontrol (*Static Induction THyristor - SITH*) si tiristorul controlat MOS (*MOS - controlled thyristor*).

În aceasta sectiune nu ne propunem sa prezentam caracteristicile si proprietatile diferitelor tipuri de dispozitive

semiconductoare, acest subiect făcând obiectul unei alte tematici (intitulată chiar *Dispozitive Semiconductoare de Putere*). Totuși, consideram util a prezenta sumar câteva aspecte legate de aceste dispozitive și un tabel cu unele caracteristici mai importante:

Tiristorul este la baza un dispozitiv de tip *pnpn*. El intra în conducție în urma aplicării unui impuls pozitiv pe poarta acestuia și a existenței unei tensiuni pozitive anod - catod. Impulsul se aplică prin intermediul unui etaj ce realizează o separare galvanică între dispozitivul de comandă pe grila și poarta tiristorului. Iesirea din conducție a sa, se face de regulă cu ajutorul unui circuit suplimentar. Este folosit în general drept un comutator comandabil.

Tiristoarul cu stingere pe poarta - GTO, apărut pe la mijlocul anilor '60, este un dispozitiv care poate intra/iesi în/din conducție în urma aplicării unui impuls pozitiv/negativ pe poarta sa. Dar, datorită pierderilor de comutație importante, acest dispozitiv este folosit în general până la frecvențe de circa 1-2 kHz. Curentul de comandă pe poarta are cam același ordin de mărime cu cel corespunzător tiristoarelor. Pierderile din cadrul circuitelor de comutație corespunzătoare tiristoarelor sunt mai mari decât în cazul GTO - urilor. Acest aspect conduce la realizarea unor *convertoare - GTO* cu gabarit mai mic și cu un randament global superior. De asemenea, putându-se lucra la frecvențe mai mari de comutație, performanțele acționării cresc, iar filtrele au un gabarit redus.

Tranzistorul bipolar cu poarta izolată - IGBT este la baza un hibrid ce combină atributele unui MOSFET, a unui tranzistor bipolar de putere (BTJ) și a unui tiristor. Apărut în 1983 pentru prima dată, el are impedanță de intrare a unui MOSFET și caracteristicile de conducție ale unui BTJ, putând lucra la frecvențe de comutație chiar superioare acestuia din urmă.

Tranzistorul SIT (Static Induction Transistor), introdus pe piață în 1987 de Tokin Corporation, este un dispozitiv ce

poate lucra la frecvențe foarte mari și reprezintă o variantă modernă a unei triode în tub vidat.

Tiristorul SITH (*Static Induction Thyristor*), comercializat pentru prima dată în 1988 de *Toyo Electric Company*, este un dispozitiv cu o comandă similară cu a unui GTO, dar cu o structură apropiată de cea a tranzistorului SIT.

Tiristorul MCT (*MOS Controlled Thyristor*), realizat pentru prima dată de *General Electric Company* în 1988, poate fi comandat pentru intrarea sau ieșirea din conducție printr-un impuls scurt pe o poartă de tip MOS. Din punctul de vedere al caracteristicilor de comutație, are performanțe similare unui IGBT, dar caderea de tensiune în conducție este mai mică.

Toate dispozitivele semiconductoare de putere actuale folosesc în exclusivitate siliciul ca material de bază.

Se pare că și în continuare el va păstra monopolul absolut în acest domeniu, deși unele rezultate importante s-au obținut cu materiale precum: siliciu - arseniu sau diamant.

Deoarece este greu de făcut o comparație între diferitele tipuri de dispozitive semiconductoare de putere, atât datorită variației în limite mari ale parametrilor acestora, a condițiilor de determinare a lor, cât și a variației parametrilor pentru un același tip de dispozitiv, am prezentat succint în tabelele 1.4 și 1.5 o parte a caracteristicilor reprezentative ale unor dispozitive semiconductoare de putere.

1.10. PROBLEME

1.10.1. Probleme rezolvate

PR1. Cuplul dezvoltat de un motor în cadrul unui sistem de acționare electrică este de forma $M = a \cdot \Omega_m - b$, iar cuplul de sarcină este $M_S = c \cdot \Omega_m^2$, unde a , b , și c , sunt constante reale pozitive. Se cere:

- sa se găsească vitezele de echilibru;
- determinați stabilitatea statică a punctelor de echilibru.

Rezolvare : a). $M = M_S$, deci:

$$a \cdot \Omega_m - b = c \cdot \Omega_m^2$$

$$c \cdot \Omega_m^2 - a \cdot \Omega_m + b = 0$$

$$\Omega_{m_{1,2}} = \frac{a \pm \sqrt{a^2 - 4bc}}{2c}$$

b). presupunem că are loc o creștere a vitezei mașinii cu 10%, adică noua viteză va fi de $1,1 \cdot \Omega_m$. În aceste condiții, pentru ca punctele considerate să fie *static stabile*, conform relației 1.18, variația cuplului de sarcină trebuie să fie mai mare decât cea a cuplului mașinii:

$$\Omega_{m_1} \rightarrow 1,1 \cdot \Omega_{m_1}$$

$$M' - M = (1,1a \cdot \Omega_{m_1} - b) - (a \cdot \Omega_{m_1} - b) = 0,1a \cdot \Omega_{m_1}$$

$$M'_S - M_S = 1,21c \cdot \Omega_{m_1}^2 - c \cdot \Omega_{m_1}^2 = 0,21c \cdot \Omega_{m_1}^2$$

deci trebuie să avem:

$$0,21c \cdot \Omega_{m_1}^2 > 0,1a \cdot \Omega_{m_1}$$

$$0,21c \cdot \Omega_{m_1} > 0,1a$$

$$\Omega_{m_1} > 0,476 \frac{a}{c}$$

Punctul 1 va fi static stabil dacă această ultimă relație este verificată. Pentru al doilea punct vom avea:

$$\Omega_{m_2} > 0,476 \cdot \frac{a}{c}$$

$$\frac{a - \sqrt{a^2 - 4bc}}{2c} > 0,476 \cdot \frac{a}{c}$$

$$a - \sqrt{a^2 - 4bc} > 0,952 \cdot a$$

$$\sqrt{a^2 - 4bc} < 0,048 \cdot a$$

rezulta ca și în acest caz, stabilitatea statică este strâns legată de valorile constantelor, ele trebuind să verifice ultima relație.

PR2. Se considera sistemul de acționare din figura 1.15, pentru care se neglijează pierderile datorate frecarilor. Transmisia este realizată cu o curea și două roți cu diametrele $D_1 = 0,08 \text{ m}$ și respectiv $D_2 = 0,30 \text{ m}$. Randamentul transmisiei este de 93%. Momentul de inerție al motorului este $J_m = 0,5 \text{ kgm}^2$, iar momentele de inerție ale roților se neglijează. Lungimea tamburului este $L_T = 0,5 \text{ m}$, diametrul $D_T = 0,20 \text{ m}$, iar masa ridicată de 150 kg . Se cere:

- sa se determine momentul de inerție al tamburului, știind că el este realizat din fier ($\rho = 8600 \text{ kgm}^{-3}$);
- care este momentul de inerție total raportat la arborele motorului?

Rezolvare : a)

$$J_T = \int_0^m r^2 dm = \int_0^{D_T/2} r^2 \cdot 2\pi L_T \rho dr = 2\pi L_T \rho \cdot \frac{r^4}{4} \Big|_0^{D_T/2} = \frac{\pi L_T \rho D_T^4}{32}$$

$$J_T = 0,675 \text{ kgm}^2$$

b)

$$J_{total} = J_m + J'_S + J'_T$$

$$\frac{1}{2} \cdot J'_S \Omega_m^2 = \frac{1}{2} \cdot m v^2$$

$$J'_S = m \cdot \left(\frac{v}{\Omega_m} \right)^2 = m \cdot \left(\frac{\Omega_S \cdot D_T / 2}{\Omega_m} \right)^2 =$$

$$= m \cdot \left(\frac{\left(\Omega_m \cdot \frac{D_1}{D_2} \right) \cdot D_T / 2}{\Omega_m} \right)^2 = m \cdot \left(\frac{D_1 \cdot D_T}{4 D_2} \right)^2$$

$$J'_T = J_T \cdot \left(\frac{\Omega_S}{\Omega_m} \right)^2 = J_T \cdot \frac{D_1^2}{D_2^2}$$

$$J_{total} = 0,4 + 150 \cdot \left(\frac{0,08 \cdot 0,2}{4 \cdot 0,3} \right)^2 + 0,675 \cdot \left(\frac{0,08}{0,3} \right)^2 = 0,475 \text{ kgm}^2$$

PR3. Un motor electric de 3,5 kW are la încălzire o constanta termica de $T_\theta = 45 \text{ minute}$ și atinge o supratemperatura $\Delta\theta_{final} = 40^\circ\text{C}$ fata de temperatura mediului ambiant când funcționează continuu în plină sarcină. Ce putere va dezvolta motorul pe o durată de 15 minute, la sfârșitul careia, supratemperatura sa este de 40°C , dacă temperatura inițială a motorului este egală cu temperatura mediului ambiant? Pierderile de putere se considera proporționale cu patratul puterii dezvoltate.

Rezolvare : soluția ecuației 1.47 este:

$$\Delta\theta(t) = \Delta\theta_{final} \cdot \left(1 - e^{-t/T_\theta} \right)$$

dacă $t \rightarrow \infty$, $\Delta\theta = \Delta\theta_{final1} = 45^\circ \text{C}$. Supratemperatura este proporțională cu pierderile de putere. Deci:

$$\Delta\theta_{final} \sim P = k \cdot I^2 \sim P_1^2$$

rezulta:

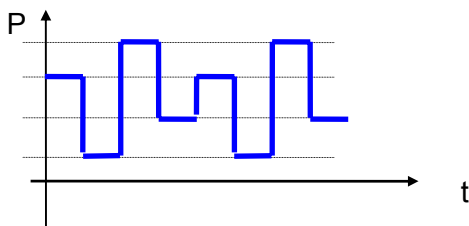
$$\frac{\Delta\theta_{final1}}{\Delta\theta_{final2}} = \frac{P_1}{P_2} = \frac{k_1 I_1^2}{k_2 I_2^2} = \frac{P_1^2}{P_2^2}$$

$$\Delta\theta_2 = \Delta\theta_{final2} \cdot (1 - e^{-15/45}) = 40^\circ \text{C}$$

$$P_2 = P_1 \cdot \sqrt{\frac{\Delta\theta_{final2}}{\Delta\theta_{final1}}} = P_1 \cdot \sqrt{\frac{\Delta\theta_2}{(1 - e^{-1/3})} \cdot \frac{1}{\Delta\theta_1}}$$

$$P_2 = 3,5 \cdot \sqrt{\frac{40}{(1 - e^{-1/3})} \cdot \frac{1}{40}} = 6,574 \text{ kW}$$

PR4. Diagrama de încărcare a unei mașini electrice ce trebuie să acționeze o anumită sarcină este prezentată în figura următoare. Pentru a aplatiza această diagramă de lucru, se utilizează un volant cu moment mare de inerție, montat pe arborele mașinii. Cu cât se vor reduce pierderile, respectiv cantitatea de cadură degajată, dacă caracteristica din figura este plată (*există doar o putere dezvoltată medie*)? Se consideră tensiunea rețelei constantă, randamentele elementelor sistemului de acționare constante și independente de viteză și momentele de inerție de asemenea constante.



Rezolvare : cantitatea de caldura degajata este proportionala cu pierderile de putere, deci si cu patratul puterii dezvoltate de catre masina.

$$\begin{aligned} Q_1 &\sim \left(P_1^2 \cdot \frac{T}{4} + P_2^2 \cdot \frac{T}{4} + P_3^2 \cdot \frac{T}{4} + P_4^2 \cdot \frac{T}{4} \right) = \\ &= \frac{T}{4} \cdot (P_1^2 + P_2^2 + P_3^2 + P_4^2) = \\ &= \frac{T}{4} \cdot (P_1^2 + 4P_1^2 + 9P_1^2 + 16P_1^2) = 7,5 \cdot P_1^2 \cdot T \end{aligned}$$

Utilizarea unui volant montat pe arborele motorului, ne conduce la:

$$\begin{aligned} Q_2 &\sim P_{med}^2 \cdot T \\ P_{med} &= \frac{P_1^2 + P_2^2 + P_3^2 + P_4^2}{4} = \frac{P_1 + 2P_1 + 3P_1 + 4P_1}{4} = 2,5 \cdot P_1 \\ Q_2 &\sim 6,25 \cdot P_1^2 \cdot T \end{aligned}$$

Astfel, cantitatea de cadura degajata se va reduce cu:

$$\Delta Q = \frac{Q_1 - Q_2}{Q_1} \cdot 100 = \frac{7,5 - 6,25}{7,5} \cdot 100 = 16,67\%$$

PR5. Sa se determine constanta termica a motorului de curent continuu *MFD 112.2*, care are urmatoarele date: puterea nominala *11,1 kW*, masa *86 kg* si randamentul nominal de *85%*. Masina functioneaza în serviciul *S1*, iar supratemperatura finala este $\Delta\theta_{final} = 50^\circ\text{C}$.

Rezolvare : Supratemperatura finala este direct proportionala cu pierderile de putere. Conform relatiei 1.54, avem:

$$\alpha A = \frac{P_{10}}{\Delta\Theta_{final}}$$

Daca consideram o caldura specifica echivalenta pentru motor $c_{echiv} = 0,43 \text{ kWs/kg}^\circ\text{C}$, atunci capacitatea termica va fi:

$$C = c_{echiv} \cdot m = 0,43 \cdot 86 = 36,98 \text{ kWs}^\circ\text{C}$$

si rezulta:

$$T = \frac{C}{\alpha A} = \frac{c_{echiv} \cdot m \cdot \Delta\Theta_{final}}{P_{1n} \cdot \left(\frac{1}{\eta_n} - 1 \right)} = \frac{36,98 \cdot 1000 \cdot 50}{11,1 \cdot 1000 \left(\frac{1}{0,85} - 1 \right)} = 94393\text{s}$$

ceea ce reprezinta aproximativ *15 minute si 44 secunde*.

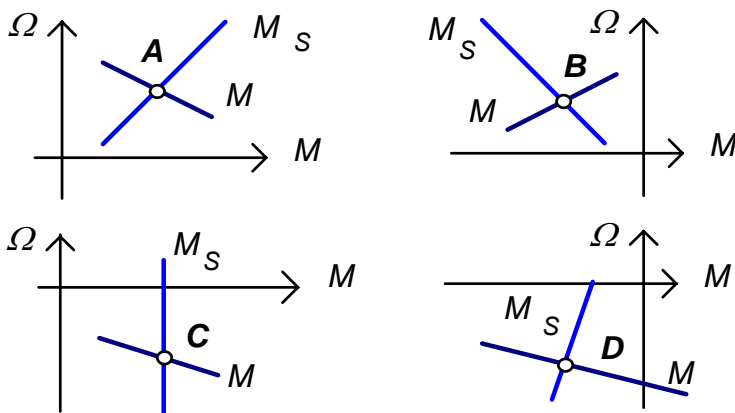
1.10.2. Probleme propuse

PP1. Cuplul dezvoltat de un motor este $M = a\Omega_m + b$, iar cel al sarcinii este forma $M_S = c \cdot \Omega_m^2 + d \cdot \Omega_m + e$, unde a, b, c, d și e sunt constante reale pozitive. Se cere:

- sa se gaseasca vitezele de echilibru;
- ce relatie trebuie sa fie între constante, pentru ca ambele valori de viteza sa fie pozitive?
- analizati stabilitatea statica de functionare a punctelor de echilibru.

PP2. Calculati puterea pe care o poate dezvolta o masina ce lucreaza în serviciul S3, daca ea a fost proiectata sa functioneze în serviciul S1. Pentru serviciul S3, se considera durata de functionare de 10 minute si cea de repaus de 15 minute.

PP3. Sa se analizeze stabilitatea statica a punctelor de functionare din figurile urmatoare:



1.11. BIBLIOGRAFIE

2. Bose B.K., "Recent Advances in Power Electronics", IEEE Transactions on Power Electronics, Vol. 7, nr. 1, Ian. 1992;
3. Bose B.K., "Power Electronics and AC Drives", Prentice-Hall, 1986;
4. Dubey G.K., Doradla S.R., Joshi A., Sinha R.M.K., "Thyristorised Power Controllers", Willey Eastern, 1986;
5. Dubey G.K., "Power Semiconductor Controlled Drives", Prentice-Hall, Inc., 1989;
6. Fransua Al., Magureanu R. "Masini si actionari electrice", Ed. Tehnica, 1986;
7. Fransua Al., Magureanu R., Tocaci M., "Masini si actionari electrice. Culegere de probleme, E.D.P.B., 1980;
8. Hoft, R.G., "Semiconductor Power Supplies", New York, Van Nostrand, 1986;
9. Kelemen A., Imecs, M., "Electronica de putere", E.D.P.B., 1983;
10. Kelemen A., "Actionari electrice", E.D.P.B., 1979;
11. Leonhard W., "Control of Electrical Drives", Spriger Ferlag, 1985;
12. Navrapescu V., "Referatele 1 si 2 de doctorat", Sept. 1994;
13. Ogata K., "Modern Control Engineering", Prentice-Hall, Inc., 1970;
14. Tunsoiu Gh., Seracin E., Saal C., "Actionari Electrice", EDPB, 1982.

CAPITOLUL 2

MASINI DE CURENT CONTINUU FOLOSITE ÎN SISTEMLILE DE ACTIONARI ELECTRICE

2.1. RELATIILE REGIMULUI STATIC DE FUNCTIONARE

Cel mai mare numar de sisteme de actionari electrice cu viteza reglabila folosesc masinile de curent continuu. Aceasta se datoreaza în principal performantelor obtinute în regimurile de pornire, frânare si reversare, prin folosirea unei comenzi mai simple si mult mai ieftine decât în cazul actionarilor cu masini asincrone.

2.1.1. Masini de curent continuu cu excitatie separata si derivatie

Atât pentru masinile de curent continuu cu excitatie separata (*sau independenta*), cât si pentru masinile de curent continuu cu excitatie derivatie, relatiile scrise pentru regimul static de functionare pentru circuitul indusului sunt aceleasi. Schemele celor doua tipuri de masini sunt prezentate în figura 2.1.

Relatiile regimului stationar sunt scrise tinând seama de urmatoarele ipoteze de lucru:

- reactia indusului este neglijabila, ceea ce implica $\Phi = \text{constant}$ (*relatie ce este valabila fara aproximare pentru masinile compensate*);
- datorita inertiei mecanice mari, putem considera constanta viteza unghiulara Ω a masinii de curent continuu;
- masina este alimentata cu tensiune continua;
- circuitul magnetic al masinii este fara remanenta sau histerezis;

- caderea de tensiune la perii este constanta si are o valoare cuprinsa de obicei în gama $\Delta U_p = 1 \div 2,5 V$. Aceasta valoare depinde de rezistenta nelinara a contactului perie - colector si de natura materialelor aflate în contact. Pentru masinile care sunt alimentate la o tensiune mai mare de 120 V, aceasta marime se poate neglija;
- daca în regim stabilizat de functionare curentul prin indusul masinii este aproximativ constant, atunci caderea de tensiune pe inductivitatea înfasurarii masinii este zero ($L_A \cdot (di_A/dt) = 0$).

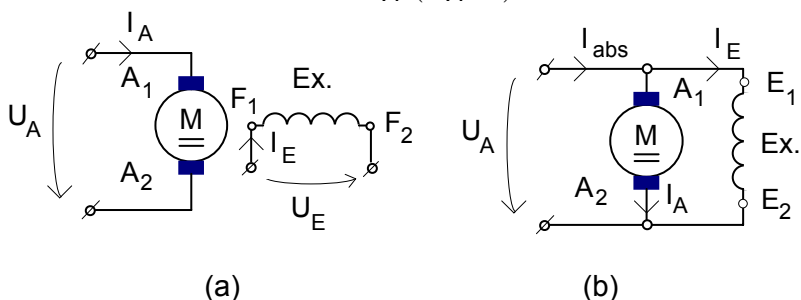


Fig. 2.1. Masini de curent continuu cu excitatie separata (a) si derivatie (b).

Considerând circuitul echivalent al indusului masinii de curent continuu (figura 2.2), pentru regimul de motor, putem scrie urmatoarele relatii:

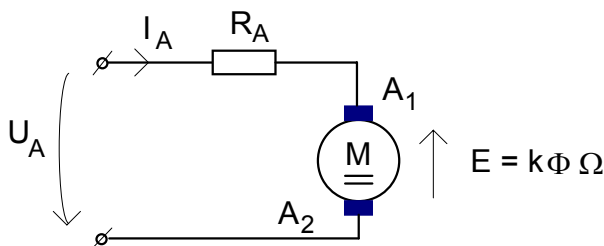


Fig. 2.2. Circuitul echivalent al indusului masinii de c.c. pentru regimul stabilizat de functionare.

$$\begin{aligned}U_A &= R_A I_A + E + \Delta U_p \\E &= \frac{p}{2\pi a} N \cdot \Phi \cdot \Omega = k\Phi \cdot \Omega \\M &= k\Phi \cdot I_A \\M &= M_S\end{aligned}\tag{2.1 - 2.4}$$

unde: U_A tensiunea de alimentare;
 I_A curentul din indusul masinii de curent continuu;
 R_A rezistența indusului;
 Ω viteza unghiulară a masinii;
 M cuplul dezvoltat de către masina;
 M_S cuplul de sarcină;
 E tensiunea electromotoare indusă de fluxul de excitație;
 p numărul de perechi de poli;
 a numărul de perechi de cai de curent în paralel;
 N numărul total de conductoare ale înfășurării indusului;
 Φ fluxul de excitație al masinii (*reactia indusului neglijabilă*).

Din relațiile anterioare, pentru viteza unghiulară rezulta următoarele expresii:

$$\begin{aligned}\Omega &= \frac{U_A}{k\Phi} - \frac{R_A}{k\Phi} \cdot I_A \\ \Omega &= \frac{U_A}{k\Phi} - \frac{R_A}{(k\Phi)^2} \cdot M_A\end{aligned}\tag{2.5 - 2.6}$$

unde: $\frac{U_A}{k\Phi}$ se notează cu Ω_0 și se numește *viteza de mers în gol* a masinii.

Constanta electrica a masinii $k\Phi$, notata cu K , corespunzatoare fluxului nominal, se poate determina cu ajutorul relatiei:

$$K = k\Phi = \frac{U_{An} - R_A I_{An}}{\Omega_n} \quad (2.7)$$

Pentru determinarea **caracteristicii mecanice** a masinii ($\Omega - M$), este necesar a se cunoaste rezistenta indusului. Daca valoarea ei nu este scrisa pe placuta indicatoare a masinii, atunci ea poate fi aproximata cu relatia:

$$R_A = \frac{1}{2} \cdot \frac{U_{An} I_{An} - P_n}{I_{An}^2} = \frac{1}{2} \cdot \frac{U_{An}}{I_{An}} \cdot (1 - \eta_n) \quad (2.8)$$

unde: η_n randamentul nominal al masinii, (*marimile notate cu indicele n, fiind marimile nominale*).

Conform relatiei 2.8 pentru calcule ingineresti si cu o precizie suficient de buna, se poate considera ca **jumatate din pierderile totale ale unei masini de curent continuu, este reprezentata de pierderile prin efect Joule în indusul acesteia**.

Caracteristica mecanica a masinii de curent continuu cu excitatie separata este prezentata în figura 2.3 (*pentru masina cu excitatie derivatie caracteristica este asemanatoare*).

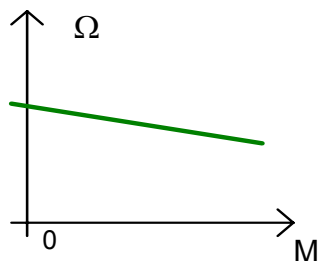


Fig. 2.3. Caracteristica mecanica a unei masini de curent continuu cu excitatie separata.

Caracteristica mecanică este o dreaptă ce are punctele de intersecție cu axele de coordonate conform relației 2.6, fixate la valorile:

$$\Omega_0 = \frac{U_{An}}{k\Phi} \text{ și } M_{pn} = \frac{U_{An}}{R_A} \cdot k\Phi \quad (2.9)$$

Rigiditatea caracteristicii mecanice (rcm) se definește astfel:

$$\begin{aligned} rcm &= \frac{\Omega_0 - \Omega_n}{\Omega_0} \cdot 100 = \frac{\frac{U_{An}}{k\Phi} - \frac{U_{An} - R_A I_{An}}{k\Phi}}{\frac{U_{An}}{k\Phi}} \cdot 100 \\ &= \frac{R_A I_{An}}{U_{An}} \cdot 100\% \end{aligned} \quad (2.10)$$

Valori uzuale ale rigidității caracteristicii mecanice ale unei mașini de curent continuu cu excitație separată sau derivată, sunt cuprinse în gama 5÷10%.

Puterea electromagnetică se calculează cu relația (este egală cu puterea mecanică totală dezvoltată de mașină):

$$P = E \cdot I_A = k\Phi \cdot \Omega \cdot I_A = k\Phi \cdot I_A \cdot \Omega = M \cdot \Omega \quad (2.11)$$

iar cuplul nominal la arborele mașinii, cu relația:

$$M_n = \frac{P_n}{\Omega_n} \quad (2.12)$$

Mașina de curent continuu este proiectată să lucreze în serviciul de funcționare **S1**, urmărind să obțină un randament de funcționare cât mai bun. Dacă mașina ar funcționa la puterea maximă pe care o poate dezvolta ($P_{max} = 0,25 U_{An}^2 / R_A$), randamentul conversiei

electromecanice ar fi foarte scazut. De aceea, zona de lucru uzuala este limitata la o valoare maxima a curentului prin indusul masinii de aproximativ $(1,5 \div 2) I_{An}$.

Exprimarea relatiei ce defineste caracteristica mecanica în unitati relative este mai comoda. Avantajele utilizarii marimilor relative sunt: toate marimile au dimensiunea maxima egala cu **1** (*unitatea*); analiza fenomenelor se poate face fara a mai dimensiona fiecare marime în parte; comportamentul unor masini si a unor sisteme diferite, cu valori nominale diferite, pot fi mult mai usor comparate; aceasta exprimare se preteaza foarte bine la realizarea unei simulari si a unei implementari numerice a întregului sistem.

Valorile la care se fac raportarile pentru sistemele cu masini de curent continuu, sunt valorile nominale ale cuplului, rezistentei, tensiunii si curentului, respectiv viteza de mers în gol. **Rezistenta nominala** este considerata rezistenta fictiva pe care ar trebui sa o aiba indusul masinii, atunci când alimentata cu tensiunea nominala, indusul este strabatut de curentul nominal, rotorul masinii fiind calat.

$$R_{An} = \frac{U_{An}}{I_{An}} \quad (2.13)$$

Daca notam cu litere mici marimile raportate, obtinem pentru relatiile 2.5 si 2.6, urmatoarele expresii:

$$\begin{aligned} \nu &= 1 - r_A m \\ \nu &= 1 - r_A i_A \end{aligned} \quad (2.14 - 2.15)$$

În aceste relatii cuplul electromagnetic si curentul prin indusul masinii au aceeasi valoare:

$$m = \frac{M}{M_n} = \frac{k\Phi \cdot I_A}{k\Phi \cdot I_{An}} = \frac{I_A}{I_{An}} = i_A \quad (2.16)$$

daca fluxul de excitatie este egal cu cel nominal.

2.1.2. Masini de curent continuu cu excitatie serie si mixta

Schemele electrice pentru masinile cu excitatie serie si mixta sunt prezentate în figura 2.4:

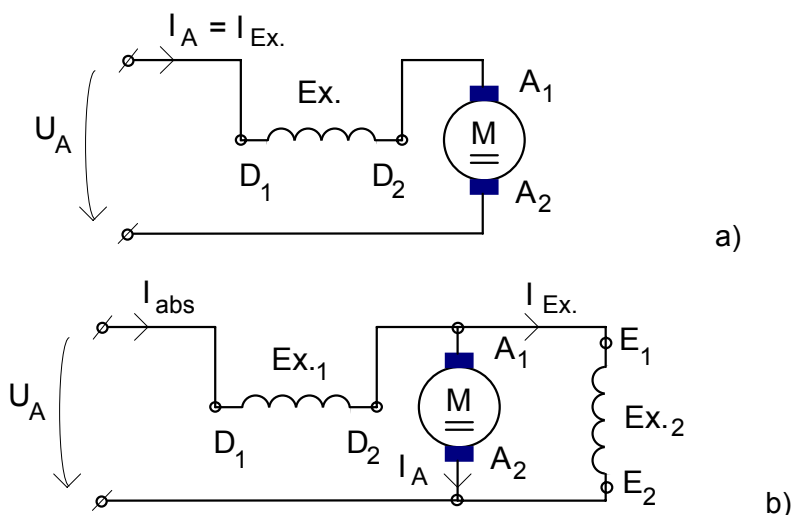


Fig. 2.4. Schema electrica a masinii de curent continuu cu excitatie serie (a) si mixta (b).

Ecuatiile 2.1 - 2.4, de la masina cu excitatie separata ramân aceleasi, cu deosebirea ca de aceasta data fluxul total depinde de încărcarea masinii (*deoarece curentul de excitatie este identic cu cel prin indusul masinii - figura 2.4.a*), iar în locul rezistentei R_A , acum avem $R_A + R_E$.

Datorita fenomenului de saturatie (*înfășurarea de excitatie este strabatuta de curentul principal*), determinarea caracteristicii mecanice a masinii cu excitatie serie nu se mai poate realiza pe cale analitica.

Expresia caracteristicii mecanice este:

$$\Omega = \frac{U_A}{k\Phi} - \frac{(R_A + R_E) \cdot I_A}{k\Phi} \quad (2.17)$$

$$\Omega = \frac{U_A}{k\Phi} - \frac{(R_A + R_E) \cdot M}{(k\Phi)^2} \quad (2.18)$$

Din ultima relație se observa că în absența cuplului de sarcină ($I_A=0$), viteza mașinii ar crește foarte mult. De aceea, nu este permisă *functionarea în gol* a mașinii cu excitație serie. Caracteristica mecanică a mașinii, prezentată în figura 2.5, este o caracteristică "moale". La sarcini mici corespund viteze mari, iar la sarcini mari, viteze mici, aspect deosebit de util mai ales în cazul sistemelor de tracțiune electrică.

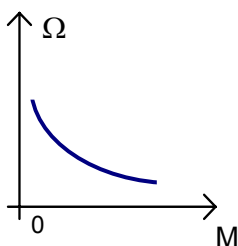


Fig. 2.5. Caracteristica mecanică a mașinii de curent continuu serie.

Cuplul mașinii serie poate fi scris astfel:

$$M = k\Phi \cdot I_A = k \cdot k_\Phi \cdot I_E \cdot I_A = M_{EA} I_E \cdot I_A = M_{EA} \cdot I_A^2 \quad (2.19)$$

unde: M_{EA} este o constantă egală cu produsul dintre $k = pN/2\pi a$ și k_Φ , constanta de proporționalitate cu fluxul, având dimensiunea unei inductivități (H).

Dacă pentru un sistem de acționare electrică este nevoie de o mașină de curent continuu care să aibă o caracteristică mecanică nici *dura* ca a mașinii derivate, dar nici *moale* ca a celei serie, atunci este utilizată o mașină cu excitație mixtă (figura 2.4.b). Ținând cont de schema electrică

a masinii, ecuatiile de functionare se scriu usor cu ajutorul relatiilor prezentate în paragraful 2.1. Viteza de mers în gol este data în special de valoarea câmpului excitatiei derivatie, iar rigiditatea caracteristicii este influentata de excitatia serie a masinii. Acest tip de masina este utilizata si în aplicatiile în care sarcina prezinta variatii mari de la gol la nominal, regimurile de functionare repetându-se periodic. În aceste conditii, este montat un volant pe arborele motorului. Conform caracteristicii mecanice a masinii cu excitatie mixta, pe durata regimului de sarcina nominala, viteza actionarii ar scadea foarte mult. Atunci, un procent semnificativ al cuplului cerut de catre sarcina va fi furnizat cu ajutorul energiei înmagazinate în volant, energie “*refacuta*” pe durata regimului de functionare la gol.

Pentru toate tipurile de caracteristici mecanice prezentate în paragraful 2.1, putem defini notiunea de ***caracteristica mecanica naturala***. Ea este determinata pentru functionarea masinii la flux nominal, alimentata cu tensiunea nominala si fara înserierea de rezistente suplimentare pe circuitul indusului sau pe cel al excitatiei.

2.2. METODE DE PORNIRE A MASINII DE CURENT CONTINUU

2.2.1. Masini de curent continuu cu excitatie separata sau derivatie

Masunile de curent continuu se pot porni prin mai multe procedee:

- pornire prin conectare directa la retea de alimentare;
- pornirea reostatica (*se înseriaza cu indusul rezistente suplimentare*);
- pornirea prin variatia tensiunii de alimentare, fara înserierea de rezistente suplimentare.

Pe durata procesului de pornire curentul nu trebuie să depășească o anumită valoare, deoarece astfel s-ar risca arderea izolației înfășurărilor mașinii, a aparatelor de măsură și control, realizarea unei comutații necorespunzătoare (*foc circular la colector*), socuri mecanice mari, suprasolicitarea perilor, etc. În general, regimurile de pornire au loc fie la gol (*strunguri, compresoare*), fie la jumătatea valorii sarcinii nominale (*pompe, ventilatoare*), fie în plină sarcină (*mecanismele de ridicat, benzi transportoare*), sau fie chiar la sarcina mai mare decât cea nominală (*mori cu bile*).

2.2.1.1. Pornirea prin conectare directă la rețea

Datorită simplității aparaturii de comutație și a operațiilor de conectare, metoda pare la prima vedere a fi cea mai avantajoasă. Dar, socul de curent la conectare este important ($4 \div 6 I_{AN}$), iar efectele sunt nedorite: foc circular la colector, care duce treptat la distrugerea acestuia; la instalațiile cu inerție mare, crește foarte mult temperatura înfășurărilor; aparatura de protecție și control este mai complicată; transmisia este puternic solicitată; rețeaua trebuie să fie suficient de "puternică".

Relațiile ce definesc regimul de pornire prin conectare directă sunt:

$$\begin{aligned} U_A &= R_A i_A + L_A \frac{di_A}{dt} + k\Phi \cdot \Omega \\ m &= k\Phi \cdot i_A = m_S + J \cdot \frac{d\Omega}{dt} \end{aligned} \quad (2.20)$$

Schema folosită pentru pornirea prin conectare directă este:

contactorului (sau a releului caruia îi aparțin) și este notată în dreptul fiecărei liniute coloana în care se afla contactul respectiv.

Funcționarea schemei:

Prin apăsarea butonului de pornire S_{p1} și datorită contactului normal închis K_2 din ramura **5**, este alimentată bobina contactorului K_1 . Astfel se închide contactul auxiliar K_1 , din ramura **6**, și se realizează **automentinerea** alimentării bobinei contactorului K_1 . În același timp se închid și contactele de forță din ramura **2**, conectând direct la rețeaua de alimentare indusul mașinii de curent continuu. Este de remarcat faptul că excitația mașinii este alimentată de la aceeași sursă de alimentare, dar imediat ce a fost închis întrerupătorul manual Q , deci înaintea alimentării indusului. Oprirea mașinii se realizează prin oprire liberă, mașina fiind deconectată în urma apăsării butonului S_o . Ramurile **7** și **8** sunt similare cu **5** și **6**, fiind folosite pentru alimentarea mașinii cu tensiune inversă. Contactele K_1 și K_2 din ramurile **7** și respectiv **5** se numesc **contacte de interblocare** și nu permit contraconectarea în timpul funcționării mașinii într-un anumit sens.

2.2.1.2. Pornirea reostatică

Această metodă se bazează pe folosirea reostatelor de pornire care au rolul de a reduce valoarea curentului de pornire la valori acceptabile. Curentul maxim de pornire calculat cu relația:

$$I_{p_{max}} = \frac{U_A}{R_A + R_p} \quad (2.21)$$

sau cu:

$$i_{p_{max}} = \frac{I_{p_{max}}}{I_{An}} = \frac{U_A}{I_{An} \cdot (R_A + R_p)} \quad (2.22)$$

nu trebuie sa depaseasca valoarea de $1,5 \div 2,3$ ori valoarea curentului nominal al masinii, iar cel minim de pornire, trebuie sa fie mai mare decât cel al sarcinii (*de regula de $1,05 \div 1,1$ ori valoarea acestuia*).

Caracteristica reostatica de pornire este prezentata în figura 2.7. Pentru exemplificare, a fost ales un reostat de pornire cu doua trepte, cu valorile R_{p1} si respectiv R_{p2} , care sunt scoase succesiv din circuitul serie cu indusul masinii.

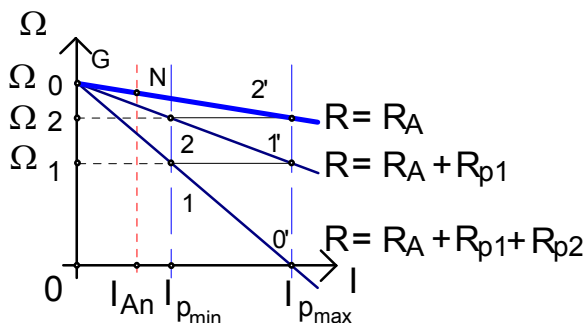


Fig. 2.7. Caracteristica reostatica de pornire.

Raportul dintre curentul maxim la pornire si cel minim se noteaza cu δ , iar daca consideram marimile scrise în unitati relative, atunci cu ajutorul relatiei 2.16 putem scrie:

$$\delta = \frac{i_{p_{max}}}{i_{p_{min}}} = \frac{m_{p_{max}}}{m_{p_{min}}} \quad (2.23)$$

La trecerile de pe o caracteristica de functionare pe o alta, consideram viteza unghiulara aproximativ constanta,

deci constanta va fi și tensiunea electromotoare corespunzătoare (*trecherile 1-1' și 2-2'*).

Folosind relația 2.1 și observația anterioară, se obține:

$$\begin{aligned} (R_A + R_{p1} + R_{p2}) \cdot I_{pmin} &= (R_A + R_{p1}) \cdot I_{pmax} \\ (R_A + R_{p1}) \cdot I_{pmin} &= R_A \cdot I_{pmax} \end{aligned} \quad (2.24 - 2.25)$$

ceea ce conduce la:

$$\begin{aligned} (R_A + R_p) \cdot I_{pmin}^2 &= R_A \cdot I_{pmax}^2 \\ \delta^2 &= \left(\frac{I_{pmax}}{I_{pmin}} \right)^2 = \frac{R_A + R_p}{R_A} \\ U_A &= I_{pmax} \cdot (R_A + R_p) \end{aligned} \quad (2.26 - 2.28)$$

Pentru aflarea valorii treptelor reostatului de pornire, trebuie cunoscute două dintre următoarele trei mărimi: valoarea curentului minim de pornire, valoarea curentului maxim de pornire și respectiv numărul de trepte ale reostatului de pornire.

Cu ajutorul relațiilor 2.23 - 2.28, pentru valorile treptelor reostatului de pornire se obțin următoarele relații:

$$\begin{aligned} R_{p1} &= R_A \cdot (\delta - 1) \\ R_{p2} &= R_A \cdot (\delta - 1) \cdot \delta \end{aligned} \quad (2.29)$$

relația generalizată fiind:

$$R_{pk} = R_A \cdot (\delta - 1) \cdot \delta^{k-1} \quad (2.30)$$

Pentru cazul în care se lucrează cu mărimi raportate, atunci pe baza relațiilor anterioare, obținem:

$$r_A + r_p = \delta^2 \cdot r_A$$

$$r_A + r_p = \frac{1}{i_{p_{max}}} \quad (2.31 - 2.33)$$

$$\delta = \sqrt[2]{\frac{1}{r_A \cdot i_{p_{max}}}}$$

iar relația pentru o treaptă a reostatului de pornire, la cazul general este:

$$r_{p_k} = r_A \cdot (\delta - 1) \cdot \delta^{k-1} \quad (2.34)$$

Introducerea și respectiv scoaterea unor rezistențe din circuitul indusului mașinii de curent continuu cu excitație separată, va modifica valoarea constantelor de timp electrice și electromecanice, definite cu relațiile:

$$T_A = \frac{L_A}{R_A} \quad (2.35 - 2.36)$$

$$T_{em} = \frac{J \cdot R_A}{(k\Phi)^2}$$

Existența unei trepte a reostatului de pornire în circuitul indusului va duce la micșorarea constantei electrice de timp și la creșterea celei electromecanice, astfel:

$$T_{A_k} = \frac{L_A}{R_A + R_{p_k}} \quad (2.37)$$

$$T_{em_k} = \frac{J \cdot (R_A + R_{p_k})}{(k\Phi)^2} \quad (2.38)$$

Conform acestei observatii, în figura 2.8 este prezentat modul de variație al curentului prin indusul mașinii și al vitezei acesteia în funcție de timp, în cazul folosirii unui reostat de pornire cu două trepte.

Pornirea reostatică automată a unei mașini de curent continuu se poate realiza prin folosirea unor scheme de comandă secvențială. În literatura de specialitate sunt cunoscute mai multe soluții posibile pentru îndeplinirea acestui deziderat. Se poate realiza o pornire automată secvențială în funcție de timp, în funcție de viteză sau în funcție de valoarea curentului.

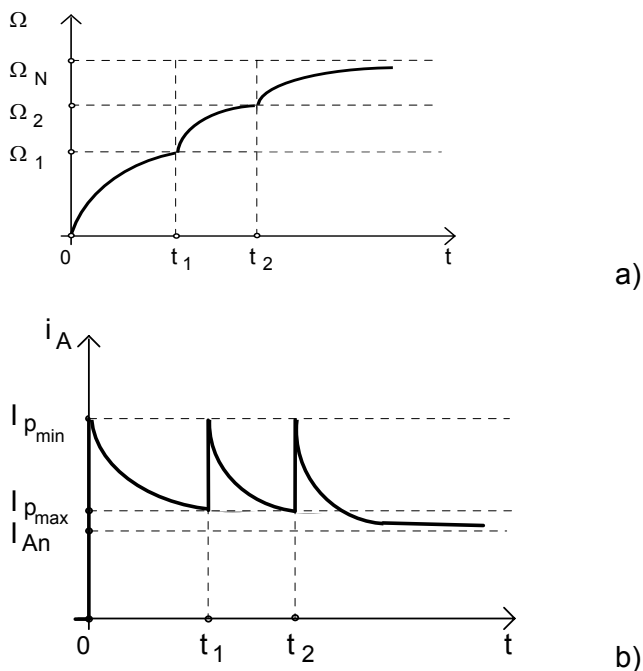


Fig. 2.8. Variația curentului (a) și a vitezei (b) pentru o pornire reostatică.

Schema de comandă automată, pentru **pornirea în funcție de viteză** a unei mașini de curent continuu cu excitație derivată, este prezentată în figura 2.9.

Funcționarea schemei:

Prin închiderea întreruptorului **Q**, excitatia masinii este alimentata, iar schema de comanda primeste si ea alimentare.

Daca este actionat butonul de pornire **S_p**, contactorul **K₁** anclanseaza, masina fiind pornita cu întregul reostat de pornire înseriat cu indusul ei.

Pentru a realiza o comanda automata în functie de viteza, au fost folosite rele de tensiune. Acestea au posibilitatea reglării valorii tensiunii de anclansare, valoare determinata în functie de viteza unghiulara a masinii cu ajutorul urmatoarelor relatii:

$$\begin{aligned} U_{K_{T1}} &= k\Phi \cdot \Omega_1 + I_{A_{min}} \cdot (R_A + R_{p2} + R_{p3}) \\ U_{K_{T2}} &= k\Phi \cdot \Omega_2 + I_{A_{min}} \cdot (R_A + R_{p3}) \\ U_{K_{T3}} &= k\Phi \cdot \Omega_3 + I_{A_{min}} \cdot R_A \end{aligned} \quad (2.39 - 2.41)$$

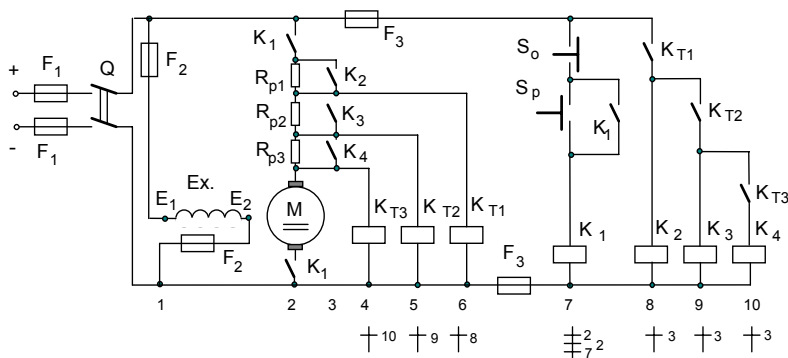


Fig. 2.9. Comanda pornirii reostatice în functie de viteza.

Anclansarea releelor de tensiune permite comanda închiderii circuitelor de alimentare a releelor din ramurile **8**, **9** si respectiv **10**, care scurtcircuiteaza treptele reostatului de pornire. Aceasta schema de comanda este folosita mai ales

pentru masinile de curent continuu cu excitatie derivatie de putere mica.

În figura 2.10, este prezentata o schema de comanda automata pentru ***pornirea în functie de curent*** a unei masini de curent continuu cu excitatie derivatie.

Functionarea schemei:

Releele de curent K_{I1} si K_{I2} se regleaza, astfel încât sa declanseze la valoarea minima a curentului de pornire, anclansarea producându-se la o valoarea mai mare. Închiderea întreruptorului general Q permite alimentarea excitatiei masinii si a schemei de comanda. La apasarea butonului de pornire S_p , motorul va fi alimentat cu cele doua trepte ale reostatului de pornire înseriate cu indusul. Curentul va creste la valoarea sa maxima de pornire, iar releul K_{I1} va anclansa, deschizându-si contactul sau din ramura 7.

Atunci când curentul va atinge valoarea sa minima pe durata procesului tranzitoriu, releul K_{I1} va declansa. Momentul acestei declansari are loc dupa închiderea prealabila a contactului normal deschis a releului de timp K_{T1} din ramura 7. Acest contact are un rol de protectie, astfel încât sa nu se permita alimentarea bobinei contactorului K_2 pâna când curentul nu a atins valoarea sa minima de pornire.

Pentru a asigura o corecta secventiere a închiderii si respectiv deschiderii contactelor din schema prezentata, au fost prevazute cele doua rele de timp K_{T1} si K_{T2} . În momentul în care curentul a atins valoarea sa minima de pornire si contactorul K_2 a primit alimentare, prima treapta a reostatului de pornire este scurtcircuitata.

Procesul decurge similar si pentru treapta a doua (sau pentru mai multe trepte în cazul general).

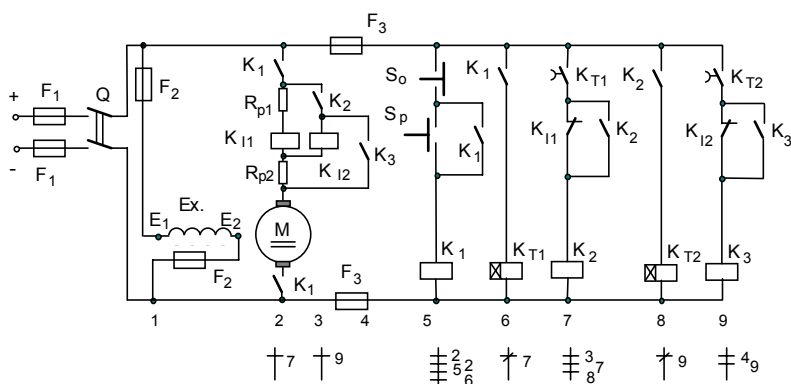


Fig. 2.10. Comanda pornirii reostatice în funcție de curent.

Pentru a realiza o **comanda automata secventiala a pornirii în functie de timp** a unei masini de curent continuu cu excitatie derivatie, se poate utiliza schema propusa în figura 2.11.

Functionarea schemei:

În momentul alimentării bobinei unui releu de timp cu temporizare la revenire (cazul releelor K_{T1} și K_{T2}), starea contactelor se schimbă, iar când alimentarea se întrerupe, temporizarea este startată, contactele revenind temporizat la starea lor “*naturală*”.

La punerea schemei sub tensiune, odata cu închiderea întreruptorului Q si alimentarea excitatiei masinii, datorita închiderii contactului releului K_{T1} din ramura 7, contactorul K_2 nu va primi alimentare. În acest moment se va întrerupe alimentarea bobinei releului de timp K_{T1} si totodata este startata temporizarea acestuia, temporizare care determina, când va fi scurtcircuitata, prima treapta a reostatului de pornire, si respectiv, când va începe “*derularea*” temporizarii releului K_{T2} .

Această secvențiere poate fi foarte ușor extinsă pentru utilizarea unui reostat de pornire cu mai multe trepte.

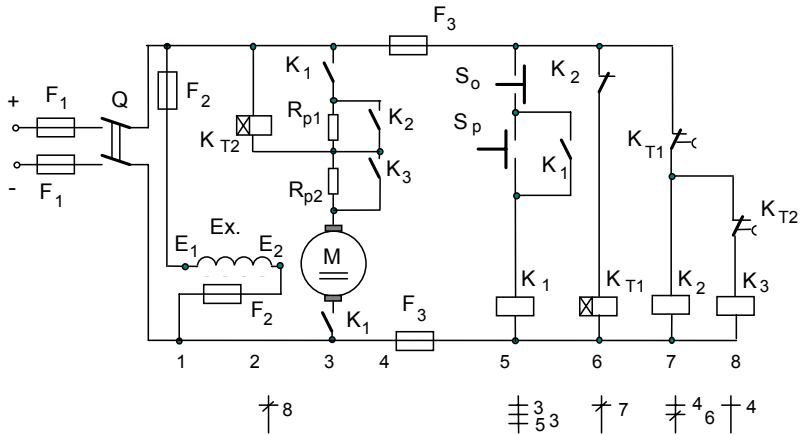


Fig. 2.11. Comanda pornirii reostatice în funcție de timp.

Calculul duratelor de funcționare pe fiecare treaptă se bazează pe folosirea următoarelor relații:

$$U_{An} = (R_A + R_p) \cdot I_A + k\Phi \cdot \Omega \quad (2.42 - 2.43)$$

$$M = k\Phi \cdot I_A = J \cdot \frac{d\Omega}{dt} + M_S$$

Înlocuind curentul din 2.43 în 2.42, se obține:

$$\begin{aligned} J \cdot \frac{d\Omega}{dt} + \frac{(k\Phi)^2}{R_A + R_p} \cdot \Omega &= \frac{k\Phi}{R_A + R_p} \cdot U_{An} - M_S \\ \frac{J \cdot (R_A + R_p)}{(k\Phi)^2} \cdot \frac{d\Omega}{dt} + \Omega &= \frac{U_{An}}{k\Phi} - \frac{(R_A + R_p) \cdot M_S}{(k\Phi)^2} \end{aligned} \quad (2.44 - 2.45)$$

Cu ajutorul relației 2.38 și cu notația:

$$\Omega_{final} = \frac{U_{An}}{k\Phi} - \frac{(R_A + R_p) \cdot M_S}{(k\Phi)^2} \quad (2.46)$$

putem scrie solutia ecuatiei 2.45:

$$\begin{aligned} \Omega(t) &= \Omega_{iniijial} \cdot e^{-t/T_{emk}} + \Omega_{final} \cdot \left(1 - e^{-t/T_{emk}}\right) = \\ &= \Omega_{final} + (\Omega_{iniijial} - \Omega_{final}) \cdot e^{-t/T_{emk}} \end{aligned} \quad (2.47)$$

Cu aceasta relatie se poate obtine timpul de functionare pe fiecare treapta, daca în relatiile urmatoare sunt introduse valorile: viteza initiala, viteza masinii în momentul scurtcircuitarii treptei reostatului de pornire, viteza finala a masinii sau valorile corespunzatoare ale cuplului dezvoltat de masina si a cuplului de sarcina, plus constanta electromecanica de timp, pentru treapta respectiva (2.38).

$$\begin{aligned} t_k &= T_{emk} \cdot \ln \frac{\Omega_1 - \Omega_{final}}{\Omega_2 - \Omega_{final}} = \\ &= T_{emk} \cdot \ln \frac{M_{max} - M_S}{M_{min} - M_S} \end{aligned} \quad (2.48)$$

2.2.1.3. Pornirea prin variatia tensiunii de alimentare

Daca pornirea prin conectarea directa la rețeaua de alimentare a masinii de curent continuu prezinta dezavantajul unui curent mare, cea de-a doua metoda prezentata are inconvenientul unui randament scazut, datorita utilizarii rezistentelor suplimentare. În cazul unor masini de puteri mari si gabaritul acestora este mare, ceea ce face ca socurile datorate curentului de pornire sa devina importante. De aceea, în multe cazuri este preferata pornirea masinilor de curent continuu prin variatia tensiunii de alimentare, de la zero

spre valoarea sa nominală. Variația tensiunii poate fi realizată prin mai multe procedee:

- alimentarea prin intermediul unui convertor comandabil cu semiconductoare (*redresor, chopper*);
- alimentarea prin intermediul unui autotransformator și a unui redresor necomandat cu semiconductoare (*mai ales în cazul unei mașini de putere mică*);
- alimentarea de la un convertor rotativ (*un grup generator - motor*);
- alimentarea în trepte de tensiune (*spre exemplu, conectarea în serie a mai multor elemente ale unei baterii*).

2.2.2. Mașini de curent continuu cu excitație serie

Treptele reostatului de pornire folosit în cazul mașinilor de curent continuu cu excitație serie, se pot determina prin **metoda grafo - analitică**. Construcția caracteristicilor reostatice ale mașinii serie se realizează cu ajutorul *caracteristicii mecanice limita*. Aceasta este de fapt o caracteristică fictivă, care ar corespunde unei rezistențe nule pentru circuitul indusului:

$$\Omega_{limit} = \frac{U_{An}}{k\Phi} \quad (2.49)$$

Cu ajutorul datelor de pe placuța indicatoare a mașinii, se construiește această caracteristică, pentru ca apoi să poată fi determinate caracteristicile reostatice (*relația 2.51*):

$$\Omega_{limit} = \frac{U_{An}}{(k\Phi)_n} = \frac{U_{An}}{\frac{U_{An} - (R_A + R_E) \cdot I_{An}}{\Omega_n}} = \frac{\Omega_n}{1 - \frac{(R_A + R_E) \cdot I_{An}}{U_{An}}} \quad (2.50)$$

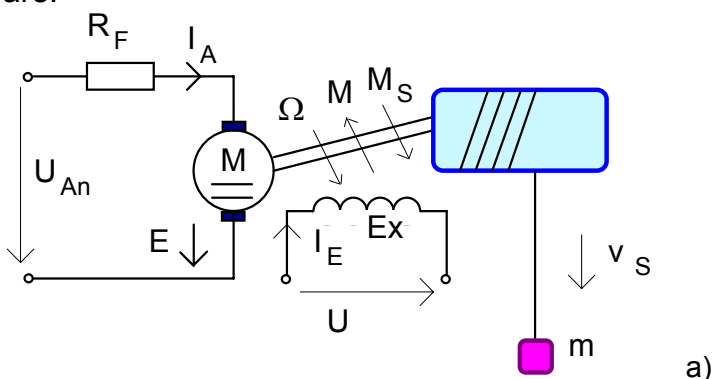
2.3. METODE DE FRÂNARE A MASINII DE CURENT CONTINUU

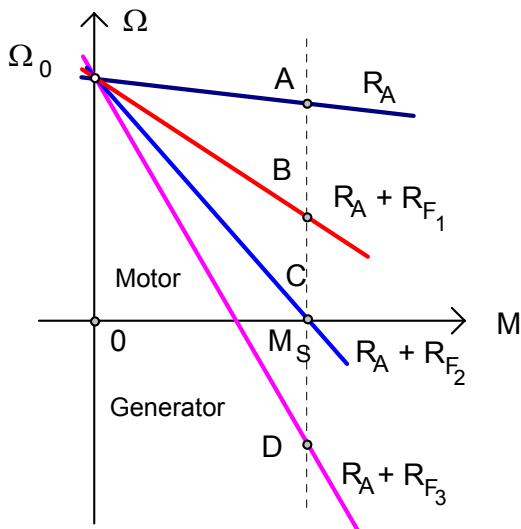
Masinele de curent continuu pot fi frânate prin mai multe procedee ce vor fi descrise în acest paragraf. Pentru funcționarea masinii în regim de motor, în cele ce urmează, vom considera următoarele convenții: cuplul dezvoltat de masina și viteza unghiulară a acesteia au același sens, iar curentul prin indus și tensiunea electromotoare au sensuri opuse. Sensurile considerate sunt inversate atunci când masina funcționează în regim de generator (*în regim de frânare*).

2.3.1. Masini de curent continuu cu excitatie separata sau derivatie

2.3.1.1. Frânarea propriu-zisă prin inversarea sensului de rotație

Schema electrică este prezentată în figura următoare:





b)

Fig. 2.13. Frânarea propriu-zisă prin inversarea sensului de rotație.

În cazul unui mecanism de ridicat, pentru determinarea valorii rezistenței de frânare ce trebuie înseriată cu indusul mașinii, astfel încât viteza la coborâre să fie cea dorită, se poate scrie:

$$\Omega_{cob} = \frac{U_{An}}{k\Phi} - \frac{R_A + R_F}{(k\Phi)^2} \cdot M_S \quad (2.52)$$

și rezulta:

$$R_F = \frac{U_{An} \cdot k\Phi}{M_S} - \frac{(k\Phi)^2 \cdot \Omega_{cob}}{M_S} - R_A \quad (2.53)$$

2.3.1.2. Frânarea prin contraconectare

Acest procedeu mai este întâlnit și sub denumirea de frânare prin **contracurent** sau prin **legături inverse**.

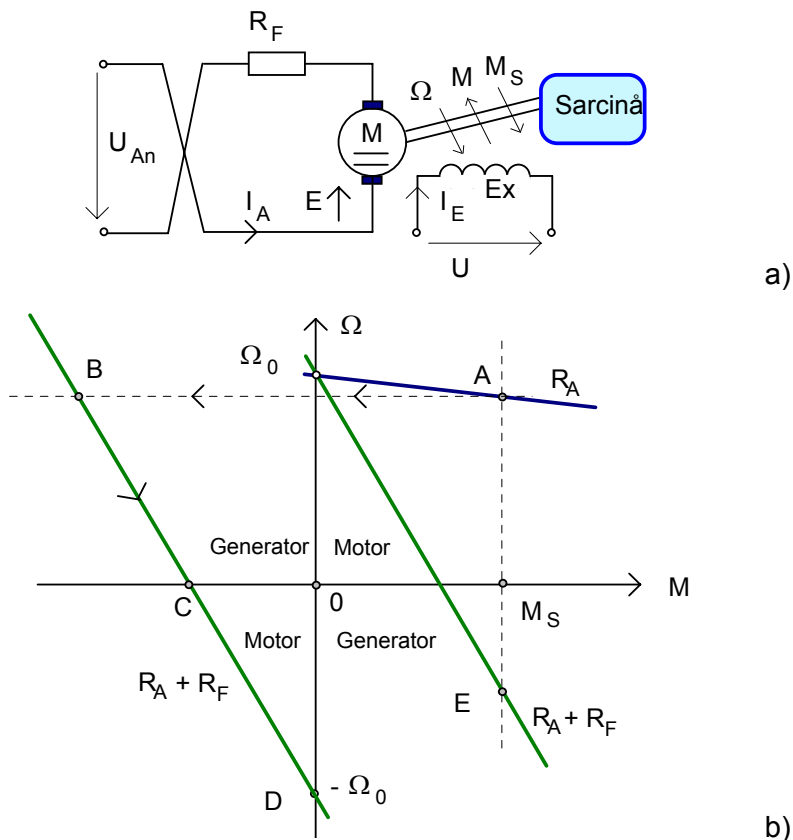


Fig. 2.14. Frânarea prin contraconectare: a) schema electrică; b) caracteristica mecanică de frânare prin contraconectare.

Metoda constă în schimbarea polarității tensiunii de alimentare, simultan cu introducerea în serie cu indusul mașinii a unei rezistențe de frânare. Schema electrică corespunzătoare acestui procedeu și caracteristica mecanică pentru frânarea prin contraconectare sunt prezentate în figura 2.14.

Procedeeul este folosit mai ales acolo unde este necesară obținerea unui timp mic de frânare. Cuplul maxim de frânare este limitat în general la aproximativ $2 \div 2,5$ ori

valoarea cuplului nominal. Ecuația caracteristicii mecanice devine:

$$\Omega = -\frac{U_{An}}{k\Phi} - \frac{R_A + R_F}{(k\Phi)^2} \cdot M \quad (2.54)$$

unde valoarea cuplului este negativă, el având sensul schimbat față de cazul în care mașina funcționează în regim de motor. Mașina frânează și poate fi oprită în punctul C. Dacă procesul continuă, va avea loc reversarea, adică schimbarea sensului vitezei unghiulare a mașinii.

Pentru accelerarea în acest nou sens, se poate realiza o scoatere secvențială a treptelor rezistentei de frânare, similar cu cazul pornirii reostatice.

2.3.1.3. Frânarea dinamică recuperativă

Acest procedeu de frânare este întâlnit în sistemele de tracțiune electrică. Dacă calea de rulare (*a unui tren, tramvai, troleibuz, metrou, etc.*) este înclinată, atunci mașina poate coborî și fără existența unui cuplu motor.

În aceste condiții, viteza mașinii crește peste viteza de mers în gol, tensiunea electromotoare crește și ea, depășind valoarea tensiunii rețelei de alimentare. Astfel, surplusul de energie este transmis rețelei, mașina funcționând în regim de generator.

De asemenea, sensul curentului prin indusul mașinii este schimbat. Este de observat că prin acest procedeu mecanismul nu poate fi oprit, ci din contra viteza acestuia crește. Dacă tensiunea rețelei de alimentare se poate modifica, atunci viteza maximă corespunzătoare acestui regim poate fi limitată. Caracteristica mecanică este prezentată în figura 2.15.

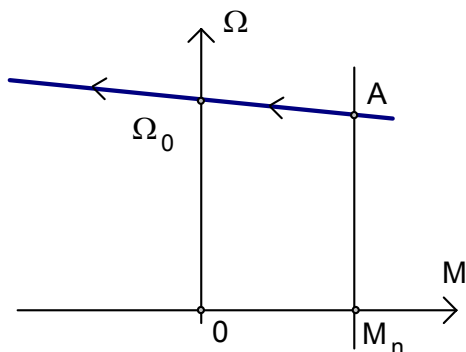


Fig. 2.15. Frânarea dinamică recuperativă.

2.3.1.4. Frânarea dinamică nerecuperativă

Acest procedeu, folosit mai ales pentru frânări bruste, presupune decuplarea indusului mașinii de la rețeaua de alimentare și cuplarea lui pe o rezistență de frânare. Mașina continuând să se învârtă în același sens, va trece în regim de generator, iar energia cinetică acumulată va fi consumată sub formă de căldură pe rezistența R_F . Schema electrică echivalentă și caracteristica mecanică sunt prezentate în figura 2.16.

Ecuatia caracteristicii mecanice este:

$$\begin{aligned}\Omega &= -\frac{(R_A + R_F) \cdot I_F}{k\Phi} = \\ &= -\frac{(R_A + R_F) \cdot M_F}{(k\Phi)^2}\end{aligned}\tag{2.55}$$

unde valoarea curentului de frânare, respectiv a cuplului de frânare sunt negative. Dezavantajul acestui procedeu constă în scăderea cuplului de frânare odată cu scăderea vitezei mașinii.

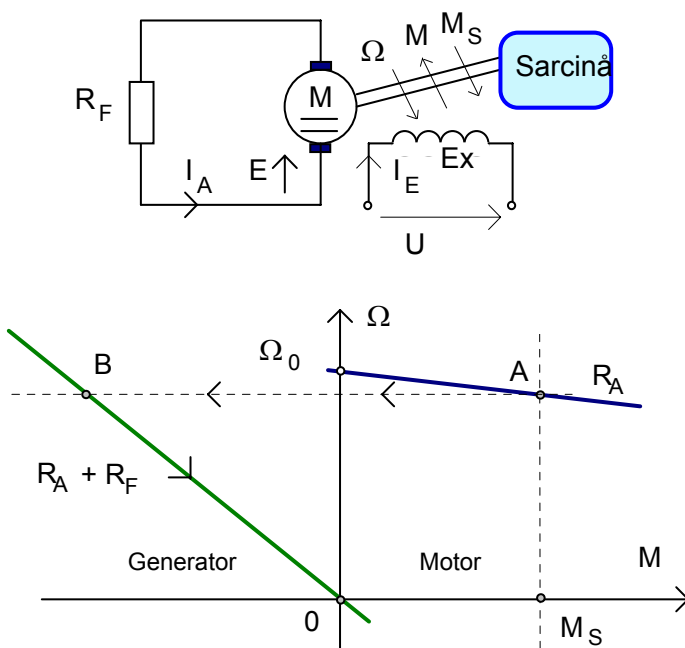


Fig. 2.16. Frânarea dinamică nerecuperativă.

În cazul frânării la gol, considerând inductivitatea indusului masinii neglijabilă, se obține:

$$\begin{cases}
 U_A = (R_A + R_F) \cdot I_F + k\Phi \cdot \Omega \\
 k\Phi \cdot I_F = J \cdot \frac{d\Omega}{dt}
 \end{cases}$$

$$\frac{J \cdot (R_A + R_F)}{(k\Phi)^2} \cdot \frac{d\Omega}{dt} + \Omega = 0 \quad (2.56 - 2.60)$$

$$T_{emF} = \frac{J \cdot (R_A + R_F)}{(k\Phi)^2}$$

$$T_{emF} \cdot \frac{d\Omega}{dt} + \Omega = 0$$

Solutia ecuatiei 2.60 va fi:

$$\Omega = \Omega_0 \cdot e^{-t/T_{emF}} \quad (2.61)$$

iar pentru curentul de frânare:

$$i_F = -\frac{k\Phi}{R_A + R_F} \cdot \Omega \cdot e^{-t/T_{emF}} \quad (2.62)$$

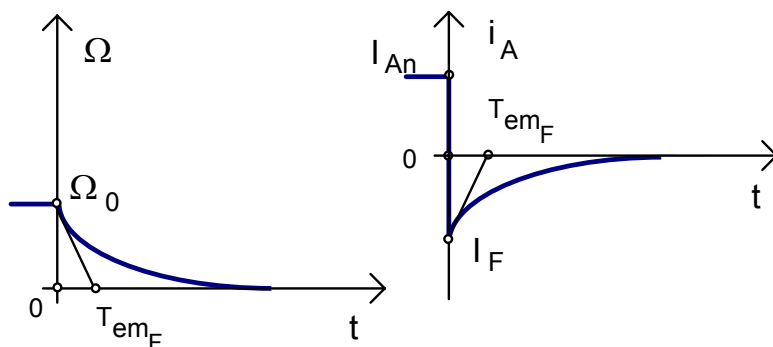


Fig. 2.17. Evolutia vitezei si a curentului masinii de curent continuu cu excitatie separata, în cazul frânării dinamice nerecuperative.

2.3.2. Masini de curent continuu cu excitatie serie

2.3.2.1. Frânarea propriu-zisa prin inversarea sensului de rotatie

Acest procedeu este similar cu cel prezentat pentru masina cu excitatie separata. Metodologia de determinare a caracteristicilor reostatice a fost mentionata analitic în relatiile 2.49 - 2.51 si prezentata grafic în figura 2.12.

Pentru rezistente de frânare mai mari, punctul de functionare va trece în cadranul *IV* al planului caracteristicii mecanice ($\Omega - M$).

2.3.2.2. Frânarea prin contraconectare

La fel ca și la mașinile de curent continuu cu excitație derivată sau separată, se schimbă polaritatea tensiunii de alimentare simultan cu introducerea unei rezistențe de frânare. *Dar*, sensul fluxului de excitație trebuie să-și mențină valoarea, deoarece altfel nu se poate obține cuplul de frânare. Expresia caracteristicii mecanice pentru acest caz este:

$$\Omega = -\frac{U_{An}}{k\Phi} - \frac{R_A + R_E + R_F}{k\Phi} \cdot I_F \quad (2.63)$$

sau:

$$\Omega = -\Omega_{limită} \cdot \left(1 + \frac{R_A + R_E + R_F}{U_{An}} \cdot I_F \right) \quad (2.64)$$

2.3.2.3. Frânarea dinamică recuperativă

Trecerea din cadrantul *I* în cadrantul *II* al planului caracteristicilor mecanice ($\Omega - M$) nu se poate realiza prin creșterea vitezei mașinii. Acest lucru se întâmplă datorită scăderii tensiunii electromotoare simultan cu scăderea fluxului din mașină, deci simultan cu încărcarea acesteia. Tensiunea de alimentare rămâne în permanență mai mare decât tensiunea electromotoare. Pentru a realiza o frânare dinamică recuperativă, excitația trebuie conectată separat la o sursă de tensiune mică și curent mare. Practic, mașina este conectată ca o mașină de curent continuu cu excitație separată.

2.3.2.4. Frânarea dinamică nerecuperativă

Frânarea dinamică se poate realiza prin deconectarea indusului mașinii și conectarea lui pe o rezistență. În ceea ce privește excitația, sunt posibile două variante: înfășurarea de excitație rămâne conectată în serie cu indusul (*generator autoexcitat*), păstrându-se sensul fluxului din regimul de motor

sau se poate alimenta excitatia independent la o sursa de alimentare. Cazul al doilea este identic cu cel prezentat la paragraful 2.3.1.4.

Expresia caracteristicii mecanice pentru primul caz este:

$$\Omega = - \frac{R_A + R_E + R_F}{k\Phi} \cdot I_F \quad (2.65)$$

Si în acest caz, la oprire se poate folosi o schema de comanda secventiala pentru scurtcircuitarea treptelor reostatului de frânare.

2.4. METODE DE REGLARE A VITEZEI MASINII DE CURENT CONTINUU

Caracteristica mecanica descrisa cu ajutorul relatiei 2.5, arata ca viteza unei masini de curent continuu poate fi reglata prin folosirea uneia dintre urmatoarele metode:

- reglajul reostatic;
- reglarea tensiunii de alimentare;
- reglarea câmpului de excitatie.

2.4.1. Reglajul reostatic

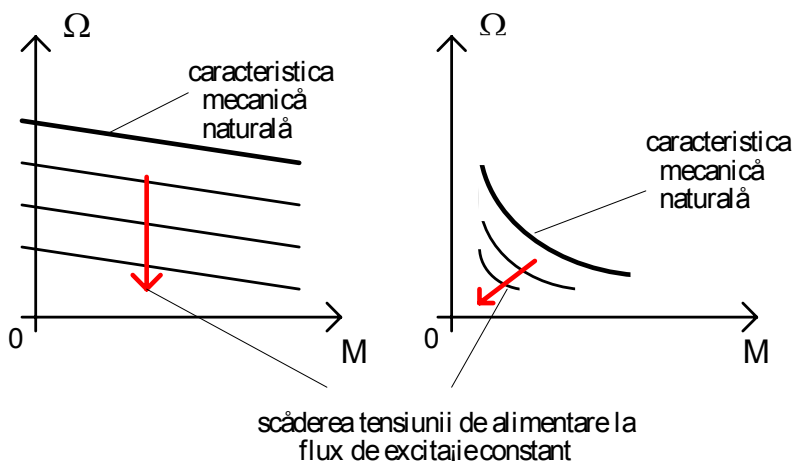
Aceasta metoda consta în modificarea continua sau în trepte a rezistentei circuitului indusului. Introducerea unei rezistente suplimentare conduce la scaderea vitezei masinii de curent continuu, atât a celei cu excitatie separata sau derivatie, cât si a celei cu excitatie serie. Familia caracteristicilor mecanice pentru cele doua cazuri au fost prezentate în figurile 2.7 si 2.12.

Principalul dezavantaj al acestei metode îl reprezinta randamentul scazut al actionarii. Totusi, datorita simplitatii deosebite si a pretului mic al instalatiei, aceasta metoda este folosita în cazul aplicatiilor care necesita reglarea vitezei pentru un interval foarte scurt de timp.

2.4.2. Reglarea tensiunii de alimentare

Viteza masinii de curent continuu (*fie ea cu excitatie separata, derivatie, sau serie*) depinde de tensiunea de alimentare. Scaderea acesteia implica reducerea vitezei masinii. Daca tensiunea de alimentare a unei masini derivatie este redusa brusc cu o valoare semnificativa, atunci viteza va scadea corespunzator, iar masina va trece si prin regimul de generator. Variatia vitezei are loc similar pentru masina serie, dar în acest caz, indiferent de valoarea cu care este redusa tensiunea de alimentare, masina nu va trece prin regimul de generator. Orice reducere sau crestere a valorii tensiunii de alimentare trebuie facuta în pasi mici. Variatiilor mari de tensiune le corespund variatii mari de curent, care reduc simtitor viata colectorului.

Caracteristicile mecanice stationare ale masinii de curent continuu, pentru tensiune de alimentare variabila, sunt prezentate în figura 2.18.



(a) masina derivatie (separata)
serie

(b) masina

Fig. 2.18. Caracteristicile mecanice ale masinii de curent continuu în cazul reglării tensiunii de alimentare.

Aceasta metoda permite obtinerea unei game mari de reglare a vitezei. La viteze mici, racirea masinii este proasta, dar comutatia este buna.

Reglarea tensiunii de alimentare poate fi facuta cu ajutorul redresoarelor comandate, a variatoarelor de tensiune continua, sau a grupurilor rotative. Pentru ultimul caz, se poate folosi schema din figura 2.19.

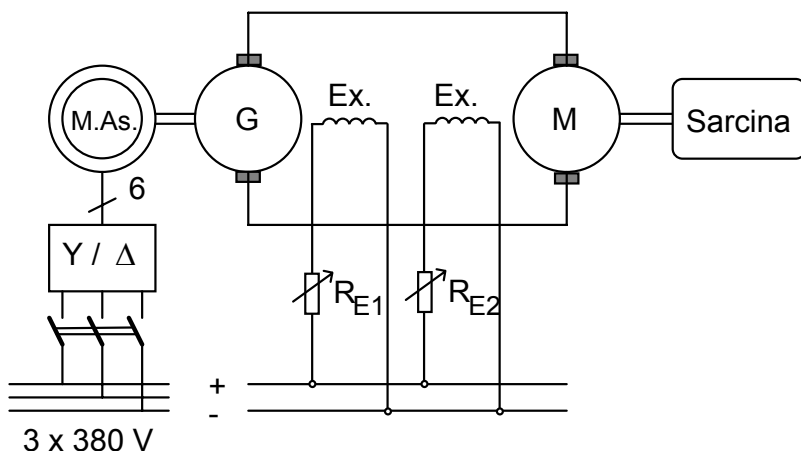


Fig. 2.19. Grupul generator - motor.

Pentru aceasta actionare putem scrie relatiile:

$$\begin{aligned} E_G &= U_G + R_{AG} \cdot I_{AG} = (k\Phi)_G \cdot \Omega_G \\ U_M &= E_M + R_{AM} \cdot I_{AM} = (k\Phi)_M \cdot \Omega_M + R_{AM} \cdot I_{AM} \\ U_M &= U_G \end{aligned} \quad (2.66 - 2.68)$$

si rezulta pentru viteza masinii relatia:

$$\Omega_M = \frac{(k\Phi)_G}{(k\Phi)_M} \cdot \Omega_G - \frac{R_{AG} + R_{AM}}{(k\Phi)_M} \cdot I_A \quad (2.69.a)$$

$$\Omega_M = \frac{(k\Phi)_G}{(k\Phi)_M} \cdot \Omega_G - \frac{R_{AG} + R_{AM}}{(k\Phi)_M^2} \cdot M \quad (2.69.b)$$

Din relațiile 2.69 rezulta că viteza sarcinii poate fi reglată atât prin modificarea tensiunii generatorului **G**, cât și prin slăbirea câmpului de excitație a motorului **M**. Astfel, cu ajutorul **grupului generator - motor**, cunoscut și sub numele de **Grup Ward - Leonhard**, după numele inventatorilor, se poate realiza o gamă de reglare a vitezei de aproximativ **1:20**. Acționarea poate funcționa în patru cadrane. Inversarea sensului de mers se face prin schimbarea sensului curentului de excitație al generatorului **G**. Această metodă de reglare a vitezei este folosită la acționarea laminoarelor, a masinilor - unelte grele (*raboteze, strunguri carusel*), instalațiilor de ridicat și transportat (*teleferice de persoane, mașini de extracție miniere*), a locomotivelor diesel - electrice, etc.

Dintre avantajele acționării menționăm: timp mic de pornire, frânarea se poate face lin, nu sunt necesare rezistențe suplimentare în circuitul indusului mașinii **M**. Dar, acționarea prezintă și o serie de dezavantaje ce trebuie luate în considerare: putere instalată mare, gabarit mare, randament inferior acționărilor cu convertizoare cu dispozitive semiconductoare de putere (*produsul randamentelor celor trei mașini de puteri apropiate*), cost ridicat, întreținere pretentioasă datorită uzurii colectoarelor și a periiilor.

În general, pe axul mașinii asincrone este cuplată o mașină de curent continuu de putere mică cu magneti permanenți. Ea este folosită pentru alimentarea excitațiilor mașinilor de curent continuu din cadrul grupului și poartă numele de *mașină excitatoare*.

2.4.3. Reglarea câmpului de excitație

După cum rezulta din relația 2.5, slăbirea câmpului de excitație al mașinii conduce la o creștere a vitezei acționării.

Caracteristicile mecanice staționare ale mașinii sunt prezentate în figura 2.20.

Reglarea câmpului de excitație permite obținerea unui reglaj al vitezei mașinii în ambele sensuri. Investiția necesară este mică, metoda fiind ceva mai economică decât cea prezentată în paragraful 2.4.2.

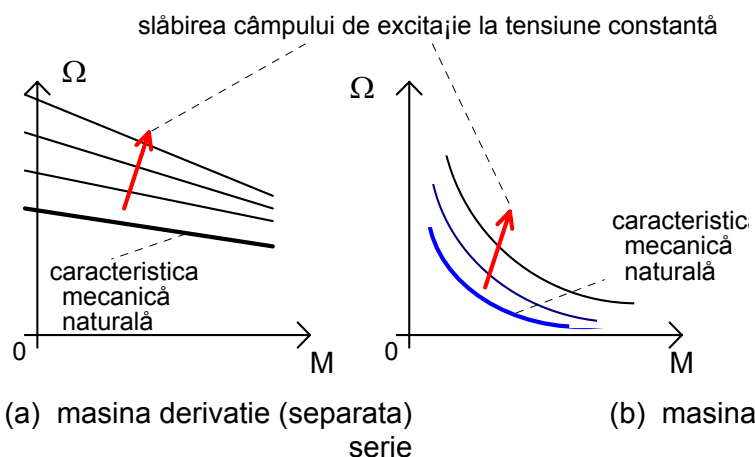


Fig. 2.20. Caracteristicile mecanice ale mașinii de curent continuu în cazul reglării câmpului de excitație.

Dintre dezavantajele acestei metode de reglare a vitezei mașinii de curent continuu, menționăm: plaja mică de reglare (*mai ales la sarcini mari*), comutația este înrăutățită la viteze mari; dacă fluxul de excitație scade, va scădea și valoarea cuplului dezvoltat de către mașină; la fluxuri mici de excitație, reacția transversală este importantă și se poate ajunge la apariția unor instabilități în funcționare.

2.4.4. Combinarea metodei de reglare a tensiunii de alimentare cu reglarea câmpului de excitație

Cele două metode pot fi combinate atunci când se dorește obținerea unei game mari de reglaj al vitezei acționării. Reglajul tensiunii de alimentare are avantajul

mentinerii capacității maxime de încărcare a mașinii (*cuplu constant*). Atunci când este necesară o viteză la mersul în gol mai mare, se folosește *slăbirea de câmp*. Cea de-a doua metodă permite realizarea unor reglaje mai fine ale vitezei, în comparație cu rezultatele obținute cu ajutorul primei metode. În figura 2.21 sunt prezentate limitările ce intervin în cazul reglării combinate, la sarcină constantă.

2.5. FUNCȚIA DE TRANSFER A UNEI MAȘINI DE CURENT CONTINUU

2.5.1. Mașina de curent continuu cu excitație separată

Este necesară cunoașterea funcției de transfer a unei mașini de curent continuu pentru a putea analiza stabilitatea statică a funcționării acestora și pentru a putea realiza proiectarea acționării în buclă închisă. Sistemele în buclă închisă sunt utilizate atunci când se dorește obținerea unor rezultate foarte bune în controlul vitezei sau al poziției.

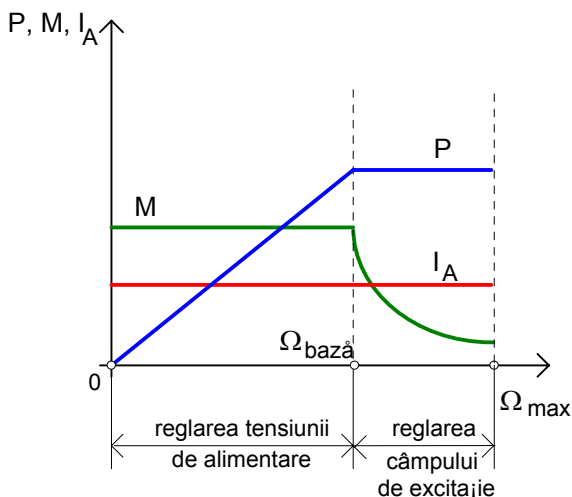


Fig. 2.21. Variația cuplului, a puterii și a curentului în cazul reglării combinate, la sarcină constantă.

Circuitul echivalent al mașinii de curent continuu cu excitație independentă este prezentat în figura 2.22.

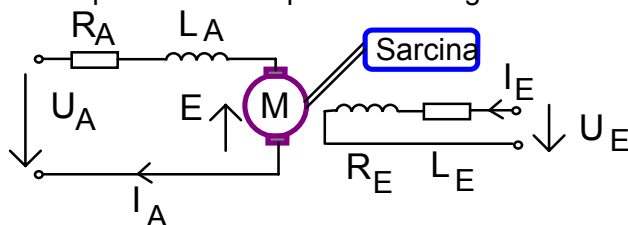


Fig. 2.22. Circuitul echivalent al mașinii de curent continuu cu excitație independentă.

Funcția de transfer a mașinii va fi prezentată atât în cazul reglării tensiunii de alimentare, cât și în cazul reglării câmpului de excitație.

2.5.1.1. Reglarea tensiunii de alimentare

În relațiile ce vor urma vom nota cu litere mici marimile ce variază în funcție de timp.

$$\begin{aligned}
 u_A &= R_A i_A + L_A \cdot \frac{di_A}{dt} + e_A \\
 e_A &= (k\Phi) \cdot \Omega \\
 m &= (k\Phi) \cdot i_A \\
 m &= m_S + B \cdot \Omega + J \cdot \frac{d\Omega}{dt}
 \end{aligned}
 \tag{2.70 - 2.73}$$

unde **B**, reprezintă coeficientul de frecare vâscoase.

Dacă sistemului de ecuații anterior, îi aplicăm *transformata Laplace* considerând condiții initiale nule, obținem următoarele relații:

$$\begin{aligned} U_A(s) &= R_A I_A(s) + s \cdot L_A I_A(s) + k\Phi \cdot \Omega(s) \\ k\Phi \cdot I_A(s) &= M_S(s) + B \cdot \Omega(s) + s \cdot J \cdot \Omega(s) \end{aligned} \quad (2.74 - 2.75)$$

unde $X(s)$ reprezintă transformata Laplace a marimii $x(t)$.
Dacă notăm constanta mecanică datorată frecarilor vâscoase cu:

$$T_{mv} = \frac{J}{B} \quad (2.76)$$

cu ajutorul relațiilor 2.35 - 2.36, din 2.74, pentru curent obținem:

$$I_A(s) = \frac{U_A(s) - k\Phi \cdot \Omega(s)}{R_A \cdot (1 + s \cdot T_A)} \quad (2.77)$$

iar din 2.75, pentru viteza obținem:

$$\Omega(s) = \frac{k\Phi \cdot I_A(s) - M_S(s)}{B + s \cdot J} = \frac{1}{B} \cdot \frac{M(s) - M_S(s)}{1 + s \cdot T_{mv}} \quad (2.78)$$

Pe baza ultimelor relații, poate fi construită schema bloc a mașinii:

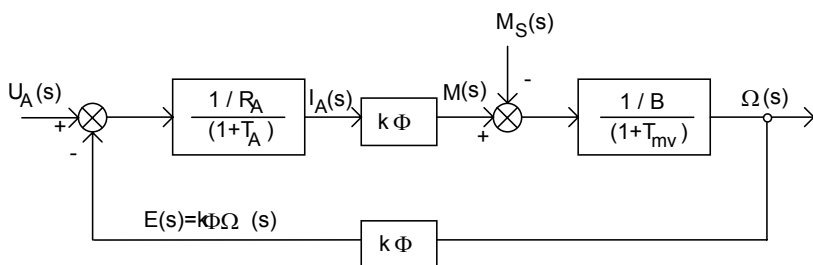


Fig. 2.23. Schema bloc a mașinii de curent continuu cu excitație independentă comandată pe indus.

Conform schemei prezentate, se observa ca masina se comporta ca un sistem în bucla închisa cu marimea de reactie egala cu tensiunea electromotoare E si cu doua intrari: tensiunea de alimentare si cuplul de sarcina. Rezulta ca în studiul comportarii masinii de curent continuu sunt utile în general doua functii de transfer (*iesirea sistemului raportata la o intrare*), viteza unghiulara a masinii în functie de tensiunea de alimentare si viteza în functie de cuplul de sarcina. Sistemele de actionare electrica cu masini de curent continuu alimentate de la convertoare cu semiconductoare necesita exprimarea vitezei functie de tensiunea de alimentare. Pentru obtinerea acestei functii de transfer, vom pasiviza cea de-a doua intrare, cuplul de sarcina, exprimând pe rând viteza functie de curentul prin indusul masinii si curentul functie de tensiunea de alimentare. Daca consideram cuplul de sarcina nul în relatia 2.78, obtinem:

$$\Omega(s) = \frac{1}{B} \cdot \frac{M(s)}{1 + s \cdot T_{mv}} \quad (2.79)$$

si înlocuind în 2.77, rezulta:

$$I_A(s) = \frac{U_A(s) - k\Phi \cdot \frac{k\Phi}{B} \cdot \frac{I_A(s)}{(1 + s \cdot T_{mv})}}{R_A \cdot (1 + s \cdot T_A)} \quad (2.80)$$

$$\frac{U_A(s)}{R_A \cdot (1 + s \cdot T_A)} = I_A(s) \cdot \left[1 + \frac{(k\Phi)^2}{R_A \cdot B \cdot (1 + s \cdot T_A) \cdot (1 + s \cdot T_{mv})} \right]$$

$$\frac{I_A(s)}{U_A(s)} = \frac{B \cdot (1 + s \cdot T_{mv})}{(k\Phi)^2 + R_A \cdot B + R_A \cdot B \cdot (T_A + T_{mv}) \cdot s + R_A \cdot B \cdot T_A T_{mv} \cdot s^2}$$

(2.81 - 2.82)

Cu folosirea notatiilor:

$$T_{emf} = \frac{J \cdot R_A}{B \cdot R_A + (k\Phi)^2} \quad (2.83 - 2.84)$$

$$K_1 = \frac{B}{B \cdot R_A + (k\Phi)^2}$$

rezulta:

$$\frac{I_A(s)}{U_A(s)} = \frac{K_1 \cdot (1 + s \cdot T_{mv})}{1 + T_{emf} \cdot \left(1 + \frac{T_A}{T_{mv}}\right) \cdot s + T_{emf} \cdot T_A \cdot s^2} = \quad (2.85)$$

$$= \frac{K_1 \cdot (1 + T_{mv})}{(1 + s \cdot T_1) \cdot (1 + s \cdot T_2)}$$

cu T_1 si T_2 radacinile numitorului. Aceste valori sunt complex conjugate pentru o gama destul de larga de masini de curent continuu cu excitatie independenta, ce au conectate în serie cu indusul o inductivitate de filtrare. Pentru masinile care au constanta electrica mult mai mica decât cea electromecanica, numitorul relatiei 2.85 devine: $(1 + T_{emf} \cdot s)$.

Functia de transfer globala rezulta din combinarea relatiilor 2.79 si 2.85:

$$\frac{\Omega(s)}{U_A(s)} = \frac{k\Phi}{B \cdot R_A + (k\Phi)^2} \cdot \frac{1}{1 + T_{emf} \cdot \left(1 + \frac{T_A}{T_{mv}}\right) \cdot s + T_{emf} \cdot T_A \cdot s^2} \quad (2.86)$$

Astfel, îndata ce a fost stabilita functia de transfer si respectiv schema bloc echivalenta a masinii de curent continuu, se poate realiza schema structurala a întregului sistem de actionare electrica în vederea proiectarii partii de comanda si reglare. Schema este utila pentru studierea comportarii ansamblului la diferite semnale standard de intrare (*semnal de tip treapta, rampa, sinusoidal, etc.*),

precum și influența asupra ieșirii a diferiților parametri ai sistemului, aspecte prezentate în capitolul 5.

2.5.1.2. Reglarea câmpului de excitație

În cadrul unor sisteme de acționări electrice, viteza este reglată cu ajutorul metodei ce presupune slabirea de câmp, dar prin considerarea unui curent constant prin indusul mașinii (*menținerea unei valori constante este făcută printr-un sistem în buclă închisă*). Modificarea curentului prin indus datorită variației curentului de excitație se poate neglija, dacă se are în vedere valoarea foarte mică a constantei de timp rotorice prin comparație cu cea a excitației. Din circuitul echivalent prezentat în figura 2.22, rezulta:

$$U_E = R_E \cdot i_E + L_E \cdot \frac{di_E}{dt} \quad (2.87)$$

și considerând un circuit magnetic linear, pentru $I_A = \text{constant}$, rezulta:

$$m = k\Phi \cdot I_A = k_A \cdot i_E \quad (2.88)$$

Cu relațiile anterioare și cu 2.73, avem:

$$k_A \cdot i_E = m_S + B \cdot \Omega + J \cdot \frac{d\Omega}{dt} \quad (2.89)$$

În continuare aplicăm transformata Laplace și determinăm relația pentru viteza unghiulară:

$$\begin{cases} U_E(s) = R_E I_E(s) + s \cdot L_E I_E(s) \\ k_A I_E(s) = M_S(s) + B \cdot \Omega(s) + s \cdot J \cdot \Omega(s) \end{cases} \quad (2.90 - 2.91)$$

$$\begin{aligned}
 \Omega(s) &= \frac{k_A I_E(s) - M_S(s)}{B + s \cdot J} = \\
 &= \frac{k_A}{B \cdot (1 + s \cdot T_{mv})} \cdot \frac{U_E}{R_E \cdot (1 + s \cdot T_E)} - \frac{M_S(s)}{B \cdot (1 + s \cdot T_{mv})} = \quad (2.92) \\
 &= \frac{k_A}{B \cdot R_E} \cdot \frac{U_E}{(1 + s \cdot T_{mv}) \cdot (1 + s \cdot T_E)} - \frac{1}{B} \cdot \frac{M_S(s)}{(1 + s \cdot T_{mv})}
 \end{aligned}$$

$$\text{unde: } T_E = \frac{L_E}{R_E} \quad (2.93)$$

reprezintă constanta electrică a circuitului de excitație.

Dacă cuplul de sarcină depinde de viteză, atunci el este adăugat cuplului de frecare vâscoase, rezultând o altă valoare pentru constanta **B**. Relația 2.92 se poate reprezenta astfel:

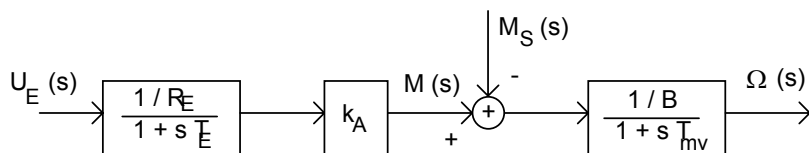


Fig. 2.24. Schema bloc a mașinii de curent continuu cu excitație independentă comandată prin circuitul de excitație.

2.5.2. Mașina de curent continuu cu excitație serie

Trebuie menționat de la început, că în cazul unui sistem de acționare cu o comandă în buclă închisă, reglarea curentului prin indus reprezintă totodată și reglarea curentului de excitație al mașinii. Schema bloc a mașinii de curent continuu cu excitație serie se determină similar cu cazul prezentat anterior. Ipotezele și considerațiile făcute în cadrul acestui capitol rămân valabile și aici. Circuitul echivalent de la care se pleacă are la bază schema din figura 2.4.a. Acum, constanta electrică a mașinii este dată de relația:

$$T'_A = \frac{L_A + L_E}{R_A + R_E} = \frac{L'_A}{R'_A} \quad (2.94)$$

unde R'_A este rezistența tuturor elementelor înseriate cu indusul mașinii de curent continuu cu excitație serie: înfășurarea de excitație; înfășurarea de compensație; înfășurarea de comutație;

L'_A este inductivitatea proprie a indusului împreună cu cea a înfășurării de excitație.

Astfel modelul matematic al mașinii de curent continuu cu excitație serie se obține din sistemul de ecuații 2.70-2.73 în care se înlocuiește R_A cu R'_A , L_A cu L'_A și este adăugată relația de dependență a fluxului de excitație de curentul de sarcină:

$$\begin{aligned} u_A &= R'_A i_A + L'_A \cdot \frac{di_A}{dt} + e_A \\ e_A &= (k\Phi) \cdot \Omega \\ m &= (k\Phi) \cdot i_A \end{aligned} \quad (2.95 - 2.98)$$

$$m = m_S + B \cdot \Omega + J \cdot \frac{d\Omega}{dt}$$

$$k\Phi = f(I_A) \quad (2.99)$$

Pentru rezolvarea sistemului de ecuații 2.95-2.99 trebuie utilizată o metodă de linearizare a acestuia. Cea mai des folosită metodă este aceea de *linearizare a modelului matematic în jurul unui punct de funcționare*. Modelul matematic se scrie pentru variații mici ale marimilor funcționale.

Ecuația 2.99 și respectiv dependența vitezei unghiulare a mașinii de valoarea curentului de sarcină, pentru aceste variații mici (*abateri mici*) este scrisă în funcție de tangenta la

funcția respectivă în punctul de funcționare considerat ($tg(\varphi)$ pentru tangenta la caracteristica fluxului de excitație și respectiv $tg(\gamma)$ tangenta la caracteristica mecanică a mașinii).

Din acest punct tratarea problemei funcției de transfer a mașinii de curent continuu cu excitație serie și respectiv reprezentarea acesteia sub forma unei scheme bloc decurge ca în cazul mașinii de curent continuu cu excitație separată. În urma aplicării transformatei Laplace se obține o schema bloc echivalentă identică cu cea prezentată în figura 2.23

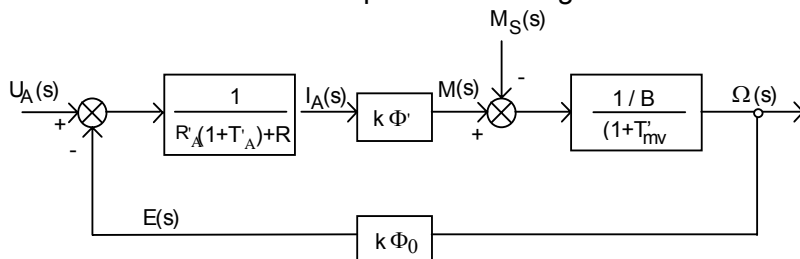


Fig. 2.25. Schema bloc a mașinii de curent continuu cu excitație serie.

unde: $R = \Omega_0 \cdot tg(\varphi) + k\Phi_0 \cdot tg(\gamma);$

$$k\Phi' = k\Phi_0 + I_{A0} \cdot tg(\varphi).$$

Din aceste relații se observă că mașina de curent continuu cu excitație serie introduce un termen proporțional cu viteza unghiulară, deci practic o componentă de tipul *frecare vâscoasă*, ce are o importanță semnificativă în stabilitatea întregului sistem de acționare electrică.

2.6. PROBLEME

2.6.1. Probleme rezolvate

PR1. Un motor de curent continuu cu excitație separată are turația nominală egală cu 500rot/min și acționează o sarcină ce are cuplul proporțional cu viteza. Tensiunea nominală a mașinii este de 220V, curentul nominal de 20A.

Ce rezistență trebuie conectată în serie cu indusul mașinii pentru a reduce viteza acționării la 250rot/min, dacă rezistența indusului este de 1Ω?

$$\text{Rezolvare : } U_{An} = R_A I_{An} + (k\Phi)_n \cdot \Omega_n$$

$$(k\Phi)_n = \frac{U_{An} - R_A I_{An}}{2\pi \frac{n_n}{60}} = \frac{220 - 20 \cdot 1}{2\pi \frac{500}{60}} = 3,82 \text{ Wb}$$

$$\begin{aligned} U_{An} &= (R_A + R) I_A + (k\Phi)_n \cdot \Omega_2 = \\ &= (R_A + R) \cdot \frac{K \cdot \Omega_2}{(k\Phi)_n} + (k\Phi)_n \cdot \Omega_2 \end{aligned}$$

$$M_m = M_S = K \cdot \Omega_n = (k\Phi)_n \cdot I_{An}$$

și rezulta:

$$K = \frac{(k\Phi)_n \cdot I_{An}}{2\pi \frac{n_n}{60}} = \frac{3,82 \cdot 20}{2\pi \frac{500}{60}} = 1,46 \text{ Nm/rads}^{-1}$$

$$R_A + R = \frac{U_{An} - (k\Phi)_n \cdot I_{An}}{\frac{K \cdot \Omega_2}{(k\Phi)_n}} = \frac{220 - 3,82 \cdot 2\pi \frac{500}{60}}{\frac{1,46 \cdot 2\pi \cdot 250}{3,82 \cdot 60}} = 12\Omega$$

$$R = 11\Omega$$

PR2. Un motor de curent continuu cu excitație separată are următoarele date nominale:

$$U_{An} = 230V$$

$$n_n = 500 \text{ rot/min}$$

$$I_{An} = 100A$$

$$R_A = 0,1\Omega$$

Motorul antrenează sub valorile limită o sarcină ce are cuplu constant și independent de viteză. Modificarea vitezei la valori inferioare vitezei de mers în gol se face prin intermediul reglării tensiunii la bornele mașinii, iar pentru valori superioare vitezei de mers în gol, prin reglarea valorii fluxului de excitație (*slăbire de câmp*). Se cere:

- Care este tensiunea la bornele indusului mașinii, dacă viteza unghiulară are valoarea de 400rot/min?
- De câte ori trebuie redus fluxul de excitație pentru a obține o viteză unghiulară de 800rot/min?

Rezolvare :

$$a) \quad E_n = U_A - R_A I_A = 230 - 0,1 \cdot 100 = 220V$$

$$\Omega_n = 2\pi \frac{n_n}{60} = 2\pi \frac{500}{60} = 52,4 \text{ rad/s}$$

$$(k\Phi)_n = \frac{E_n}{\Omega_n} = \frac{220}{52,4} = 4,2 \text{ Wb}$$

$$E_1 = \frac{E_n}{\Omega_n} \cdot \Omega_1 = \frac{220}{52,4} \cdot 2\pi \cdot \frac{400}{60} = 176V$$

$$U_{A1} = E_1 + R_A I_A = 176 + 10 = 186V$$

b)

$$\begin{aligned} E_2 &= (k\Phi)_2 \cdot \Omega_2 = K \cdot (k\Phi)_n \cdot \Omega_2 = \\ &= K \cdot 4,2 \cdot 2\pi \cdot \frac{800}{60} = 3519 \cdot K \end{aligned}$$

Cuplul de sarcina fiind constant, avem:

$$\begin{aligned} (k\Phi)_n \cdot I_{A1} &= (k\Phi)_2 \cdot I_{A2} \\ I_{A2} &= \frac{(k\Phi)_n}{(k\Phi)_2} \cdot I_{A1} = \frac{1}{K} \cdot I_{A1} = \frac{100}{K} \\ U_A &= R_A I_{A2} + (k\Phi)_2 \cdot \Omega_2 = \\ &= 0,1 \cdot 100 \frac{1}{K} + 3519 \cdot K = 230 \\ 3519 \cdot K^2 - 230 K + 10 &= 0 \end{aligned}$$

si rezulta $K_1 = 0,6$ si $K_2 = 0,05$. Conform acestor valori, solutia acceptata este prima si astfel pentru cresterea vitezei unghiulare a actionarii la valoarea de 800 rot/min, fluxul de excitatie va trebui scazut de 0,61 ori, adica cu circa 40% fata de valoarea sa nominala.

2.6.2. Probleme propuse

PP1. O actionare electrica cu grup generator-motor este realizata cu doua masini de curent continuu cu excitatie separata identice si un motor asincron trifazat. Datele nominale ale masinilor sunt urmatoarele:

$$\begin{aligned} U_{An} &= 440V \\ n_n &= 1350 \text{ rot/min} \\ I_{An} &= 120A \\ R_A &= 0,3\Omega \\ \Delta U_p &= 1,6V \end{aligned}$$

si raportul pierderilor mecanice si de ventilatie la pierderile Joule nominale din indusul unei masini de curent continuu de 1/1,5.

Se considera neglijabile pierderile suplimentare si efectul demagnetizant al reactiei indusului. Se cere:

- a) Ce putere trebuie sa aiba motorul asincron de antrenare, daca motorul de curent continuu trebuie sa functioneze în regim nominal? Se considera pierderile de putere ale celor doua masini de curent continuu, egale.
- b) Care va fi turatia de mers în gol a motorului de curent continuu, daca turatia motorului asincron scade cu puterea dezvoltata relativa conform relatiei:

$$n_{As} = 1500 \left(1 - 0,02 \cdot \frac{P_{2As}}{P_{nAs}} \right) \text{rot/min} ?$$

- c). Care va fi turatia nominala a motorului de curent continuu, daca turatia motorului asincron scade cu puterea dezvoltata relativa conform relatiei anterioare?

Se va considera ca pierderile mecanice si de ventilatie ale masinilor de curent continuu au valoarea nominala, iar generatorul are excitatie nominala. Puterea la mersul în gol a motorului asincron, se estimeaza în conditiile date la 10% din puterea nominala a cestuia.

PP2. Un motor de curent continuu cu excitatie derivatie are urmatoarele date nominale:

$$U_{An} = 400V$$

$$n_n = 1345 \text{rot/min}$$

$$I_{An} = 155A$$

$$R_A = 0,07\Omega$$

Se considera curentul de excitație constant și egal cu valoarea sa nominală. Pentru pornirea mașinii se utilizează o schemă de comandă secvențială în funcție de timp cu ajutorul unui reostat de pornire cu trei trepte. Schema permite obținerea aceluiași valori ale curentului minim, respectiv maxim de pornire pe durata procesului tranzitoriu. Valoarea minimă este cu 10% mai mare decât valoarea curentului nominal al mașinii. Se cere:

- a). Care este valoarea minimă și respectiv maximă a curentului de pornire? Se considera reacția indusului, căderea de tensiune la perii și inductivitatea indusului neglijabile.
- b). Să se determine valorile treptelor reostatului de pornire.
- c). Dacă cuplul de sarcină este proporțional cu viteza $M_S = 0,2 \cdot n \text{ Nm}$, să se determine variația turatiei la pornire.
- d). Să se determine timpul de funcționare pe fiecare treaptă a reostatului de pornire, precum și timpul total de pornire.

Momentul total de inerție raportat la arborele mașinii este 7 kgm^2 .

PP3. Pentru mașina de curent continuu cu excitație derivată din problema precedentă să se determine schema bloc echivalentă atât în prezența cuplului de sarcină, cât și în absența sa.

2.7. BIBLIOGRAFIE

1. Bose B.K. "*Power Electronics and AC Drives*", Prentice-Hall, Inc., 1986;
2. Dubey G.K. "*Power Semiconductor Controlled Drives*", Prentice-Hall, Inc., 1989;
3. Fransua Al., Magureanu R. "*Masini si actionari electrice*", Ed. Tehnica, 1986;
4. Fransua Al., Magureanu R., Tocaci M. "*Masini si actionari electrice. Culegere de probleme*", E.D.P.B., 1980;
5. Hoft R.G. "*Semiconductor Power Supplies*", New York, Van Nostrand, 1986;
6. Kelemen A. "*Actionari electrice*", E.D.P.B., 1979;
7. Kyyrä J. "*Suuntaajatekniikka*", Helsinki, Otaniemi, 1995;
8. Leonhard W. "*Control of Electrical Drives*", Spriger Verlag, 1985;
9. Mard M. "*Sähkökäyttö*", Helsinki, Otaniemi, 1995
10. Navrapescu V. "*Referatul 2 de doctorat*", Sept. 1994;
11. Micu E. "*Electrotehnica de la A la Z*", Ed. Stiintifica si Enciclopedica, 1985;
12. Soran I.F. "*Actionari Electrice*", Lito IPB, 1988;
13. Tunsoiu Gh., Seracin E., Saal C. "*Actionari Electrice*", EDPB, 1982.

CAPITOLUL 3

SISTEME DE ACTIONARE ELECTRICA MASINA DE CURENT CONTINUU - CHOPPER

3.1. PRINCIPII DE FUNCȚIONARE; TEHNICI DE REGLARE

Multe actionari electrice industriale si procese tehnologice sunt alimentate cu energie de la surse de tensiune continua. In multe situatii, este necesara conversia nivelului tensiunii continue. De exemplu, vagoanele de metrou, troleibuzele, sau vehiculele electrice sunt alimentate cu energie de la surse fixe de curent continuu. Totusi, controlul turatiei acestora necesita conversia tensiunii fixe a sursei de curent continuu într-o sursa variabila de tensiune pentru indusul masinii de curent continuu. Alte aplicatii industriale necesita convertoare de putere de tensiune continua cu valori nominale care pot varia de la câțiva *watt*-i la mii de *kilowatt*-i. In mod clasic, tensiunea continua cu amplitudine variabila este obtinuta dintr-o sursa fixa de tensiune continua prin doua metode:

Controlul rezistentei: In aceasta metoda se foloseste o rezistenta variabila montata între sursa de tensiune continua fixa si sarcina. Metoda folosita la controlul turatiei motoarelor

de tracțiune, este ineficientă, deoarece pierderile prin efect Joule în rezistența sunt mari.

Grup generator-motor. Se obține o tensiune continuă cu amplitudine variabilă prin controlul curentului de excitație al generatorului. Încă folosită, schema întrebuintează trei mașini de aceeași putere, ceea ce duce la costuri mari, randament scăzut și timp de răspuns ridicat.

Începând cu anii '60 a apărut o nouă soluție reprezentată de convertoare de tensiune continuă, realizate cu semiconductoare. Sunt două tipuri de convertoare de curent continuu:

Ansamblu inverter-redresor. În schemele care folosesc ansambluri *inverter – redresor*, tensiunea continuă este întâi convertită în tensiune alternativă, apoi ridicată sau micșorată prin intermediul unui transformator, iar apoi redresată pentru a reobține tensiune continuă. Conversia, având două etape, este mai costisitoare și mai puțin eficientă.

Chopper (Variator de Tensiune Continuă): Convertoarele de tensiune continuă tip chopper reprezintă o tehnologie relativ nouă. Poate fi considerat echivalent cu un transformator de tensiune alternativă, deoarece în conversia curent continuu către curent continuu comportamentul chopper-ului este similar cu cel al unui autotransformator. Folosite în tracțiuni electrice, *chopper*-ele permit o frânare recuperativă a mașinii de curent continuu. Din acest motiv, folosirea chopper-elor este larg răspândită în întreaga lume.

Avantajele folosirii variatoarelor de tensiune continuă (*chopper-e*) sunt următoarele:

- ⇒ Eficiență ridicată;
- ⇒ Flexibilitate în comandă;
- ⇒ Greutate scăzută;
- ⇒ Dimensiuni reduse;
- ⇒ Răspuns rapid în timp;
- ⇒ Utilizare maximă în tracțiunile electrice.

Cu ajutorul chopper-elor se poate lucra cu succes până la frecvențe de **400 ... 800 Hz**, dacă se ia în considerare o

tensiune (*variația ei*) la ieșire mai scăzută. Dacă se utilizează tranzistoare de putere, frecvența poate crește până la **2,5 kHz**. Uneori se preferă, în cazul existenței unei surse de c.a., folosirea unei punți redresoare necomandată, urmată de un chopper.

Observatii:

- ☞ Dacă se reduce (*sau elimina*) zona regimului de curent întrerupt, răspunsul acționării este sensibil îmbunătățit (*ca și controlul – reglarea vitezei*);
- ☞ Pentru reducerea pierderilor ar fi util să se folosească un redresor cu un număr ridicat de pulsuri, pentru a putea obține ondulații ale curentului de frecvențe mai mari și astfel mai mici în amplitudine. Dar în același timp, factorul de utilizare al tiristoarelor ar scădea la $2\pi/p$, ceea ce implică o creștere substanțială a prețului de cost.

Principiul de funcționare al unui chopper este descris în figura 3.1, unde este redat schematic un variator de tensiune continuă de clasă A.

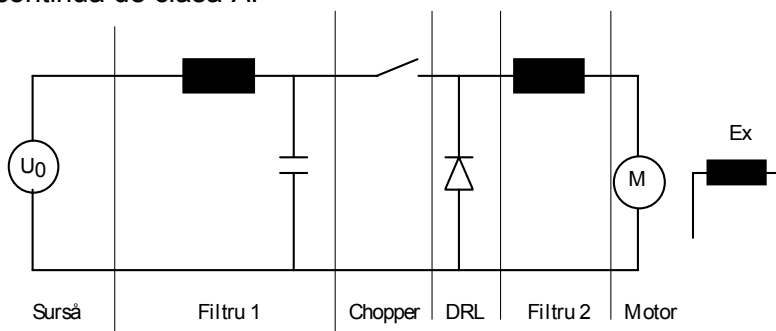


Fig. 3.1. Schema de principiu al unui chopper de clasă A.

Comanda la acest tip de chopper se poate face după două criterii:

1. Controlul duratei de timp active;

2. Controlul după valoarea limită a curentului.

Observatii: Comanda conform criteriului 1 se mai numește **comanda în lățime a pulsului**. Acest tip de comanda se poate realiza prin două procedee:

- 1a) frecvență constantă: T fix și t_a variabil;
- 1b) frecvență variabilă: t_a fix și T variabil sau t_a și T variabil.

Atunci când comanda se face cu frecvență variabilă, proiectarea **filtrului 1** este dificilă. Pentru valori mici de tensiune (la pornire), în cazul acestui tip de comanda, frecvențele sunt mici, ceea ce duce la performanțe proaste pentru motor. Acest tip de comanda (frecvență variabilă) este folosită foarte rar.

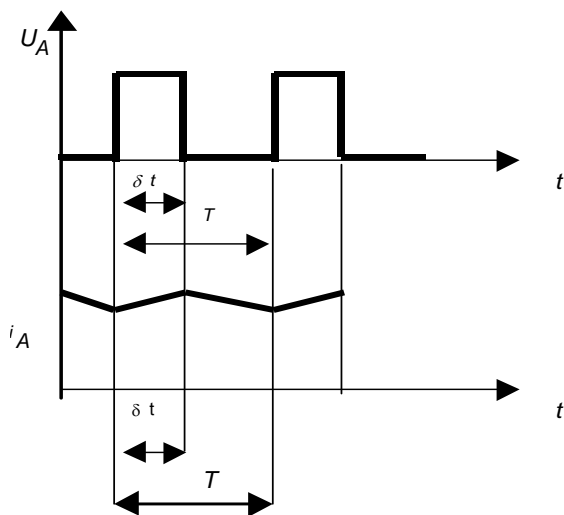


Fig. 3.2. Comanda unui variator de tensiune continuă (Chopper).

$$U_A = \frac{1}{T} \cdot \int_0^T u_A dt = \frac{1}{T} \cdot \int_0^T U dt = \delta U \quad (3.1.)$$

unde: $\delta T = t_A$ este durata de timp activa.

În figura 3.3 este prezentată schema electrică de principiu a unui chopper de clasă **B**. Caracteristic pentru acest tip de chopper este faptul că valoarea medie a tensiunii nominale a motorului de curent continuu este superioară valorii tensiunii de alimentare a chopper-ului.

Funcționarea chopper-ului este descrisă de diagramele de tensiuni și curenți din figura 3.4.

În intervalul $0 < t < t_A$ chopper-ul este **închis**. Curentul prin inductivitatea L crește și se înmagazinează energie în bobina.

În intervalul $t_A < t < T$, chopper-ul este **deschis**, curentul se închide prin dioda de regim liber **D** și indusul mașinii de curent continuu.

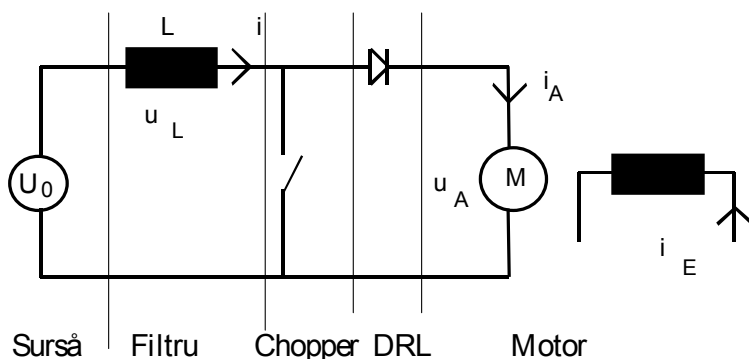


Fig. 3.3. Schema de principiu a unui chopper de clasă **B**.

Relațiile definitorii pentru funcționarea chopper-ului sunt următoarele:

$$u_A = U_0 - u_L = U_0 - L \frac{di}{dt} \quad (3.2)$$

dacă se alimentează și indusul mașinii de curent continuu, atunci variația curentului în raport cu timpul di/dt este negativă și astfel u_A este mai mare decât U_0 .

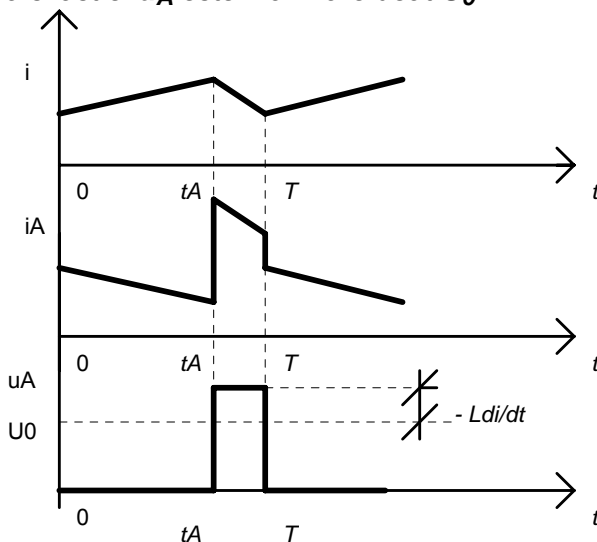


Fig. 3.4. Funcționarea chopper-ului.

$$U_0 = U_{Ab} + u_L$$

$$u_L = \frac{1}{T} \cdot \int_0^T L \cdot \frac{di}{dt} \cdot dt = \frac{1}{T} \cdot L \int_{i_1}^{i_1} di = 0$$

$$U_{AB} = \frac{1}{T} \cdot \int_{\delta T}^T U_A dt = U_A(1 - \delta) \Rightarrow \quad (3.3)$$

$$U_A = \frac{U_{AB}}{1 - \delta} = \frac{U_0}{1 - \delta}$$

Observatii:

- ☞ Chopper-ul este ridicător de tensiune;
- ☞ Tensiunea U_A poate crește teoretic până la infinit, dar practic se obține o valoare mai mare decât valoarea tensiunii de alimentare U_0 , fixă și finită, impusă de parametrii sarcinii și ai chopper-ului;

- ☞ Chopperele de clasa **B** sunt folosite în procesul de frânare recuperativă;
- ☞ Comanda unui astfel de chopper se mai numește și **comanda punct cu punct** a curentului între anumite limite ale acestuia. Pentru folosirea unei mașini de curent continuu drept sarcină, acest tip de comandă este similar celui de frecvență variabilă.

3.2. SISTEM DE ACȚIONARE ELECTRICA MOTOR DE CURENT CONTINUU - CHOPPER

În figura 3.5 este redată schema de principiu a unui sistem de acționare electrică mașina de curent continuu - chopper. Chopperul prezentat este de **clasa A** și asigură funcționarea numai în cadrantul **I** (*tensiunea și curentul au valori pozitive*). Filtrul **L-C** este introdus pentru netezirea formei de curent / tensiune a sursei de alimentare.

Ca ipoteză de lucru se consideră un filtru ideal, astfel încât tensiunea la bornele chopper-ului este chiar U_S .

În figura 3.6 sunt redată circuitele echivalente pentru funcționarea chopper-ului în cazul duratei active și a duratei de pauză.

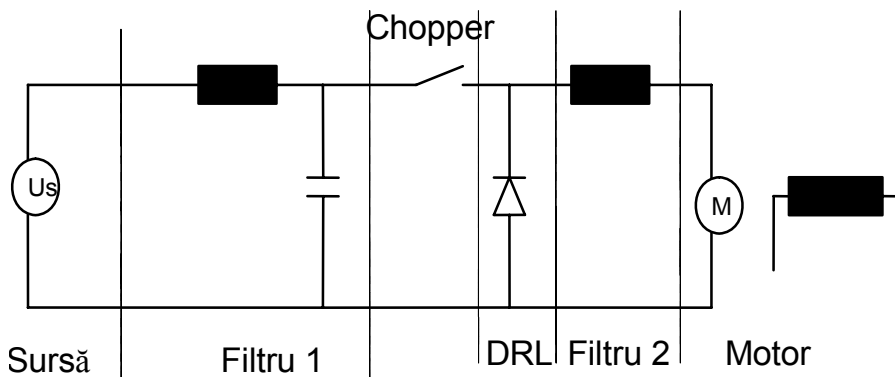


Fig. 3.5. Schema de principiu al unui chopper de clasa A.

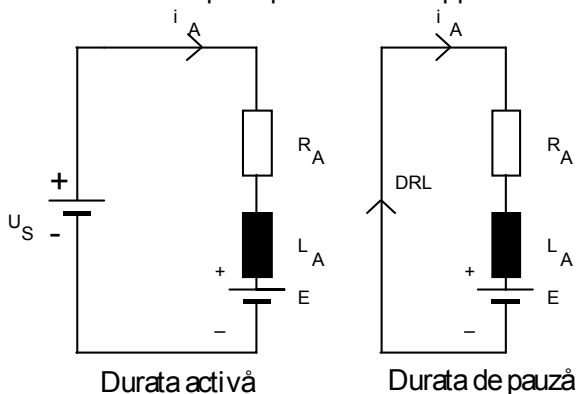


Fig. 3.6. Circuitele echivalente pentru functionarea chopper-ului.

Observatii:



Curentul prin sursa nu este continuu. El este în pulsuri, ceea ce implica existenta unei puteri active cerute de la sursa de valoare mare, un timp mic (*pulsuri de putere*), care poate duce la variatii ale tensiunii de alimentare. Armonica fundamentală a formei de curent are aceeași frecvență cu cea a curentului. Ele sunt nedorite

datorita unor posibile interferente cu alte sarcini de curent continuu, producând astfel interferente de radio frecventa. De aceea este bine de lucrat cu chopper-ul la frecvente cât mai mari, deoarece armonicile pot fi reduse astfel la un nivel acceptabil cu ajutorul unor filtre mai ieftine.

Pe durata activa energia absorbita este transformata partial în putere mecanica utila, o fractiune este convertita în caldura în R_A si în elementele chopper-ului, iar o alta parte se înmagazineaza în inductivitatea L_A . Aceasta este direct raspunzatoare de frecventa functionarii continue.

Daca inductivitatea L_A sau curentul I_A au valori mici, sau tensiunea medie a sarcinii E are valoare mare, va exista un regim de functionare discontinua. Acest regim poate fi eliminat prin functionarea chopper-ului la frecvente ridicate. Regimul de functionare discontinua poate apare si în regimurile tranzitorii. De aceea, ecuatiile statice de functionare vor fi prezentate pentru acest regim.

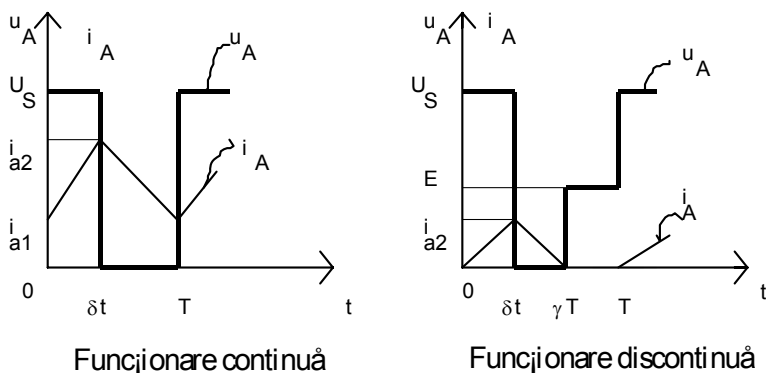


Fig. 3.7. Regimurile de functionare ale chopper-ului.

Ipoteze de lucru:

- Chopper-ul este ideal (*fara pierderi*);
- Dioda de regim liber (*DRL*) este ideala, caderea de tensiune pe acest element al schemei este nula;
- Regim de functionare continua;
- Tensiunea de alimentare a chopper-ului este egala cu cea a sursei.

→

3.3. ECUATIILE STATICE DE FUNCTIONARE PENTRU REGIM DE FUNCTIONARE STABIL**A. Comanda în funcție de timp:**

- 1). Durata activa $0 < t < \delta T$.

$$R_A i_A + L_A \cdot \frac{di_A}{dt} + E = U_s \quad (3.4.a)$$
$$i_A(0) = i_{A_1}$$

solutia este:

$$i_A = \frac{U_s - E}{R_A} + \left(i_{A_1} - \frac{U_s - E}{R_A} \right) \cdot e^{-\frac{t}{T_A}}$$
$$i_A(\delta T) = i_{A_2} = \frac{U_s - E}{R_A} + \left(i_{A_1} - \frac{U_s - E}{R_A} \right) \cdot e^{-\frac{\delta T}{T_A}} \quad (3.4.b)$$

- 2). Durata de pauza $\delta T < t < T$.

$$t' = t - \delta T$$

$$R_A i_A + L \frac{di_A}{dt'} + E = 0$$

$$i_A|_{(t'=0)} = i_A|_{(t=\delta T)} = i_{A_2}$$

(3.5.a)

solutia este:

$$i_A = -\frac{E}{R_A} + \left(i_{A_2} + \frac{E}{R_A} \right) \cdot e^{-\frac{t'}{T_A}}$$

$$i_A|_{(t=T \cdot (1-\delta))} = i_{A_1} = -\frac{E}{R_A} + \left(i_{A_2} + \frac{E}{R_A} \right) \cdot e^{-\frac{T \cdot (1-\delta)}{T_A}} \quad (3.5.b)$$

Prin rezolvarea sistemului de ecuatii format din relatiile 3.4 si 3.5 se obtine:

$$i_{A_1} = \frac{U_s}{R_A} \cdot \frac{e^{\frac{\delta T}{T_A}} - 1}{e^{\frac{T}{T_A}} - 1} - \frac{E}{R_A} \quad (3.6)$$

$$i_{A_2} = \frac{U_s}{R_A} \cdot \frac{1 - e^{-\frac{\delta T}{T_A}}}{1 - e^{-\frac{T}{T_A}}} - \frac{E}{R_A}$$

Definim **ondulatia de curent** prin relatia:

$$\Delta i_A = \frac{i_{A_1} - i_{A_2}}{2} = \frac{U}{2R_A} \cdot \frac{1 + e^{\frac{T}{T_A}} - e^{\frac{\delta T}{T_A}} - e^{\frac{T-\delta T}{T_A}}}{e^{\frac{T}{T_A}} - 1} \quad (3.7.a)$$

si are valoarea maxima pentru $\delta = 0,5$:

$$\Delta i_{Amax} = \frac{U_S}{R_A} \frac{e^{\frac{T}{2T_A}} - 1}{1 + e^{\frac{T}{2T_A}}} \quad (3.7.b)$$

Dezvoltarea în serie Fourier a curentului I_A conduce la amplitudinea fundamentalei curentului:

$$A_1 = \frac{2(2I_0 + \Delta i_{Amax})}{\pi} \frac{\ln \left(1 + \frac{\Delta i_{Amax}}{I_0} \right)}{\sqrt{\pi^2 + \ln^2 \left(1 + \frac{\Delta i_{Amax}}{I_0} \right)}} \quad (3.8)$$

$$I_0 = \frac{U_s}{R_A} \cdot \left(\frac{1 - e^{\frac{\delta T}{T_A}}}{1 - e^{\frac{T}{T_A}}} - \delta \right) + \frac{\delta U_S - k_e \Phi_e \cdot \Omega}{R_A} \quad (3.9)$$

Situatia cea mai defavorabila corespunde la limita curentului întrerupt, adica pentru $I_0 = I_{min} = 0$. Limitând valoarea eficace a fundamentalei la o valoare impusa $k_w I_{An}$ rezulta prin dezvoltare în serie de puteri a exponentialei care apare în expresia analizata si neglijând termenii de grad superior ($T \ll 2T_A$):

$$\begin{aligned}
 k_w I_{An} &= \frac{\sqrt{2}}{\pi} \frac{\frac{T}{e^{2T_A} - 1} U_s}{\frac{T}{e^{2T_A} + 1} R_A} = \frac{\sqrt{2}}{\pi} \frac{U_s}{R_A} \frac{T}{4T_A + T} \cong \\
 &= \frac{\sqrt{2}}{\pi} \frac{U_s}{R_A} \frac{T}{4T_A} = \frac{\sqrt{2}}{\pi} \frac{U_s}{L_A} T \\
 L_w &= \frac{\sqrt{2}}{4\pi} \frac{U_s}{k_w I_{An}} T
 \end{aligned} \tag{3.10}$$

unde L_w este valoarea necesară a inductanței de netezire (*filtrare*) folosită. Se remarcă dependența acestei valori de perioada de lucru.

Observatii:

- ☞ În regim stabilizat de funcționare, valoarea medie a caderii de tensiune pe bobina este zero. Astfel:

$$\begin{aligned}
 U_A &= E + R_A I_A \\
 \delta U_s &= E + R_A I_A \\
 I_A &= \frac{\delta U_s - E}{R_A}
 \end{aligned} \tag{3.11}$$

- ☞ Dacă fluxul de excitație este constant, atunci în regim stabilizat de funcționare, cuplul de sarcină M_s este egal cu cuplul electromagnetic M și este proporțional cu valoarea curentului din indusul mașinii de curent continuu, I_A . Astfel rezultă:

$$\Omega = \frac{\delta U_s}{k_e \Phi_e} - \frac{R_A}{(k_e \Phi_e)^2} \cdot M \tag{3.12.a}$$

- ☞ Pentru o variație liniară (*panta curentului indus, constantă*) a curentului I_A atât pe durata când

chopperul este activ, cât și pe durata de pauză, avem:

$$\begin{aligned}
 I_A &= \frac{1}{T} \cdot \left[\int_0^{\delta T} \left(i_{A1} + \frac{i_{A2} - i_{A1}}{\delta T} \cdot t \right) dt + \int_0^{T-\delta T} \left(i_{A2} + \frac{i_{A1} - i_{A2}}{T - \delta T} \cdot t \right) dt \right] = \\
 &= \frac{i_{A1} + i_{A2}}{2} = \text{constant}
 \end{aligned}
 \tag{3.12.b}$$

O astfel de valoare a curentului mediu prin indusul mașinii de curent continuu poate duce la apariția fenomenului de instabilitate statică de funcționare, deoarece pentru aproximația considerată anterior nu a contat caracterul sarcinii mașinii.

B. Comanda în funcție de curent:

Analizând ecuațiile 3.4 și 3.5 se obține:

$$\begin{aligned}
 -\delta T &= T_A \cdot \ln \frac{U_s - E - R_A i_{A1}}{U_s - E - R_A i_{A2}} \\
 (1 - \delta T) &= -T_A \cdot \ln \frac{E + R_A i_{A1}}{E + R_A i_{A2}}
 \end{aligned}
 \tag{3.13-3.14}$$

Din ecuațiile 3.13-3.14 rezultă perioada T și din ecuația 3.13 se obține coeficientul δ . Astfel, rezultă valoarea medie a curentului prin indusul mașinii, respectiv valoarea cuplului electromagnetic dezvoltat de către aceasta:

$$\begin{aligned}
 I_A &= \frac{\delta U_s - E}{R_A} \\
 M &= (k_e \Phi_e) \cdot I_A
 \end{aligned}
 \tag{3.15}$$

Observație:

☞ Dacă intervalele δT și $(1-\delta T)$ sunt mult mai mici decât T_A , iar variația de la i_{A1} la i_{A2} și invers se considera practic constantă, atunci se obține o instabilitate pentru marea majoritate a sarcinilor:

$$I_A = \frac{1}{T} \cdot \left[\int_0^{\delta T} \left(i_{A1} + \frac{i_{A2} - i_{A1}}{T} \cdot t \right) dt + \int_0^{T-\delta T} \left(i_{A2} + \frac{i_{A1} - i_{A2}}{T-\delta T} \cdot t' \right) dt' \right] =$$

$$= \frac{i_{A1} + i_{A2}}{2} = \text{const}$$
(3.16)

3.4. PRINCIPIUL DE FUNCTIONARE AL UNUI CHOPPER

Circuitele de comutație ale unui chopper pot fi grupate astfel:

1. Comutație în sarcină. Curentul de sarcină care trece prin dispozitivul semiconductor de comandat (*tiristor*) fie devine zero sau este transferat unui alt tiristor în conducție;

2. Comutație forțată. Curentul prin tiristorul în conducție este forțat să devină zero prin două modalități:

- a) Comutația în tensiune, care presupune utilizarea unui condensator pentru aplicarea unei tensiuni inverse tiristorului, astfel încât acesta se stinge;
- b) Comutația în curent, care presupune trecerea unui puls de curent invers prin tiristorul care se afla în conducție, iar atunci când curentul rezultat devine zero, tiristorul se stinge.
- c)

A). Comutația în tensiune

Un exemplu de circuit cu comutație în tensiune a chopper-ului este prezentat în figura 3.8.

În figura 3.8 au fost folosite notațiile: T_1 și T_2 sunt tiristorul principal, respectiv auxiliar. De notat că la puteri mici se pot folosi în loc de tiristoare, tranzistoare.

Există două circuite oscilante: inductivitățile L_0 , L_2 , condensatorul C , respectiv inductivitatea L_1 și condensatorul C . Diodele D_1 , D_2 sunt folosite pentru stingerea tiristorului principal, iar dioda D preia curentul rotoric al mașinii de curent continuu atunci când tiristorul principal se blochează.

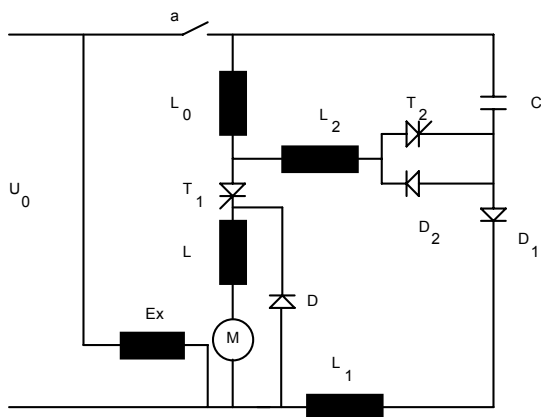


Fig. 3.8. Chopper cu comutație în tensiune.

Etapele funcționării sunt următoarele:

1. La alimentare este conectat circuitul oscilant format din inductivitatea L_1 și condensatorul C . Se obțin relațiile:

$$\begin{aligned}U_0 &= u_C + L_1 \cdot \frac{di_C}{dt} \\ i_C &= C \cdot \frac{du_C}{dt} \\ U_0 &= u_C + CL_1 \cdot \frac{d^2 u_C}{dt^2}\end{aligned}\tag{3.17}$$

Solutia este:

$$u_C = C_1 \cdot \cos \omega t + C_2 + C_3 \cdot \sin \omega t$$

Din conditiile initiale:

$$\begin{aligned}u_C(0) &= 0 \\ i_C(0) &= 0\end{aligned} \Rightarrow \begin{aligned}C_1 + C_2 &= 0 \\ C_3 &= 0\end{aligned}\tag{3.18.a}$$

Prin înlocuirea în relația 3.17.c, se obține:

$$U_0 = C_1 \cdot \cos \omega t - C_1 + CL_1 \cdot \omega^2 \cdot C_1 \cdot (-\cos \omega t)\tag{3.18.b}$$

$$C_1 = -U_0 \qquad C_2 = U_0\tag{3.18.c}$$

și rezulta:

$$\begin{aligned}u_C &= U_0 - U_0 \cdot \cos \omega t \\ i_C &= \omega C \cdot U_0 \cdot \sin \omega t \\ \omega &= \frac{1}{\sqrt{L_1 C}}\end{aligned}\tag{3.19}$$

În figura 3.9 este redată variația în timp a diverselor mărimi care definesc funcționarea chopper-ului comandat în tensiune.

Figura 3.10 arată cum variază mărimile: tensiunea și curentul condensatorului **C**.

Observatii:

☞ Dioda D_1 se opune schimbării sensului curentului prin circuitul oscilant L_1C unde $t_c = \pi \cdot \sqrt{L_1 C}$.

Aceasta reprezintă etapa premergătoare comandării tiristorului principal. S-au asigurat astfel, condițiile necesare stingerii acestuia.

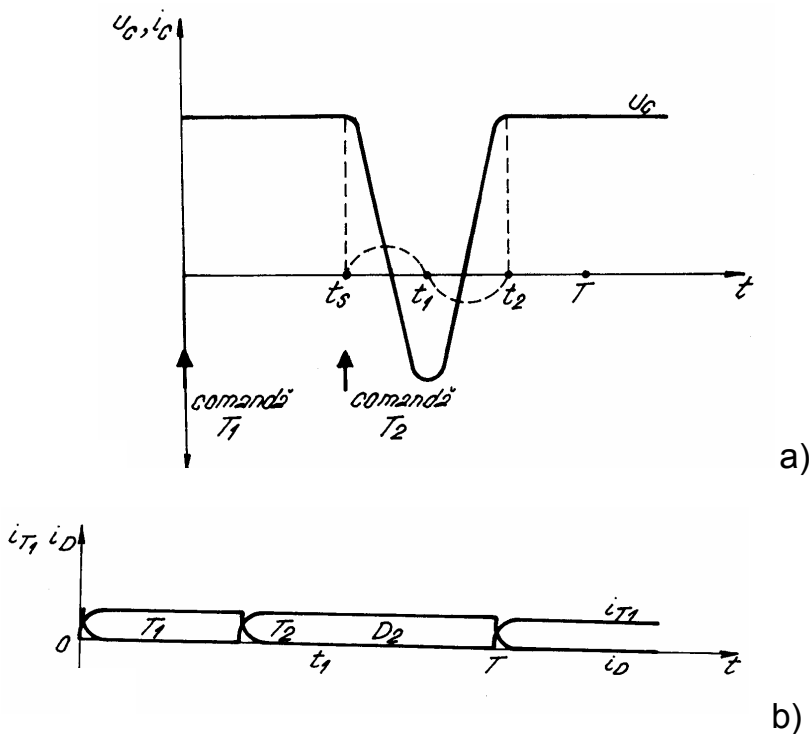


Fig. 3.9. Forme de unda ale chopper-ului comandat în tensiune
a) tensiunea pe condensator; b) curentul prin tiristor.

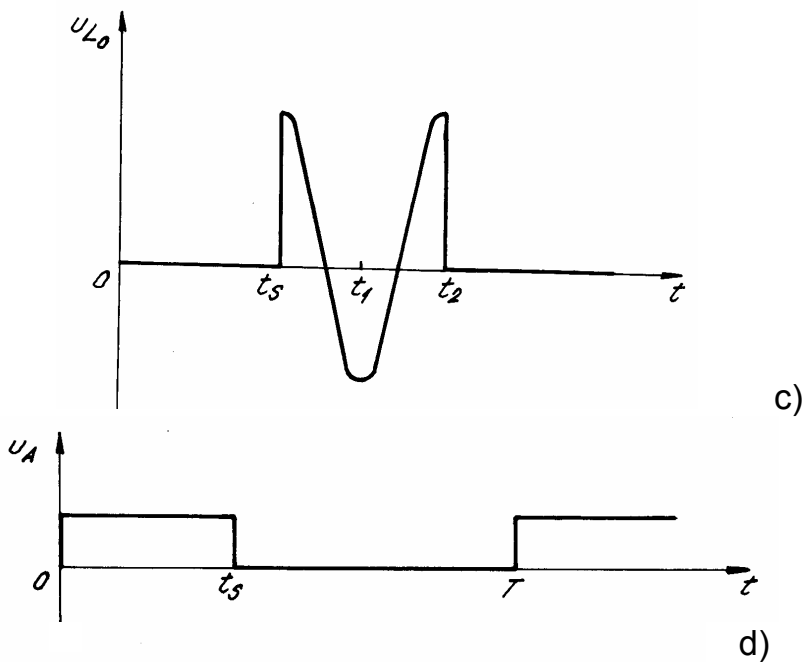


Fig. 3.9. Forme de unda ale chopper-ului comandat în tensiune
c) tensiunea pe bobina; d) tensiunea la bornele masinii.

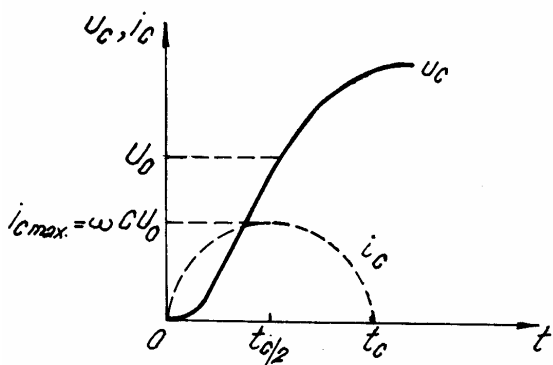


Fig. 3.10. Formele de unda ale tensiunii si curentului prin condensator.

2. Se comanda tiristorul T_1 la momentul 0 : se stabilește astfel curentul i_A prin indusul mașinii de c.c. Pentru o valoare mare a inductivității L se obține i_A constant și tensiunea medie pe indus U_A egală cu tensiunea de alimentare U_0 . Tiristorul T_2 este blocat (*necomandat*), dioda D_2 este blocată (*potentialul anodului este negativ*).

3. Se comanda tiristorul T_2 la momentul t_s : se închide circuitul oscilant L_0, L_2, C și condensatorul C se poate descarca. (*Sensul curentului I_C este T_2, C, L_0, L_2*).

$$\begin{aligned} u_C &= (L_0 + L_2) \cdot \frac{di_C}{dt} \\ i_C &= -C \cdot \frac{du_C}{dt} \end{aligned} \quad (3.20)$$

$$u_C + (L_0 + L_2) \cdot C \cdot \frac{d^2 u_C}{dt^2} = 0$$

soluția este:

$$u_C = A_1 + A_2 \cdot \sin \omega' t + A_3 \cdot \cos \omega' t \quad (3.21)$$

cu condițiile inițiale:

$$\begin{aligned} u_C(t_s) &= 2U_0 \\ i_C(t_s) &= 0 \end{aligned} \quad (3.22)$$

$$\begin{aligned} u_C(t_s) &= 2 \cdot U_0 \quad \Rightarrow \\ A_1 + A_2 \cdot \sin \omega' t_s + A_3 \cdot \cos \omega' t_s &= 2 \cdot U_0 \end{aligned} \quad (3.23)$$

$$-C \cdot \omega' \cdot A_2 \cdot \cos \omega' t_s + A_3 \cdot C \cdot \omega' \cdot \sin \omega' t_s = 0 \quad (3.24)$$

$$\begin{aligned} A_1 + A_2 \cdot \sin \omega' t_s + A_3 \cdot \cos \omega' t_s + \frac{1}{\omega'^2} [A_2 \cdot \omega'^2 \cdot (-\sin \omega' t_s) - \\ - A_3 \cdot \omega'^2 \cdot \cos \omega' t_s] = 0 \end{aligned} \quad (3.25)$$

Rezulta: $A_1 = 0$

iar din sistemul urmator se vor obtine constantele A_2 si respectiv A_3 :

$$\begin{aligned} A_2 \cdot \sin \omega' t_s + A_3 \cdot \cos \omega' t_s &= 2 \cdot U_0 \\ -C \cdot \omega'^2 \cdot A_2 \cdot \cos \omega' t_s + A_3 \cdot C \cdot \omega'^2 \cdot \sin \omega' t_s &= 0 \end{aligned} \quad (3.26)$$

$$\begin{aligned} A_2 &= 2 \cdot U_0 \cdot \sin \omega' t_s \\ A_3 &= 2 \cdot U_0 \cdot \cos \omega' t_s \end{aligned} \quad (3.27)$$

Se obtin solutiile finale pentru valoarea tensiunii si a curentului:

$$\begin{aligned} u_C &= 2U_0 \cdot \cos \omega' (t - t_s) \\ i_C &= 2C\omega' U_0 \cdot \cos \omega' (t - t_s) \end{aligned} \quad (3.28)$$

$$\omega' = \frac{1}{\sqrt{(L_0 + L_2)C}} \quad (3.29)$$

Tensiunea la bornele inductivitatii L_0 :

$$u_{L_0} = 2U_0 \cdot \frac{L_0}{L_0 + L_2} \cdot \cos \omega' (t - t_s) \quad (3.30)$$

Observatii:

- ☞ Pentru valori ale inductivitatii L_0 mult mai mari decât valoarea inductivitatii L_2 la momentul $t=t_s$, rezulta ca u_{L_0} este aproximativ egala cu $2U_0$;
- ☞ Când energia din condensator s-a transferat în L_0 , L_2 tiristorul T_2 este blocat si conductia este

preluata mai departe de D_2 , reîncarcându-se condensatorul la valoarea $2U_0$;

- ☞ Când tiristorul T_2 a fost comandat, practic au fost puse în opoziție două surse de tensiune de valori diferite: sursa de tensiune U_0 și condensatorul cu tensiunea $2U_0$. Aceasta din urmă va da naștere la un curent care va anula curentul principal prin tiristorul T_1 , iar curentul din indusul motorului de curent continuu se va închide prin dioda D .

B). Comutatie în curent

Figura 3.11 prezintă schema de principiu a unui chopper comandat prin comutație în curent.

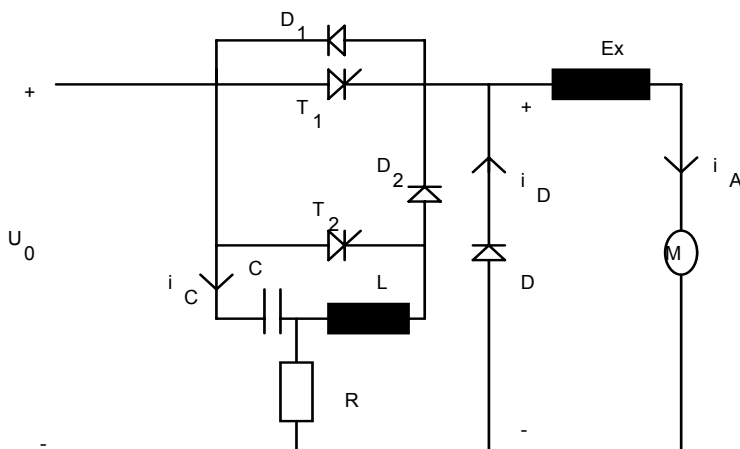


Fig. 3.11. Chopper cu comutație în curent.

Tiristorul principal T_1 este comandat cu ajutorul unui circuit de comanda. Formele de undă ale marimilor de baza sunt redată în figura 3.12.

Condensatorul C este încărcat prin sursa U_0 , condensatorul C , si rezistorul R . Tiristorul principal este comandat la momentul $t=t_0$. Terminalele sarcinii sunt conectate la sursa de alimentare, iar curentul de sarcina trece prin tiristorul principal T_1 .

La $t=t_1$, comutatiea lui T_1 este initiata prin comandarea tiristorului auxiliar T_2 . Un curent oscilant se va închide prin circuitul C, T_2, L .

Când i_C își schimba sensul la momentul t_2 , tiristorul T_2 se stinge prin comutatie naturala, iar curentul oscilant i_C se închide prin dioda D_2 si T_1 . Prin tiristorul T_1 curentul circula în directie opusa si de aceea se produce descresterea curentului prin tiristorul principal T_1 .

La momentul t_3 , i_C este egal cu i_{T1} , astfel încât tiristorul T_1 se stinge deoarece curentul care îl parcurge devine zero. Când curentul prin tiristorul principal T_1 scade catre zero, dioda D_1 începe sa conduca curentul i_C-i_A si tiristorul T_1 se va mentine blocat.

La momentul t_4 , i_C este egal cu i_A si i_{D1} este zero. In acest moment, daca dioda de regim liber D n-ar avea sensul din figura 3.11, atunci curentul s-ar închide prin sursa U_0, C, L, D_2 si sarcina.

La momentul t_5 , dioda de regim liber D conduce datorita curentului prin sarcina i_A . Condensatorul C se va încarca prin circuitul oscilant format din condensatorul C si inductivitatea L : U_0, C, L, D_2, D ; curentul i_C scade catre zero la momentul t_6 ceea ce duce la cresterea tensiunii pe condensator u_C mai mare decât U_0 . Pe intervalul t_5, t_6 , curentul i_A este egal cu i_C+i_D si de aceea, odata cu descresterea lui i_C , i_D va creste.

De la momentul t_6 încolo, curentul prin indusul motorului i_A se închide prin dioda D și începe să scadă. Tensiunea pe condensatorul u_C scade prin rezistorul R .

La momentul $t=T$, tiristorul principal T_1 este comandat din nou, și ciclul se repetă.

Acest tip de chopper a fost dezvoltat de *Hitachi Electric Co.*, Japonia și a fost utilizat în acționarea din sistemele de tracțiune electrică.

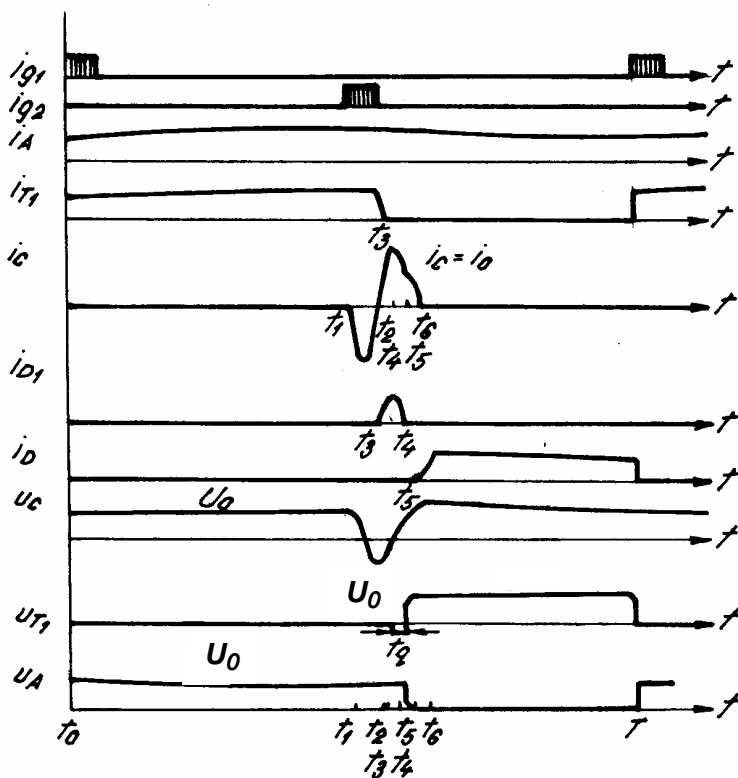


Fig. 3.12. Forme de unda la chopper cu comutație în curent.

Avantaje:

- ↑ Comutatia este fiabila atâta timp cât curentul de sarcina este mai mic decât curentul i_C ;
- ↑ Condensatorul rămâne întotdeauna încărcat la aceiași polaritate;
- ↑ Tiristorul auxiliar T_2 este comutat natural atunci când curentul sau trece prin valoarea zero.

Alegerea componentelor de comutație L și C

a) Valoarea maxima a curentului de comutație este mai mare decât maximul anticipat pentru valoarea curentului de sarcina. De aceea:

$$i_C = U_0 \cdot \left(\frac{C}{L} \right)^{1/2} = x \cdot I_{Amax} \quad (3.31)$$

unde: $x > 1$.

b) Timpul de stingere t_q al circuitului este mai mare decât timpul de stingere t_{OFF} al tiristorului:

$$\begin{aligned} t_q &= t_{OFF} + \Delta t \\ t_q &= t_4 - t_3 \end{aligned} \quad (3.32)$$

daca $x = 2$, atunci:

$$\omega' t_q = \frac{2\pi}{3} \quad (3.33)$$

$$t_q = \frac{2\pi}{3} \cdot (LC)^{1/2} = t_{OFF} + \Delta t$$

$$2I_{Amax} = U_0 \left(\frac{C}{L} \right)^{1/2} \quad (3.34)$$

rezulta:

$$\begin{aligned} L &= \frac{3 \cdot U_0 \cdot (t_{OFF} + \Delta t)}{4\pi \cdot I_{Amax}} \\ C &= \frac{3 \cdot I_{Amax} \cdot (t_{OFF} + \Delta t)}{\pi U_0} \end{aligned} \quad (3.35)$$

Comutatie în sarcina a unui chopper.

În figura 3.13 este prezentat un chopper cu comutație în sarcină. Chopper-ul are patru tiristoare care funcționează atât ca tiristor principal cât și ca tiristor auxiliar (*de comutație*). Tiristoarele pereche T_1 , T_2 și T_3 , T_4 conduc alternativ curentul sarcinii (i_A).

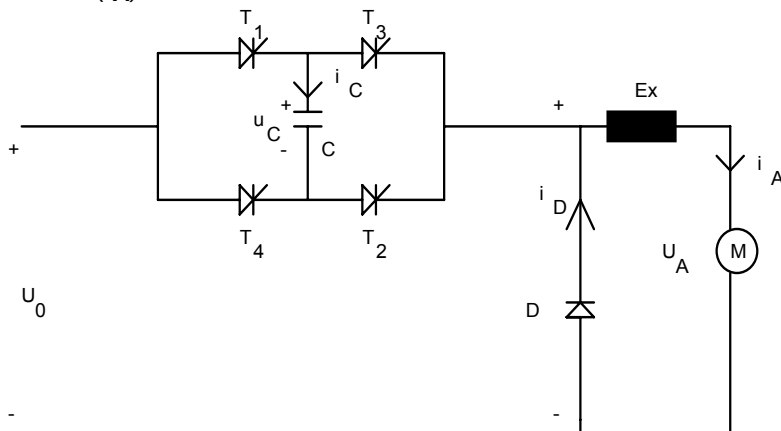


Fig. 3.13. Chopper cu comutație în sarcină.

Secvența de operare este redată în figura 3.14.

La momentul $t=t_0$, tiristoarele T_1 și T_2 sunt în stare de conducție. Anterior acestui moment, tensiunea pe condensator era negativă ($u_C = -U_0$) datorită conductiei perechii de tiristoare T_3 , T_4 . Tensiunea aplicată mașinii $U_A = U_0 - u_C$ va ajunge la valoarea $2U_0$. Curentul de sarcină (al chopper-ului) se va închide prin circuitul U_0 , T_1 , C , T_2 și indusul mașinii de curent continuu.

La momentul t_1 , tensiunea condensatorului devine $+U_0$. Dioda de regim liber D , începe să conducă, iar curentul de sarcină este transferat de la tiristoarele T_1 , T_2 la dioda D .

La momentul T , cealalta pereche de tiristoare T_3, T_4 se va afla în conducție. Celorlalte tiristoare li se aplica prin intermediul condensatorului C , o tensiune inversa si apoi se sting. Ciclul de functionare se repeta.

Tensiunea care se aplica masinii de curent continuu are amplitudinea variabila prin schimbarea frecventei de comutatie a chopper-ului. Pentru o sarcina constanta I_A , timpul de functionare activa a chopper-ului este dat de relatia:

$$t_{ON} = \delta T \quad (3.36)$$

$$t_{ON} = \frac{2U_0 C}{I_A} \quad (3.37)$$

Tensiunea aplicata masinii este:

$$U_A = U_0 \cdot \frac{t_{ON}}{T} = U_0 \cdot t_{ON} \cdot f = \frac{2 \cdot U_0^2 \cdot C \cdot f}{I_A} \quad (3.38)$$

La frecventa maxima $f = f_{max}$, se obtin relatiile:

$$U_A(f_{max}) = U_0 \quad (3.39)$$

$$U_0 = \frac{2 \cdot U_0^2 \cdot C}{I_A} \cdot f_{max} \quad (3.40.a)$$

$$f_{max} = \frac{I_A}{2 \cdot U_0 \cdot C} \quad (3.40.b)$$

$$C = \frac{I_{Amax}}{2 \cdot U_0 \cdot f_{max}}$$

Dezavantaje:

- ↓ Tensiunea maxima aplicata sarcinii este de doua ori valoarea tensiunii de alimentare, fiind necesare filtre de reducere a acestei valori;
- ↓ La aplicatiile de mare putere, randamentul actionarii poate scadea datorita pierderilor de comutatie la mare frecventa si pierderilor din cele doua tiristoare aflate în conductie;
- ↓ Dioda de regim liber trebuie sa fie de tip rapid, datorita aparitiei unei tensiuni mari într-un interval de timp foarte scurt;
- ↓ Este necesara prezenta unui circuit logic care sa asigure blocarea unei perechi de tiristoare cât timp celelalte tiristoare nu au iesit din starea de conductie.

Avantaje:

- ↑ Se poate comuta orice valoare de curent;
- ↑ Nu este necesara o inductivitate de comutatie, care de obicei este costisitoare si produce zgomot magnetic;
- ↑ Se poate opera la frecvente mari de ordinul ***kHz***, astfel încât necesarul de elemente de filtrare a curentului motorului este minim.

3.5. MASINI DE CURENT CONTINUU ALIMENTATE DE LA CHOPPERE

Cea mai importanta utilizare a chopper-elor este controlul turatiei masinilor utilizate în sistemele de actionari industriale sau în sistemele de tractiune electrica.

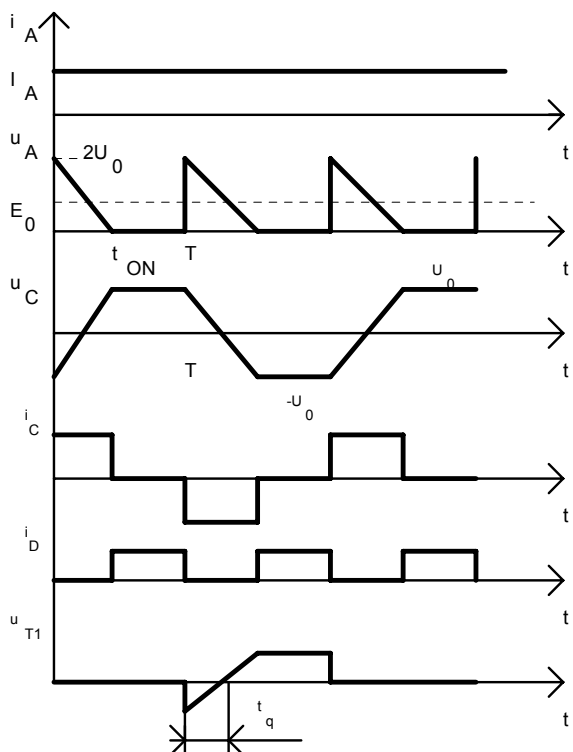


Fig. 3.14. Forme de unda pentru chopper-ul cu comutație în sarcină.

3.5.1. Analiza funcționării mașinilor de curent continuu alimentate de la choppere

În figura 3.15 se prezintă circuitul de bază și formele de undă relevante pentru funcționarea unei **mașini de curent continuu cu excitație serie** alimentată de la un chopper (*Variator de Tensiune Continua*).

Se presupune că prin indusul mașinii circulă un curent constant I_A și că turatia este de asemenea constantă. Ecuațiile de funcționare sunt ($t_{ON} = \delta T$):

$$\begin{aligned} U_0 &= R_A i_A + L_A \cdot \frac{di_A}{dt} + M_{EA} I_A \Omega + K_f \Omega & \text{pentru } 0 < t < t_{ON} \\ 0 &= R_A i_A + L_A \cdot \frac{di_A}{dt} + M_{EA} I_A \Omega + K_f \Omega & \text{pentru } t_{ON} < t < T \end{aligned} \quad (3.41)$$

unde termenul al treilea al membrului drept al ecuațiilor reprezintă tensiunea electromotoare indusă, iar cel de-al patrulea reprezintă caderea de tensiune datorată magnetismului rezidual.

În regim stabilizat, curentul va avea valoare minimă în momentul când chopper-ul este închis, ceea ce înseamnă că $i_A(0) = I_{Amin}$, iar $i_A(t_{ON}) = I_{Amax}$. Soluția pentru I_A este:

$$\begin{aligned} i_A &= \frac{U_0 - K_f \Omega}{R_A + M_{EA} \cdot \Omega} \cdot \left(1 - e^{-\frac{t}{T'_A}} \right) + I_{Amin} \cdot e^{-\frac{t}{T'_A}}, & \text{pentru } 0 < t < t_{ON} \\ i_A &= \frac{-K_f \Omega}{R_A + M_{EA} \cdot \Omega} \cdot \left(1 - e^{-\frac{t'}{T'_A}} \right) + I_{Amax} \cdot e^{-\frac{t'}{T'_A}}, & \text{pentru } t_{ON} < t < T \end{aligned} \quad (3.42)$$

unde:

$$\begin{aligned} t' &= t - t_{ON} \\ T'_A &= \frac{L_A}{R_A + M_{EA} \cdot \Omega} \end{aligned} \quad (3.43)$$

Se obține:

$$I_{Amax} = i_A(t_{ON}) = \frac{U_0 - K_f \Omega}{R_A + M_{EA} \cdot \Omega} \cdot \left(1 - e^{-\frac{t_{ON}}{T'_A}} \right) + I_{Amin} \cdot e^{-\frac{t_{ON}}{T'_A}} \quad (3.44)$$

$$I_{Amin} = i_A(t' = T - t_{ON}) = \frac{-K_f \Omega}{R_A + M_{EA} \cdot \Omega} \cdot \left(1 - e^{-\frac{T - t_{ON}}{T'_A}}\right) + I_{Amax} \cdot e^{-\frac{T - t_{ON}}{T'_A}} \quad (3.45)$$

si rezulta:

$$I_{Amin} = \frac{U_0}{R_A + M_{EA} \cdot \Omega} \cdot \frac{e^{-\frac{t_{ON}}{T'_A}} - 1}{e^{-\frac{T}{T'_A}} - 1} - \frac{K_f \Omega}{R_A + M_{EA} \cdot \Omega} \quad (3.46.a)$$

$$I_{Amax} = \frac{U_0}{R_A + M_{EA} \cdot \Omega} \cdot \frac{e^{\frac{t_{ON}}{T'_A}} - 1}{e^{\frac{T}{T'_A}} - 1} - \frac{K_f \Omega}{R_A + M_{EA} \cdot \Omega} \quad (3.46.b)$$

In cazul unui curent discontinuu prin indus $I_{min} = 0$, rezulta:

$$I_{Amax} = \frac{U_0 - K_f \Omega}{R_A + M_{EA} \cdot \Omega} \cdot \left(1 - e^{-\frac{t_{ON}}{T'_A}}\right) \quad (3.47)$$

Pentru a gasi momentul $t = t_m$ când curentul devine zero, se înlocuieste valoarea lui I_{Amax} în expresia curentului prin indus i_A care este egalata cu zero:

$$t_m = T'_A \cdot \ln \left\{ e^{\frac{t_{ON}}{T'_A}} \cdot \left[1 + \frac{U_0 - K_f \Omega}{K_f \Omega} \cdot \left(1 - e^{-\frac{t_{ON}}{T'_A}} \right) \right] \right\} \quad (3.48)$$

Pentru studierea caracteristicilor de funcționare ale motorului, este necesar să fie determinată expresia curentului prin motor în valoare medie, valoare eficace, cât și relația definitorie pentru tensiunea medie a motorului.

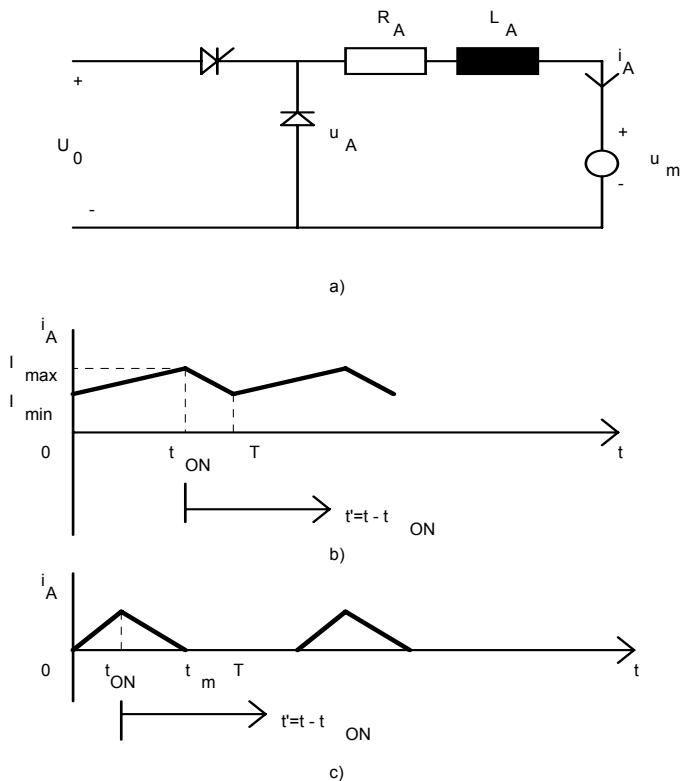


Fig. 3.15. Mașina de curent continuu alimentată de la chopper
 a) Circuit de bază; b) Curent motor continuu;
 c) Curent motor discontinuu.

Curentul mediu prin indusul motorului: I_A

$$I_A = \frac{1}{T_A} \cdot \left[\int_0^{t_{ON}} i_A(t) dt + \int_{t_{ON}}^{t_m} i_A(t) dt \right] \quad (3.49)$$

fie:

$$I_1 = \frac{U_0 - K_f \Omega}{R_A + M_{EA} \cdot \Omega} \quad \text{si} \quad I_2 = \frac{-K_f \Omega}{R_A + M_{EA} \cdot \Omega} \quad (3.50)$$

Astfel se obtine expresia pentru curentul mediu prin indusul motorului:

$$I_A = \frac{1}{T} \cdot [I_1 \cdot t_{ON} + T'_A \cdot (I_{Amin} - I_1) \cdot (1 - e^{-\frac{t_{ON}}{T'_A}}) - I_2 \cdot (t_m - t_{ON}) + T'_A \cdot (t_m - t_{ON}) \cdot (1 - e^{-\frac{t_m - t_{ON}}{T'_A}})] \quad (3.51)$$

Curentul eficace prin motor: I_{Aef}

$$I_{Aef} = \left\{ \frac{1}{T} \cdot \left[\int_0^{t_{ON}} i_A^2(t) dt + \int_{t_{ON}}^{t_m} i_A^2(t) dt \right] \right\}^{1/2} \quad (3.52)$$

$$I_{Aef} = \left\{ \frac{1}{T} \cdot [I_1^2 \cdot t_{ON} + 2 \cdot T'_A \cdot I_1 \cdot (I_{Amin} - I_1) \cdot (1 - e^{-t_{ON}/T'_A}) + \frac{T'_A}{2} \cdot I_2 \cdot (I_{Amax} - I_2) \cdot (1 - e^{-\frac{2t_{ON}}{T'_A}}) + I_2^2 \cdot (t_m - t_{ON}) - 2 \cdot T'_A \cdot I_2 \cdot (I_{Amax} + I_2) \cdot (1 - e^{-(t_m - t_{ON})/T'_A}) + \frac{T'_A}{2} \cdot (I_{Amax} + I_2)^2 \cdot (1 - e^{-2(t_m - t_{ON})/T'_A})] \right\}^{1/2} \quad (3.53)$$

Cuplul electromagnetic:

Cuplul electromagnetic mediu dezvoltat de catre masina de curent continuu este dat de relatia:

$$M = M_{EA} \cdot I_{Aef}^2 \quad (3.54)$$

Tensiunea medie aplicata masinii:

Pentru situatia când exista regim de functionare continua, se obtine:

$$\begin{aligned} U_A &= \alpha \cdot U_0 \\ \alpha &= \frac{t_{ON}}{T_A'} \\ t_m &= T \end{aligned} \quad (3.55)$$

iar în cazul regimului de functionare discontinua (*regim de curent întrerupt*):

$$\begin{aligned} U_A &= U_0 \cdot \alpha + K_f \Omega \cdot \frac{T - t_m}{t_m} \\ t_m &< T \end{aligned} \quad (3.56)$$

Masina de curent continuu cu excitatie independenta:

Analiza facuta anterior este valabila si pentru masinile de curent continuu cu excitatie independenta dar cu urmatoarele precizari:

1. Termenul $M_{EA}\Omega$ nu este prezent;
2. Termenul $k_f\Omega$ se înlocuieste cu termenul care exprima valoarea tensiunii electromotoare $k_e\Phi_e\Omega$;

De aceea:

$$\begin{aligned} I_1 &= \frac{U_A - k_e\Phi_e\Omega}{R_A} \\ I_2 &= -\frac{k_e\Phi_e\Omega}{R_A} \end{aligned} \quad (3.57)$$

3. *Cuplul electromagnetic devine:*

$$M = k_e \Phi_e I_A \quad (3.58)$$

3.5.2. Caracteristica mecanică

Viteza mașinii de curent continuu în regim de curent întrerupt este dată de relația clasică:

$$\Omega = \frac{\delta \cdot U_0}{k_e \Phi_e} - \frac{R_A}{k_e \Phi_e} \cdot I_A \quad (3.59)$$

caracteristicile mecanice fiind drepte paralele.

Valorile extreme ale curentului din indus depind de sarcina mașinii. Există valori limită ale curentului de sarcină sub care instalația intră în regim de funcționare discontinuă. În aceste cazuri curentul prin indus se anulează în perioada de pauză, înainte de o nouă închidere a chopper-ului (*figura 3.15.c*).

Dacă se notează cu $\beta T = t_m - t_{ON}$ perioada de conducție a diodei de regim liber (*DRL*), valoarea medie a tensiunii redresate este dată de:

$$U_{medie} = \frac{1}{T} [U_0 \cdot \delta \cdot T + E \cdot (1 - \delta - \beta) \cdot T] \quad (3.60)$$

$$U_{medie} = U_0 \cdot \delta + E \cdot (1 - \delta - \beta)$$

astfel încât expresia caracteristicii mecanice în acest caz devine:

$$\Omega = \frac{\delta \cdot U}{k_e \Phi_e \cdot (\delta + \beta)} - \frac{R_A}{k_e \Phi_e \cdot (\delta + \beta)} \cdot I_A \quad (3.61)$$

Se constata o tendinta de ambalare a masinii, viteza de rotatie tinzând catre viteza de mers în gol Ω_0 , indiferent de valoarea comenzii chopper-ului (pentru $\beta = 0$, corespunde $I_A = 0$).

Introducând notiunea de **caracteristica mecanica limita** ($R_A=0$) expresia vitezei limita devine:

$$\Omega_{lim} = \frac{\delta}{\delta + \beta} \cdot \Omega_0 \quad (3.62)$$

Limita regimului de curent întrerupt (*functionare discontinua*) se obtine pentru $\beta = 1 - \delta$, astfel încât $\Omega_I = \delta \cdot \Omega_0$, iar curentul de sarcina limita sub care instalatia intra în regim de curent întrerupt se obtine anulând expresia valorii extreme minime a curentului:

$$\begin{aligned} I_{A\lim} &= \frac{U_0}{R_A} \cdot \left(\beta - \frac{1 - e^{\frac{\delta T}{T_A}}}{1 - e^{\frac{T}{T_A}}} \right) \cong \frac{U_0}{R_A} \cdot \delta \cdot \frac{\frac{T}{T_A} - \delta \frac{T}{T_A}}{2 + \frac{T}{T_A}} \cong \\ &\cong \frac{U_0}{R_A} \cdot \frac{T}{2T_A} \cdot (\delta - \delta^2) = \sqrt{2} \pi k_w I_{An} \cdot (\delta - \delta^2) \end{aligned} \quad (3.63)$$

În relatia de mai sus s-a considerat dezvoltarea în serie de puteri si s-au neglijat termenii de ordin superior lui **2**, deoarece $T/T_A \ll 2$.

Valoarea maxima a expresiei curentului limita corespunde pentru $\delta = 0,5$. Daca se elimina parametrul δ , se obtine ecuatia unei parabole:

$$I_{A\lim} = 4I_{A\lim\max} \left(\frac{\Omega_I}{\Omega_0} - \frac{\Omega_I^2}{\Omega_0^2} \right) \quad (3.64)$$

În figura 3.16 sunt indicate caracteristicile mecanice ale mașinii curent continuu cu excitație independentă alimentată de la un chopper, în cele două regimuri de funcționare (*continua* – *discontinua*). Pentru ca instalația să nu intre în regim de curent întrerupt, curentul prin indusul mașinii trebuie să fie mai mare decât $I_{Alim\ max}$.

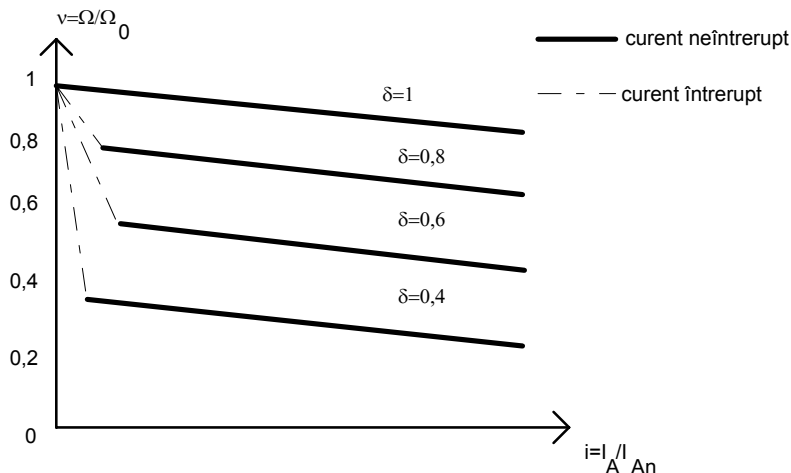


Fig. 3.16. Caracteristici mecanice ale motarelor de c.c. cu excitație independentă alimentate de la chopper.

3.6. FRÂNAREA MASINILOR DE CURENT CONTINUU ALIMENTATE DE LA CHOPPERE

3.6.1. Frânarea dinamică nerecuperativă

În cazul frânării dinamice al sistemelor de acționari electrice formate dintr-o mașină de curent continuu alimentată de la un chopper, pentru controlul valorii efective a rezistorului utilizat în acest scop, se poate utiliza același tip de chopper cu cel folosit la reglarea turatiei mașinii. O diagramă schematică este prezentată în figura 3.17.

Rezistoarele R_1 , R_2 sunt folosite pentru frânare dinamică. Dacă este necesară o mare putere pentru frânare, cum este cazul tracțiunilor electrice, tensiunea maximă aplicată indusului mașinii de curent continuu în timpul frânării, poate fi de **2-3 ori** mai mare decât tensiunea nominală. În acest caz, chopper-ul va fi conectat pe porțiunea R_1 a rezistoarelor de frânare. Acest montaj reduce tensiunea nominală a chopper-ului, ceea ce îl face să fie mai economic. Cealaltă parte a rezistorului de frânare R_2 poate fi scurtcircuitată în momentul când turatia minimă este atinsă.

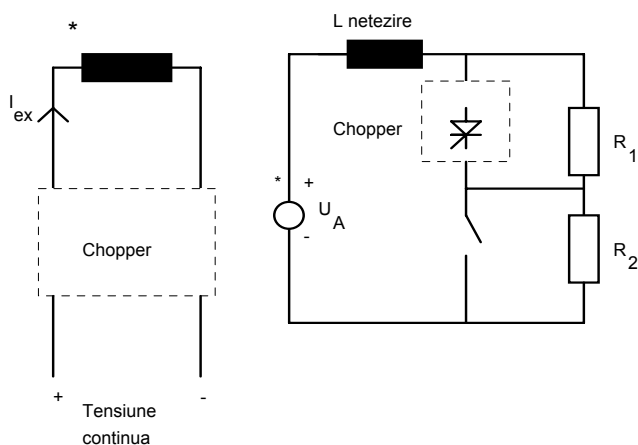


Fig. 3.17. Schema de frânare dinamică cu chopper.

Orice valoare a cuplului de frânare poate fi obținută prin controlul curentului de excitație și al valorii efective al rezistorului de frânare. La turatii mari, chopper-ul este închis, iar controlul asupra curentului de excitație este folosit pentru obținerea cuplului de frânare dorit. Când curentul de excitație atinge valoarea maximă, chopper-ul este acționat pentru reducerea valorii efective a rezistorului de frânare. Datorită excitației independente, nivelul cuplului de frânare poate fi menținut chiar la valori scăzute ale turatiei.

3.6.2. Frânarea dinamică recuperativă

Chopper-ul care controlează turatia și cuplul mașinii de curent continuu poate fi utilizat și pentru realizarea unei frânări recuperative prin controlul puterii ce poate fi recuperată în acest mod. În figura 3.18 sunt prezentate schemele de bază utilizate în cazul acestei metode de frânare.

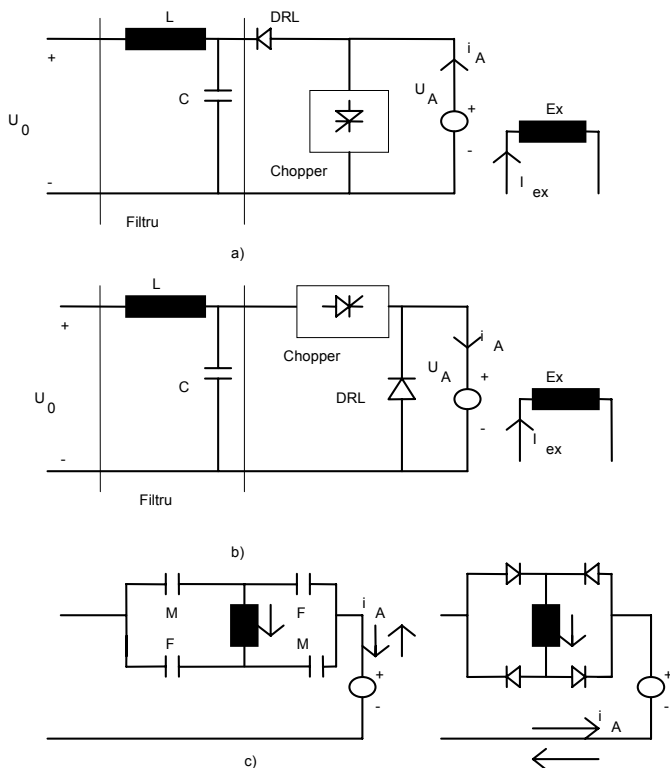


Fig. 3.18. Acționari cu chopper: a) Funcționare în regim de frână; b) Funcționare în regim de motor; c) Conexiuni pentru motor serie.

Dupa cum se vede în figura 3.18 *a* și *b* pozițiile chopper-ului și ale diodei de regim liber se schimbă de la regimul de funcționare în regim de motor la cel în regim de frânare.

Timpul duratei active și al duratei de pauză se reglează printr-un sistem de control în buclă închisă pentru menținerea curentului de frânare. Pentru frânarea recuperativă când chopper-ul este activat (*închis*) terminalele mașinii sunt scurtcircuitate. Curentul prin indus crește, iar energia este stocată în inductivitatea montată în serie cu indusul. Când chopper-ul este dezactivat (*deschis*), curentul din indus se închide prin sursa de alimentare. Energia acumulată în bobina L este redată sursei.

Dacă se folosește o mașină de curent continuu cu excitație serie, nu mai este necesară o bobină de reacție suplimentară conectată în serie cu indusul. Excitația serie înmagazinează energia atâta timp cât chopper-ul este activ (*închis*) și cedează energia sursei când chopper-ul este dezactivat (*deschis*). Totuși, fluxul de excitație serie rămâne unidirecțional pe timpul frânării recuperative, realizându-se astfel numai o contraconectare a indusului mașinii.

Schema din figura 3.18 folosește un singur chopper și un montaj mecanic pentru schimbarea poziției din schema a chopper-ului și respectiv a diodei de regim liber. Mașina funcționează în primul cadran în regim de motor și în cadrantul doi în regim de frână.

În figura 3.19 sunt prezentate formele de undă pentru curent și tensiune în cazul funcționării continue și discontinue la frânarea recuperativă.

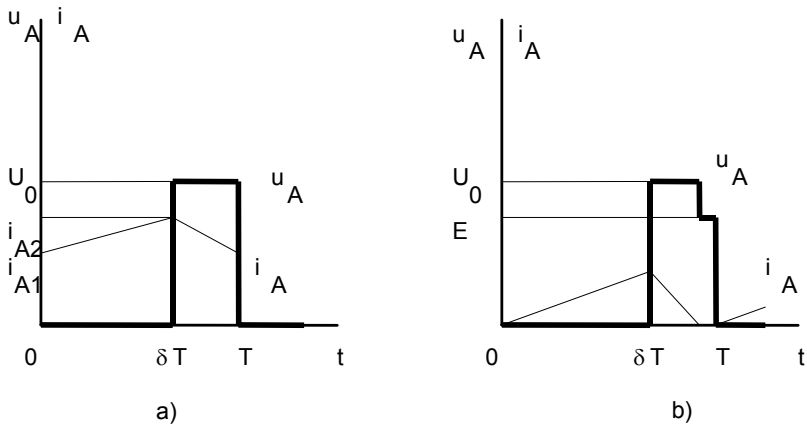


Fig. 3.19. Forme de unda la frânarea recuperativa
a) Funcționare continuă; b) Funcționare discontinuă.

- Pentru funcționarea în intervalul $0 < t < \delta T$, denumit și **interval de stocare a energiei** avem relațiile:

$$E = R_A i_A + L_A \cdot \frac{di_A}{dt} \quad (3.65)$$

$$i_A(0) = i_{A1}$$

- Pentru funcționarea în intervalul $\delta T < t < T$, denumit și **interval de transfer al energiei** sunt valabile relațiile (3.66), iar mașina lucrează ca generator:

$$E = U_0 + R_A i_A + L_A \cdot \frac{di_A}{dt}$$

$$i_A(\delta T) = i_{A2}$$

$$I_A = \frac{E - (1 - \delta) \cdot U_0}{R_A} \quad (3.66)$$

$$U_A = (1 - \delta) \cdot U_0$$

Functionarea în regim de motor, respectiv frâna a masinii de curent continuu se poate obtine si prin folosirea a doua variatoare de tensiune continua.

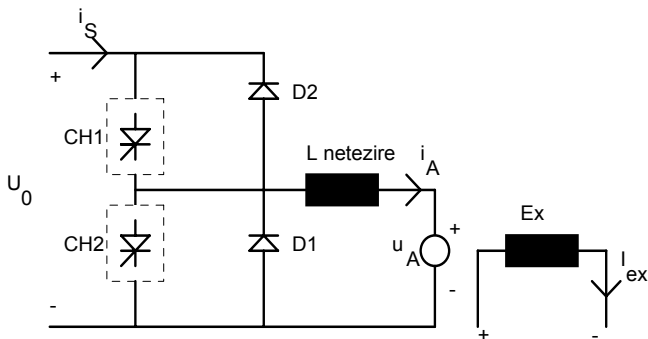


Fig. 3.20. Actionare cu chopper în doua cadrane pentru functionare în regim de motor si frânare recuperativa.

Astfel se elimina necesitatea unui montaj mecanic de comutatie între chopper si dioda de regim liber. Aceasta schema este ilustrata în figura 3.20. Chopper-ul **CH1** si dioda **D1** conduc în cazul functionarii în regim de motor, iar chopper-ul **CH2** si dioda **D2** conduc în cazul frânării recuperative. În timpul functionarii ca motor, masina absoarbe curent de la sursa de alimentare, iar în timpul functionarii ca frâna, masina devine generator, injectând curent în sursa de alimentare. Curentul mediu I_A poate fi mentinut constant printr-un sistem de control în bucla închisa, reglându-se raportul **deschis-închis** (*on-off*) al chopper-ului. Dacă turatia scade, scade si tensiunea generata de masina si creste intervalul de timp necesar chopper-ului **CH2** de a realiza curentul necesar prin indusul masinii. Formele de unda caracteristice functionarii în regim de motor, respectiv frâna, la turatie mare si mica sunt redade în figura 3.21.

În mod normal, energia recuperata la aplicarea procedului de frânare recuperativa este folosita de catre alte sarcini cuplate la aceeasi sursa de alimentare. Totusi, daca

linia este nerecuperativa (*fara alte sarcini*) în timpul frânării recuperative, tensiunea liniei crește. Poate fi tolerată o creștere de până la **20%** în timpul frânării recuperative. Dacă se depășește o valoare prescrisă a tensiunii, frânarea recuperativa este înlocuită cu una dinamica.

În figura 3.22 se prezintă o schemă în care sunt combinate principiul de frânare dinamică nerecuperativa cu cel de frânare dinamică recuperativa. Dacă **linia este nerecuperativa**, se trece instantaneu de la frânarea recuperativa la cea dinamică nerecuperativa. Tiristorul T_d este comandat pentru a facilita închiderea curentului motorului prin rezistorul R_d . Doar când linia devine recuperativa, chopper-ul este activat în vederea realizării frânării recuperative. Rezistorul R_a este inseriat cu indusul mașinii de curent continuu, astfel încât tensiunea electromotoare a mașinii poate crește la valori de **2-3 ori** mai mari decât tensiunea de alimentare la turații mari pentru frânări de mare putere.

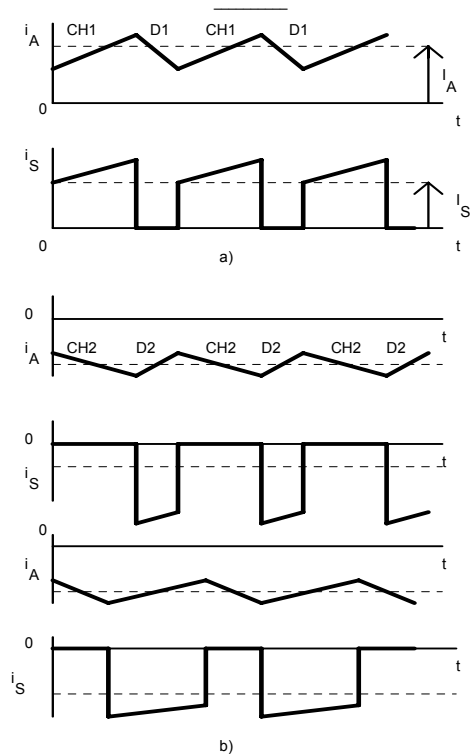


Fig.3.21. Forme de unda pentru frânarea dinamică recuperativă în două cadrane: a). Regim de motor; b). Regim de frâna.

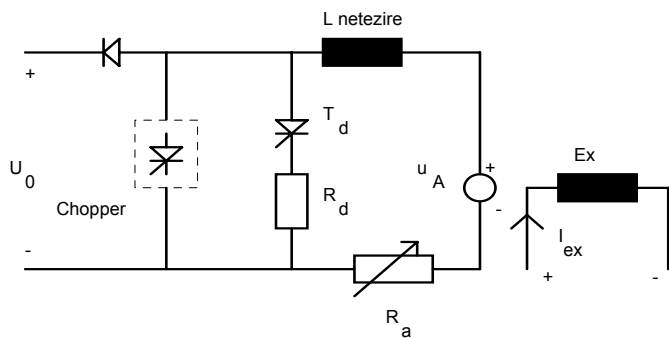


Fig. 3.22. Schema de implementare a frânării dinamice nerecuperative și a frânării dinamice recuperative.

3.7. FUNCTIONAREA ÎN DOUA CADRANE A MASINII DE CURENT CONTINUU ALIMENTATE DE LA UN CHOPPER

⚡ **Schema de functionare cu inversor de polaritate**

În figura 3.23, este prezentată o schema de functionare în două cadrane a unei mașini de curent continuu cu excitație independentă alimentată de la un chopper prin folosirea unui inversor de polaritate.

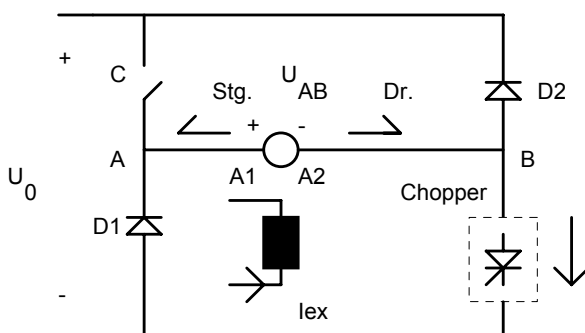


Fig.3.23. Schema de acționare cu chopper în două cadrane.

Schema de mai sus este folosită pentru realizarea regimurilor de functionare ca motor (*cadranul I*), respectiv frâna în regim recuperativ (*cadranul II*) pentru mașina de curent continuu.

Functionarea se desfășoară astfel:

1. Întrerupătorul manual **C** este **închis**, chopper-ul este activ (**închis**), tensiunea aplicată motorului **U_{AB}** este pozitivă, iar mașina de curent continuu lucrează în regim de **motor**;

2. Întrerupatorul manual **C** este **deschis**, indusul masinii de curent continuu este contraconectat, iar tensiunea aplicată U_{AB} este negativă, mașina fiind în regim de **frâna**. Există două subcazuri:
- I. chopper-ul este închis și se produce acumulare de energie pe traseul **D1, Motor, Chopper**;
 - II. chopper-ul este deschis, iar energia se descarca pe traseul **D1, Motor, D2, Sursa**. În cazul când sursa nu permite trecerea curentului în sens invers (*sursa este un redresor*), aceasta trebuie deconectată și înlocuită cu o rezistență, frânarea realizându-se fără recuperare de energie (*frânare dinamică nerecuperativă*).

Observație:

- ☞ Schema de mai sus poate fi folosită și pentru mașinile de curent continuu cu excitație serie, caz în care excitația este conectată în afara întrerupătorului manual **C**.

⚙ **Schema de funcționare în clasa C**

În figura 3.24 este ilustrată o altă variantă de funcționare în două cadrane a unei mașini de curent continuu cu excitație independentă alimentată de la un chopper. De această dată sunt folosite două chopper-e. Cele două chopper-e sunt comandate succesiv, dar **niciodată** simultan. Această schemă permite o trecere lină dintr-un cadran în altul al planului caracteristicilor mecanice $\Omega - M$, spre deosebire de schema cu întrerupător mecanic (figura 3.23). În cazul acestei scheme, **nu** există regim de curent întrerupt prin indusul mașinii. Există astfel numai **regimul de funcționare continuă**.

Pentru acest caz sunt valabile relațiile:

$$U_A = \delta \cdot U_0 \Rightarrow I_A = \frac{\delta \cdot U_0 - E}{R_A} \quad (3.67)$$

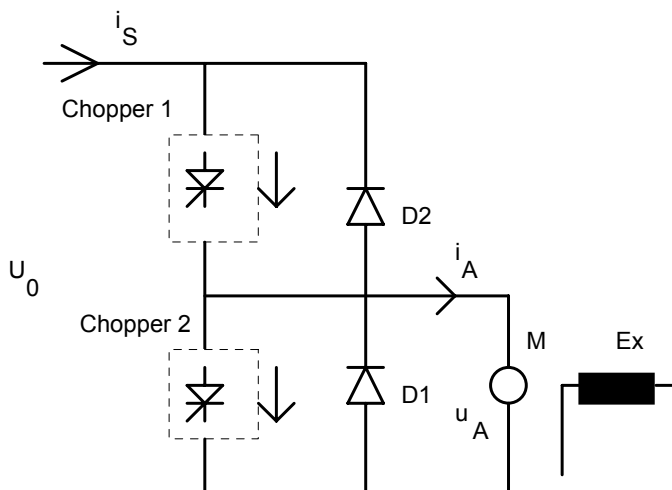


Fig. 3.24. Schema de funcționare în două cadrane, folosind două chopere, clasa **C**.

Pentru valori ale t.e.m. ***E*** mai mici decât tensiunea de alimentare ***U_A*** se obține regimul de ***motor***, iar în caz contrar există regimul de ***frâna***.

Observatii:

- ☞ Dacă viteza de rotație a mașinii scade, curentul prin indus crește, iar mașina este în regim de ***motor*** (funcționează chopper-ul **CH1** și dioda **D1**);
- ☞ Dacă viteza de rotație a mașinii crește, curentul prin indus scade, iar mașina este în regim de ***frâna*** (funcționează chopper-ul **CH2** și dioda **D2**);
- ☞ Mașina de c.c. lucrează în cadranele **I** și **II**.

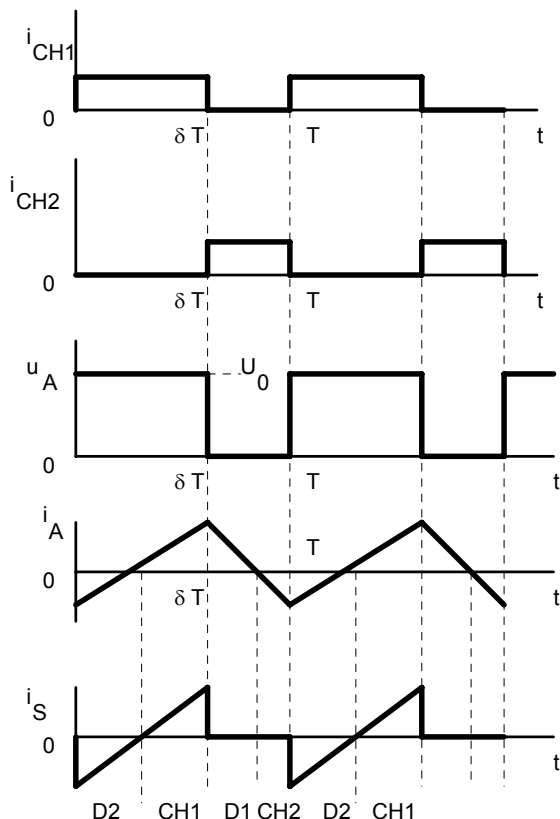


Fig. 3.25. Forme de unda pentru schema de acționare în două cadrane în clasa **C**.

⌘ **Schema de funcționare în clasa D**

Masina de curent continuu din figura 3.26 poate funcționa în regim de **motor** în cadrantul **I**, sau în regim de **frâna recuperativă** în cadrantul **IV**. Schema de acționare tip clasa **D**, este asemănătoare cu cea care folosește un întrerupător mecanic în locul chopper-ului **CH1**. La aceasta schema nu se poate realiza inversarea polarității tensiunii de alimentare a indusului mașinii.

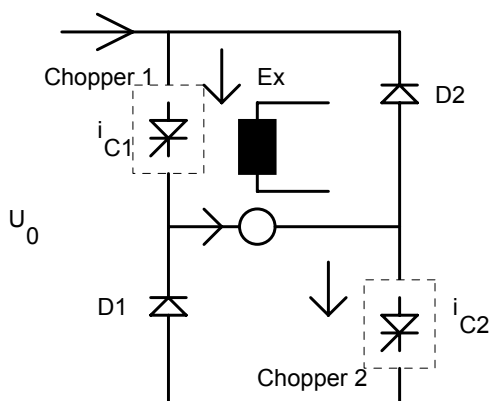


Fig. 3.26. Schema de funcționare în două cadrane cu chopper clasă **D**.

În figura 3.27 sunt prezentate formele de undă pentru funcționarea mașinii de curent continuu în regim de **motor**, în cadranul **I**.

Se remarca faptul ca tensiunea medie aplicata mașinii de curent continuu poate fi exprimata de relatia:

$$U_A = \frac{1}{T} \int_T^{2\delta T} U_0 dt = U_0(2\delta - 1) > 0 \quad (3.68)$$

În figura 3.28 sunt prezentate formele de undă pentru funcționarea mașinii de curent continuu în regim de **generator** în cadranul **IV**.

Tensiunea medie aplicata mașinii de curent continuu poate fi exprimata de relatia:

$$U_A = \frac{1}{T} \int_{2\delta T}^T -U_0 dt = U_0(2\delta - 1) < 0 \quad (3.69)$$

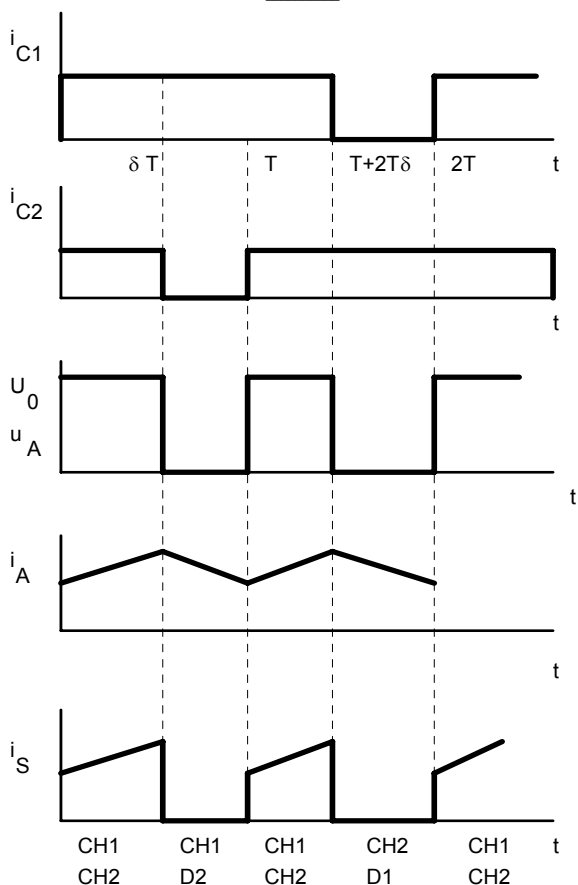


Fig. 3.27. Forme de unda pentru funcționare în cadranul I
Regim de *motor*.

3.8. FUNCȚIONAREA ÎN PATRU CADRANE A SISTEMELOR DE ACȚIONARE ELECTRICA MASINA DE CURENT CONTINUU - CHOPPER

În figura 3.29 este prezentata schema principala a unui sistem de acționare electrica ce funcționeaza în toate cele

patru cadrane ale planului caracteristicilor mecanice. Schema presupune utilizarea a patru chopper-e pentru alimentarea mașinii de curent continuu cu excitație independentă.

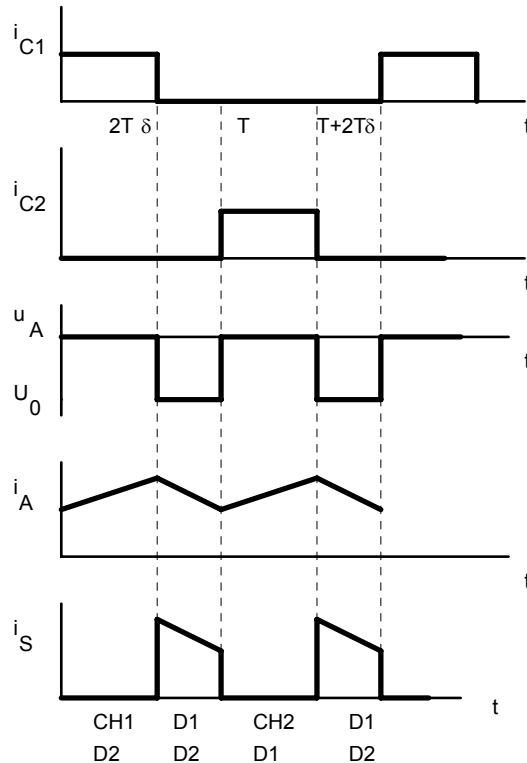


Fig. 3.28. Forme de unda pentru funcționare în cadranul **IV**.
Regim de **frâna dinamică recuperativă**.

Schema din figura 3.29 poate lucra în trei moduri:

➔ **Modul I.**

- A.** Chopper-ul **2** este **activat** (*închis*), iar chopper-ul **3** **deschis**.

Schema lucrează în cadranele *I* și *II*:

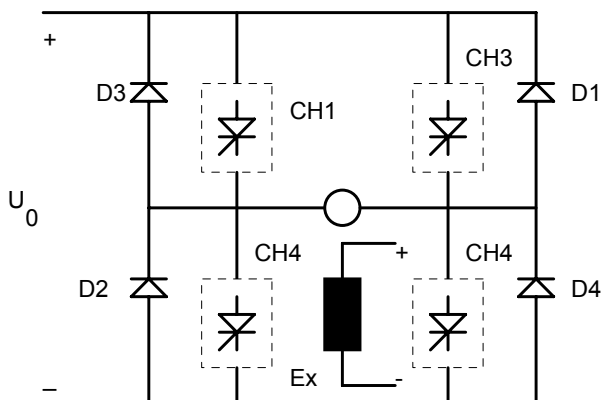


Fig. 3.29. Schema de acționare cu chopper în patru cadrane.

1. fie în regim de **motor** în cadranul *I*, când energia circula pe traseul **Sursa, Chopper 1, Motor, Chopper 2, Sursa**;
2. fie în regim de **frâna dinamică recuperativă** în cadranul *II*, energia circulând pe traseul **Motor, Chopper 4, Dioda 4, Motor** (acumulare de energie), iar apoi pe traseul **Dioda 4, Motor, Dioda 3, Sursa, Dioda 4** (recuperare de energie).

B. Chopperul **3** este **închis** (activat), iar chopper-ul **2** **deschis**.

Schema lucrează în cadranele *III* și *IV*:

1. fie în regim de **motor** în cadranul *III*, traseul energiei fiind: **Sursa, Chopper 3, Motor, Chopper 4, Sursa**.
2. fie în regim de **frâna dinamică recuperativă**, când energia este acumulată pe circuitul **Motor**,

Dioda 1, Chopper1, Motor si este recuperata de circuitul **Dioda 1, Sursa, Dioda 2, Motor**.

➔ **Modul II.**

A. Chopper-ele **1** si **2** sunt **activate** (*închise*); ele lucreaza împreuna cu diodele **1** si **2**.

Schema functioneaza în cadranele I si IV astfel:

1. Regim de **motor**, în cadranul **I**, energia circulând pe traseul **Sursa, Chopper 1, Motor, Chopper 2, Sursa**;
2. Regim de **frâna dinamica recuperativa**, în cadranul **IV**, curentul stabilindu-se pe circuitul **Motor, Dioda 1, Sursa, Dioda 2, Motor**.

B. Sunt **activate** (*închise*) chopper-ele **3, 4** care lucreaza împreuna cu diodele **3** si **4**.
Schema functioneaza în cadranele **II** si **III** astfel:

1. Regim de **motor**, în cadranul **III**, energia circulând pe traseul **Sursa, Chopper 3, Motor, Chopper 4, Sursa**;
2. Regim de **frâna dinamica recuperativa**, în cadranul **II** curentul stabilindu-se pe circuitul **Motor, Dioda 3, Sursa, Dioda 4, Motor**.

Tensiunea medie pentru primul sens de rotatie (*chopper-ele 1 si 2 sunt activate*) este:

$$U_A = \frac{1}{T} \int_0^{\delta_1 T} U_0 dt - \frac{1}{T} \int_{\delta_1 T}^T U_0 dt = U_0 (2\delta_1 - 1) \quad (3.70)$$

rezultând deci ca functionarea în regim de motor ($U_A > 0$) se

obține pentru $\delta_1 > 0,5$. Pentru celalalt sens de rotație, mașina de curent continuu funcționând în regim de motor, sunt activate chopper-ele 3 și 4. Pentru reversare se blochează chopper-ele 1 și 2 și se comandă chopper-ele 3 și 4 cu o perioadă activă $\delta_2 < 0,5$. Caracteristicile mecanice sunt redată în figura 3.30.

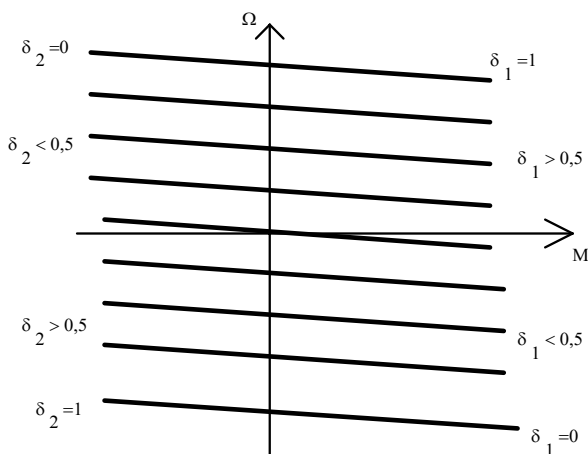


Fig 3.30. Caracteristici mecanice ale motoarelor de c.c. cu excitație independentă alimentate de choppere, schema în patru cadrane.

Pentru a asigura continuitatea curentului în cazul reversării, este necesar ca duratele relative de conectare ale celor două perechi de chopper-e, în momentul trecerii din regim de **motor** în regim de **frânare prin recuperare**, să asigure opoziția tensiunilor de alimentare pe indus, ceea ce conduce la condiția:

$$\delta_1 + \delta_2 = 1 \quad (3.71)$$

similare condiției: $\alpha_1 + \alpha_2 = 180^\circ$ cunoscută de la alimentarea prin redresoare complet comandate.

➔ Modul III.

Chopper-ele **1**, **2**, **3** și **4** sunt comandate simultan. În figura 3.31 se prezintă modul de variație al formelor de undă pentru marimile caracteristice acestei scheme. Se observă că chopper-ele **1** și **2** determină funcționarea mașinii de curent continuu în regim de **motor** atunci când acestea sunt activate simultan, iar chopper-ele **3** și **4** determină funcționarea mașinii de curent continuu în regim de **frâna dinamică recuperativă** când este activat doar unul dintre ele.

3.9. FILTRE DE INTRARE PENTRU SISTEMELE DE ACȚIONARE CU CHOPPER

Chopper-ul este practic un comutator **deschis - închis comandabil**. Când este **închis**, curentul prin sursă și prin mașină sunt identice. Când chopper-ul este **deschis**, curentul mașinii se închide prin dioda de regim liber, iar curentul sursei este nul. În acest caz apare regimul de curent întrerupt pentru sursa de alimentare. Fenomenul este prezentat în figura 3.32.

Observatii:

☞ Puterea medie debitată de sursă și cea absorbită de mașină sunt identice.

☞

$$\begin{aligned} U_0 \cdot I_0 &= \delta \cdot U_0 \cdot I_A \\ I_0 &= \delta \cdot I_A \end{aligned} \quad (3.72)$$

unde I_0 este valoarea medie a curentului sursei. Dacă perioada activă este mai mică decât **1**, curentul mediu al sursei este mai mic decât curentul mediu prin indusul mașinii de curent continuu;

☞ Când chopper-ul este **închis (activat)**, valoarea instantanee a curentului sursei este aceeași cu cea a curentului prin mașină. Această duce la cerința unui vârf de putere absorbită destul de

mare. De aceea curentul sursei are armonici care produc efecte nedorite, cum ar fi: *fluctuații de tensiune, interferențe între semnale, încălziri suplimentare*. Un filtru de intrare poate reduce perturbatiile din curentul sursei. Rolul condensatorului este de a furniza curent prin sursa atunci când chopper-ul este deschis.

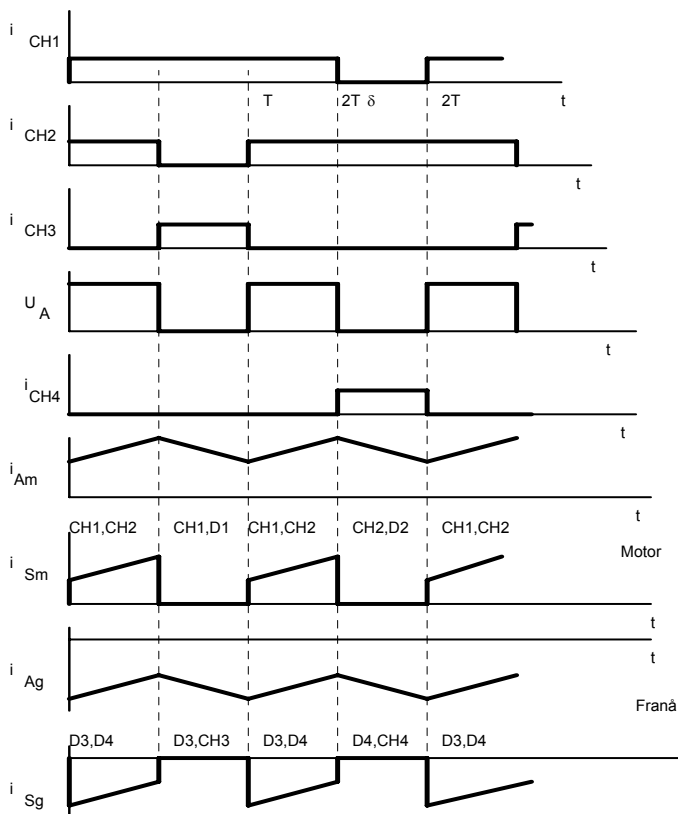


Fig. 3.31. Forme de unda pentru schema de acționare cu choppere în patru cadrane (patru choppere comandate simultan).

Teoretic pentru obținerea formelor de unda din figura 3.33 ar trebui ca filtrul folosit să aibă o capacitate infinită. În

practica se folosește un filtru **L-C**, pentru reducerea valorii necesare a capacității condensatorului.

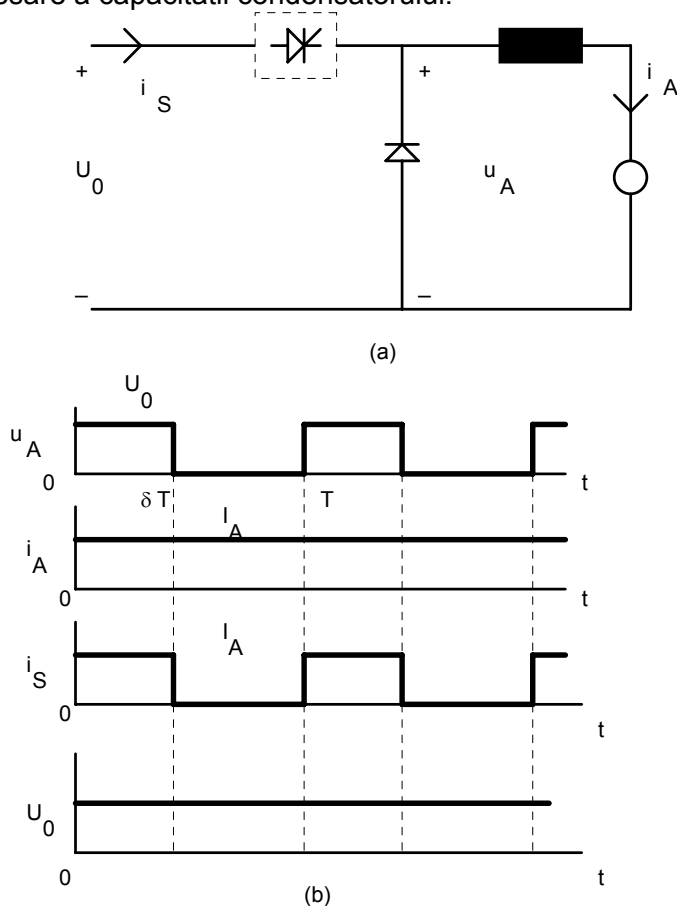


Fig.3.32. Schema de baza a unui chopper
(a) Circuit; (b) Forme de unda.

Acest filtru realizează suplimentar și o izolare între sursa și sarcina în cazul apariției unui scurtcircuit. Pentru schema din figura 3.34, a n - a armonica a curentului sursei este dată de relația:

$$I_n = \frac{X_C/n}{(nX_L) - (X_C/n)} I_{CH_n} \quad (3.73)$$

Unde:

$$\begin{aligned} X_L &= 2 \cdot \pi \cdot f_{CH} L \\ X_C &= \frac{1}{2 \cdot \pi \cdot f_{CH} C} \\ n &= \text{ordinul armonicii} \end{aligned} \quad (3.74)$$

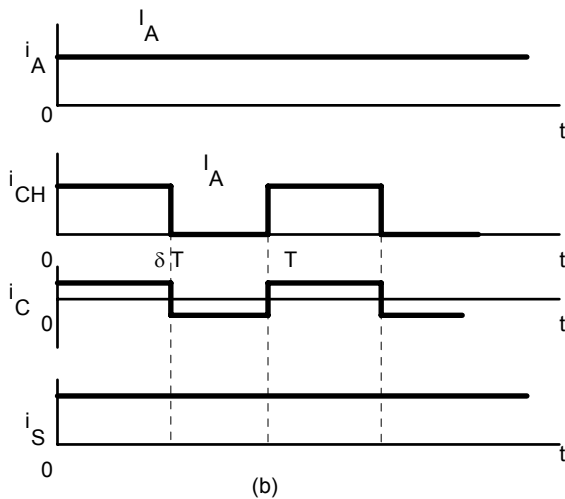
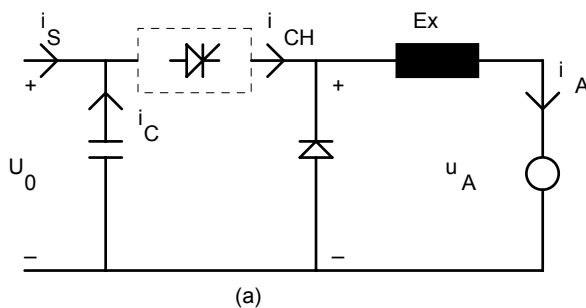


Fig. 3.33. Schema de baza a unui chopper cu filtru de intrare

capacitiv;

(a) Circuit; (b) Forme de unda.

Din ecuațiile 3.74 rezulta:

$$I_n = \frac{1}{4 \cdot \pi \cdot n^2 f_{CH}^2 LC - 1} \cdot I_{CHn} = \frac{1}{\left(n \frac{f_{CH}}{f_r} \right)^2 - 1} I_{CHn} \quad (3.75)$$

unde:

 I_n armonica de ordin n a curentului efectiv prin sursa; I_{CHn} armonica de ordin n a curentului efectiv prin chopper; f_{CH} frecvența chopper-ului; f_r frecvența de rezonanță a filtrului L, C .

Aceste două frecvențe trebuie să fie diferite ca valoare, altfel poate apărea fenomenul de rezonanță care duce la oscilații mari ale tensiunii de alimentare. De obicei f_{CH} este de **2÷3** ori mai mare decât f_r pentru evitarea fenomenului de rezonanță. Armonica de ordin n a curentului sursei va fi dată cu aproximație de:

$$I_n \approx \left(\frac{f_r}{n f_{CH}} \right)^2 I_{CHn} \quad (3.76)$$

Armonicile curentului sursei pot fi astfel reduse:

1. Pentru aceleași elemente ale filtrului prin creșterea frecvenței de lucru a chopper-ului;
2. Pentru aceeași frecvență a chopperului prin scăderea frecvenței f_r (de exemplu prin creșterea valorilor lui L sau $1/C$);

3. Prin scaderea amplitudinii armonicilor curentului prin chopper.

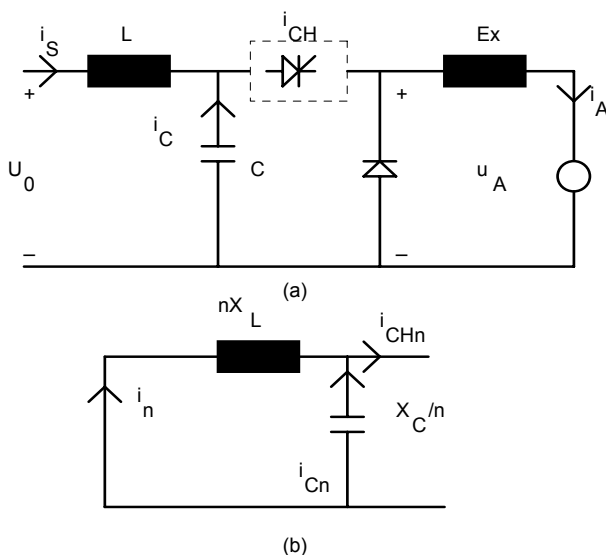


Fig. 3.34. Schema de baza a unui chopper cu filtru de intrare L-C
(a) Circuit; (b) Circuit echivalent pentru armonica n .

3.10. CHOPPER MULTIFAZA

Daca doua sau mai multe choppere lucreaza în paralel si sunt defazate între ele, scad perturbatiile amplitudinii curentului si cresc perturbatiile frecvenței. Ca urmare, sunt reduse armonicile curentului sursei.

În figura 3.35 este prezentat un montaj cu doua choppere. Curentul sursei fara filtru de intrare este redat în figura 3.36 pentru operarea chopperelor în faza si respectiv defazate. Frecvența perturbatiilor curentului sursei este dublata, iar amplitudinea lor este înjumătățita, în cazul operarii defazate comparativ cu cea în faza.

Daca perioada activa creste, curentul sursei va tinde catre o valoare egala cu jumătatea amplitudinii curentului prin

indusul mașinii de curent continuu și fără perturbatii.

Sistemul chopper multifaza poate fi avantajos pentru sistemele de acționari de mare putere, în mod special pentru valori mari ale curentului prin sarcină. Acest aspect este valabil și pentru cazul în care există mai multe sarcini (mașini de curent continuu) conectate în paralel. Dezavantajul sistemelor cu chopper multifaza este dat de necesitatea conexiunilor suplimentare, a elementelor de comutație suplimentare și de complexitatea marită a schemelor de comandă ale sistemului de acționare.

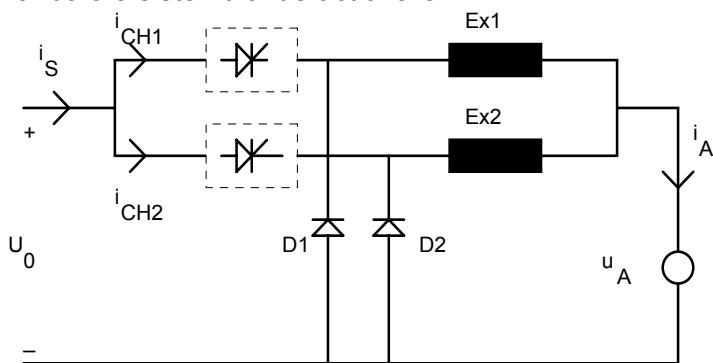


Fig. 3.35. Chopper multifaza.

3.11. PROBLEME

3.11.1. Probleme rezolvate

PR1. Turatia unei mașini de curent continuu cu excitație serie este controlată printr-un chopper ca cel prezentat în figura 3.15. Tensiunea continuă de alimentare este 120 V, rezistența indusului $R_A = 0,5 \, \Omega$, inductivitatea indusului $L_A = 20 \, \text{mH}$, constanta motorului $k\Phi = 0,05 \, \text{V/rpm}$. Motorul acționează o sarcină de cuplu constant care necesită un curent prin indus $I_A = 20 \, \text{A}$. Se presupune că acest curent este continuu. Se cere:

1. gama posibilă de variație a turatiei;

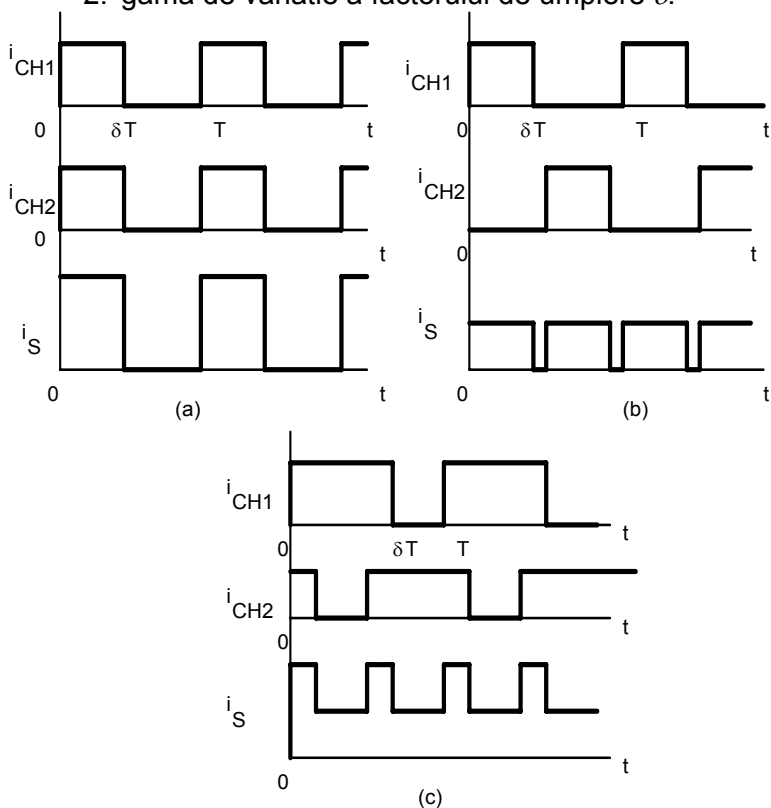
2. gama de variație a factorului de umplere δ .


Fig. 3.36. Forme de unda pentru chopper multifaza:

- a). Functionare în fază; b). Functionare defazată;
c). Functionare defazată cu perioada activă marită.

Rezolvare: Turatia minima este zero, pentru care tensiunea electromotoare $E = 0$. De aceea:

$$U_A = I_A R_A = 20 \cdot 0.5 = 10 \text{ V}$$

$$U_A = \delta U_0 \Rightarrow \delta = \frac{U_A}{U_0} = \frac{1}{12}$$

Valoarea determinată pentru δ este valoarea minima a

acestui parametru.

Turatia maxima se obtine pentru $\delta = 1$ (*valoare maxima*) la care avem:

$$U_A = R_A I_A + k\Phi\Omega \cdot (30/\pi) = \delta U_0 \Rightarrow$$

$$\Omega_{max} = \frac{(U_A - R_A I_A)\pi}{k\Phi \cdot 30} = \frac{\pi \cdot (1 \cdot 120 - 0,5 \cdot 20)}{0,05 \cdot 30} = 230,38 \text{ rad/s}$$

Gama de variatie a turatiei este $0 < \Omega < 230,38 \text{ rad/sec}$, iar a perioadei active $1/12 < \delta < 1$.

PR2. Un vehicul electric este actionat printr-o masina de curent continuu alimentata de la o baterie de acumuloare prin intermediul unui chopper comutat în tensiune. Tensiunea bateriei este 100 V; curentul de pornire este 100 A. Perioada de pauza a chopper-ului este 20 μsec . Frecventa chopper-ului este 400 Hz. Sa se calculeze valoarea capacitatii condensatorului de comutatie C si a inductivitatii de comutatie L.

Rezolvare: Pentru o comutatie sigura se considera un decalaj suplimentar de 20 μsec . Avem:

$$t_q = t_{OFF} + \Delta t = 20 + 20 = 40 \mu \text{ sec}$$

$$C = \frac{I_{Amax} t_q}{U_0} = \frac{100 \cdot 40 \cdot 10^{-6}}{100} = 40 \mu F$$

$$L > C \left(\frac{U_0}{I_{Amax}} \right)^2 = 40 \cdot 10^{-6} \cdot \left(\frac{100}{100} \right)^2 = 40 \mu F$$

$$L < \frac{0,01}{(\pi f)^2 C} = \frac{0,01}{(\pi 400)^2 40 \cdot 10^{-6}} = 1585 \mu F$$

S-a considerat ca pentru o buna functionare a

sistemului, tensiunea la bornele indusului sa nu fie mai mica de 10% din tensiunea de alimentare. Valoarea inductivitatii L se va alege aproape de valoarea minima determinata pentru a obtine o gama mai larga de reglaj a turatiei.

PR3. În problema PR2, s-a considerat un chopper cu comutatie în curent. Sa se determine valorile componentelor de comutatie C , L .

Rezolvare: Exista relatiile:

$$L = \frac{3 \cdot U_0(t_{OFF} + \Delta t)}{4 \cdot \pi \cdot I_{Amax}} = \frac{3 \cdot 100 \cdot 40 \cdot 10^{-6}}{4 \cdot \pi \cdot 100} = 9,55 \mu H$$

$$C = \frac{3 \cdot I_{Amax}(t_{OFF} + \Delta t)}{\pi \cdot U_0} = \frac{3 \cdot 100 \cdot 40 \cdot 10^{-6}}{\pi \cdot 100} = 38,22 \mu F$$

PR4. În exemplul PR2, chopper-ul este comutat în sarcina, iar frecventa maxima de comutatie este 5 kHz. Sa se determine capacitatea de comutatie C .

Rezolvare: Relatia de calcul este:

$$C = \frac{I_{Amax}}{2 \cdot U_0 \cdot f_{max}} = \frac{100}{2 \cdot 100 \cdot 5 \cdot 10^3} = 100 \mu F$$

Condensatorul fiind parcurs de un curent alternativ, va fi ales un condensator cu hârtie cu pierderi mici. De asemenea, prin el trece curentul de sarcina, astfel încât pot fi folosite si baterii de condensatoare.

3.11.2. Probleme propuse

PP1. O masina de curent continuu cu excitatie separata cu $R_A = 0,4 \Omega$ si $T_A = 0,02s$ este alimentata de la un variator de tensiune continua care functioneaza la $U_0 = 220 V$, $T = 2 ms$ si $\delta = 0,5$. Se considera un moment de inertie total suficient

de mare, încât să se poată considera cu o aproximație suficient de bună $\frac{d\Omega}{dt} = 0$. Să se determine:

1. variația curentului prin indusul mașinii, dacă se considera regim de funcționare continuă;
2. valoarea minimă a curentului prin indus la care mai există regim de funcționare continuă.

PP2. O mașină de curent continuu cu excitație independentă are următoarele date nominale: $P_n = 2,7 \text{ kW}$; $U_{An} = 240 \text{ V}$; $I_{An} = 9,2 \text{ A}$; $R_A = 0,7 \Omega$ și $L_A = 52 \text{ mH}$. Mașina este alimentată de la un variator de tensiune continuă care funcționează la frecvența de 500 Hz și $U_0 = 220 \text{ V}$. Cuplul de sarcină este proporțional cu viteza. Pentru o valoare de $0,75$ viteza mașinii este de 950 rot/min . Care este valoarea factorului de umplere pentru o viteză de 1200 rot/min ?

3.12. BIBLIOGRAFIE

1. Doradla S.R., "Control Schemes for Solid State DC Series Motor Drives", PhD Thesis, 1975;
2. Dubey G.K., Doradla S.R., Joshi A., Sinha R.M.K., "Thyristorised Power Controllers", Wiley Eastern, 1986;
3. Dubey G.K., "Power Semiconductor Controlled Drives", Prentice-Hall, Inc., 1989;
4. Fransua Al., Magureanu R. "Mașini și acționari electrice", Ed. Tehnica, 1986;
5. Fransua Al., Magureanu R., Tocaci M., "Mașini și acționari electrice. Culegere de probleme, E.D.P.B., 1980;
6. Kelemen A., "Acționari electrice", E.D.P.B., 1979;
7. Leonhard W., "Control of Electrical Drives", Spriger Verlag, 1985;
8. Tunsoiu Gh., Seracin E., Saal C., "Acționari Electrice", EDPB, 1982.

CAPITOLUL 4

SISTEME DE ACTIONARE ELECTRICA MASINA DE CURENT CONTINUU - CONVERTOR STATIC

4.1. GENERALITATI

În actionarile electrice de curent continuu utilizarea convertoarelor statice permite transformarea unei tensiuni alternative (*marime de intrare a sistemului*) într-o tensiune continua reglabila (*marime de iesire*). Pentru astfel de convertoare, comutatia tiristoarelor (*transferul circulatiei curentului de la un tiristor la altul*) se realizeaza **natural**. Când un tiristor primește impuls de comanda, tiristorului care conducea anterior i se aplica o tensiune inversa si se blocheaza circulatia curentului prin acest tiristor.

Avantajele convertoarelor statice cu tiristoare sunt urmatoarele:

- ↑ constanta de timp neglijabila;
- ↑ permit recuperarea energiei în procesul de frânare;
- ↑ nu sunt necesare circuite aditionale pentru realizarea procesului de comutatie;
- ↑ raportul dintre coeficientul de amplificare si constanta de timp este de $10^8 \div 10^9$ fata de 10^2 la grupurile rotative generator - motor;
- ↑ siguranta în functionare;
- ↑ fiabilitate marita;
- ↑ pret scazut fata de grupurile rotative;

- ↑ randamentul este ridicat, peste **95 %**;
- ↑ nu necesita fundatii solide de constructie;
- ↑ investitii globale si cheltuieli de exploatare reduse.

Convertoarele statice prezinta si **dezavantaje**, cum ar fi:

- ↓ randamentul instalatiei scade atunci când unghiul de aprindere α are valori apropiate de **90°** electrice;
- ↓ puterea reactiva poate fi compensata prin utilizarea unei baterii de condensatoare, dar cea deformanta dependenta de unghiul de aprindere, nu poate fi compensata.

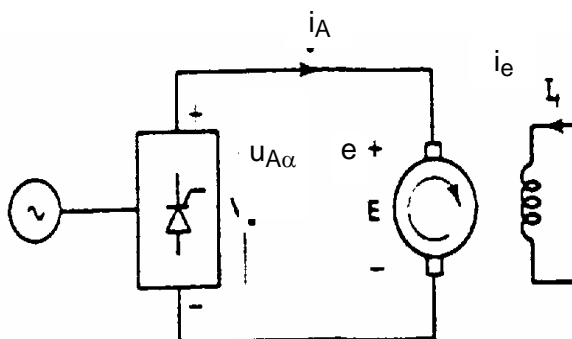


Fig. 4.1. Schema bloc generala a unui sistem de actionare electrica convertor static - masina de curent continuu.

Convertoarele statice pot fi clasificate în functie de tensiunea de alimentare în:

1. monofazate;
2. trifazate.

Dupa modul de comanda al dispozitivelor semiconductoare convertoarele statice pot fi:

1. complet comandate;
2. semicomandate;

3. necomandate.

În figurile 4.2, sunt reprezentate diverse tipuri de convertoare statice.

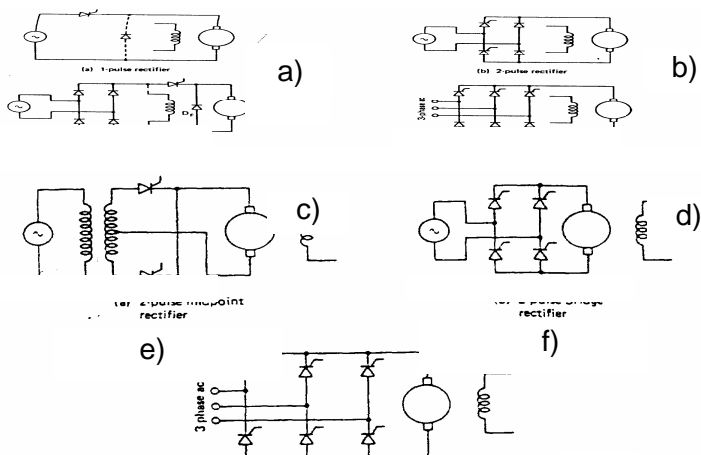


Fig. 4.2. Convertori statici: a) Redresor monofazat necomandat în punte; b) Redresor monofazat semicomandat în punte; c) Redresor monofazat necomandat în punte; d) Redresor trifazat complet comandat în punte; e) Redresor cu punct median cu două pulsuri; f) Redresor monofazat complet comandat în punte; g) Redresor trifazat complet comandat.

Convertoarele statice monofazate sunt folosite pentru puteri mai mici de **10-50 kW**. Singurele excepții sunt reprezentate de acționările electrice din transportul urban, unde este utilizată o singură fază din sistemul trifazat de tensiune alternativă, astfel încât convertoarele monofazate pot avea aplicabilitate până la puteri de ordinul **100 - 1000 kW**.

Performanțele unei acționări cresc odată cu **creșterea numărului pulsurilor** pe o perioadă. Simbolizarea unei acționări cu **convector static complet comandat** este prezentată în figura 4.2.f, iar variația tensiunii aplicate mașinii de curent continuu este prezentată în figura 4.3.

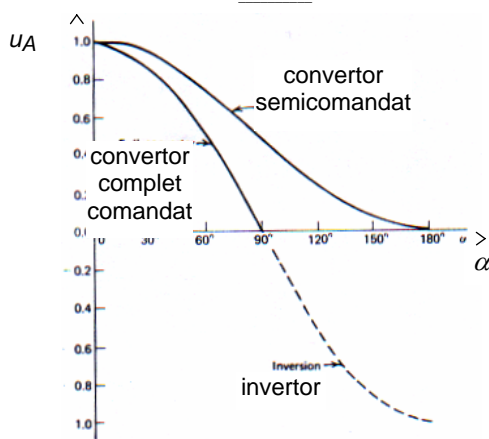


Fig. 4.3. Variația tensiunii u_A la acționarea cu convertor static complet comandat, respectiv semicomandat.

Datorită posibilității reglajului tensiunii în ambele sensuri, rezultă că domeniul de funcționare al mașinii este în două cadrane (*I* și *IV*).

Convertoarele statice semicomandate nu permit funcționarea mașinii de curent continuu decât într-un singur cadran (*I*). Dacă este utilizat un comutator mecanic la ieșirea convertorului semicomandat, mașina va putea funcționa în două cadrane (*I* și *IV*).

Folosirea comutatorului mecanic este justificată atunci când constanta mecanică de timp a comutatorului are o valoare satisfăcătoare pentru utilizator.

Recuperarea de energie este posibilă la frânare doar în cazul convertoarelor complet comandate. Dacă nu se urmărește această recuperare, atunci se recomandă utilizarea convertoarelor semicomandate datorită economiei realizate prin diferența de preț. În figura 4.3. este prezentată variația tensiunii u_A pentru **convertorul static semicomandat**.

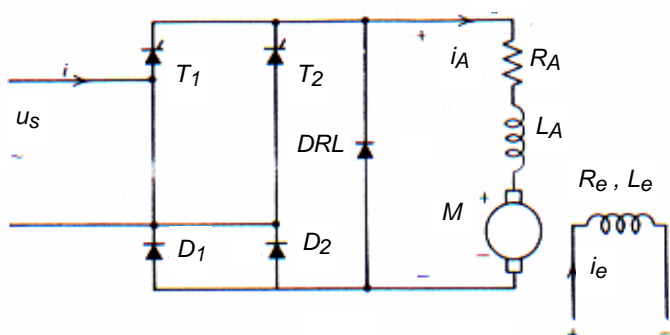


Fig. 4.4. Convertor static semicomandat.

4.2. MASINA DE CURENȚ CONTINUU CU EXCITAȚIE SEPARATĂ ALIMENTATĂ DE LA UN CONVERTOR STATIC MONOFAZAT COMPLET COMANDAT

Structura de bază pentru un sistem de acționari electrice cu mașina de curent continuu cu excitație separată alimentată de la un convertor static monofazat complet comandat este prezentată în figura 4.5. Tensiunea aplicată indusului mașinii de curent continuu este reglată fie printr-un convertor monofazat semicomandat (*figura 4.2.b*) sau complet comandat (*figura 4.2.f*), iar circuitul excitației mașinii este alimentat de la o punte redresoare cu diode.

Dacă este folosit un convertor semicomandat, tensiunea aplicată indusului, u_A , este tot timpul pozitivă. Fluxul de putere este pozitiv, de la sursa de tensiune alternativă către sarcină. Frânarea recuperativă nu este posibilă. Dacă se utilizează un convertor monofazat complet comandat, sarcina poate fi de mică sau de medie putere. În cazul unei bucle deschise de reglaj a turației, performanțele acționării sunt modeste. Se pot obține îmbunătățiri ale performanțelor sistemului de acționare, dacă se utilizează comanda în buclă închisă a sistemului de acționare.

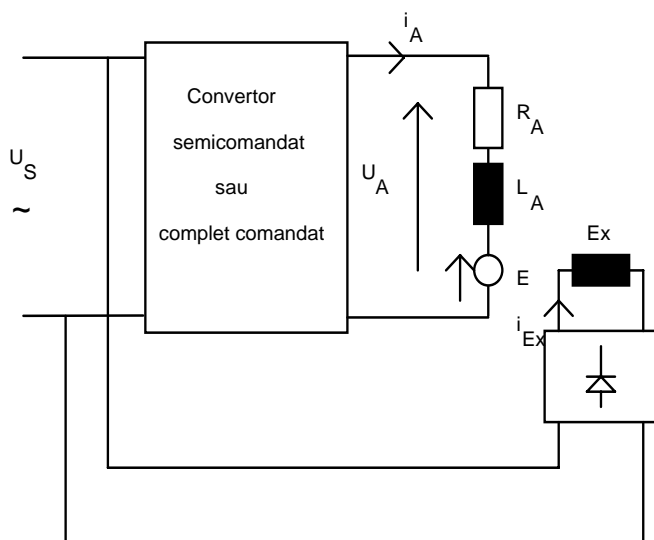


Fig. 4.5. Structura unui sistem de acționare format dintr-o mașină de curent continuu alimentată de la un convertor monofazat.

4.2.1. Ipoteze de lucru

Pentru analiza principului de funcționare a schemei din figura 4.2.f (*cazul convertorului complet comandat*) se considera următoarele ipoteze simplificatoare de lucru:

- ⇒ Curentul de excitație este constant;
- ⇒ Caderea de tensiune pe tiristoarele aflate în conducție este nulă;
- ⇒ Impedanța sursei de alimentare este nulă;
- ⇒ Regimul de funcționare este permanent (*stationar*), cel tranzitoriu fiind neglijat;
- ⇒ Parametrii mașinii de curent continuu (*rezistența și inductivitatea indusului mașinii*) sunt constanți;

- ⇒ Neliniaritățile introduse de funcționarea mașinii de curent continuu în condiții de saturare a circuitului magnetic sunt neglijate;
- ⇒ Momentul de inerție total al sistemului de acționare este suficient de mare, astfel încât turația rotorică se poate considera cu o aproximație suficient de bună ca fiind constantă.

4.2.2. Principiul de funcționare

4.2.2.1. Regimul de funcționare continuă

Formele de undă specifice funcționării sistemului de acționare analizat sunt prezentate în figura 4.6.

Mașina este tot timpul conectată la sursa de alimentare prin intermediul tiristoarelor. Tiristoarele **T1** și **T3** conduc în intervalul $\alpha < \omega t < (\alpha + \pi)$ și se permite conectarea mașinii la sursa de alimentare. La momentul $(\alpha + \pi)$, tiristoarele **T2** și **T4** primesc impuls de comandă. Imediat, tensiunea de alimentare care se aplică tiristoarelor **T1**, **T3** își schimbă semnul și tiristoarele respective nu mai permit circulația curentului, blocându-se. Astfel are loc comutația **naturală** a tiristoarelor. Curentul prin indusul mașinii de curent continuu i_A se va închide acum prin tiristoarele **T2**, **T4**.

În figura 4.7 poate fi observat modul în care variază curentul și tensiunea prin indusul mașinii atunci când unghiul de aprindere al tiristoarelor este mai mare de 90° . Tensiunea medie aplicată mașinii de curent continuu U_A , este negativă. Dacă tensiunea electromotoare indusă a mașinii își schimbă semnul, mașina se va comporta ca un **generator de curent continuu** și va furniza energie sursei de alimentare. Acest fenomen este cunoscut ca funcționarea în regim de **invertor** al convertorului, folosit la frânarea recuperativă a mașinii de curent continuu.

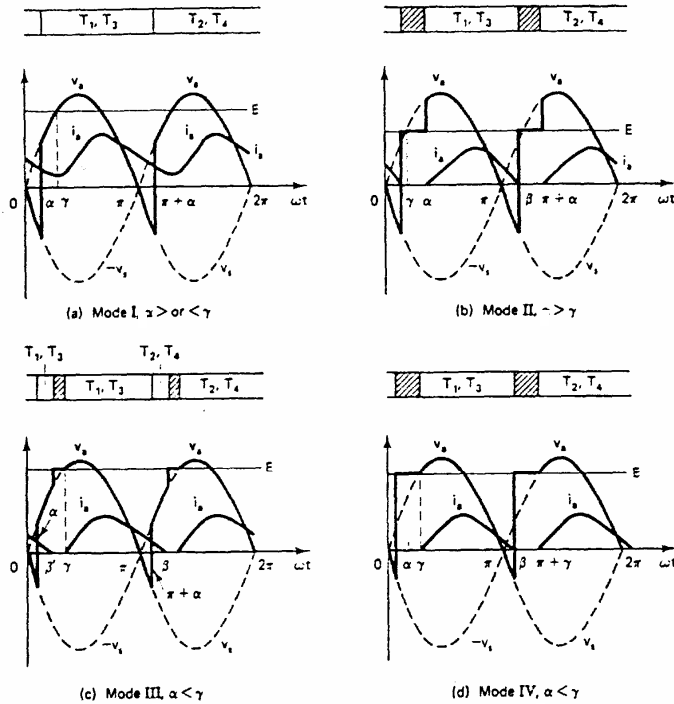


Fig. 4.6. Forme de unda pentru mașina de curent continuu cu excitatie separată alimentată de la un convertor static monofazat complet comandat $\alpha < 90^\circ$.

Caracteristica mecanică:

Pentru un convertor monofazat complet comandat, ecuația de funcționare a sistemului descris în figura 4.5 este:

$$\begin{aligned}
 u_{A\alpha} &= u_S = R_A i_A + L_A \frac{di_A}{dt} + E \quad \alpha < \omega t < \pi + \alpha \\
 \frac{di_A}{dt} &= \frac{1}{L} (u_{A\alpha} - (E + i_A R_A))
 \end{aligned} \tag{4.1}$$

Neglijând caderea de tensiune pe rezistența indusului, $R_{AI}i_A$, curentul prin indus va crește atunci când $u_S > E$ și va scădea în caz contrar.

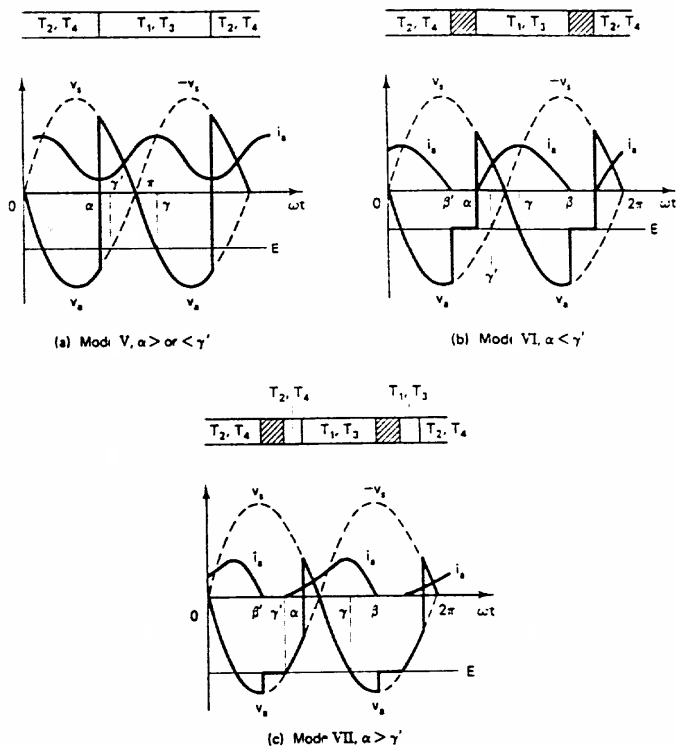


Fig. 4.7. Forme de unda pentru mașina de curent continuu cu excitare

separată alimentată de la un

convertor static monofazat complet comandat $\alpha > 90^\circ$.

Valorile extreme ale curentului prin indusul mașinii sunt atinse la momentele γ și $\pi - \gamma$, unde γ este unghiul corespunzător situației pentru care $u_S = E$.

Fie:

$$u_S = \sqrt{2}U_S \sin \omega t \quad (4.2)$$

Atunci tensiunea medie redresată va fi:

$$U_{A\alpha} = \frac{1}{\pi} \int_{\alpha}^{\pi+\alpha} \sqrt{2} U_S \sin \omega t \, dt = \frac{2\sqrt{2} U_S}{\pi} \cos \alpha \quad (4.3)$$

Relatia de determinare a turatiei rotorice va fi:

$$\Omega = \frac{U_{A\alpha} - R_A I_A}{k\Phi} = \frac{2\sqrt{2} U_S \cos \alpha}{\pi \cdot k\Phi} - \frac{R_A}{(k\Phi)^2} M \quad (4.4)$$

$$M = k\Phi \cdot I_A$$

Primul termen din **relatia ecuatiei caracteristicii mecanice** (*cuplu-turatie*) reprezintă turatia teoretică la mersul în gol (Ω_0). **Al doilea termen** reprezintă valoarea proporțională cu cuplul electromagnetic dezvoltat de către mașina cu care scade turatia. Turatia teoretică de mers în gol depinde de unghiul de aprindere α .

Curentul prin indusul mașinii de curent continuu:

În figura 4.8 este redată reprezentarea fazorială a curentului și a tensiunii de alimentare.

Din figura 4.8 se observă că fazorul spațial al curentului **se află în urma fazorului tensiunii cu unghiul α , unghiul de aprindere al tiristoarelor**. Funcționarea nu este posibilă la unghiuri $\alpha < 0$, deoarece în acest caz tensiunea aplicată tiristoarelor este negativă. Pentru un unghi de comandă al tiristoarelor, $\alpha = \pi/2$, puterea activă este zero, iar puterea reactivă are valoarea maximă. Acest caz este valabil când motorul are turatie scăzută. Puterea pe partea de curent continuu este definită de relația:

$$P_{dc} = U_{A\alpha} \cdot I_A = \frac{2\sqrt{2}}{\pi} U_A I_A \cos \alpha \quad (4.5)$$

Daca se considera caderea de tensiune pe convertorul static egala cu zero (*nu este consumator de putere*), atunci puterea pe partea de curent alternativ corespunzatoare armonicii fundamentale este egala cu puterea pe partea de curent continuu.

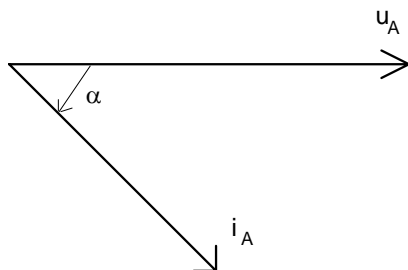


Fig. 4.8. Reprezentarea fazorială a curentului și a tensiunii de alimentare.

Observatie:

Din dezvoltarea în serie Fourier a expresiei curentului prin indusul mașinii se obțin relații care demonstrează egalitatea între puterea pe partea de curent continuu și respectiv pe partea de curent alternativ.

$$I_A = \sum_{i=1}^n A_i \sin(i\omega t)$$

$$A_i = \frac{1}{\pi} \int_0^{2\pi} I_A \sin(i\omega t) d\omega t \quad (4.6.a)$$

$$A_1 = \frac{1}{\pi} \int_0^{2\pi} I_A \sin \tau \, d\tau =$$

$$\frac{I_A}{\pi} \left(\cos \tau \Big|_0^{\alpha} - \cos \tau \Big|_{\alpha}^{\alpha+\pi} + \cos \tau \Big|_{\alpha+\pi}^{2\pi} \right) = \frac{I_A}{\pi} (4 \cos \alpha) \quad (4.6.b)$$

$$I_{A1ef} = \frac{1}{\sqrt{2}} \sqrt{A_1^2} = \frac{1}{\sqrt{2}} \sqrt{\frac{I_A^2 \cdot 4^2}{\pi^2}} = \frac{2\sqrt{2} I_A}{\pi}$$

4.2.2.2. Regimul de functionare discontinua

Pentru valori mici ale unghiului de aprindere α , turatii mari sau valori mici ale cuplului, curentul prin indusul masinii de curent continuu devine discontinuu (*întrerupt*). În acest caz turatia de mers în gol va fi mai mare decât cea din cazul anterior. Performantele masinii se deterioreaza în cazul discontinuitatii curentului prin indusul masinii. Raportul dintre valoarea maxima a curentului si cea medie, respectiv dintre valoarea efectiva si cea medie a curentului, creste. Raspunsul dinamic în timp al masinii devine mai lent. Evitarea functionarii în regim discontinuu se poate realiza fie prin utilizarea unei diode de regim liber în cazul convertoarelor semicomandate, fie prin utilizarea unei inductivitati suplimentare montate în circuitul indusului masinii. În figura 4.9 sunt redade efectele discontinuitatii curentului prin indus în cazul functionarii în regim nominal.

Masina este conectata la sursa de alimentare în intervalul $\alpha < \omega t < \beta$ si este în regim de functionare discontinua pentru intervalul $\beta < \omega t < \alpha + \pi$. Daca în regimul de curent continuu, neîntrerupt, caracteristicile mecanice pot fi determinate din valorile medii ale tensiunii la borne si ale curentului masinii, în cazul regimului de curent discontinuu, calculele devin anevoioase.

Dificultatea apare datorita prezentei **unghiului de stingere β** , în relatia de calcul a tensiunii medii la bornele indusului masinii U_A . Unghiul β depinde de turatia medie Ω , curentul mediu prin indus I_A , si de unghiul de aprindere α .

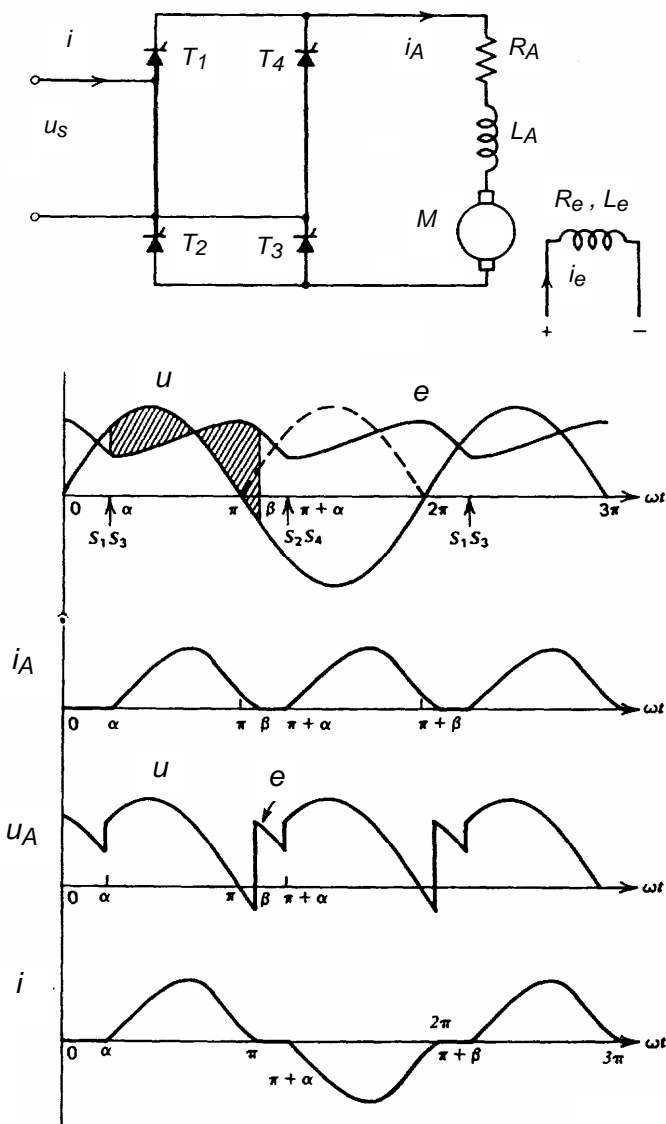


Fig. 4.9. Efectele conductiei discontinue în cazul unui convertor complet comandat.

Astfel, este necesară o abordare generală pentru funcționarea mașinii de curent continuu în orice regim.

4.2.3. Analiza generală a funcționării acționării

Există trei moduri posibile de funcționare: tiristoarele sunt în stare de conducție, regimul de funcționare al diodei de regim liber și funcționarea mașinii fără consum de putere de la sursa de alimentare.

Ecuatiile definitorii sunt:

Modul 1:

Tiristoarele conduc, iar mașina este conectată la sursa de alimentare. Durata acestui mod de funcționare este:

- ♦ Convertor semicomandat $\alpha < \omega t < \pi$ ($\alpha < \omega t < \beta$, dacă $\beta < \pi$);
- ♦ Convertor comandat $\alpha < \omega t < \beta$.

Ecuatia de tensiune este:

$$u_{A\alpha} = \sqrt{2}U_S \sin \omega t = L_A \frac{di_A}{dt} + R_A i_A + k_e \Phi_e \Omega \quad (4.7)$$

Ecuatia de mișcare este:

$$m = k_e \Phi_e j_A = J \frac{d\Omega}{dt} + B\Omega + M_s \quad (4.8)$$

Modul 2:

Regimul de funcționare al diodei de regim liber apare în intervalul $\pi < \omega t < \beta$.

$$\begin{aligned}
 0 &= R_A i_A + L_A \frac{di_A}{dt} + k_e \Phi_e \Omega \\
 m &= k_e \Phi_e i_A = J \frac{d\Omega}{dt} + B\Omega + M_S
 \end{aligned}
 \tag{4.9}$$

Dacă $\beta < \pi$, modul 2 de funcționare nu apare.

Modul 3:

Motorul funcționează fără să absoarbă energie de la sursa de alimentare în intervalul $\beta < \omega t < \pi + \alpha$.

$$\begin{aligned}
 i_A &= 0 \\
 0 &= J \frac{d\Omega}{dt} + B\Omega + M_S
 \end{aligned}
 \tag{4.10}$$

Pentru analiza performanțelor mașinii de curent continuu cu excitație independentă alimentată de la convertor static, se pot folosi două metode: **numerică** și **analitică**.

4.2.3.1. Metoda numerică

În cazul metodei numerice, mașina este considerată inițial oprită. Turatia și curentul mașinii sunt calculate pe parcursul fiecărui ciclu până când se atinge regimul de funcționare staționar, prin rezolvarea ecuațiilor potrivite și folosirea metodei de aproximare de ordinul patru, *Runge-Kutta*. Ecuațiile caracteristice diferitelor moduri de operare sunt următoarele:

Modul 1:

$$\frac{di_A}{dt} = \frac{\sqrt{2}U_S \sin \omega t}{L_A} - \frac{R_A}{L_A} i_A - \frac{k_e \Phi_e}{L_A} \Omega = f_{11}(i_A, \Omega)
 \tag{4.11.a}$$

$$\frac{d\Omega}{dt} = \frac{k_e \Phi_e}{J} i_A - \frac{B}{J} \Omega - \frac{M_S}{J} = f_{21}(i_A, \Omega) \quad (4.11.b)$$

Modul 2:

$$\begin{aligned} \frac{di_A}{dt} &= -\frac{R_A}{L_A} i_A - \frac{k_e \Phi_e}{L_A} \Omega = f_{12}(i_A, \Omega) \\ \frac{d\Omega}{dt} &= \frac{k_e \Phi_e}{J} i_A - \frac{B}{J} \Omega - \frac{M_S}{J} = f_{22}(i_A, \Omega) \end{aligned} \quad (4.12)$$

Modul 3:

$$\begin{aligned} i_A &= 0 = f_{13}(i_A, \Omega) \\ \frac{d\Omega}{dt} &= -\frac{B}{J} \Omega - \frac{M_S}{J} = f_{23}(i_A, \Omega) \end{aligned} \quad (4.13)$$

Performantele mașinii de curent continuu pot fi analizate prin această metodă atât în regim dinamic, cât și în regim staționar. Totuși, dacă pentru regimul dinamic metoda este foarte utilă, pentru regimul staționar sunt necesare mai multe cicluri de calcul, ceea ce duce la un timp de procesare pe calculator destul de mare.

4.2.3.2. Metoda analitică

În cazul metodei analitice, se presupune că turatia mașinii are valoarea corespunzătoare regimului de funcționare staționar și se vor considera doar ecuațiile definitorii pentru tensiunea la bornele indusului. De asemenea, se pot deduce expresii analitice pentru curentul prin indusul mașinii. Prin metoda analitică, regimul de funcționare staționar necesită doar câteva iterații de calcul.

Dacă există regimul de curent discontinuu și în momentul aprinderii tiristorului, tensiunea sursei este mai mică decât valoarea tensiunii electromotoare induse

(respectiv $u_A(\alpha) < e$) atunci tiristorul nu va intra în conducție la momentul α . Conducția va apărea doar dacă $u_A(\alpha)$ este egală sau mai mare decât e .

Dacă se notează unghiul la care tiristorul intră în conducție cu θ_S , atunci se vor obține relații în conformitate cu fiecare mod de lucru.

Modul 1:

Tiristoarele sunt în conducție, dacă:

$$\begin{aligned} \theta_S < \omega t < \beta & \text{ pentru convertor complet comandat} \\ \theta_S < \omega t < \pi & \text{ pentru convertor semicomandat} \end{aligned} \quad (4.14)$$

$$(\theta_S < \omega t < \beta \text{ pentru } \beta < \pi)$$

Ecuatia de tensiune este:

$$\sqrt{2}U_S \sin \omega t = L_A \frac{di_A}{dt} + R_A i_A + E \quad (4.15)$$

Soluția pentru curentul prin indus este:

$$\begin{aligned} i_A &= \frac{\sqrt{2}U_S}{Z} \sin(\omega t - \theta_Z) - \frac{E}{R_A} + A_1 e^{-(R_A/L_A)t} \\ Z &= [R_A^2 + (\omega L_A)^2]^{1/2} \\ \theta_Z &= \operatorname{tg}^{-1} \left(\frac{\omega L_A}{R_A} \right) \end{aligned} \quad (4.16)$$

unde A_1 este o constantă.

Primul termen al expresiei curentului prin indus reprezintă componenta datorată tensiunii de alimentare a convertorului static. Cel de **al doilea termen** este datorat tensiunii electromotoare induse, care tinde să injecteze un

curent de sens opus direcției considerate pozitive a curentului i_A . Al treilea termen reprezintă o componentă tranzitorie a curentului.

Fie valoarea curentului i_A la momentul $\theta_S = \omega t$ data de I_{AS} . Se obține:

$$\begin{aligned}
 I_{AS} &= \frac{\sqrt{2}U_S}{Z} \sin(\theta_S - \theta_Z) - \frac{E}{R_A} + A_1 e^{-(R_A/L_A)\theta_S} \\
 A_1 &= \left[I_{AS} - \frac{\sqrt{2}U_S}{Z} \sin(\theta_S - \theta_Z) + \frac{E}{R_A} \right] e^{(R_A/L_A)\theta_S} \\
 i_A &= \frac{\sqrt{2}U_S}{Z} \left[\sin(\omega t - \theta_Z) - \sin(\theta_S - \theta_Z) e^{(R_A/\omega L_A)(\theta_S - \omega t)} \right] \\
 &+ \frac{E}{R_A} (e^{(R_A/\omega L_A)(\theta_S - \omega t)} - 1) + I_{AS} e^{(R_A/\omega L_A)(\theta_S - \omega t)}
 \end{aligned} \tag{4.17}$$

Modul 2:

Acțiunea diodei de regim liber este prezentă în cazul convertoarelor semicomandate, în intervalul $\pi < \omega t < \beta$.

În acest caz ecuația de tensiune este:

$$0 = L_A \frac{di_A}{dt} + R_A i_A + E \tag{4.18}$$

Soluția pentru curentul i_A va fi:

$$i_A = A_2 e^{-(R_A/\omega L_A)\omega t} - \frac{E}{R_A} \tag{4.19}$$

unde A_2 este o constantă.

Valoarea lui i_A la momentul $\omega t = \pi$ se poate determina din relațiile anterioare. Fie $i_A(\pi) = I_{A\pi}$. Avem expresiile:

$$I_{A\pi} = A_2 e^{-(R_A/\omega L_A)\pi} - \frac{E}{R_A}$$

$$A_2 = \left(I_{A\pi} + \frac{E}{R_A} \right) e^{(R_A/\omega L_A)\pi} \quad (4.20)$$

$$i_A = I_{A\pi} e^{(R_A/\omega L_A)(\pi - \omega t)} + \frac{E}{R_A} \left(e^{(R_A/\omega L_A)(\pi - \omega t)} - 1 \right)$$

Modul 2 de lucru nu este posibil dacă unghiul de stingere $\beta < \pi$. Acest mod de funcționare nu apare în cazul convertoarelor complet comandate.

Modul 3:

Motorul funcționează fără să absoarbă energie de la sursa de alimentare, în intervalul $\beta < \omega t < \pi + \alpha$.

$$i_A = 0 \quad (4.21)$$

Curentul prin sursă

Modul 1:

convertor semicomandat	$i = i_A$	$\theta_S < \omega t < \pi$
convertor complet comandat	$i = i_A$	$\theta_S < \omega t < \beta$
convertor semicomandat	$i = -i_A$	$\pi + \theta_S < \omega t < 2\pi$
convertor complet comandat	$i = -i_A$	$\pi + \theta_S < \omega t < \pi + \beta$

(4.22)

Modurile 2 și 3:

$$i_A = 0 \quad (4.23)$$

4.2.4. Evaluarea performanțelor

Calitatea unui sistem de acționare cu mașina de curent continuu cu excitație independentă alimentată de la un convertor static monofazat este analizată în figura 4.10. Există următoarele situații:

$$0 < \alpha < \pi/2$$

Valoarea maxima teoretica a tensiunii electromotoare E este $\sqrt{2}U_S$. Turatia masinii va fi astfel încât $E > \sqrt{2}U_S \sin \alpha$ sau $E < \sqrt{2}U_S \sin \alpha$.

1. Daca $E > \sqrt{2}U_S \sin \alpha$, dupa cum se vede din figura 4.10, tiristorul nu va intra în conductie la momentul α . Conductia va apare la momentul θ_S unde:

$$\theta_S = \arcsin \frac{E}{\sqrt{2}U_S} \quad (4.24.a)$$

Folosind aceasta valoare a lui θ_S , calculul curentului se poate realiza, iar daca i_A la momentul $\pi + \alpha$ este mai mic sau egal cu zero, atunci apare regimul de curent discontinuu si nu mai este necesara o calculatie ulterioara, deoarece urmatoarea jumatate de perioada va începe în aceleasi conditii initiale de aprindere pentru tiristorul urmator. Regimul de functionare stationar va fi atins într-o jumatate de perioada.

Daca la momentul $\pi + \alpha$ curentul este pozitiv, atunci tiristorul urmator va intra în conductie chiar daca tensiunea electromotoare E este mai mare decât cea a sursei de alimentare.

Se observa ca la momentul $\pi + \theta_S$, curentul prin indus poate avea valori negative sau pozitive.

În primul caz, al curentului negativ sau egal cu zero (*tensiunea electromotoare E este mai mare decât tensiunea sursei*), conditiile initiale la $\pi + \theta_S$ si θ_S sunt identice. Curentul este discontinuu, iar regimul de functionare stationar se atinge dupa jumatate de perioada.

În al doilea caz, al curentului pozitiv, regimul de curent continuu (*neîntrerupt*) va duce la atingerea functionarii stationare dupa câteva jumatati de perioada.

2. Dacă $E < \sqrt{2}U_S \sin \alpha$, atunci tiristoarele vor intra în conducție la momentul α , astfel $\alpha = \theta_S$. Calculul pentru astfel de unghiuri de aprindere și turatii va fi mai puțin complicat.

$$\pi/2 < \alpha < \pi$$

Valoarea maxima teoretica a tensiunii electromotoare E va fi:

$$E_{max} = \sqrt{2}U_S \sin \alpha \quad (4.24.b)$$

Tiristoarele vor intra în conducție pentru orice valoare a unghiului $\theta_S = \alpha$, dacă turatia motorului este mai mica decât cea corespunzătoare tensiunii electromotoare maxime.

4.3. ÎMBUNĂTĂȚIREA FACTORULUI DE PUTERE

Convertoarele statice, care permit controlul unghiului de defazaj între curent și tensiune, sunt utilizate pe scară largă deoarece au o construcție simplă, puțin costisitoare, sunt fiabile și nu necesită circuit de comutație. Totuși, factorul de putere al sursei de alimentare este scăzut atunci când tensiunea de ieșire a convertorului este sub valoarea maximă, ceea ce înseamnă că valoarea unghiului de aprindere este mare. Odată cu creșterea valorii unghiului de aprindere, defazajul dintre tensiunea sursei și curent crește și convertorul absoarbe mai multă putere reactivă, ducând astfel la scăderea factorului de putere.

Sistemele de acționari cu convertoare semicomandate furnizează un factor de putere mai bun decât cele complet comandate, deși îmbunătățirea nu este foarte importantă. Funcționarea la factor de putere scăzut este o problemă majoră pentru sistemele de acționari cu turatie reglabila sau în aplicațiile de mare putere. În următoarele paragrafe sunt analizate diferite tehnici de îmbunătățire a factorului de

putere. Pentru o analiza simplificata se considera: **curentul constant prin indusul masinii, iar sursa de tensiune alternativa este ideala (fara impedanta interna).**

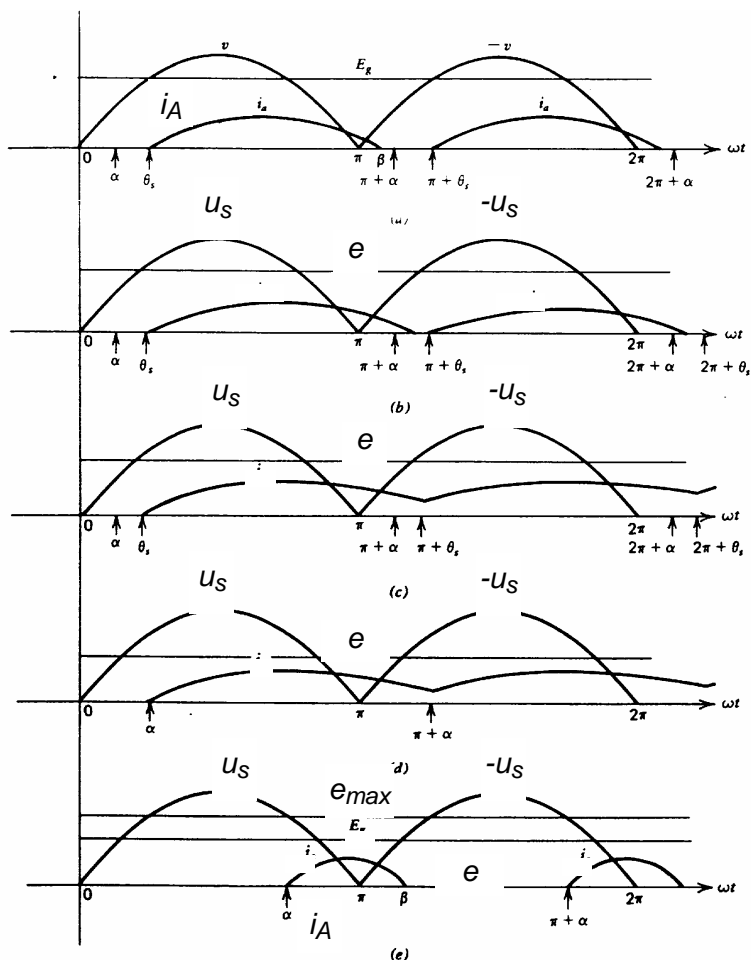


Fig. 4.10. Forme de unda ale curentului prin indusul masinii si ale tensiunii electromotoare pentru diverse unghiuri de comanda.

4.3.1. Controlul unghiului de defazaj

Anumite caracteristici de performanță sunt studiate pentru a putea compara diferite tehnici de îmbunătățire a factorului de putere. Amplitudinea curentului sursei este egală cu cea a curentului prin indus.

4.3.1.1. Convertor complet comandat

Tensiunea medie redresată este:

$$U_{A\alpha} = \frac{1}{\pi} \int_{\alpha}^{\alpha+\pi} \sqrt{2} U_S \sin \omega t \, d(\omega t) = \frac{2\sqrt{2} U_S}{\pi} \cos \alpha = U_{Amax} \cos \alpha \quad (4.25)$$

Dacă se ia ca bază de raportare pentru unități relative U_{Amax} avem:

$$u_A = \cos \alpha \quad (u.r.) \quad (4.26)$$

Curentul efectiv al sursei este:

$$I = I_A \quad (4.27)$$

Curentul sursei I poate fi reprezentat sub forma unei descompuneri în serie Fourier. Componenta constantă este:

$$I_0 = \frac{1}{2\pi} \int_{\alpha}^{2\pi+\alpha} i \, d(\omega t) = 0 \quad (4.28)$$

Coeficienții Fourier sunt:

$$\begin{aligned} a_n &= \frac{1}{\pi} \left[\int_{\alpha}^{2\pi+\alpha} i \cos n \omega t \, d(\omega t) \right] \quad (4.29.a) \\ &= \frac{1}{\pi} \left[\int_{\alpha}^{\pi+\alpha} I_A \cos n \omega t \, d(\omega t) + \int_{\pi+\alpha}^{2\pi+\alpha} -I_A \cos n \omega t \, d(\omega t) \right] \\ &= \frac{2I_A}{n\pi} [\sin n(\pi + \alpha) - \sin n\alpha] \end{aligned}$$

$$\begin{aligned}
 b_n &= -\frac{1}{\pi} \left[\int_{\alpha}^{2\pi+\alpha} i \sin n\omega t d(\omega t) \right] \\
 &= \frac{2I_A}{n\pi} [\cos n\alpha - \cos n(\pi + \alpha)]
 \end{aligned} \tag{4.29.b}$$

Din ecuațiile de mai sus rezulta ca pentru armonicile pare coeficienții a_n și b_n sunt zero, datorită simetriei formelor de undă ale curentului sursei (*punctul (b) al figurii de mai sus*). Pentru armonicile impare avem:

$$\begin{aligned}
 a_n &= -\frac{4I_A}{n\pi} \sin n\alpha \\
 b_n &= \frac{4I_A}{n\pi} \cos n\alpha
 \end{aligned} \tag{4.29.c}$$

Armonica a n -a a curentului este:

$$I_n = \left(\frac{a_n^2 + b_n^2}{2} \right)^{1/2} = \frac{2\sqrt{2}I_A}{n\pi} \tag{4.30}$$

Unghiul de defazaj pentru armonica a n -a este:

$$\phi_n = \operatorname{tg}^{-1} \frac{a_n}{b_n} = -n\alpha \tag{4.31}$$

Unghiul de defazaj al fundamentalei este egal cu unghiul de aprindere al tiristoarelor, $\phi_1 = -\alpha$. Semnul negativ indică faptul că **fundamentală curentului se afla defazată în urma tensiunii sursei de alimentare**.

Factorul de putere este:

$$FP = \frac{U_S I_1 \cos \phi_1}{U_S I} = \frac{2\sqrt{2}}{\pi} \cos \alpha \tag{4.32}$$

Factorul de deplasare (*factor de putere al fundamentalei*) este:

$$FD = \cos \phi_1 = \cos \alpha \quad (4.33)$$

De aceea atât factorul de putere, cât și cel de deplasare scad odata cu creșterea unghiului de aprindere al tiristoarelor. Factorul de armonica care indica continutul în armonici al curentului sursei de alimentare și masoara gradul de distorsionare al curentului de intrare este:

$$FH = \frac{(I^2 - I_1^2)^{1/2}}{I_1} = \frac{\left(\sum_{n=2}^{\infty} I_n^2 \right)^{1/2}}{I_1} = 0,4834 \quad (4.34)$$

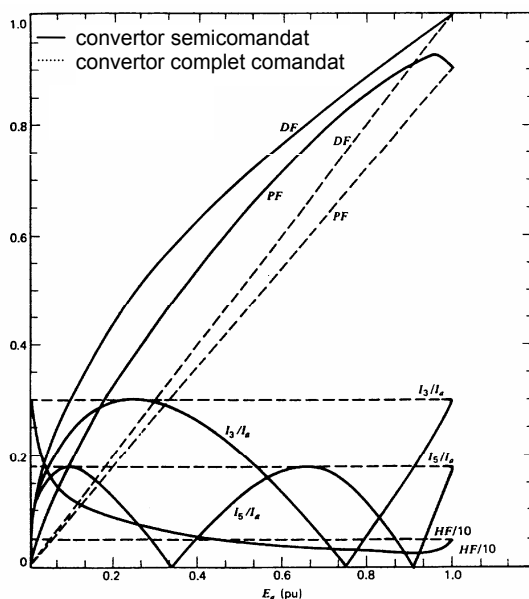


Fig. 4.11. Caracteristicile de performanta pentru actionarile cu convertoare monofazate semicomandate sau complet comandate.

4.3.1.2. Convertor semicomandat

Tensiunea medie redresata este:

$$\begin{aligned}
 U_{A\alpha} &= \frac{1}{\pi} \int_{\alpha}^{\pi} \sqrt{2} U_S \sin \omega t \, d(\omega t) = \frac{\sqrt{2} U_S}{\pi} (1 + \cos \alpha) \\
 &= \frac{1}{2} (1 + \cos \alpha) \text{ (u.r.)}
 \end{aligned} \tag{4.35}$$

Din cauza simetriei armonicile pare sunt absente. Coeficientii Fourier și alți parametri sunt:

$$\begin{aligned}
 a_n &= \frac{2}{\pi} \int_{\alpha}^{\pi} I_A \cos n \omega t \, d(\omega t) = -\frac{2 I_A}{n \pi} \sin n \alpha \\
 b_n &= \frac{2}{\pi} \int_{\alpha}^{\pi} I_A \sin n \omega t \, d(\omega t) = \frac{2 I_A}{n \pi} (1 + \cos n \alpha) \\
 I_n &= \frac{2 \sqrt{2} I_A}{n \pi} \cos \frac{n \alpha}{2} \\
 \phi_n &= -\frac{n \alpha}{2} \\
 I &= \left[\frac{1}{\pi} \int_{\alpha}^{\pi} I_A^2 d(\omega t) \right]^{1/2} = I_A \left(1 - \frac{\alpha}{\pi} \right)^{1/2} \\
 FP &= \frac{\sqrt{2} (1 + \cos \alpha)}{\pi \left(1 - \frac{\alpha}{\pi} \right)^{1/2}} \\
 FD &= \cos \frac{\alpha}{2} \\
 FH &= \left[\frac{\pi (\pi - \alpha)}{4 (1 + \cos \alpha)} - 1 \right]^{1/2}
 \end{aligned} \tag{4.36}$$

Variațiile factorului de putere, ale factorului de deplasare, ale factorului de armonică și ale armonicilor a treia și a cincea ale curentului sunt arătate în figura 4.11 în funcție de tensiunea medie redresată. Curentul prin indusul mașinii este luat ca baza de raportare. Factorul de putere și de deplasare scad odată cu creșterea unghiului de aprindere

(scaderea tensiunii medii redresate) pentru ambele cazuri: **convertor static semicomandat**, **convertor static complet comandat**.

Armonicile de ordin superior care apar la turatii joase pot fi filtrate de obicei cu ușurinta.

4.3.2. Functionarea convertoarelor monofazate semicomandate în regim complet comandat

Convertorul static semicomandat este în general folosit atunci când nu este necesara o frânare recuperativa a mașinii de curent continuu. Criteriile sunt: costul și performantele mai bune (*factor de putere*). Daca totuși se solicita o frânare recuperativa, atunci se utilizeaza convertoare statice complet comandate. Cu pretul unei complexitati sporite a circuitului logic de control al convertorului semicomandat, poate fi folosit și acesta la frânari recuperative de energie. Principiul de functionare este prezentat în figura 4.12.

Pentru **regimul de redresor** al convertorului (*tensiune de ieșire pozitiva*), tiristoarele **T3** și **T4** primesc impuls de comanda pe grila pe întreaga semiperioada când tensiunea de alimentare este pozitiva, respectiv negativa. Tiristoarele **T2** și **T4** lucreaza ca niște diode pe semiperioada respectiva. Amplitudinea tensiunii redresate se regleaza cu ajutorul unghiului de aprindere al tiristoarelor **T1** și **T2**.

Pentru regimul de inverter al convertorului (*tensiune de ieșire negativa*) tiristoarele **T1** și **T2** primesc impuls de comanda pe grila pentru semiperioada când tensiunea de alimentare este negativa, respectiv pozitiva. Amplitudinea tensiunii redresate se regleaza cu ajutorul unghiului de aprindere al tiristoarelor **T3** și **T4**.

În momentul în care doua tiristoare de pe același brat al puntii (*de exemplu T1 cu T4, sau T2 cu T3*) conduc, prin ele se închide curentul specific functionarii în regim liber, iar tensiunea de ieșire este zero. Natura tensiunii de la bornele motorului u_A și a curentului sursei i este aceeași ca la sistemele de actionari cu convertor semicomandat.

Performantele sunt îmbunătățite cu pretul unui circuit de control logic ceva mai complicat.

Alta interpretare a schemei de control anterioara este urmatoarea:

- În modul de functionare în regim de **redresor**, unghiul de aprindere al gupului negativ de tiristoare (*de exemplu T3 și T4*) este mentinut la valoarea zero. De aceea, atunci când unghiul de aprindere al grupului pozitiv de tiristoare (*T1 și T2*) este zero, tensiunea de ieșire a convertorului este maxim pozitiva. Când acest unghi este 180° , tensiunea de ieșire este zero.
- În modul de functionare în regim de **invertor**, unghiul de aprindere al grupului pozitiv de tiristoare este mentinut la 180° , iar atunci când unghiul de aprindere al grupului negativ de tiristoare este de asemenea 180° , tensiunea de ieșire a convertorului va atinge valoarea sa maxim negativa. În practica, unghiul de aprindere trebuie limitat la valori mai mici de 180° pentru a se putea crea a marja necesara realizarii procesului de comutatie a tiristoarelor. Aceasta interpretare permite o înțelegere mai ușoara a functionarii convertoarelor statice trifazate complet comandate, unde acest tip de control al aprinderii tiristoarelor este denumit **control secvential**. Aceasta schema de control, deși îmbunătățește factorul de putere atât la convertoarele monofazate cât și la cele trifazate, nu este recomandat pentru cele trifazate din urmatoarele motive:

1. Armonicile pare ale curentului sunt prezente în spectrul curentului de linie al sursei de alimentare;
2. Armonica a treia apare în continutul de armonici al curentului de ieșire;

3. Exista pericolul unei comutații incorecte între tiristoare.

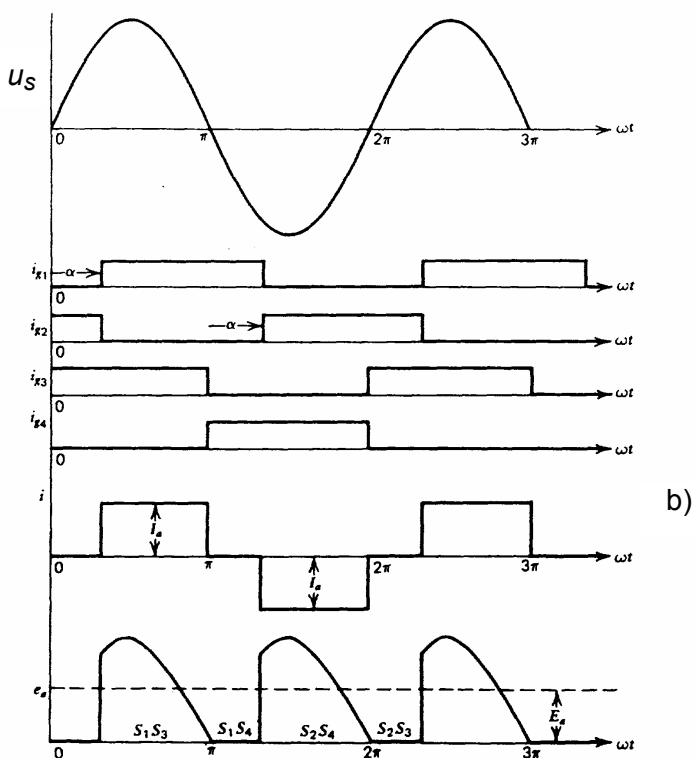
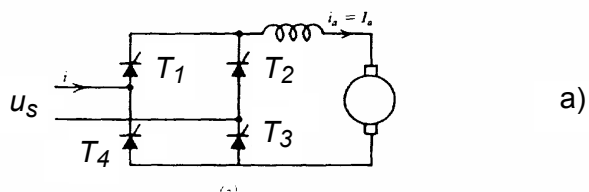


Fig. 4.12. Funcționarea unui convertor complet comandat în regim de convertor semicomandat: a) schema circuitului de forță; b) formele de unda pentru regim inverter.

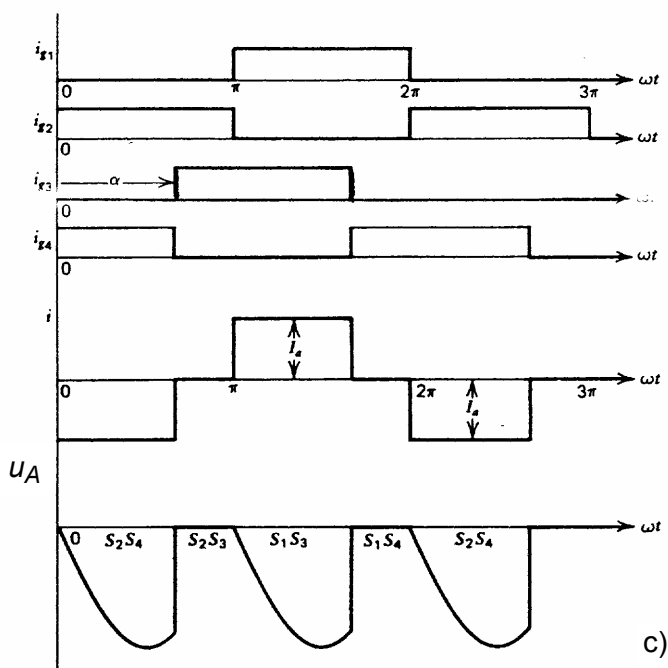


Fig. 4.12. Funcționarea unui convertor complet comandat în regim de convertor semicomandat: a). schema circuitului de forță; b). formele de unda pentru regim inverter.

4.3.3. Comanda asimetrică a tiristoarelor

O altă posibilitate de îmbunătățire a factorului de putere este cunoscută sub numele de **comanda asimetrică a tiristoarelor**, ilustrată în figura 4.13.c.

În această schemă, tiristoarele sunt comandate la diverse valori ale unghiului de aprindere, unde la fel ca la schema cu unghiuri de aprindere simetrică, ambele tiristoare primesc impuls de comandă pe poarta la același unghi de aprindere. De exemplu, dacă este necesară o tensiune de ieșire de **0,5 u.r.**, tiristoarele sunt comandate la unghiul $\alpha = 90^\circ$ în schema de aprindere simetrică (figura 4.13.b).

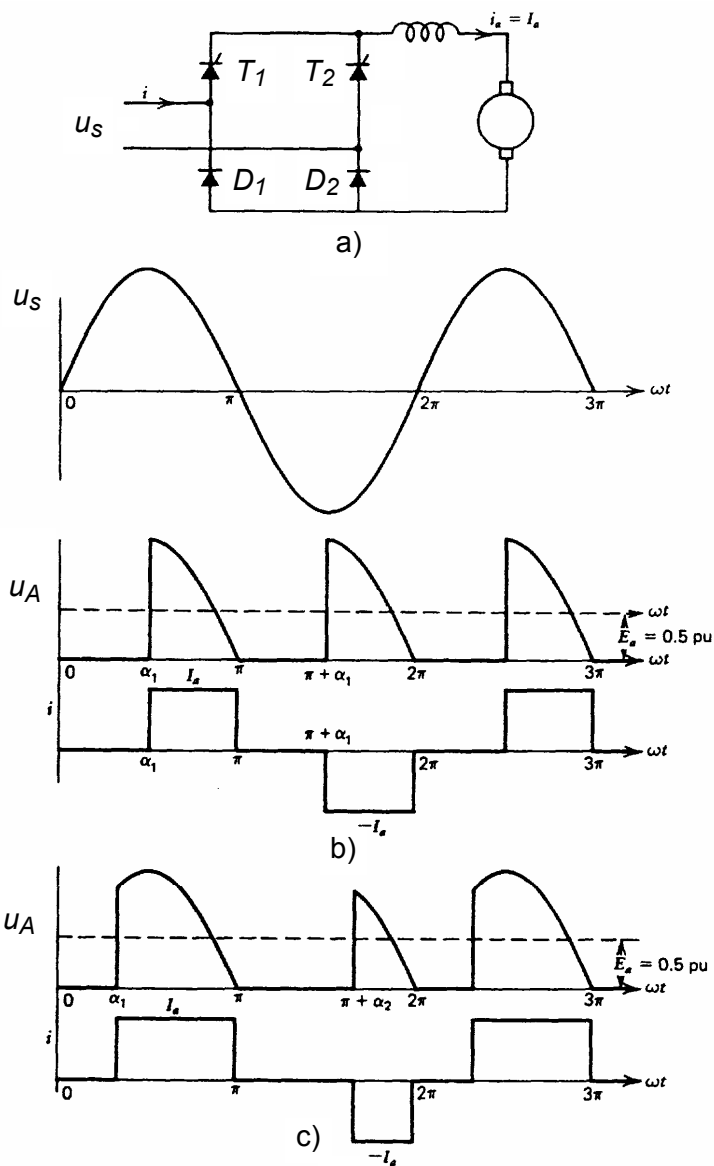


Fig. 4.13. Comanda asimetrică și simetrică a tiristoarelor:
a) schema circuitului; b) comanda simetrică; c) comanda asimetrică.

Pentru obtinerea aceleiași tensiuni de ieșire în cazul schemei unei comenzi asimetrice, dacă tiristorul **T1** este comandat la unghiul $\alpha_1 = 60^\circ$, atunci tiristorul **T2** este comandat la unghiul $\alpha_2 = 120^\circ$.

Deoarece unul dintre tiristoare este comandat la o valoare mai mică a unghiului de aprindere, factorul de putere este îmbunătățit în cazul unei comenzi asimetrice. Totuși, aprinderea asimetrică prezintă câteva dezavantaje. Generează armonici pare și o componentă de curent continuu în spectrul curentului de linie al sursei de alimentare. Componenta de curent continuu poate fi totuși eliminată, dacă unghiurile de comanda (*aprindere*) sunt alternate în cicluri succesive. Dacă inductivitatea totală din circuitul indusului mașinii nu este suficient de mare, aprinderea asimetrică a tiristoarelor duce la obținerea unui curent discontinuu și cu amplitudine vârf la vârf foarte mare.

Dezavantajele acestei metode fiind mai mari decât avantajele (*ușoară creștere a factorului de putere*), metoda aprinderii asimetrice a tiristoarelor prezintă doar interes teoretic.

4.3.4. Comutație forțată

La convertoarele statice conventionale, un tiristor este comutat de tensiunea de linie atunci când următorul tiristor este aprins. Totuși, dacă fiecare tiristor are propriul său circuit de comutație, atunci comutația se poate realiza în orice moment dorit. În figura 4.14.a simbolul din interiorul patratului cu linii punctate reprezintă un tiristor împreună cu circuitul său de comutație. Acest circuit este realizat cu ajutorul unui chopper care poate fi deschis sau închis la momentul dorit.

Există trei scheme de control mai des utilizate pentru realizarea comutației forțate a tiristoarelor.

4.3.4.1. Extinderea unghiului de control

În schema de extindere a unghiului de control, prezentată în figura 4.14.b, tiristorul **T1** este aprins la 0° și

stins la unghiul β . Tensiunea medie redresată se modifică odată cu modificarea unghiului β . Armonica fundamentală i_1 a curentului sursei i este defazată înaintea tensiunii sursei. Factorul de deplasare este pozitiv, ceea ce permite o compensare a caderilor de tensiune pentru tensiunea de linie.

Pentru acest caz, sunt valabile următoarele ecuații pentru diverși parametri:

$$\begin{aligned} U_A &= \frac{1}{2}(1 - \cos\beta) \text{ (u.r.)} \\ I &= I_A \sqrt{\frac{\beta}{\pi}} \\ I_n &= \frac{2\sqrt{2}I_A}{n\pi} \sin\frac{n\beta}{2}; \quad n = 2k + 1 \end{aligned} \quad (4.37)$$

$$\begin{aligned} \phi_n &= n\left(\frac{\pi}{2} - \frac{\beta}{2}\right); \quad n = 2k + 1 \\ U_A &= \frac{1}{2}(1 - \cos\beta) \text{ (u.r.)} \\ I &= I_A \sqrt{\frac{\beta}{\pi}} \\ I_n &= \frac{2\sqrt{2}I_A}{n\pi} \sin\frac{n\beta}{2}; \quad n = 2k + 1 \\ \phi_n &= n\left(\frac{\pi}{2} - \frac{\beta}{2}\right); \quad n = 2k + 1 \end{aligned} \quad (4.38)$$

$$\begin{aligned} FP &= \frac{\sqrt{2}(1 - \cos\beta)}{\sqrt{\pi\beta}} \\ FD &= \sin\frac{\beta}{2} \\ FH &= \left[\frac{\pi\beta}{4(1 - \cos\beta)} - 1 \right]^{1/2} \end{aligned} \quad (4.39)$$

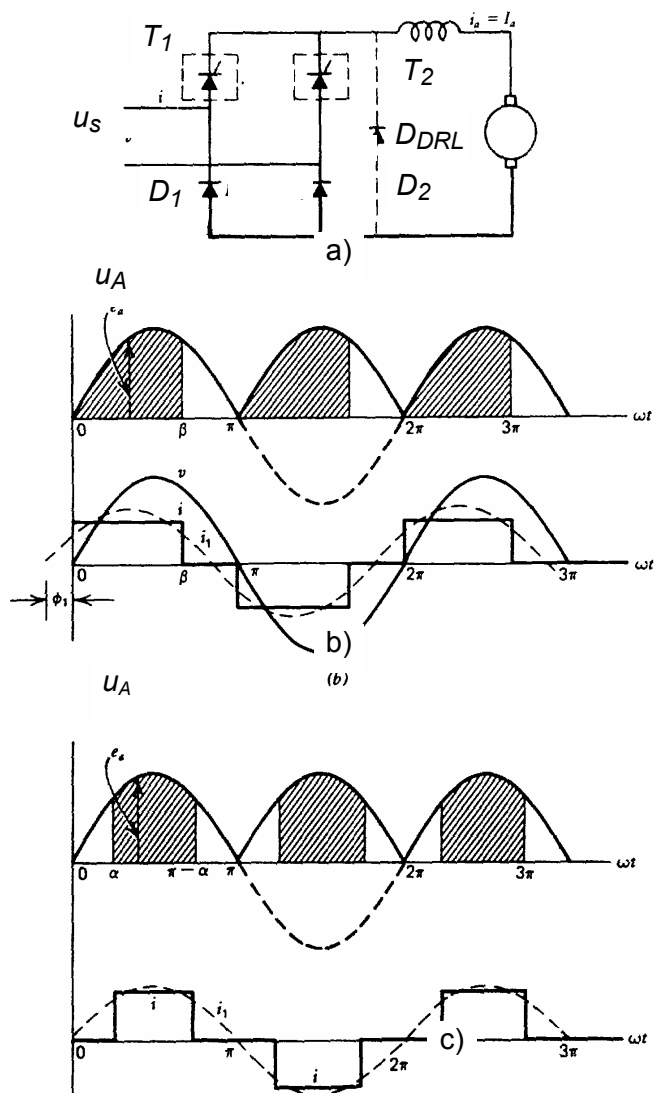


Fig. 4.14. Comutarea forțată pentru îmbunătățirea factorului de putere:

- a) Circuit de forță; b) Extinderea unghiului de control;
c) Unghi de control simetric.

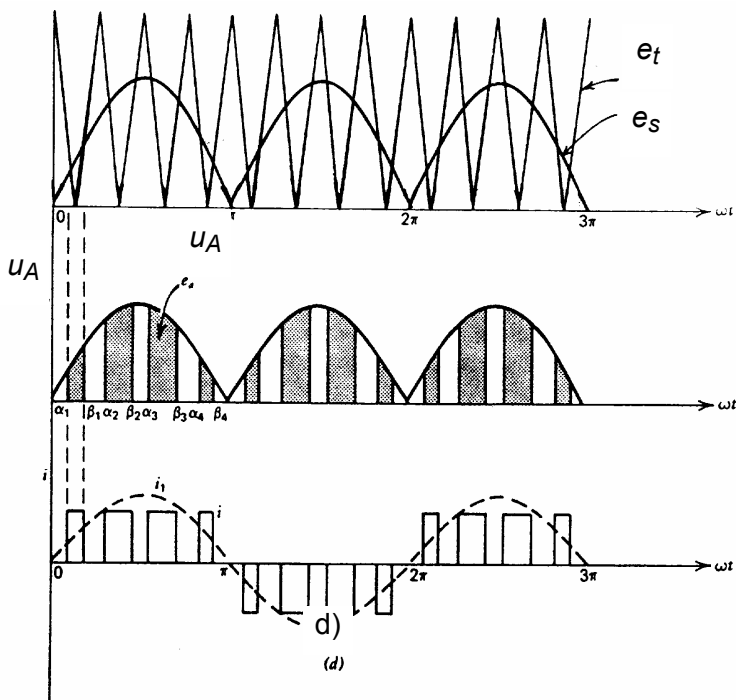


Fig. 4.14. Comutarea forțată pentru îmbunătățirea factorului de putere:

d) Modularea în latime a pulsului.

4.3.4.2. Unghi de control simetric

În această schema de control (figura 4.14.c), tiristorul **T1** este aprins la momentul α și stins la momentul $\pi - \alpha$. Expresiile pentru parametrii cei mai importanți sunt:

$$\begin{aligned}
 U_A &= \cos \alpha \quad (u.r.) \\
 I &= I_A \left(1 - \frac{2\alpha}{\pi} \right)^{1/2} \\
 I_n &= \frac{2\sqrt{2}I_A}{n\pi} \cos n\alpha; \quad n = 2k \\
 \phi_n &= 0
 \end{aligned}
 \tag{4.40}$$

$$\begin{aligned}
 FP &= \frac{2\sqrt{2}\cos\alpha}{\pi\left(1-\frac{2\alpha}{\pi}\right)^{1/2}} \\
 FD &= 1 \\
 FH &= \left[\frac{\pi(\pi-2\alpha)}{8\cos^2\alpha} - 1\right]^{1/2}
 \end{aligned} \tag{4.41}$$

În aceasta metoda, fundamentala curentului i_1 este în faza cu tensiunea de alimentare. Astfel, factorul de deplasare este unitar, iar factorul de putere este îmbunătățit.

4.3.4.3. Modularea lățimii pulsului (PWM)

La metodele discutate anterior, curentul de alimentare este format dintr-un puls pe jumătate de perioadă, iar ordinul minim al armonicilor este trei. Armonicile de ordin inferior sunt greu de filtrat. Dacă numărul de pulsuri de curent pe semiperioadă este mai mare de unu, atunci armonicile de ordin inferior pot fi eliminate sau reduse. La metoda modularii în lățime a pulsurilor de curent (*PWM - Pulse Width Modulation*) un tiristor este aprins și stins de câteva ori pe parcursul unei jumătăți de perioadă (*figura 4.14.d*).

Lățimea pulsurilor este variată pentru a putea realiza modificarea tensiunii de ieșire. Armonicile de ordin inferior pot fi eliminate prin selectarea tipului de modulație pentru lățimea pulsului și numărul de pulsuri pe o semiperioadă. Armonicile de ordin superior pot crește, dar eliminarea lor se face cu ușurință prin filtre.

În figura 4.14.d este ilustrată o tehnică de control sinusoidală a lățimii pulsurilor de curent. Semnalele de comandă ale tiristoarelor sunt obținute prin compararea unei tensiuni triunghiulare e_t cu o tensiune redresată sinusoidală e_s , care este în fază cu tensiunea de alimentare u . Tensiunea

de ieșire u_A este variată prin schimbarea amplitudinii e_s sau a factorului de modulare m definit ca:

$$m = \frac{\text{amplitudinea lui } e_s}{\text{amplitudinea lui } e_t} \quad (4.42)$$

Pentru obtinerea diversilor parametri, momentele de aprindere (α) și de stingere (β) ale tiristoarelor sunt obținute prin folosirea metodei de integrare **Newton-Raphson** pentru rezolvarea ecuațiilor date de intersectarea semnalelor e_s și e_t .

Astfel, se pot determina relațiile:

$$\begin{aligned} U_A &= \frac{1}{\pi} \int_0^\pi u_A d(\omega t) \\ &= \frac{\sqrt{2}U_S}{\pi} \sum_{k=1}^p \int_{\alpha_k}^{\beta_k} \sin \omega t d(\omega t) \\ &= \frac{1}{2} \sum_{k=1}^p (\cos \alpha_k - \cos \beta_k) \quad (u.r.) \end{aligned} \quad (4.43)$$

unde p = numărul de pulsuri pe o semiperioadă.

Datorită simetriei formei de undă a curentului i , armonicile pare sunt absente și vom avea relațiile:

$$\begin{aligned} I_0 &= 0 \\ a_n &= 0 \\ b_n &= \frac{2}{\pi} \int_0^\pi i \sin n \omega t d(\omega t) \\ &= \frac{2}{\pi} \sum_{k=1}^p [\cos n \alpha_k - \cos n \beta_k] \quad (u.r.) \\ I_n &= \frac{b_n}{\sqrt{2}} \\ \phi_n &= 0^\circ \end{aligned} \quad (4.44)$$

$$\begin{aligned}
 I &= \left[\frac{1}{\pi} \int_0^{\pi} i^2 d(\omega t) \right]^{1/2} \\
 &= \frac{I_A}{\sqrt{\pi}} \left[\sum_{k=1}^p (\beta_k - \alpha_k) \right]^{1/2} \\
 FP &= \frac{I_1}{I} \\
 FD &= \cos \phi_1 = 1 \\
 FH &= \left[\frac{I^2 - I_1^2}{I_1^2} \right]^{1/2}
 \end{aligned} \tag{4.45}$$

Cel mai mic ordin al unei armonici prezente este cinci pentru un număr de patru pulsuri pe jumătatea de perioadă, sau șapte pentru un număr de șase pulsuri pe jumătatea de perioadă. Modulația sinusoidală se menține atât timp cât factorul de modulație m este subunitar.

4.4. SECVENȚA DE CONTROL A CONVERTOARELOR SERIE

Convertoarele statice pot fi conectate în serie și pot fi supuse unui reglaj care să permită îmbunătățirea factorului de putere.

Se consideră două convertoare semicomandate legate în serie, astfel încât fiecare să furnizeze între 0 și $0,5$ u.r. din valoarea tensiunii de ieșire. Strategia de control pentru convertoare în cazul variației tensiunii de ieșire de la 0 la $0,5$ u.r., permite ca doar unul dintre convertoare să fie activat, iar celălalt scurtcircuitat de dioda de regim liber (D_{DRL}).

Pentru o tensiune de ieșire de $0,5$ la 1 u.r. un convertor este comdat la un unghi $\alpha=0^\circ$, iar celălalt are unghiul de

aprindere al tiristoarelor variabil. Aceasta schema de control este denumită **controlul secvențial** al convertoarelor serie.

4.4.1. Convertoare semicomandate cu faza controlată

Figura 4.15 prezintă schema pentru controlul secvențial a două convertoare semicomandate. Convertoarele sunt conectate la secundarele unui transformator. Fiecare secundar are același număr de spire, iar raportul de transformare este $N_S/N_P = 0,5$.

$$0 < U_A < 0,5 \text{ u.r.}$$

Tensiunea redresată (de ieșire) poate fi reglată în amplitudine prin modificarea unghiului de aprindere α_1 al convertorului 1, și fie se menține unghiul de aprindere α_2 la valoarea π , fie se inhibă impulsurile de comandă pentru convertorul 2. Expresiile pentru diverși parametri sunt următoarele:

$$\alpha_2 = \pi \quad 0 < \alpha_1 < \pi$$

$$U_A = \frac{1}{4}(1 + \cos \alpha_1) \text{ u.r.} \quad (4.46.b))$$

$$I = \frac{I_A}{2} \left(1 - \frac{\alpha_1}{\pi} \right)^{1/2}$$

$$I_n = \frac{\sqrt{2} I_A}{n\pi} \cos n\alpha_1; \quad n = 2k + 1$$

$$\phi_n = -\frac{n\alpha_1}{2}; \quad n = 2k + 1$$

$$FP = \frac{\sqrt{2}(1 + \cos \alpha_1)}{\pi \left(1 - \frac{\alpha_1}{\pi} \right)^{1/2}}$$

$$FD = \cos \frac{\alpha_1}{2}; \quad FH = \left[\frac{\pi(\pi - \alpha_1)}{4(1 + \cos \alpha_1)} - 1 \right]^{1/2}$$

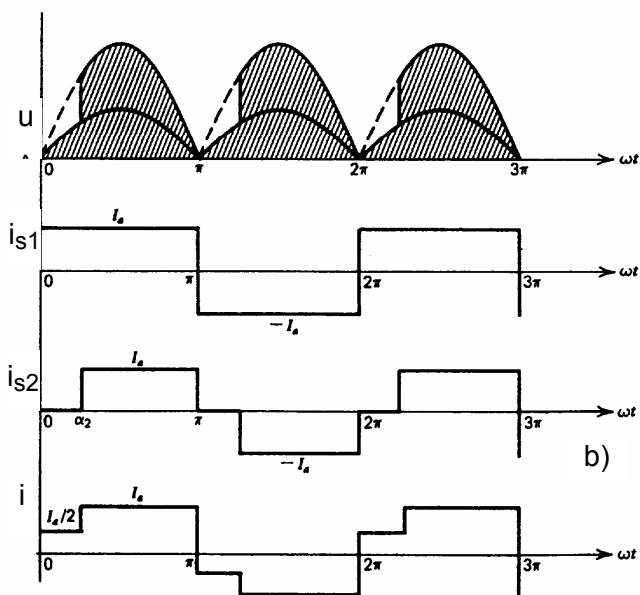
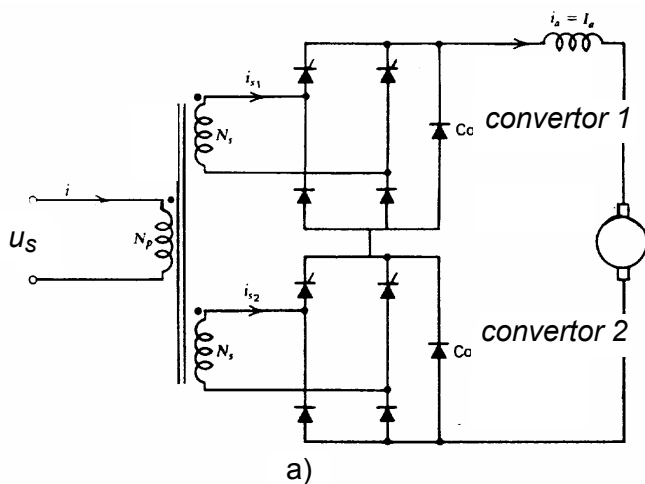


Fig. 4.15. Controlul secvențial al convertoarelor semicomandate.
 $N_s/N_p = 0,5$. a) Circuit de forță; b) Forme de undă.

$$0,5 < U_A < 1,0 \text{ u.r.}$$

În această gamă de variație a tensiunii redresate (*de iesire*), convertorul **1** este complet deschis, iar convertorul **2** are unghiurile de aprindere ale tiristoarelor variabile ($\alpha_1 = 0$; $0 < \alpha_2 < \pi$).

În figura 4.15.b se prezintă formele de undă ale curentului și tensiunii pentru $\alpha_1 = 0$; $\alpha_2 = 45^\circ$.

$$\begin{aligned} FP &= \frac{3 + \cos \alpha_2}{\pi \left(2 - \frac{3\alpha_2}{2\pi} \right)^{1/2}} \\ FD &= \frac{3 + \cos \alpha_2}{(10 + 6\cos \alpha_2)^{1/2}} \\ FH &= \left[\frac{\pi(\pi - 3\alpha_2/4)}{5 + 3\cos \alpha_2} - 1 \right]^{1/2} \end{aligned} \quad (4.47)$$

Factorul de putere prezintă o îmbunătățire semnificativă comparativ cu factorul de putere al sistemului de acționare cu un singur convertor static.

Dacă sunt folosite mai multe convertoare conectate în serie, atunci este posibilă o creștere importantă a valorii factorului de putere.

4.4.2. Unghi de control simetric

Utilizarea unui unghi de control simetric pentru aprinderea tiristoarelor unui convertor static, reprezintă o metodă mai bună de creștere a valorii factorului de putere decât în cazul controlului în fază analizat anterior.

Figura 4.16 prezintă două convertoare conectate în serie, din care unul este comutat în funcție de tensiunea de linie, iar celalalt este comutat forțat.

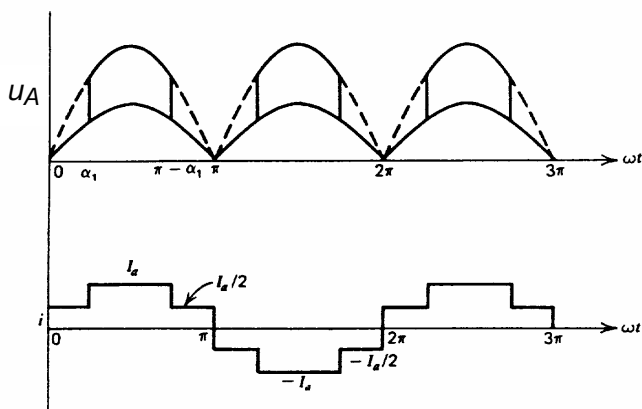
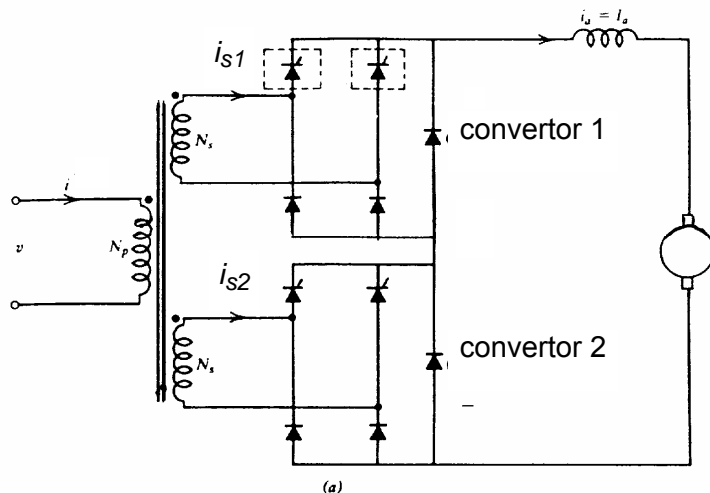


Fig. 4.16. Controlul secvențial al convertoarelor semicomandate serie: (a) Circuit de forță; (b) Forme de undă.

$$0 < U_A < 0,5 \text{ u.r.}$$

Pentru reglajul tensiunii în această plajă, convertorul comutat natural este scurtcircuitat de către dioda de regim

liber, iar convertorul cu comutație forțată are unghiul de aprindere al tiristoarelor controlat în gama: $0 < \alpha_1 < 90^\circ$.

$$\begin{aligned}
 U_A &= \frac{\cos \alpha_1}{2} \quad \text{u.r.} \\
 I &= \frac{I_A}{2} \left(1 - \frac{2\alpha_1}{\pi} \right) \\
 I_n &= \frac{\sqrt{2} I_A}{n\pi} \cos n\alpha_1 \\
 \phi_n &= 0 \\
 FP &= \frac{2\sqrt{2} \cos \alpha_1}{\pi \left(1 - \frac{2\alpha_1}{\pi} \right)^{1/2}} \\
 FD &= 1 \\
 FH &= \left[\frac{\pi(\pi - 2\alpha_1)}{8\cos^2 \alpha_1} - 1 \right]^{1/2}
 \end{aligned} \tag{4.48}$$

$$0,5 < U_A < 1,0 \quad \text{u.r.}$$

Pentru reglajul tensiunii redresate de ieșire în această plajă, convertorul comutat natural este complet deschis, iar convertorul comutat forțat are unghiul de aprindere al tiristoarelor controlat în gama: $0 < \alpha_1 < 90^\circ$.

$$\begin{aligned}
 U_A &= \frac{1}{2} (1 + \cos \alpha_1) \quad \text{u.r.} \\
 I &= I_A \left(1 - \frac{3\alpha_1}{2\pi} \right)^{1/2} \\
 I_n &= \frac{\sqrt{2} I_A}{n\pi} (1 + \cos n\alpha_1)
 \end{aligned} \tag{4.49.a}$$

$$\phi_n = 0$$

$$FP = \frac{\sqrt{2}(1 + \cos \alpha_1)}{\pi \left(1 - \frac{3\alpha_1}{2\pi}\right)^{1/2}}$$

$$FD = 1$$

$$FH = \left[\frac{\pi \left(\pi - \frac{3\alpha_1}{2}\right)}{2(1 + \cos \alpha_1)^2} - 1 \right]^{1/2} \quad (4.49.b)$$

4.4.3. Controlul secvențial al convertoarelor complet comandate

Unele sisteme de acționare cu mașina de curent continuu alimentată de la un convertor static necesită o funcționare atât în regim de motor, cât și de frână recuperativă.

Un astfel de montaj este prezentat în figura 4.17. Datorită absenței diodei de regim liber, convertoarele nu pot fi scurtcircuitate. De aceea, ambele convertoare trebuie să fie în funcțiune.

Controlul secvențial poate fi implementat prin controlul unui convertor la unghi de aprindere constant ($\alpha = 0^\circ$ sau $\alpha = 180^\circ$) pentru unul dintre ele și la un unghi de aprindere variabil pentru cel de-al doilea convertor.

4.4.3.1. Regimul de redresor

Unghiul de aprindere al convertorului 1 este constant ($\alpha_1 = 0^\circ$), iar unghiul de aprindere al convertorului 2 este variabil ($0^\circ < \alpha_2 < 180^\circ$). În acest mod, tensiunea redresată de ieșire este pozitivă. Maximul acestei tensiuni se obține pentru $\alpha_2 = 0^\circ$.

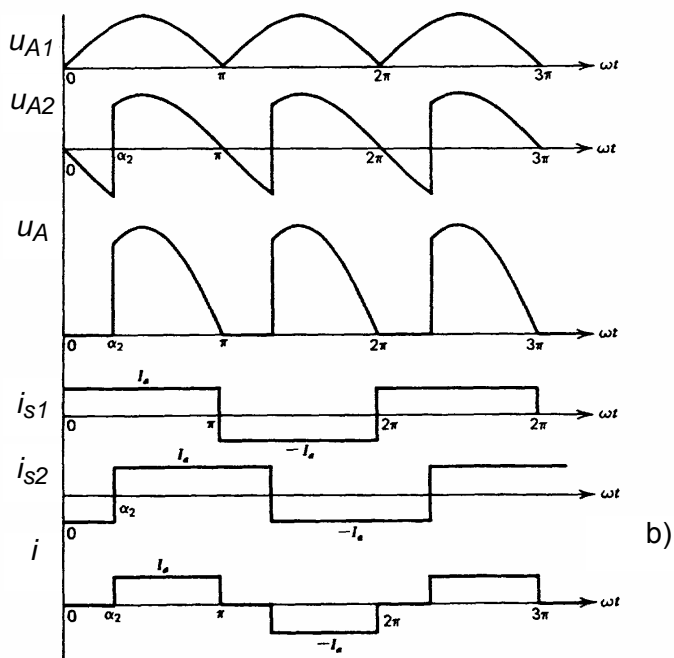
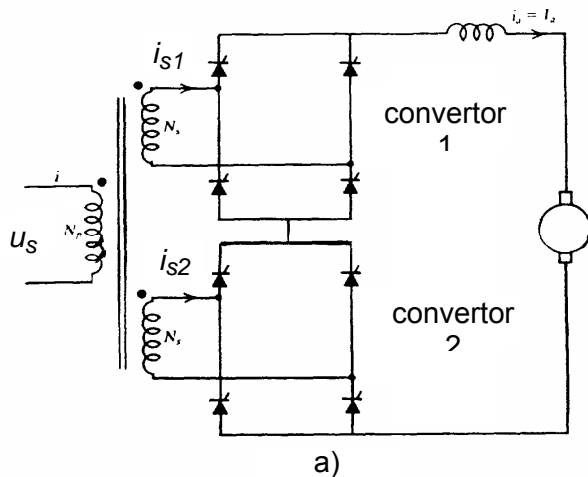


Fig. 4.17. Controlul secvențial al convertoarelor complet comandate:
a) Circuit de forță; b) Forme de undă în cazul regimului redresor;

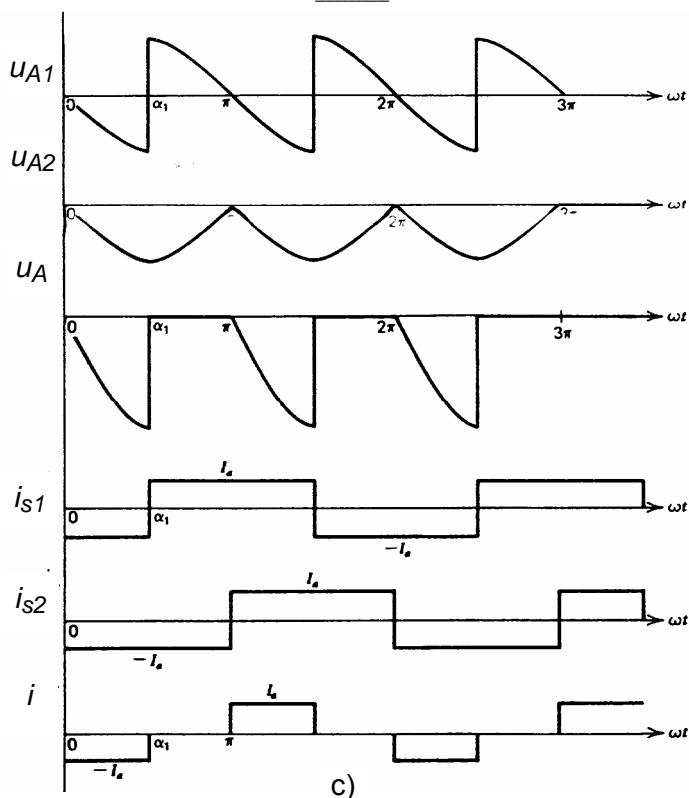


Fig. 4.17. Controlul secvențial al convertoarelor complet comandate: c) Forme de unda în cazul regimului invertor.

Tensiunea redresată este zero dacă $\alpha_2 = 180^\circ$. Formele de unda pentru $\alpha_1 = 0^\circ$ și $\alpha_2 = 60^\circ$ sunt prezentate în figura 4.17.b.

4.4.4.2. Regimul de invertor

Unghiul de aprindere al convertorului 2 este constant ($\alpha_2 = 180^\circ$), iar unghiul de aprindere al convertorului 1 este variabil ($0^\circ < \alpha_1 < 180^\circ$). În acest mod, tensiunea

redresata de iesire este negativa. Maximul acestei tensiuni se obtine pentru $\alpha_1=180^0$.

Tensiunea este zero daca $\alpha_1=0^0$. Formele de unda pentru $\alpha_1=90^0$ si $\alpha_2=180^0$ sunt prezentate în figura 4.17.c.

Performantele convertoarelor serie complet comandate controlate secvential sunt identice cu cele ale unui convertor semicomandat cu faza controlata. Factorul de putere este superior unui singur convertor complet comandat, dar inferior celui al convertoarelor serie semicomandate.

4.5. EVALUAREA COMPARATIVA A SCHEMELOR DE ÎMBUNĂTĂȚIRE A FACTORULUI DE PUTERE

În paragrafele precedente au fost analizate diverse metode de îmbunătățire a factorului de putere. Informațiile despre factorul de armonica sunt importante doar dacă nu se folosesc filtre la intrarea sistemului de acționare. La reducerea conținutului de armonici, un mare avantaj îl prezintă schemele de control tip **PWM**, deoarece prin alegerea unui număr optim de pulsuri pe semiperioada, pot fi eliminate armonicile de ordin inferior. Totuși, acest număr de pulsuri nu poate fi prea mare, deoarece în acest caz cresc pierderile de comutație ale tiristoarelor.

Factorul de putere și de deplasare sunt superioare în cazul schemelor cu comutație forțată. Extinderea unghiului de control precum și controlul unghiului de faza conduc la obținerea unor performanțe similare.

Controlul secvențial al convertoarelor serie permite creșterea factorului de putere, cu prețul unor scheme ceva mai complexe și mai costisitoare.

4.6. PROBLEME

4.6.1. Probleme rezolvate

PR1. O masina de curent continuu cu excitatie separata are urmatoarele date nominale:

$$U_{An} = 220V$$

$$n_n = 1500 \text{ rot/min}$$

$$I_{An} = 10A$$

$$R_A = 1\Omega$$

Aceasta este alimentata de la un redresor monofazat complet comandat, alimentat de la o retea ce are:

$$U_s = 230V$$

$$f_s = 50Hz$$

O inductanta suficient de mare este introdusa în circuitul indusului în scopul asigurarii unui regim de curent neîntrerupt pentru orice valoare a cuplului de sarcina mai mare decât 25% din valoarea cuplului nominal. Se cere:

- Care este unghiul de comanda pentru un cuplu de sarcina egal cu cuplul nominal la o viteza a masinii de 1000 rot/min ?
- Care este unghiul de comanda pentru un cuplu de frânare egal cu valoarea cuplului nominal la o viteza de -1500 rot/min ?
- Care este turatia masinii la un cuplu de sarcina egal cu cel nominal? Unghiul de comanda al redresorului este de $\alpha = 150^\circ$, iar masina lucreaza în regim de frânare dinamica recuperativa.

Rezolvare :

$$a) \quad E_n = U_{An} - R_A I_{nA} = 220 - 1 \cdot 10 = 220V$$

$$\Omega_n = 2\pi \frac{n_n}{60} = 2\pi \frac{1500}{60} = 157 \text{ rad/s}$$

$$E_1 = \frac{E_n}{n_n} \cdot n_1 = \frac{200}{1500} \cdot 1000 = 133.3V$$

$$\alpha_1 = \arccos\left(\frac{R_{AiA} + E_1}{2\sqrt{2} \cdot 230} \cdot \pi\right) = 46.2^\circ$$

$$b) \quad \alpha_2 = \arccos\left(\frac{R_{AiA} - E_1}{2\sqrt{2} \cdot 230} \cdot \pi\right) = 126.5^\circ$$

$$c) \quad \Omega_3 = \frac{2\sqrt{2} \cdot 230}{\pi} \cdot \cos 150^\circ - R_{AiA} \cdot \Omega_n = 14862 \text{ rad/s}$$

4.6.2. Probleme propuse

PP1. Se considera o masina de curent continuu cu excitatie independenta realizata cu magneti permanenti, alimentata de la un convertor de patru cadrane. Acesta este format din doua convertoare trifazate complet comandate montate în antiparalel.

Schema este cu curenti de circulatie. Unghiurile de întârziere la aprindere ale celor doua convertoare sunt suplimentare.

Se cere:

- schema electrica a instalatiei de forta;
- modul de variatie în timp ale tensiunilor de iesire ale celor doua convertoare pentru unghiurile de comanda: $\alpha_1 = 30^\circ$ si $\alpha_2 = 150^\circ$;
- sa se reprezinte curentul de circulatie pentru aceleasi unghiuri de comanda.

PP2. a) Sa se reprezinte schema electrica de forta a unui sistem de actionare cu masina de curent continuu cu excitatie derivatie si doua puncti monofazate complet comandate montate în antiparalel.

b) Cum variaza în timp tensiunile la ieșirile celor două puncte alimentate prin transformatoare identice de la aceeași rețea, dacă unghiurile de comandă sunt $\alpha_1 = 60^\circ$ și $\alpha_2 = 120^\circ$?

c) Pentru unghiurile de mai sus să se stabilească variația în timp a curentului de circulație între cele două puncte. Care este valoarea medie a acestui curent?

PP3. O mașină de curent continuu cu magneti permanenți are constanta de timp a circuitului rotorului de 20 ms și rezistența indusului de $0,4\ \Omega$.

El este alimentat de la un variator de tensiune continuă (*chopper*), care funcționează cu factorul de umplere $0,5$, perioada pulsurilor fiind de 2 ms , iar tensiunea la bornele sursei de alimentare de 220 V .

- sa se determine variația în timp în regim de curent neîntrerupt a curentului rotorului;
- care este curentul minim rotorului la care apare regimul de curent întrerupt?
- sa se deseneze variația în timp a tensiunii la bornele motorului în ipoteza regimului de curent întrerupt.

PP4. Mașina Ce 160 M de curent continuu are următoarele date nominale: $U_{A_n} = 220\text{ V}$, $I_{A_n} = 53,5\text{ A}$, $P_n = 10\text{ kW}$, $n_n = 3150\text{ rot/min}$, $R_A = 0,5\ \Omega$ este alimentată de la un redresor monofazat complet comandat în punte.

Convertorul este alimentat de la o sursă de 220 V , tensiune de fază. Mașina antrenează mecanismul de ridicare al unui pod rulant, cu o capacitate de ridicare care creează un cuplu de sarcină raportat la arborele motorului $M_S = 20\text{ Nm}$.

Greutatea mufei cu cârlig creează un cuplu raportat la arborele motorului de $M_{S0} = 5\text{ Nm}$. Cuplul total de frecare este

$M_{fr} = 4 \text{ Nm}$. Viteza nominala de ridicare este de 6 m/min , iar cea de coborâre de 3 m/min .

Sa se calculeze unghiurile de comanda ale tiristoarelor la ridicarea sarcinii si respectiv la coborârea acesteia în regim de frânare prin recuperare de energie.

Pentru coborâre se va efectua bilantul energetic.

4.7. BIBLIOGRAFIE

1. Bose B.K. "*Power Electronics and AC Drives*", Prentice-Hall, Inc., 1986;
2. Dubey G.K. "*Power Semiconductor Controlled Drives*", Prentice-Hall, Inc., 1989;
3. Dubey G.K., Doradla S.R., Joshi A., Sinha R.M.K., "*Thyristorised Power Controllers*", Willey Eastern, 1986;
4. Fransua Al., Magureanu R. "*Masini si actionari electrice*", Ed. Tehnica, 1986;
5. Fransua Al., Magureanu R., Tocaci M. "*Masini si actionari electrice. Culegere de probleme*", E.D.P.B., 1980;
6. Hoft R.G. "*Semiconductor Power Supplies*", New York, Van Nostrand, 1986;
7. Kelemen A. "*Actionari electrice*", E.D.P.B., 1979;
8. Kyyrä J. "*Suuntaajateknikka*", Helsinki, Otaniemi, 1995;
9. Leonhard W. "*Control of Electrical Drives*", Spriger Ferlag, 1985;
10. Mard M. "*Sähkökäyttö*", Helsinki, Otaniemi, 1995
11. Navrapescu V. "*Referatul 2 de doctorat*", Sept. 1994;
12. Navrapescu V. s.a. "*Actionari electrice cu masini de curent continuu - Caiet de laborator*" Litografia UPB 1997;
13. Navrapescu V. s.a. "*Comanda numerica a vitezei masinii asincrone*" Editura ICPE 1998;
14. Micu E. "*Electrotehnica de la A la Z*", Ed. ătiintifica si Enciclopedica, 1985;
15. Soran I.F. "*Actionari Electrice*", Lito IPB, 1988;
16. Tunsoiu Gh., Seracin E., Saal C., "*Actionari Electrice*", EDPB, 1982.

CAPITOLUL 5

SIMULAREA FUNCTIONARII MASINII DE CURENT CONTINUU

Pentru simularea functionarii în regim stationar si stabil a unei masini de curent continuu, se pot utiliza diverse pachete de programe (*software*) specializate. La ora actuala exista multiple optiuni pentru realizarea simularii functionarii masinilor electrice. Se poate mentiona software-ul realizat de firma Mathworks (*MATLAB*, *SIMULINK*), National Instruments (*LabView*), Visual Solutions (*VISSIM*), Simulation Research (*CASPOC*), SABER, EMTP, PSPICE, s.a.

Datorita multiplelor optiuni pentru simularea diverselor regimuri de functionare a masinii de curent continuu a fost ales mediul MATLAB (*versiunea 4.2 si 5.2*) si mediul SIMULINK (*versiunea 1.3c si 2.2*) produse ale firmei The Mathworks Inc.

5.1. PORNIREA REOSTATICA A UNEI MASINI DE CURENT CONTINUU CU EXCITATIE DERIVATIE

Obiectivul acestei simulari este studierea regimului tranzitoriu al masinii de curent continuu cu excitatie derivatie în urmatoarele situatii:

1. Pornire prin alimentare directă de la rețeaua de curent continuu;
2. Pornire reostatică în funcție de un nivel prestabilit al curentului prin indusul mașinii de curent continuu;
3. Pornire reostatică în funcție de un interval de timp prestabilit.

Pentru această simulare, se presupune ca fluxul de excitație al motorului atinge valoarea necesară funcționării în regim stabilizat înainte de a se alimenta circuitul indusului motorului de curent continuu la pornire. Tensiunea electromotoare internă a motorului, E_A , este proporțională cu produsul dintre fluxul magnetic al mașinii și viteza de rotație a rotorului, iar cuplul electromagnetic M_e depinde de produsul flux – curent prin indusul mașinii de curent continuu.

$$\begin{aligned} E_A &= k\Phi\Omega_m \text{ [V]} \\ M_e &= k\Phi I_A \text{ [Nm]} \end{aligned} \tag{5.1}$$

Când rotorul este imobil sau aproape imobil, viteza de rotație și implicit și t.e.m. indusă sunt nule. În pornirea reostatică, motorul este pornit folosind tensiune continuă fixă, iar rezistoarele de pornire sunt înseriate cu circuitul indusului motorului, pentru a menține curentul prin indus la valori limită de siguranță. Limita superioară a curentului este aleasă în funcție de posibilitatea unei comutații corecte, iar limita inferioară este impusă de necesitatea menținerii unui timp de accelerare acceptabil.

O reprezentare simplă a unei mașini de curent continuu cu excitație derivată este prezentată în figura 5.1.

Figura 5.2 arată simularea în mediul SIMULINK a pornirii acestei mașini. Ecuațiile de funcționare sunt:

$$U_A = I_A R_t + L_A \frac{dI_A}{dt} + E_A + \Delta U_p \quad (5.2)$$

$$M_e + M_s - D_{\Omega} \Omega_m = J \frac{d\Omega_m}{dt}$$

unde R_t reprezintă suma rezistențelor (*rezistor de pornire plus rezistența indusului R_A*) aflate în circuitul indusului motorului de c.c., iar ΔU_p este caderea de tensiune la perii.

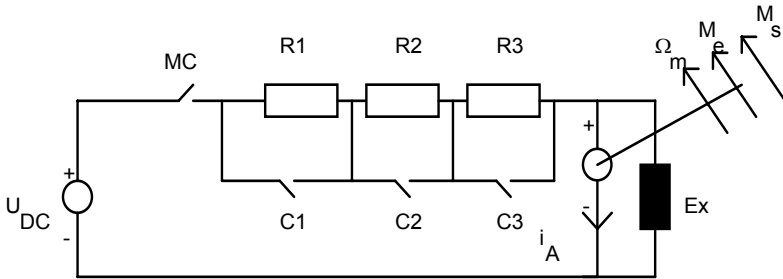


Fig. 5.1. Pornirea reostatica a unei masini de curent continuu cu excitatie derivatie.

În ecuația de mișcare, D_{Ω} este coeficient de frecare, iar J este momentul de inerție al rotorului mașinii de curent continuu. Ecuațiile de mai sus pot fi rescrise în forma integrală după cum urmează:

$$I_A(t) = \frac{1}{L_A} \int_0^t (U_{DC} - \Delta U_p - I_A R_t) dt + I_A(0) \quad (5.3)$$

$$\Omega_m(t) = \frac{1}{J} \int_0^t (M_e + M_s - D_{\Omega} \Omega_m) dt + \Omega_m(0)$$

În timpul pornirii, scurtcircuitarea celor trei segmente ale rezistorului de pornire este realizată atunci când curentul I_A scade sub valoarea minimă prestabilă. Contactele **C1**, **C2** și **C3** sunt normal deschise. Atunci când contactul principal **MC** este închis pentru pornirea motorului, curentul de pornire inițial crește până la valoarea maximă, iar circuitul indusului include întreaga valoare a rezistorului de pornire. Odata cu

creșterea turatiei rotorului, t.e.m. E_A va crește, iar curentul prin indus scade până la valoarea limită minimă prestabilită. Atunci contactul **C1** se va închide, iar rezistorul **R1** va fi scurtcircuitat. Curentul prin indus va crește, cuplul electromagnetic de asemenea, iar turatia rotorului va crește și ea. Se produce o nouă scădere a curentului prin indus, odată cu creșterea t.e.m., se scurtcircuitează rezistorul **R2**, prin închiderea contactului **C2**, atunci când se atinge valoarea minimă prestabilită a curentului prin indus. La fel se desfășoară fenomenul în cazul scurtcircuitării lui **R3**.

Secvența logică de pornire este implementată în figura 5.2 prin determinarea condiției $I_A < I_A^{min}$. Semnalul logic intră apoi într-un modul derivativ, producând un puls de intrare la bistabilul **SR** conectat pentru a opera ca un numărator.

Ieșirile celor trei bistabile sunt folosite pentru a scurtcircuita cele trei trepte ale rezistorului de pornire. Bistabilul **SR** se obține din biblioteca **SIMULINK** la capitolul **extras/Flip Flops**. Operatorii logici și cei relaționali sunt aleși din biblioteca de blocuri **Nonlinear**. Modulele de memorie sunt folosite pentru diverse scopuri:

- Rezolvarea unei bucle algebrice prin plasarea la intrarea blocurilor operator relațional;
- Crearea unei întârzieri pentru o bună funcționare a bistabilelor, prin plasarea între bistabile.

Comutatoarele **C1**, **C2** și **C3** vor da la ieșire **intrarea 1** dacă **intrarea 2** este mai mare sau egală cu un prag ajustabil, altfel dau la ieșire **intrarea 3**. Pentru ca aceste comutatoare (*switch-uri*) să opereze în nivel **zero** și **unu** logic standard, va fi ales pragul ajustabil **0,5**.

Pentru o simulare corectă, se realizează un fișier *Matlab*, care va iniția parametrii mașinii de curent continuu cu excitație derivată de **10 kW**, **220 V**, **1490 rot/min**. ceilalți parametri sunt:

- ➔ Rezistența indusului $R_A = 0,3 \text{ ohm}$;

- Inductivitatea indusului $L_A = 12 \text{ mH}$;
- Caderea de tensiune la perii $\Delta U_p = 2 \text{ V}$;
- Curentul nominal $I_{An} = 50 \text{ A}$;
- Constanta motorului $k\Phi = 1,3 \text{ Vs}$;
- Inertia rotorului $J = 2,5 \text{ kgm}^2$;
- Coeficient de frecari, $D = 0$.
- $I_A^{\min} = 60 \text{ A}$; $I_A^{\max} = 100 \text{ A}$.

Daca se ignora inductivitatea indusului si se presupune ca inertia sistemului este finita, odata cu închiderea contactului MC se obtine:

$$\begin{aligned}
 U_A(0) &= 0 = U_{DC} - \Delta U_p - I_A^{\max}(R_A + R_1 + R_2 + R_3) \\
 U_A(t_1) &= U_{DC} - \Delta U_p - I_A^{\min}(R_A + R_1 + R_2 + R_3) \\
 &= U_{DC} - \Delta U_p - I_A^{\max}(R_A + R_2 + R_3) \\
 U_A(t_2) &= U_{DC} - \Delta U_p - I_A^{\min}(R_A + R_2 + R_3) \\
 &= U_{DC} - \Delta U_p - I_A^{\max}(R_A + R_3)
 \end{aligned}
 \tag{5.4.a}$$

Rezulta:

$$\begin{aligned}
 U_A(t_3) &= U_{DC} - \Delta U_p - I_A^{min}(R_A + R_3) \\
 &= U_{DC} - \Delta U_p - I_A^{max} R_A \\
 (R_A + R_1 + R_2 + R_3) &= \frac{U_{DC} - \Delta U_p}{I_A^{max}} \\
 (R_A + R_2 + R_3) &= \frac{I_A^{min}}{I_A^{max}} (R_A + R_1 + R_2 + R_3) \quad (5.4.b) \\
 (R_A + R_3) &= \frac{I_A^{min}}{I_A^{max}} (R_A + R_2 + R_3) \\
 R_A &= \frac{I_A^{min}}{I_A^{max}} (R_A + R_3)
 \end{aligned}$$

Prin înlocuirea valorilor limita prestabilite pentru curentul prin indus, rezulta valorile treptelor reostatului de pornire:

$$R_1 = 0,872 \, \Omega; R_2 = 0,523 \, \Omega; R_3 = 0,313 \, \Omega.$$

Un esantion al rezultatelor simulării este prezentat în fig. 5.3, unde este redată variația t.e.m., a curentului prin indus, și a turației. A fost folosită o metodă de integrare numerică *Adams/Gear* din mediul *MATLAB 5* cu timpul de pornire zero, timpul de oprire **7 s**, pasul minim de integrare **0,5 ms**, pasul maxim de integrare **5 ms**, și o toleranță a erorii de 10^{-6} .

Tabelul 1.1.

Nr. crt.	Convertorul	Funcțiunea de conversie	Aplicatii
1	Redresor comandat	Tensiune alternativa în tensiune continua	Comanda masinilor de curent continuu, a masinilor asincrone si a celor sincrone
2	Variator de tensiune continua (<i>Chopper</i>)	Tensiune continua fixa în tensiune continua variabila	Comanda masinilor de curent continuu, si a masinilor asincrone
3	Variator de tensiune alternativa	Tensiune alternativa fixa în tensiune alternativa variabila, la aceeasi frecventa	Comanda masinilor asincrone
4	Invertor (sursa de tensiune sau sursa de curent)	Tensiune continua în tensiune si frecventa fixe sau variabile	Comanda masinilor asincrone si a celor sincrone
5	Cicloconvertor	Tensiune alternativa de valoare si frecventa fixa în tensiune alternativa de valoare si frecventa variabile	Comanda masinilor asincrone si a celor sincrone

A	<i>Cerintele sarcinii referitoare la regimurile tranzitorii de pornire, frânare si reversare</i>
1	Natura si domeniul de variatie al cuplului de sarcina. Cum variaza cuplul de sarcina cu viteza pentru diferite valori impuse de viteza? Pornirea, frânarea, sau reversarea de viteza se realizeaza la gol, la sarcina usoara, nominala, sau grea?
2	Mometul de inertie total al actionarii este mic sau mare?
3	Cât timp este prevazut pentru desfasurarea procesului tranzitoriu?
4	Cât de des au loc astfel de procese tranzitorii?
5	Este nevoie de o accelerare/decelerare lina a sistemului?
6	Este ceruta realizarea unei anumite precizii a opririi?
7	Ce masuri trebuiesc luate în caz urgenta?
8	Aceste operatii sunt facute manual, sau automat?
B	<i>Cerintele sarcinii dictate de functionarea în regim nominal a actionarii</i>
1	Natura si valoarea cuplului de sarcina si a puterii necesare. Cum variaza cuplul cu viteza pentru diferite valori impuse de viteza? Care sunt valorile minime si maxime ale cuplului si ale puterii? Sarcina are un caracter continuu, sau intermitent?
2	Este necesar a se lucra la o singura viteza, sau la mai multe viteze?
3	Este necesara realizarea reglarii vitezei? Care este domeniul de variatie necesar pentru viteza? Reglarea trebuie facuta continuu, sau în trepte?
4	Care este precizia impusa reglarii de viteza?
5	Pe durata unui ciclu normal de functionare, masina lucreaza atât în regim de motor, cât si de generator?
C	<i>Cerintele sarcinii referitoare la locul de amplasare al actionarii</i>
1	Amplasarea actionarii într-un anumit loc, permite realizarea unei întretineri usoare?
2	Actionarea functioneaza într-un mediu plin de praf, sub apa (sau alt lichid), sau în prezenta unor gaze usor inflamabile?

Tabelul 1.3.

Clasa de izolare	Temperatura admisibilă	Materiale
Y	90°C	bumbac, matase, hârtie - neimpregnate
A	105°C	bumbac, celofibra, matase - impregnate
E	120°C	pelicule organice sintetice
B	130°C	materiale pe bază de mica, fibră de sticlă, azbest - cu lianți organici și compuneri de impregnare
F	155°C	aceleași materiale ca la clasa B, dar de calitate superioară
H	180°C	materiale pe bază de mica, fibră de sticlă, azbest - cu lianți siliconici
C	peste 180°C	porțelan, cuarț, sticlă

Tabelul 1.4.

	Tiristor	GTO	Darlington BTJ	MOSFET de putere
Tensiunea maxima (V)	6.000	4.500	1.200	500
Curentul maxim (A_{ef})	3.500	3.000	800	50
Temperatura de lucru ($^{\circ}\text{C}$)	-40 - 125	-40 - 125	-40 - 150	-55 - 150
Frecventa de comutare (Hz)	< 1.200	< 2.000	< 10.000	< 100.000
dv / dt (V/ms)	30	limitata de pierderile din dispozitiv	limitata de pierderile din dispozitiv	limitata de efectul Miller
di / dt (A/ms)	200	300	100	foarte mare
Timp intrare în conductie (ms)	1,1	4	1,7	90 ns
Timp de iesire din conductie (ms)	220	10	5	0,14
Caderea de tensiune în direct (V)	1,9	4	1,9	3,2
Domeniul de aplicatii uzuale	Actionari cu masini de c.c. si c.a., surse de putere, întreruptore electronice	Actionari cu masini electrice, sisteme UPS	Actionari cu masini electrice, sisteme UPS, surse de putere în comutatie	Surse de putere în comutatie, actionari cu motoare fara perii, relee electronice

Tabelul 1.5.

	IGBT	SIT	SITH	MCT
Tensiunea maxima (V)	1.200	1.200	1.200	1.000
Curentul maxim (A_{ef})	400	300	300	100
Temperatura de lucru ($^{\circ}\text{C}$)	-20 - 150	-50 - 150	-40 - 125	-55 - 150
Frecventa de comutare (Hz)	< 20.000	< 70.000	Câtiva kHz	< 20.000
dv / dt (V/ms)	Limitata de pierderile din dispozitiv	foarte mare	2.000	5.000
di / dt (A/ms)	foarte mare	foarte mare	900	1.000
Timp intrare în conductie (ms)	0,9	0,25	2	1
Timp de iesire din conductie (ms)	1,4	0,3	9	2,1
Caderea de tensiune în direct (V)	3,2	18	4	1,1
Domeniul de aplicatii uzuale	Actionari cu masini de c.a., surse UPS, surse de putere în comutatie	Generatoare AM/FM, generatoare ultrasonice, compensatoare statice reactive	Compensatoare reactive statice, sigurate rapide	Actionari cu masini de c.a., surse UPS, compensatoare statice reactive